

Lorentz Transformation and General Covariance Principle

Aleks Kleyn

Aleks_Kleyn@MailAPS.org
<http://AleksKleyn.dyndns-home.com:4080/>
<http://sites.google.com/site/AleksKleyn/>
http://arxiv.org/a/kleyn_a_1
<http://AleksKleyn.blogspot.com/>

Key words and phrases. Differential geometry, general relativity, quantum field, metric-affine manifold

ABSTRACT. I tell about different mathematical tool that is important in general relativity. The text of the book includes definition of geometric object, concept of reference frame, geometry of metric-affine manifold. Using this concept I learn few physical applications: dynamics and Lorentz transformation in gravitational fields, Doppler shift.

A reference frame in event space is a smooth field of orthonormal bases. Every reference frame is equipped by anholonomic coordinates. Using anholonomic coordinates allows to find out relative speed of two observers and appropriate Lorentz transformation.

Synchronization of a reference frame is an anholonomic time coordinate. Simple calculations show how synchronization influences time measurement in the vicinity of the Earth. Measurement of Doppler shift from the star orbiting the black hole helps to determine mass of the black hole. According observations of Sgr A, if non orbiting observer estimates age of S2 about 10 Myr, this star is 0.297 Myr younger.

We call a manifold with torsion and nonmetricity the metric-affine manifold. The nonmetricity leads to a difference between the auto parallel line and the extreme line, and to a change in the expression of the Frenet transport and moving basis. The torsion leads to a change in the Killing equation. We also need to add a similar equation for the connection.

The analysis of the Frenet transport leads to the concept of the Cartan transport and an introduction of the connection compatible with the metric tensor. The dynamics of a particle follows to the Cartan transport. We need additional physical constraints to make a nonmetricity observable.

Learning how torsion influences on tidal force reveals similarity between tidal equation for geodesic and the Killing equation of second type. The relationship between tidal acceleration, curvature and torsion gives an opportunity to measure torsion.

Contents

Chapter 1. Introduction	5
1.1. About This Book	5
1.2. Geometric Object and Invariance Principle	5
1.3. Torsion Tensor in General Relativity	7
1.4. Tidal Acceleration	8
Chapter 2. Space and Time in Physics	10
2.1. Geometry and Physics	10
2.2. Spacetime	13
2.3. Covariance Principle	15
2.4. Spacetime and Quantum	18
Chapter 3. Representation of Group	21
3.1. Representation of Group	21
3.2. Single Transitive Representation of Group	24
Chapter 4. Basis Manifold	27
4.1. Basis in Vector Space	27
4.2. Linear Transformation of Vector Space	32
4.3. Basis in Affine Space	36
4.4. Basis in Euclid Space	36
4.5. Geometric Object of Vector Space	37
Chapter 5. Reference Frame in Event Space	40
5.1. Reference Frame on Manifold	40
5.2. Reference Frame in Event Space	41
5.3. Anholonomic Coordinates	42
5.4. Metric-affine Manifold	46
5.5. Geometric Meaning of Torsion	48
Chapter 6. Application in General Relativity	53
6.1. Synchronization of Reference Frame	53
6.2. Anholonomic Coordinates in Central Body Gravitational Field	53
6.3. Doppler Shift in Central Body Gravitational Field	56
6.4. Lorentz Transformation in Orbital Direction	57
6.5. Lorentz Transformation in Radial Direction	60
6.6. Doppler Shift in Friedman Space	62
6.7. Lorentz Transformation in Friedman Space	64
Chapter 7. Geometry of Metric-Affine Manifold	66
7.1. Line with Extreme Length	66

7.2. Frenet Transport	68
7.3. Cartan Connection	69
7.4. Lie Derivative	71
7.5. Bianchi Identity	74
7.6. Killing Vector	74
Chapter 8. Metric Affine Gravity	76
8.1. Newton's Laws: Scalar Potential	76
8.2. Newton's Laws: Vector Potential	76
8.3. Tidal Equation	78
8.4. Tidal Acceleration and Lie Derivative	81
References	83
Index	86
Special Symbols and Notations	88

CHAPTER 1

Introduction

1.1. About This Book

Since Einstein introduced general relativity, the close relation between geometry and physics became a reality ([3]). At the same time, quantum mechanics introduced new concepts that contradicted a tradition established during centuries. This meant that we need new geometric concepts that will become part of the language of quantum mechanics.

When I learned general relativity and quantum mechanics I felt that language of quantum mechanics is not adequate to phenomenon that it observes. I mean the geometry. This book starts from learning of geometric object, turns to reference frame in physics, then suddenly changes its course to learn metric affine manifolds.

I dedicated chapter 2 to small essay that I wrote when I was young.^{1.1} In this essay I tried to analyze nature of definitions of space and time.

1.2. Geometric Object and Invariance Principle

Sections 4.1 and 4.5 was written under the great influence of the book [26]. The studying of a homogenous space of a group of symmetry of a vector space leads us to the definition of a basis of this space. A basis manifold is a set of bases of particular vector space and is an example of a homogenous space. As it is shown in [26] it gives ability to define concepts of invariance and of geometric object.

We introduce two types of transformation of a basis manifold: active and passive transformations. The difference between them is that the passive transformation can be expressed as a transformation of an original space.

This definition can be extended on an arbitrary manifold. However in this case we generalize the definition of a basis and introduce a reference frame. In case of an event space of general relativity it leads us to a natural definition of a reference frame and the Lorentz transformation. A reference frame in event space is a smooth field of orthonormal basis.

The invariance principle considered in the theorem 4.5.4 is limited by vector spaces and we can use it only in frame of the special relativity. Our task is to describe structures which allow to extend the invariance principle to general relativity.

A measurement of a spatial interval and a time length is one of the major tasks of general relativity. This is a physical process that allows the study of geometry in a certain area of spacetime. From a geometric point of view, the observer uses an orthonormal basis in a tangent plane as his measurement tool

^{1.1} Unfortunately some references are lost. If somebody recognize familiar text, I will appreciate if he let me know exactly reference.

because an orthonormal basis leads to the simplest local geometry. When the observer moves from point to point he brings his measurement tool with him.

Notion of a geometric object is closely related with physical values measured in space time. The invariance principle allows expressing physical laws independently from the selection of a basis. On the other hand if we want to examine a relationship obtained in the test, we need to select measurement tool. In our case this is basis. Choosing the basis we can define coordinates of the geometric object corresponding to studied physical value. Hence we can define the measured value.

Every reference frame is equipped by anholonomic coordinates. For instance, synchronization of a reference frame is an anholonomic time coordinate. Simple calculations show how synchronization influences time measurement in the vicinity of the Earth. Measurement of Doppler shift from the star orbiting the black hole helps to determine mass of the black hole.

The section 6.4 shows importance of calculations in orthogonal basis. Coordinates that we use in event space are just labels and calculations that we make in coordinates may appear not reliable. For instance in papers [28, 29] authors determine coordinate speed of light. This leads to not reliable answer and as consequence of this to the difference of speed of light in different directions.

Paper [35] drew my attention. To explain anomalous acceleration of Pioneer 10 and Pioneer 11 ([23]) Antonio Ranada incorporated the old Einstein's view on nature of gravitational field and considered Einstein's idea about variability of speed of light. When Einstein started to study the gravitational field he tried to keep the Minkowski geometry, therefore he assumed that scale of space and time does not change. As result he had to accept the idea that speed of light should vary in gravitational field. When Grossman introduced Riemann geometry to Einstein, Einstein realized that the initial idea was wrong and Riemann geometry solves his problem better. Einstein never returned to idea about variable speed of light.

Indeed, three values: scale of length and time and speed of light are correlated in present theory and we cannot change one without changing another. The presence of gravitational field changes this relation. We have two choices. We keep a priori given geometry (here, Minkowski geometry) and we accept that the speed of light changes from point to point. The Riemann geometry gives us another option. Geometry becomes the result of observation and the measurement tool may change from point to point. In this case we can keep the speed of light constant. Geometry becomes a background which depends on physical processes. Physical laws become background independent.

There are few papers dedicated to a variable speed of light theory [30, 31]. Their theory is based on idea that metric tensor may be invariant with respect to dilatation. This idea is not new. As soon as Einstein published general relativity Weil introduced his idea to make theory invariant relative conformal transformation. However Einstein was firmly opposed to this idea because it broke dependence between distance and proper time. You can find detailed analysis in [32].

We have strong relation between the speed of light and units of length and time in special and general relativity. When we develop new theory and discover that speed of light is different we should ask ourselves about the reason. Did we make accurate measurement? Do we have alternative way to exchange information and synchronize reference frame? Did transformations between reference frames change and do they create group?

In some models photon may have small rest mass [33]. In this case speed of light is different from maximal speed and may depend on direction. Recent experiment [34] put limitation on parameters of these models.

1.3. Torsion Tensor in General Relativity

Close relationship between the metric tensor and the connection is the basis of the Riemann geometry. At the same time, connection and metric as any geometric object are objects of measurement. When Hilbert derived Einstein equation, he introduced the lagrangian where the metric tensor and the connection are independent. Later on, Hilbert discovered that the connection is symmetric and found dependence between connection and metric tensor. One of the reasons is in the simplicity of the lagrangian.

Since an errors of measurement are inescapable, analysis of quantum field theory shows that either symmetry of connection or dependence between connection and metric may be broken. This assumption leads to metric-affine manifold which is space with torsion and nonzero covariant derivative of metric (section 5.4). Independence of the metric tensor and the connection allows us to see which object is responsible for different phenomenon in geometry and therefore in physics. Even we do not prove empirically existence of torsion and nonmetricity we see here very interesting geometry.

The metric-affine manifold appears in different physical applications. It is very important to understand what kind of geometry of this space is, how torsion influences on physical phenomena. This is why small group of physicists continue to study gravitation theory with torsion [12, 13, 14, 15, 16].

In particular we have two different definitions of a geodesic curve in the Riemann manifold. We consider a geodesic curve either as line of extreme length (such line is called extreme), or as line such that tangent vector keep to be tangent to line during parallel transfer (such line is called auto parallel). Nonmetricity means that parallel transport does not conserve a length of vector and an angle between vectors. This leads to a difference between definitions of auto parallel and extreme lines ([17] and section 7.1) and to a change in the expression of the Frenet transport. The change of geometry influences the second Newton law which we study in section 8.1. I show in theorems 7.3.1 and 8.1.1 that a free falling particle chooses an extreme line transporting its momentum along the trajectory without change.

Pattern of the Newton second law depends on choice of potential. In case of scalar potential the Newton second law holds the relationship between force, mass and acceleration. In case of vector potential analysis of motion in a gravitational field shows that the field-strength tensor depends on the derivative of the metric tensor.

Nonmetricity dramatically changes law how orthogonal basis moves in space time. However learning of parallel transport in space with nonmetricity allows us to introduce the Cartan transport and the connection compatible with the metric tensor (section 7.3). The Cartan transport holds the basis orthonormal and this makes it valuable tool in dynamics (section 8.1) because the observer uses an orthonormal basis as his measurement tool. The dynamics of a particle follows to the Cartan transport. The question arises from this conclusion.

We can change the connection as we show in section 7.3. Why we need to learn manifolds with an arbitrary connection and the metric tensor? The learning of the

metric-affine manifold shows why everything works well in the Riemann manifold and what changes in a general case. What kind of different physical phenomena may result in different connections? Physical constraints that appear in a model may lead to appearance of a nonmetricity [15, 18, 19]. Because the Cartan transport is the natural mechanism to conserve orthogonality, we expect that we will interpret a deviation of the test particle from the extreme line as a result of an external to this particle force^{1,2}. In this case the difference between two types of a transport becomes measurable and meaningful. Otherwise another type of a transport and nonmetricity are not observable and we can use only the transport compatible with metric.

I see here one more opportunity. As follows from the paper [18] the torsion may depend on quantum properties of matter. However the torsion is the part of the connection. This means that the connection may also depend on quantum properties of matter. This may lead to breaking of the Cartan transport. However this opportunity demands additional research.

The effects of torsion and a nonmetricity are cumulative. They may be small but measurable. We can observe their effects not only in strong fields like black hole or Big Bang but in regular conditions as well. Studying geometry and dynamics of point particle gives us a way to test this point of view. There is mind to test this theory in condition when spin of quantum field is accumulated. We can test a deviation from second Newton law or measure torsion by observing the movement of two different particles.

To test if the spacetime has the torsion we can test the opportunity to build a parallelogram in spacetime. We can get two particles or two photons that start their movement from the same point and using a mirror to force them to move along opposite sides of the parallelogram. We can start this test when we do not have quantum field and then repeat the test in the presence of quantum field. If particles meet in the same place or we have the same interference then we have torsion equal 0 in this thread. In particular, the torsion may influence the behavior of virtual particles.

To check if space time has nonmetricity, we can measure the deviation of extreme line from auto parallel line or deviation of unit vector of speed from its parallel transport.

1.4. Tidal Acceleration

Observations in Solar system and outside are very important. They give us an opportunity to see where general relativity is right and to find out its limitation. It is very important to be very careful with such observations. NASA provided very interesting observation of Pioneer 10 and Pioneer 11 and managed complicated calculation of their accelerations. However, one interesting question arises: what kind of acceleration did we measure?

^{1,2}For instance if we extend the definition (8.1.2) of a force to a general case (8.1.1) we can interpret a deviation of a charged particle in electromagnetic field as result of the force

$$F^j = \frac{e}{cu^0} g^{ij} F_{li} u^l$$

The same way we can interpret a deviation of the auto parallel line as the force

$$F^i = -\frac{mc}{u^0} \Gamma(C)^i_{kl} u^k u^l$$

I remind that the Cartan symbol is the tensor

Pioneer 10 and Pioneer 11 performed free movement in solar system. Therefore they move along their trajectory without acceleration. However, it is well known that two bodies moving along close geodesics have relative acceleration that we call tidal acceleration. Tidal acceleration in general relativity has form

$$(1.4.1) \quad \frac{D^2 \delta x^k}{ds^2} = R_{lnk}^k \delta x^k v^n v^l$$

where v^l is the speed of body 1 and δx^k is the deviation of geodesic of body 2 from geodesic of body 1. We see from this expression that tidal acceleration depends on movement of body 1 and how the trajectory of body 2 deviates from the trajectory of body 1. But this means that even for two bodies that are at the same distance from a central body we can measure different acceleration relative an observer.

Section 8.3 is dedicated to the problem what kind of changes the tidal force experiences on metric affine manifolds.

Finally the question arises. Can we use equation (8.3.5) to measure torsion? We get tidal acceleration from direct measurement. There is a method to measure curvature (see for instance [21]). However, even if we know the acceleration and curvature we still have differential equation to find torsion. However, this way may give direct answer to the question of whether torsion exists or not.

Deviation from tidal acceleration (1.4.1) predicted by general relativity may have different reason. However we can find answer by combining different type of measurement. 5.4.1.

CHAPTER 2

Space and Time in Physics

2.1. Geometry and Physics

Reason, of course, is weak, when measured against its never-ending task. Weak, indeed, compared with the follies and passions of mankind, which, we must admit, almost entirely control our human destinies, in great things and small. Yet the works of the understanding outlast the noisy bustling generations and spread light and warmth across the centuries.

[6], p. 219

Geometric ideas are not creations of free intellect, but on the contrary, they are product of human activity. Ideas about space and time changed as knowledge developed.^{1.1}

Law cannot be exact at least because concepts on the base, which we formulate it, may develop and may become insufficient. Signs of dogma of impeccability remain on the bottom of any thesis and any proof.

[7]

Mathematics originated from specific needs of human practice and developed along complex and contradictory way of knowledge. From one hand, this is the most abstract area of science. Mathematician freely operates with abstract ideas, learns their properties, generalizes, creates new ideas and definitions, and wanders from practice. This makes more surprising success of applied mathematics. Its success always surprised people, mostly in XX century when such abstract parts of mathematics like group theory, functional calculus, and differential geometry became language of modern physics. Contact of mathematics with any other field of science leads to mutual enrichment of both.

One reason why mathematics enjoys special esteem, above all other sciences, is that its laws are absolutely certain and indisputable, while those of all other sciences are to some extent debatable and in constant danger of being overthrown by newly discovered facts. In spite of this, the investigator in another department of science would not need to envy the mathematician since the laws of mathematics referred to objects of our mere imagination, and not to objects of reality. For it cannot occasion surprise that different persons should arrive at the same logical conclusions when they have already agreed upon the fundamental laws (axioms), as well as the methods by which other laws are to be deduced therefrom. But there is another reason for the high repute of mathematics, in that it

is mathematics which affords the exact natural sciences a certain measure of security, to which without mathematics they could not attain.

At this point an enigma presents itself which in all ages has agitated inquiring minds. How can it be that mathematics, being after all a product of human thought which is independent of experience, is so admirably appropriate to the objects of reality? Is human reason, then, without experience, merely by taking thought, able to fathom the properties of real things.

[3]

Mathematics has empiric roots. Algebra associated with necessity of calculations. Geometry was created by necessity of measurement on earth surface. Logic is abstract expression of causal relationship. Calculus studies movement. This is exactly why on a certain phase of development it becomes possible to describe real processes using mathematical models of different level of complexity. Gradually statements of theoretical mathematics become instrument of applied mathematics; mathematics becomes empiric field of science.

Only main concepts and such called axioms remain in mathematics as evidence of empiric origin of geometry. People tried to reduce number of this logically irreducible concepts and axioms. Tendency to take out all geometry from dim area of empiric insensibly leads to erroneous conclusion which we can liken to conversion of heroes of antiquity into gods. People gradually accustomed to point of view on main concepts as obvious, i.e. objects and qualities which belong to human mind. According to this point of view, objects of intuition correspond to main concepts of geometry and negation of any axiom of geometry cannot be done consistently. In this case, possibility of application of this main concepts and axioms to objects of reality becomes the problem from which Kant's understanding of space appeared.

Physics gave second cause for denial geometry from its empiric foundation. According to more refined point of view about nature of solid body and light, in nature there are no such objects, which exactly correspond to main concepts of Euclidean geometry by their property. We cannot assume solid body as steady. Ray of light does not reproduce nor straight line, nor any one-dimension image. According to modern science view, geometry taken separately does not correspond ... to any tests. It should be applied to explanation together with mechanics, optics, etc. Geometry has to appear as science logically preceding any experience and any empirical verification because geometry has to precede physics as long as laws of physics cannot be expressed without help of geometry.

[5], p 170

... As far as the laws of mathematics refer to reality, they are not certain; and as far as they are certain, they do not refer to reality ...

[3]

... Question about applicability or no applicability of Euclidean geometry obtains clear meaning from this point of view. Euclidean geometry

as geometry in general keeps nature of mathematical science because deduction of its theorems from axioms is still logical problem. However, it becomes physical science because its axioms hold inside statements relative objects of nature and correctness of these statements may be proved only by experiment.

[5], p 181

Form of object is not something external relative to this object. The form belongs to object and object defines this form. This is why forms of existence of real world are common structure defined by its fundamental properties... Efficient theory of spacetime essentially derives properties of spacetime from properties of matter. This was the source of geometry. First of all it reflected general properties of relations between solid bodies which were defined in particular by ability to move.

[9], p 117

... it is certain that mathematics generally, and particularly geometry, owes its existence to the need which was felt of learning something about the relations of real things to one another. The very word geometry, which, of course, means earth measuring, proves this. For earth measuring has to do with the possibilities of the disposition of certain natural objects with respect to one another, namely, with parts of the earth, measuring-lines, measuring-wands, etc. It is clear that the system of concepts of axiomatic geometry alone cannot make any assertions as to the relations of real objects of this kind, which we will call practically rigid bodies. To be able to make such assertions, geometry must be stripped of its merely logical-formal character by the co-ordination of real objects of experience with the empty conceptual framework of axiomatic geometry. To accomplish this, we need only add the proposition:

- Solid bodies are related, with respect to their possible dispositions, as are bodies in Euclidean geometry of three dimensions. Then the propositions of Euclid contain affirmations as to the relations of practically rigid bodies.

Geometry thus completed is evidently a natural science... Its affirmations rest essentially on induction from experience, but not on logical inferences only. We will call this completed geometry practical geometry, and shall distinguish it in what follows from purely axiomatic geometry. The question whether the practical geometry of the universe is Euclidean or not has a clear meaning, and its answer can only be furnished by experience. All linear measurement in physics is practical geometry in this sense, so too is geodetic and astronomical linear measurement, if we call to our help the law of experience that light is propagated in a straight line, and indeed in a straight line in the sense of practical geometry.

[3]

This discussion shows that mathematics is not separate area of knowledge that develops independently from cognitive and reformatory practice of human. In deed, practice is initial source for mathematics and finally mathematics is indispensable instrument in human practice.

2.2. Spacetime

... Space and time are not simple forms of phenomena but objective and real forms of existence. There is nothing in the world except moving matter and moving matter can move only in space and time... Changeability of human representations of space and time deny objective reality of both as little as changeability of scientific knowledge about structure and forms of movement of matter do not deny of objective reality of exterior world.

Lenin, 110

... Not objects assume existence of space and time, but space and time assume existence of objects because space or extent assumes existence of something that is extensive and time assumes movement. Time is only idea derived from movement and assumes existence of something that moves. Everything is spatial and temporal.

Fuerbach

Before study of interaction of geometry and general relativity we have to make clear definition of main concepts. Main concept of geometry is space. Space filled by physical contents is spacetime.

... Idea "mater object" has to exist before ideas related to space. This is logically initial idea. We can easily make sure this analyzing such spatial terms as "near", "contact", etc. and looking for their equivalence in experiment.

109, p 135

Physical idea of time responds to idea of intuitive mind. However, such idea traces back to order in time of sensations of person and we have to accept this order as something initially given. Somebody feels ... perception at this moment and this perception is connected with remembrance about (previous) perceptions. This is a reason that perceptions create time series based on estimations "before" and "after". These series may be repeated and then we can identify them. In addition, they may be repeated inaccurately, with replacement of some events by others. Moreover, we do not lose pattern of repetition. We come this way to introduction of time like one-dimensional frame that we can fill different way by sensations. The same series of sensations respond to the same subjective intervals of time.

Transition from this "subjective" time ... to concept of time in pre-scientific mind is linked with rise of idea of existence of real world that is independent from subject. In the sense, they establish correspondence between (objective) event and subjective sensation; they compare "subjective" time of sensation with "time" of corresponding "objective" event.

External events and their order claim to truth for all subjects contrary to sensations.

... At more detailed examination of idea of objective world of external events it required to establish more complex dependence between events and sensations. At first, it was done with help of instinctive rules of mind where of space plays the most important role. Process of complication of concepts leads finally to natural fields of science.

109, p 242, 243

Form of object ... is set of relations between its parts. Therefore, we should speak about matter connections of elements of the world, which in their totality define spacetime.

The simplest element of world is something that we call event. It is "point" phenomenon like flash of bulb. Using visual concepts about spacetime this is phenomenon that we can disregard its extent in space and time... Event is like point in geometry... Any phenomenon, any process occurs as connected set of events.

Abstracting from all properties of event apart from it exists we represent it as ... "world point". spacetime is set of all world points.

[9], p 133, 134

However, such definition is incomplete. It does not consider that any event ... influences on any other events and it itself is influenced by other events. In general, an influence is movement that connects one event with other through row of intermediate events... Using concepts of physics, we can define influence transmission of momentum and energy.

[9], p 134

Geometry of spacetime in that way is inseparable from physical processes running in spacetime.

Spacetime is set of all events in the world such that they are abstract from all its properties except ones that are defined by relation of influence one event on another.

Spacetime structure of the world is its causal-investigatory structure acquired in proper abstraction.

[9], p 135

Next question that we want to study is question about physical content of concept of coordinates. To understand all importance of this question let recall how introduced Einstein common time in relativity. First, each observer has its own clock. To insure that time of each observer is coordinate we need synchronization of the clocks. However, process of synchronization is based on physical phenomena.

If at the point A of space there is a clock, an observer at A can determine the time values of events in the immediate proximity of A by finding the positions of the hands which are simultaneous with these events. If there is at the point B of space another clock in all respects resembling the one at A , it is possible for an observer at B to determine the time values of events in the immediate neighbourhood of B . But it is not possible without further assumptions to compare, in respect of time, an event at

A with an events at B . We have not defined a common "time" for A and B , for the latter cannot be defined at all unless we establish by definition that the "time" required by light to travel from A to B equal the "time" it requires to travel from B to A . Let a ray of light start at the "A time" t_A from A toward B , let it at the "B time" t_B to be reflected at B in the direction of A , and arrive again at A at "A-time" t'_A .

In accordance with definition the two clocks synchronize if

$$t_B - t_A = t'_A - t_B$$

We assume that this definition of synchronism is free from contradictions, and possible for any number of points; and that the following relations are universally valid: -

- 1) If the clock at B synchronizes with the clock at A , the clock at A synchronizes with the clock at B ;
- 2) If the clock at A synchronizes with the clock at B and also with the clock at C , the clocks at B and C also synchronize with each other.

[1], pp. 39, 40

Similar construction based on measurement of distance between observers (we can do it also with help of light signal) leads to concept of space coordinates.

Problem of coordinates in general relativity is more complex; however, its main point remains: coordinates are concentrated expression of interaction of different observers in spacetime.

2.3. Covariance Principle

Movement is essence of time and space, because it is universal; to understand it means to tell its essence in form of concept.

Gegel, Lectures about history of philosophy

Movement is essence of time and space. Two main concepts express this essence: (infinite) continuity and "punctuality" (= negation of continuity, discontinuity). Movement is unity of continuity (of time and space) and discontinuity (of time and space). Movement is contradiction, is unity of contradictions.

Lenin, Philosophic notebooks

After definition of space, we can turn to main principles of general relativity. General covariance principle and equivalence principle are main principles of general relativity. There is close connection between them. Einstein formulates main principles guided by Mach principle.

Let K is Galiley coordinate system, i.e. certain mass enough remote from others moves straightforward and uniformly relative this system (at least in considered 4 dimension area). Let K' is second coordinate system which moves uniformly accelerated relative K . Then enough isolated from other mass performs relative K' accelerated movement; moreover

nor acceleration nor direction does not depend from chemical structure or physical state of this mass.

Can observer, rest relative coordinate system K' , conclude from this that he is in "really" accelerated coordinate system? Answer on this question has to be negative because we can differently; explain behavior of masses free moving relative K' . Coordinate system K' does not have acceleration, however in considered area of spacetime there is gravitational field which causes accelerated movement of bodies relative K' .

[2], pp. 521, 522

However, Einstein made in this manuscript two mistakes. Stating foundations of general relativity he writes

We see from the considerations that creation of general relativity must lead to theory of gravitation because we can "create" gravitational field simply changing coordinate system.

[2], p. 522

First, close connection of main principles does not mean their equality. Equivalence principle was historically first and the simplest principle formulated in general covariant form. Later Einstein realized that he cannot reduce general relativity to gravitational field. He spent the rest of his life to development of covariance principle.

Second. Einstein by mistake identified Lorentz transformation with general coordinate transformation as result of identification reference frame and coordinate system. The grossest error was that Einstein supposed that it is possible to create gravitational field in inertial reference frame using Lorentz transformation even we did not observe it before. However this contradicts to covariance principle. Actually, we have here transfer to noninertial reference frame expressed in appearance of nonholonomy of coordinates used by observer.

... It is impossible to substitute field of gravity by state of movement of system without gravitational field as well as it is impossible to transform all points of arbitrarily moving thread to rest by relativistic transformation.

107, p 166

However, isolated observer does not know which coordinate he uses. From other side in inertial reference frame and in gravitational field free bodies move along trajectory which does not depend on mass.

Equivalence principle is statement about complete equivalence of all physical processes and phenomena in homogeneous field of gravity and in appropriate uniformly accelerated reference frame. In general case we speak about enough small spacetime areas. Equality of inertial mass and gravitational mass follows from equivalence principle because otherwise mechanical movement in accelerated system would be different from mechanical movement in field of gravity.

Ginzburg, 105, p 339

Analysis that I made recently shows that equivalence principle does not relates to equality of two different types of mass. The main point of equivalence principle is that no one phenomenon can distinguish one

reference frame from another and laws of physics do not depend on which reference frame we use. Learning of electro magnetic fields shows that mass is less important in general relativity than we believed before. Not mass but momentum-energy tensor creates gravitational field. Light does not have mass but it has momentum. Einstein fixed his errors and formulated main principles next way: Let K is inertial system without field of gravity, K' is coordinate system which moves uniformly accelerated relative K . Then behavior of matter point relative system K' will be the same as when K' is inertial system where homogeneous field of gravity exists. Thus, definition of inertial system appears unfounded on the base of known from experience properties of gravity. Arises idea, that from point of view formulating law of nature each any way moving reference frame tantamount any other and therefore for areas of finite extent there are no physically chosen (privileged) states of movement (general relativity). Consistent realization of this idea demands more deep then in special relativity modification of geometric and kinematics fundamentals of theory... Generalizing we come to next result: field of gravity and metrics represent different forms of manifestation of the same physical field.

[4]

Modern formulating of covariance principle does not depend on equivalence principle. Main point is that Lorentz transformations create definite group and physical values are invariant structures relative this group.

I want to point out, different erroneous interpretations of statements of general relativity and Einstein's statements (in particular, early) deplete content of general relativity. Thus identifying both principles Fock claimed that general relativity would be better called gravitation theory. Others authors consider that either principle like the Mach principle served as midwife and is not the basic principle of the theory anymore. Ambiguity of definition of Lorentz transformation caused wide research. Researchers mistaken simplified problem, choosed privileged reference frame. However, this contradicts to equivalence principle.

Essential achievement of general relativity consists in escape of physics to introduce "inertial system". The latter concept is unsatisfactory because it chooses some systems from all conceptually possible coordinate systems without any proof. Then it assumes that laws of physics apply only for such inertial systems... On this way, space as such receives part choosing it from other elements of physical description. It plays certain part in all processes but does not meet back action. Such theory is possible; however, it does not appear satisfactory. Newton quite realized this imperfection; but he as well realized that he does not have another way at his time. Ernst Mach put particular attention on this circumstance between physicists of posterior time.

106, p 854, 855

Ginzburg writes systematizing erroneous conceptions

... Name "general relativity" is completely naturally and we do not have reasons to decline it. Also change of this name seems impossible because of established custom.

Unfortunately, the questions of terminology and word usage interlace such close with existing problems that they very often prevent discussion of these problems ... and force to argue about words... Question about name of theory ... such clear terminological and cannot create divergence of the essentials. However, we cannot tell the same about problem of existing privileged reference frame in general relativity... Privileged reference frame in general relativity exists for small enough area in spacetime ... i.e. free falling local inertial reference frame ... where there are no forces of gravity and special relativity is correct. However, such systems ... do not coincide with inertial systems of classical mechanics...

We do not see any analogue of inertial system, any so privileged system for area of finite extend. Opportunity of terminological disagreement appears here. Research of specific problems is associated with simplification, approximation, idealization of situation... However quite obviously particular case of such privilege which is different from privilege of inertial system of classical mechanics.

105, p 343 - 345

2.4. Spacetime and Quantum

Every man is prisoner of his own ideas, and everybody must to blow up it in his youth to try comparing his ideas with reality. However, it is possible through several centuries that other man will reject his ideas. It is impossible in case of artist for his peculiarity. It happens only on the way to truth. And this is not sorrow.

[7]

Ideas are close associated with physics. In macrophysics, all bodies have accurately definite form and move along accurately definite trajectories and geometry (in the variety of representations and theories) describes uniquely defined structures. General relativity is not exception.

In particular simple event is event that we can disregard duration and size. When we consider quantum processes such definition becomes incorrect. Point in space, trajectory of movement, form of body become abstractions, which do not have real analogue. However, we cannot disregard duration or size in most cases. Disappearance of border existing in macrophysics between waves and particles leads to washing out accurate geometric forms. Therefore, geometric forms come to contradiction with physics.

Joint analysis of equations of quantum mechanics and general relativity leads to paradoxical conclusion: we need to quantize metrics. We still do not have appropriate geometry. We yet not have corresponding geometry, However simple constructions allow to say something definite about geometric structure of space of general relativistic quantum mechanics.

To understand the kernel of new geometric concepts let us consider visual geometric example. Let us consider the manifold of dimension 2. Assume that as result of problem solving we have got two metrics describing spheres of radii R and r . Thus, in any point of manifold observer will be simultaneously on both spheres.

Assume that we are on north pole. Then we discover that both spheres are tangent in north pole. Let us move to south. However the question arises: along which sphere will we move? Assume that we will move along large sphere. Then we stop to be tangent to small sphere. However this contradicts to assumption. Therefore, during movement along large sphere we carry along small sphere. Similarly, moving along small sphere, we carry along large sphere.

Undoubtedly, this picture does not depend neither from dimension of manifold nor from number and value of metrics. Now we can sum up.

- Quantization of metric tensor leads to foliating of main manifold (according to value of metric tensor).

- Quantization of metric tensor pushes out moving object from main manifold into manifold of tangent plains. We saw this process in general relativity: system of measuring instruments of observer is in tangent plains. During movement of observer the main manifold moves without sliding along plains and is tangent to them all time.

- Parallel transfer along given line is ambiguous and apparently is irreversible operation. Geodesic line is no more line as we use it in regular geometry and disintegrate into set of lines. Movement along these lines occurs certain probability. This leads to ambiguous representation of measuring instrument which observer uses.

Terra incognita of mathematical and physical effects follows farther. The time is not far distant when we are witnesses of new achievements in geometry, physics, philosophy.

Before I turn to question about completion of general relativity, I must to state my position relative physical theory that achieved the greatest progress from all physical theories of our time. I keep in mind statistic quantum mechanics... This is only modern theory giving orderly explanation to our knowledge of quantum nature of micro-mechanical processes. This theory from one hand and general relativity from other are considered correct in a sense although merging these theories did not turn out well so far though all efforts. This may be the reason that between modern physicist-theorist there are absolutely different opinions how theoretical foundation of future physics will look like. Will it be field theory?

[8], p. 288, 289

B. Field theory is not yet completely defined by system field equations. Must we acknowledge existence of singularity? Must we postulate boundary conditions?

C. May we think that field theory will allow to understand atomistic and quantum structure?.. I suppose nobody knows know something reliable because we do not know how and to what extent elimination of singularities reduces set of solutions. We do not have at all any method for methodical getting of solutions that are free from singularities... Now prevails opinion that before we need transfer field theory to statistic theory of probability using "quantization"... I see here only attempt to describe relationship of essentially nonlinear nature using linear methods.

D. We can conclusively prove that reality cannot be described by continuous field. It follows from quantum phenomena that finite system with

finite energy may be described by finite set of numbers (quantum numbers). It does not allow combining this with theory of continuum and demand algebraic theory to describe reality. However now nobody knows how to find basis for such theory.

106, p 872, 873

Before we find new geometry we can study what may happens if we join ideas of general relativity and quantum mechanics.

CHAPTER 3

Representation of Group

3.1. Representation of Group

DEFINITION 3.1.1. We call the map

$$t : M \rightarrow M$$

nonsingular transformation, if there exists inverse map. □

DEFINITION 3.1.2. Let

$$ts = t \circ s$$

be product of transformations k and l . Transformations is called **left-side transformation** or it acts from left

$$u' = tu$$

if

$$t(sv) = (ts)v$$

We denote $l(M)$ the set of left-side nonsingular transformations of set M . □

DEFINITION 3.1.3. Let

$$ts = t \circ s$$

be product of transformations k and l . Transformations is called **right-side transformation** or it acts from right

$$u' = ut$$

if

$$(vs)t = v(st)$$

We denote $r(M)$ the set of right-side nonsingular transformations of set M . □

We denote δ identical transformation.

DEFINITION 3.1.4. Let $l(M)$ be a group and δ be unit of group $l(M)$. Let G be group. We call a homomorphism of group

$$f : G \rightarrow l(M)$$

left-side representation of group^{3.1} G in set M if map f holds

$$(3.1.1) \quad f(ab)u = f(a)(f(b)u)$$

□

^{3.1} The theory of group representation is a special case of the theory of representation of universal algebra [36].

DEFINITION 3.1.5. Let $r(M)$ be a group and δ be unit of group $r(M)$. Let G be group. We call a homomorphism of group

$$f : G \rightarrow r(M)$$

right-side representation of group G in set M if map f holds

$$(3.1.2) \quad uf(ab) = (uf(a))f(b)$$

□

Any statement which holds for left-side representation of group holds also for right-side representation. For this reason we use the common term **representation of group** and use notation for left-side representation in case when it does not lead to misunderstanding.

THEOREM 3.1.6. For any $g \in G$

$$(3.1.3) \quad f(g^{-1}) = f(g)^{-1}$$

PROOF. Since (3.1.1) and

$$(3.1.4) \quad f(e) = \delta$$

we have

$$u = \delta u = f(gg^{-1})u = f(g)(f(g^{-1})u)$$

This completes the proof. □

EXAMPLE 3.1.7. Let G be group. The group operation determines two different representations on the set G : the **left shift** which we introduce by the equation

$$(3.1.5) \quad b' = L(a)b = ab$$

and the **right shift** which we introduce by the equation

$$(3.1.6) \quad b' = R(a)b = ba$$

□

THEOREM 3.1.8. Let representation

$$u' = f(a)u$$

be left-side representation. Then representation

$$u' = uh(a) = f(a^{-1})u$$

is right-side representation.

PROOF. Statement follows from chain of equations

$$\begin{aligned} uh(ab) &= f((ab)^{-1})u = f(b^{-1}a^{-1})u = f(b^{-1})(f(a^{-1})u) = f(b^{-1})(uh(a)) \\ &= (uh(a))h(b) \end{aligned}$$

□

DEFINITION 3.1.9. Let f be left-side representation of the group G in set M . For any $v \in M$ we define **orbit of representation of the group G** as set

$$f(G)v = \{w = f(g)v : g \in G\}$$

□

DEFINITION 3.1.10. Let f be right-side representation of the group G in set M . For any $v \in M$ we define **orbit of representation of the group G** as set

$$vf(G) = \{w = vf(g) : g \in G\}$$

□

Since $f(e) = \delta$ we have $v \in f(G)v$. u in orbit of v

THEOREM 3.1.11. Suppose

$$(3.1.7) \quad v \in f(G)u$$

Then

$$(3.1.8) \quad f(G)u = f(G)v$$

PROOF. From (3.1.7) it follows that there exists $a \in G$ such that

$$(3.1.9) \quad v = f(a)u$$

Suppose $w \in f(G)v$. Then there exists $b \in G$ such that

$$(3.1.10) \quad w = f(b)v$$

If we substitute (3.1.9) into (3.1.10) we get

$$(3.1.11) \quad w = f(b)(f(a)u)$$

Since (3.1.1), we see that from (3.1.11) it follows that $w \in f(G)u$. Thus

$$(3.1.12) \quad f(G)v \subseteq f(G)u$$

Since (3.1.3), we see that from (3.1.9) it follows that

$$(3.1.13) \quad u = f(a)^{-1}v = f(a^{-1})v$$

From (3.1.13) it follows that $u \in f(G)v$ and therefore

$$(3.1.14) \quad f(G)u \subseteq f(G)v$$

The statement (3.1.8) follows from statements (3.1.12), (3.1.14). □

THEOREM 3.1.12. Suppose f_1 is representation of group G in set M_1 and f_2 is representation of group G in set M_2 . Then we introduce **direct product of representations f_1 and f_2 of group**

$$f = f_1 \otimes f_2 : G \rightarrow M_1 \otimes M_2$$

$$f(g) = (f_1(g), f_2(g))$$

PROOF. To show that f is a representation, it is enough to prove that f satisfies the definition 3.1.4.

$$f(e) = (f_1(e), f_2(e)) = (\delta_1, \delta_2) = \delta$$

$$f(ab)u = (f_1(ab)u_1, f_2(ab)u_2)$$

$$= (f_1(a)(f_1(b)u_1), f_2(a)(f_2(b)u_2))$$

$$= f(a)(f_1(b)u_1, f_2(b)u_2)$$

$$= f(a)(f(b)u)$$

□

3.2. Single Transitive Representation of Group

DEFINITION 3.2.1. We call **kernel of inefficiency of representation of group G** a set

$$K_f = \{g \in G : f(g) = \delta\}$$

If $K_f = \{e\}$ we call representation of group G **effective**. \square

THEOREM 3.2.2. A kernel of inefficiency is a subgroup of group G .

PROOF. Assume $f(a_1) = \delta$ and $f(a_2) = \delta$. Then

$$\begin{aligned} f(a_1 a_2)u &= f(a_1)(f(a_2)u) = u \\ f(a^{-1}) &= f^{-1}(a) = \delta \end{aligned}$$

\square

If an action is not effective we can switch to an effective one by changing group $G_1 = G/K_f$ using factorization by the kernel of inefficiency. This means that we can study only an effective action.

DEFINITION 3.2.3. We call a representation of group **transitive** if for any $a, b \in V$ exists such g that

$$a = f(g)b$$

We call a representation of group **single transitive** if it is transitive and effective. \square

THEOREM 3.2.4. Representation is single transitive if and only if for any $a, b \in V$ exists one and only one $g \in G$ such that $a = f(g)b$

DEFINITION 3.2.5. We call a space V **homogeneous space** of group G if we have single transitive representation of group G on V . \square

THEOREM 3.2.6. If we define a single transitive representation f of the group G on the manifold A then we can uniquely define coordinates on A using coordinates on the group G .

If f is a covariant representation then $f(a)$ is equivalent to the left shift $L(a)$ on the group G . If f is a contravariant representation then $f(a)$ is equivalent to the right shift $R(a)$ on the group G .

PROOF. We select a point $v \in A$ and define coordinates of a point $w \in A$ as coordinates of the transformation a such that $w = f(a)v$. Coordinates defined this way are unique up to choice of an initial point $v \in A$ because the action is effective.

If f is a covariant representation we will use the notation

$$f(a)v = av$$

Because the notation

$$f(a)(f(b)v) = a(bv) = (ab)v = f(ab)v$$

is compatible with the group structure we see that the covariant representation f is equivalent to the left shift.

If f is a contravariant representation we will use the notation

$$f(a)v = va$$

Because the notation

$$f(a)(f(b)v) = (vb)a = v(ba) = f(ba)v$$

is compatible with the group structure we see that the contravariant representation f is equivalent to the right shift. \square

THEOREM 3.2.7. *Left and right shifts on group G are commuting.*

PROOF. This is the consequence of the associativity on the group G

$$(L(a)R(b))c = a(cb) = (ac)b = (R(b)L(a))c$$

\square

THEOREM 3.2.8. *If we defined a single transitive representation f on the manifold A then we can uniquely define a single transitive representation h such that diagram*

$$\begin{array}{ccc} M & \xrightarrow{h(a)} & M \\ \downarrow f(b) & & \downarrow f(b) \\ M & \xrightarrow{h(a)} & M \end{array}$$

is commutative for any $a, b \in G$.^{3.2}

PROOF. We use group coordinates for points $v \in A$. For the simplicity we assume that f is a covariant representation. Then according to theorem 3.2.6 we can write the left shift $L(a)$ instead of the transformation $f(a)$.

Let points $v_0, v \in A$. Then we can find one and only one $a \in G$ such that

$$v = v_0 a = R(a)v_0$$

We assume

$$h(a) = R(a)$$

For some $b \in G$ we have

$$w_0 = f(b)v_0 = L(b)v_0 \quad w = f(b)v = L(b)v$$

According to theorem 3.2.7 the diagram

$$(3.2.1) \quad \begin{array}{ccc} v_0 & \xrightarrow{h(a)=R(a)} & v \\ \downarrow f(b)=L(b) & & \downarrow f(b)=L(b) \\ w_0 & \xrightarrow{h(a)=R(a)} & w \end{array}$$

is commutative.

Changing b we get that w_0 is an arbitrary point of A .

We see from the diagram that if $v_0 = v$ then $w_0 = w$ and therefore $h(e) = \delta$. On other hand if $v_0 \neq v$ then $w_0 \neq w$ because the representation f is single transitive. Therefore the representation h is effective.

In the same way we can show that for given w_0 we can find a such that $w = h(a)w_0$. Therefore the representation is single transitive.

In general the representation f is not commutative and therefore the representation h is different from the representation f . In the same way we can create a representation f using the representation h . \square

^{3.2}The theorem 3.2.8 is really very interesting. However its meaning becomes more clear when we apply this theorem to basis manifold, see section 4.1.

REMARK 3.2.9. *It is clear that transformations $L(a)$ and $R(a)$ are different until the group G is nonabelian. However they both are maps onto. Theorem 3.2.8 states that if both right and left shift presentations exist on the manifold A we can define two commuting representations on the manifold A . The left shift or the right shift only cannot present both types of representation. To understand why it is so let us change diagram (3.2.1) and assume $h(a)v_0 = L(a)v_0 = v$ instead of $h(a)v_0 = R(a)v_0 = v$ and let us see what expression $h(a)$ has at the point w_0 . The diagram*

$$\begin{array}{ccc} v_0 & \xrightarrow{h(a)=L(a)} & v \\ \downarrow f(b)=L(b) & & \downarrow f(b)=L(b) \\ w_0 & \xrightarrow{h(a)} & w \end{array}$$

is equivalent to the diagram

$$\begin{array}{ccc} v_0 & \xrightarrow{h(a)=L(a)} & v \\ \uparrow f^{-1}(b)=L(b^{-1}) & & \downarrow f(b)=L(b) \\ w_0 & \xrightarrow{h(a)} & w \end{array}$$

and we have $w = bv = bav_0 = bab^{-1}w_0$. Therefore

$$h(a)w_0 = (bab^{-1})w_0$$

We see that the representation of h depends on its argument. □

Basis Manifold

4.1. Basis in Vector Space

DEFINITION 4.1.1. Let D be field. Abelian group V is called **vector space** over field D if we define the product^{4.1}

$$* : V \times D \rightarrow V$$

$$* : D \times V \rightarrow V$$

which satisfies to following conditions:

4.1.1.1: **comutative law**

$$(4.1.1) \quad vp = pv$$

4.1.1.2: **associative law**

$$(4.1.2) \quad v(pq) = (vp)q$$

4.1.1.3: **distributive law**

$$(4.1.3) \quad (v + w)p = vp + wp$$

$$(4.1.4) \quad v(p + q) = vp + vq$$

4.1.1.4: **unitarity law**

$$(4.1.5) \quad v1 = v$$

for any $p, q \in D, v, w \in V$. □

THEOREM 4.1.2. Let V be vector space. The set of vectors generated by the set of vectors $v = (v_i \in V, i \in I)$ has form^{4.2}

$$(4.1.6) \quad J(v) = \left\{ w : w = \sum_{i \in I} v_i c^i, c^i \in D, |\{i : c^i \neq 0\}| < \infty \right\}$$

PROOF. We need to prove following statements:

$$4.1.2.1: v_k \in J(v)$$

$$4.1.2.2: v_k c^k \in J(v), c^k \in D, k \in I$$

$$4.1.2.3: \sum_{k \in I} v_k c^k \in J(v), c^k \in D, |\{i : c^i \neq 0\}| < \infty$$

$$4.1.2.4: w_1, w_2 \in J(v) \Rightarrow w_1 + w_2 \in J(v)$$

$$4.1.2.5: a \in D, w \in J(v) \Rightarrow wa \in J(v)$$

^{4.1} Because product in the field D is commutative, it doesn't matter to us, we write the product in the form of av or va . I choose notation va because I want to use matrix representation of vector.

^{4.2} For a set A , we denote by $|A|$ the cardinal number of the set A . The notation $|A| < \infty$ means that the set A is finite.

- For any $v_k \in v$, let $c^i = \delta_k^i \in D$. Then

$$(4.1.7) \quad v_k = \sum_{i \in I} v_i c^i$$

The statement 4.1.2.1 follows from (4.1.6), (4.1.7).

- The statement 4.1.2.2 follows from the definition 4.1.1 and from the statement 4.1.2.1.
- Since V is Abelian group, then the statement 4.1.2.3 follows from the statement 4.1.2.2 and from the definition 4.1.1.
- Let $w_1, w_2 \in J(v)$. Since V is Abelian group, then the vector $w_1 + w_2$ is generated by the set of vectors v . According to the equality (4.1.6), there exist D -numbers $w_1^i, w_2^i, i \in I$, such that

$$(4.1.8) \quad w_1 = \sum_{i \in I} v_i w_1^i \quad w_2 = \sum_{i \in I} v_i w_2^i$$

where sets

$$(4.1.9) \quad H_1 = \{i \in I : w_1^i \neq 0\} \quad H_2 = \{i \in I : w_2^i \neq 0\}$$

are finite. Since V is Abelian group, then from the equality (4.1.8) it follows that

$$(4.1.10) \quad w_1 + w_2 = \sum_{i \in I} v_i w_1^i + \sum_{i \in I} v_i w_2^i = \sum_{i \in I} (v_i w_1^i + v_i w_2^i)$$

The equality

$$(4.1.11) \quad w_1 + w_2 = \sum_{i \in I} v_i (w_1^i + w_2^i)$$

follows from equalities (4.1.4), (4.1.10). From the equality (4.1.9), it follows that the set

$$\{i \in I : w_1^i + w_2^i \neq 0\} \subseteq H_1 \cup H_2$$

is finite. Therefore, the statement 4.1.2.4 is true.

- Let $w \in J(v)$. According to the definition 4.1.1, for any D -number a , the vector wa is generated by the set of vectors v . According to the equality (4.1.6), there exist D -numbers $w^i, i \in I$, such that

$$(4.1.12) \quad w = \sum_{i \in I} v_i w^i$$

where

$$(4.1.13) \quad |\{i \in I : w^i \neq 0\}| < \infty$$

From the equality (4.1.12) it follows that

$$(4.1.14) \quad wa = \left(\sum_{i \in I} v_i w^i \right) a = \sum_{i \in I} (v_i w^i) a = \sum_{i \in I} (v_i w^i a)$$

From the statement (4.1.13), it follows that the set $\{i \in I : w^i a \neq 0\}$ is finite. Therefore, the statement 4.1.2.5 is true.

□

DEFINITION 4.1.3. Let $v = (v_i \in V, i \in I)$ be set of vectors. The expression $v_i w^i$ is called **linear combination** of vectors v_i . A vector $\bar{w} = v_i w^i$ is called **linearly dependent** on vectors v_i . \square

We represent the set of D -numbers $w^i, i \in I$, as matrix

$$w = \begin{pmatrix} w^1 \\ \dots \\ w^n \end{pmatrix}$$

We represent the set of vectors $v_i, i \in I$, as matrix

$$v = \begin{pmatrix} v_1 & \dots & v_n \end{pmatrix}$$

Then we can represent linear combination of vectors $\bar{w} = v_i w^i$ as

$$\bar{w} = vw$$

THEOREM 4.1.4. Since the equation

$$v_i w^i = 0$$

implies existence of index $i = j$ such that $w^j \neq 0$, then the vector v_j linearly depends on rest of vectors v .

PROOF. The theorem follows from the equality

$$v_j = \sum_{i \in I \setminus \{j\}} v_i w^i (w^j)^{-1}$$

and from the definition 4.1.3. \square

It is evident that for any set of vectors v_i

$$w^i = 0 \Rightarrow vw = 0$$

DEFINITION 4.1.5. The set of vectors^{4.3} $v_i, i \in I$, of vector space V is **linearly independent** if $w = 0$ follows from the equation

$$v_i w^i = 0$$

Otherwise the set of vectors $v_i, i \in I$, is **linearly dependent**. \square

Definitions 4.1.6, 4.1.7 follow from the theorem 4.1.2.

DEFINITION 4.1.6. $J(v)$ is called vector subspace generated by set v , and v is a **generating set** of vector subspace $J(v)$. In particular, a **generating set** of vector space V is a subset $X \subset V$ such that $J(X) = V$. \square

DEFINITION 4.1.7. If the set $X \subset V$ is generating set of vector space V , then any set $Y, X \subset Y \subset V$ also is generating set of vector space V . If there exists minimal set X generating the vector space V , then the set X is called **basis** of vector space V . \square

THEOREM 4.1.8. The set of vectors $\bar{e} = (e_i, i \in I)$ is basis of vector space V , if following statements are true.

4.1.8.1: Arbitrary vector $v \in V$ is linear combination of vectors of the set \bar{e} .

^{4.3} I follow to the definition in [24], page 130.

4.1.8.2: Vector e_i cannot be represented as a linear combination of the remaining vectors of the set \bar{e} .

PROOF. According to the statement 4.1.8.1, the theorem 4.1.2 and the definition 4.1.3, the set \bar{e} generates vector space V (the definition 4.1.6). According to the statement 4.1.8.2, the set \bar{e} is minimal set generating vector space V . According to the definitions 4.1.7, the set \bar{e} is a basis of vector space V . \square

THEOREM 4.1.9. The set of vectors $\bar{e} = (e_i, i \in I)$ is a **basis of vector space** V if vectors e_i are linearly independent and any vector $v \in V$ linearly depends on vectors e_i .

PROOF. Let the set of vectors $e_i, i \in I$, be linear dependent. Then the equation

$$e_i w^i = 0$$

implies existence of index $i = j$ such that $w^j \neq 0$. According to the theorem 4.1.4, the vector e_j linearly depends on rest of vectors of the set \bar{e} . According to the definition 4.1.7, the set of vectors $e_i, i \in I$, is not a basis for vector space V .

Therefore, if the set of vectors $e_i, i \in I$, is a basis, then these vectors are linearly independent. Since an arbitrary vector $v \in V$ is linear combination of vectors $e_i, i \in I$, then the set of vectors $v, e_i, i \in I$, is not linearly independent. \square

From the theorem 4.1.9, it follows that \bar{e} is a maximal set of linearly independent vectors. In case when we want to show clearly that this is the basis in vector space V we use notation \bar{e}_V .

DEFINITION 4.1.10. Let \bar{e} be the basis of vector space V and vector $\bar{v} \in V$ has expansion

$$\bar{v} = e_i v^i$$

with respect to the basis \bar{e} . D -numbers v^i are called **coordinates** of vector \bar{v} with respect to the basis \bar{e} . \square

Let \bar{e} be basis of vector space V . We represent the set of vectors $e_i, e_i \in \bar{e}$, as matrix

$$\bar{e} = \begin{pmatrix} e_1 & \dots & e_n \end{pmatrix}$$

We represent the set of coordinates v^1, \dots, v^n of vector \bar{v} with respect to the basis \bar{e} as matrix

$$v = \begin{pmatrix} v^1 \\ \dots \\ v^n \end{pmatrix}$$

Matrix of v is called **coordinate matrix of vector** \bar{v} in basis \bar{e} . Then we can represent the vector \bar{v} as product of matrices

$$\bar{v} = \bar{e}v = \begin{pmatrix} e_1 & \dots & e_n \end{pmatrix} \begin{pmatrix} v^1 \\ \dots \\ v^n \end{pmatrix}$$

THEOREM 4.1.11. Coordinates of vector $v \in V$ relative to basis \bar{e} of vector space V are uniquely defined.

PROOF. Let vector \bar{v} have expansions

$$(4.1.15) \quad \bar{v} = e_i v_1^i$$

$$(4.1.16) \quad \bar{v} = e_i v_2^i$$

with respect to basis \bar{e} . The equality

$$(4.1.17) \quad e_i v_1^i = e_i v_2^i \quad e_i(v_1^i - v_2^i) = 0$$

follows from equalities (4.1.15), (4.1.16). The statement $v_1^i = v_2^i$, $i = 1, \dots, n$, follows from the equality (4.1.17) and from the theorem 4.1.9. \square

THEOREM 4.1.12. *We represent the set of coordinates of vectors*

$$v = \begin{pmatrix} v_1 & \dots & v_m \end{pmatrix}$$

as matrix

$$(4.1.18) \quad \begin{pmatrix} v_1^1 & \dots & v_m^1 \\ \dots & \dots & \dots \\ v_1^n & \dots & v_m^n \end{pmatrix}$$

Then we represent coordinates of linear composition $v_i c^i$ of vectors v as product of matrices

$$(4.1.19) \quad \begin{pmatrix} v_i^1 c^i \\ \dots \\ v_i^n c^i \end{pmatrix} = \begin{pmatrix} v_1^1 & \dots & v_m^1 \\ \dots & \dots & \dots \\ v_1^n & \dots & v_m^n \end{pmatrix} \begin{pmatrix} c^1 \\ \dots \\ c^n \end{pmatrix}$$

PROOF. The theorem follows from the theorem 4.1.11. \square

THEOREM 4.1.13. *Let \bar{e}, \bar{f} be bases of vector space V . coordinate matrix*

$$e = \begin{pmatrix} e_1^1 & \dots & e_n^1 \\ \dots & \dots & \dots \\ e_1^n & \dots & e_n^n \end{pmatrix}$$

of basis \bar{e} with respect to basis \bar{f} is not singular matrix.

PROOF. According to the definition 4.1.5 and theorems 4.1.9, 4.1.12, the system of linear equations

$$(4.1.20) \quad \begin{pmatrix} e_1^1 & \dots & e_n^1 \\ \dots & \dots & \dots \\ e_1^n & \dots & e_n^n \end{pmatrix} \begin{pmatrix} c^1 \\ \dots \\ c^n \end{pmatrix} = \begin{pmatrix} 0 \\ \dots \\ 0 \end{pmatrix}$$

has unique solution. Therefore, the matrix e is not singular matrix. \square

4.2. Linear Transformation of Vector Space

DEFINITION 4.2.1. Let V be vector space. The map

$$f : V \rightarrow V$$

is called linear transformation of vector space V , if

$$(4.2.1) \quad f(av + bw) = af(v) + bf(w)$$

for any vectors $v, w \in V$. □

THEOREM 4.2.2. Let \bar{e} be a basis of vector space V . Then linear transformation

$$\bar{f} : V \rightarrow V$$

has presentation

$$(4.2.2) \quad w = fv$$

$$(4.2.3) \quad \begin{pmatrix} w^1 \\ \dots \\ w^n \end{pmatrix} = \begin{pmatrix} f_1^1 & \dots & f_n^1 \\ \dots & \dots & \dots \\ f_1^n & \dots & f_n^n \end{pmatrix} \begin{pmatrix} v^1 \\ \dots \\ v^n \end{pmatrix}$$

relative to the basis \bar{e} . Here

- v is coordinate matrix of vector \bar{v} relative the basis \bar{e}

$$(4.2.4) \quad \bar{v} = \bar{e}v = \begin{pmatrix} e_1 & \dots & e_n \end{pmatrix} \begin{pmatrix} v^1 \\ \dots \\ v^n \end{pmatrix}$$

- w is coordinate matrix of vector

$$(4.2.5) \quad \bar{w} = \bar{f}(\bar{v})$$

relative the basis \bar{e}

$$(4.2.6) \quad \bar{w} = \bar{e}w = \begin{pmatrix} e_1 & \dots & e_n \end{pmatrix} \begin{pmatrix} w^1 \\ \dots \\ w^n \end{pmatrix}$$

- f is coordinate matrix of set of vectors $(\bar{f}(e_i), e_i \in \bar{e})$ relative the basis \bar{e} . The matrix f is called **matrix of linear map** \bar{f} relative basis \bar{e} .

PROOF. Since the map \bar{f} is a linear map, then the equality

$$(4.2.7) \quad \bar{w} = \bar{f}(\bar{v}) = \bar{f}(\bar{e}v) = (\bar{f}(\bar{e}))v$$

follows from equalities (4.2.1), (4.2.4), (4.2.5). The vector $\bar{f}(e_i)$ has expansion

$$(4.2.8) \quad \bar{f}(e_i) = \bar{e}f_i = e_j f_i^j = \begin{pmatrix} e_1 & \dots & e_n \end{pmatrix} \begin{pmatrix} f_i^1 \\ \dots \\ f_i^n \end{pmatrix}$$

relative to basis \bar{e} . Combining (4.2.7) and (4.2.8), we get

$$(4.2.9) \quad \bar{w} = \bar{e}fv = e_i f_j^i v^j$$

$$\begin{pmatrix} e_1 & \dots & e_n \end{pmatrix} \begin{pmatrix} w^1 \\ \dots \\ w^n \end{pmatrix} = \begin{pmatrix} e_1 & \dots & e_n \end{pmatrix} \begin{pmatrix} f_1^1 & \dots & f_n^1 \\ \dots & \dots & \dots \\ f_1^n & \dots & f_n^n \end{pmatrix} \begin{pmatrix} v^1 \\ \dots \\ v^n \end{pmatrix}$$

The equality (4.2.3) follows from comparison of (4.2.6) and (4.2.9). \square

THEOREM 4.2.3. *The matrix f of linear transformation \bar{f} is non-singular iff the linear transformation \bar{f} maps a basis of vector space V into basis.*

PROOF. Let $\bar{e}, \bar{g}, \bar{h}$ be bases of vector space V . Let linear transformation \bar{f} maps the basis \bar{e} to the basis \bar{g} . Let

$$e = \begin{pmatrix} e_1^1 & \dots & e_n^1 \\ \dots & \dots & \dots \\ e_1^n & \dots & e_n^n \end{pmatrix}$$

be coordinate matrix of basis \bar{e} with respect to basis \bar{h} . Let

$$g = \begin{pmatrix} g_1^1 & \dots & g_n^1 \\ \dots & \dots & \dots \\ g_1^n & \dots & g_n^n \end{pmatrix}$$

be coordinate matrix of basis \bar{g} with respect to basis \bar{h} . Let

$$f = \begin{pmatrix} f_1^1 & \dots & f_n^1 \\ \dots & \dots & \dots \\ f_1^n & \dots & f_n^n \end{pmatrix}$$

be coordinate matrix of the map \bar{f} with respect to basis \bar{h} . Then the equality

$$(4.2.10) \quad \begin{pmatrix} g_1^1 & \dots & g_n^1 \\ \dots & \dots & \dots \\ g_1^n & \dots & g_n^n \end{pmatrix} = \begin{pmatrix} f_1^1 & \dots & f_n^1 \\ \dots & \dots & \dots \\ f_1^n & \dots & f_n^n \end{pmatrix} \begin{pmatrix} e_1^1 & \dots & e_n^1 \\ \dots & \dots & \dots \\ e_1^n & \dots & e_n^n \end{pmatrix}$$

follows from the theorem 4.2.2. According to the theorem 4.1.13, matrices e and g are not singular. Therefore, the matrix f also is not singular.

On the other hand, let coordinate matrix f of the map \bar{f} be non-singular. Since coordinate matrix e of basis \bar{e} is non-singular matrix, then from the equality (4.2.10), it follows that the matrix g is also non-singular matrix. Therefore, the matrix g is coordinate matrix of basis \bar{g} and the map \bar{f} maps basis into basis. \square

THEOREM 4.2.4. *The set of nonsingular matrices $G(V)$ forms a group. We usually call group $G(V)$ **symmetry group**. Group $G(V)$ generates left-side linear representation in vector space V .*

PROOF. According to the theorem 4.2.2 linear transformations

$$\bar{f} : V \rightarrow V$$

$$\bar{g} : V \rightarrow V$$

have form

$$(4.2.11) \quad \begin{pmatrix} w^1 \\ \dots \\ w^n \end{pmatrix} = \begin{pmatrix} f_1^1 & \dots & f_n^1 \\ \dots & \dots & \dots \\ f_1^n & \dots & f_n^n \end{pmatrix} \begin{pmatrix} v^1 \\ \dots \\ v^n \end{pmatrix}$$

$$(4.2.12) \quad \begin{pmatrix} u^1 \\ \dots \\ u^n \end{pmatrix} = \begin{pmatrix} g_1^1 & \dots & g_n^1 \\ \dots & \dots & \dots \\ g_1^n & \dots & g_n^n \end{pmatrix} \begin{pmatrix} w^1 \\ \dots \\ w^n \end{pmatrix}$$

The equality

$$(4.2.13) \quad \begin{pmatrix} u^1 \\ \dots \\ u^n \end{pmatrix} = \begin{pmatrix} g_1^1 & \dots & g_n^1 \\ \dots & \dots & \dots \\ g_1^n & \dots & g_n^n \end{pmatrix} \left(\begin{pmatrix} f_1^1 & \dots & f_n^1 \\ \dots & \dots & \dots \\ f_1^n & \dots & f_n^n \end{pmatrix} \begin{pmatrix} v^1 \\ \dots \\ v^n \end{pmatrix} \right) \\ = \left(\begin{pmatrix} g_1^1 & \dots & g_n^1 \\ \dots & \dots & \dots \\ g_1^n & \dots & g_n^n \end{pmatrix} \begin{pmatrix} f_1^1 & \dots & f_n^1 \\ \dots & \dots & \dots \\ f_1^n & \dots & f_n^n \end{pmatrix} \right) \begin{pmatrix} v^1 \\ \dots \\ v^n \end{pmatrix}$$

follows from equalities (4.2.11), (4.2.12). The theorem follows from the equality (4.2.13). The representation is left-side according to the rule of matrix product. \square

According to the theorem 4.2.2, we identify element g of group $G(V)$ with corresponding transformation of representation and write its action on vector $v \in V$ as gv . This point of view allows introduction of two types of coordinates for element g of group $G(V)$. We can either use coordinates defined on the group, or introduce coordinates as elements of the matrix of the corresponding transformation. The former type of coordinates is more effective when we study properties of group $G(V)$. The latter type of coordinates contains redundant data; however, it may be more convenient when we study representation of group $G(V)$. The latter type of coordinates is called **coordinates of representation**.

Depending on considered properties of vector space, we may consider a group $G \subseteq G(V)$, whose transformations preserve considered properties. Considered group G is called symmetry group of vector space V .

From the theorem 4.2.3, it follows that we can extend linear transformation of vector space V to the set of bases. Thus we can extend a left-side representation of the symmetry group to the set of bases. We write the action of element g of group G on basis \bar{e} as $g\bar{e}$. However not every two bases can be mapped by a transformation from the symmetry group because not every nonsingular linear transformation belongs to the representation of group G . Therefore, we can present the set of bases as a union of orbits of group G .

Properties of basis depend on the symmetry group. We can select basis \bar{e} vectors of which are in a relationship which is invariant relative to symmetry group. In this case all bases from orbit

$$G\bar{e} = \{g\bar{e}, g \in G\}$$

have vectors which satisfy the same relationship. Such a basis we call **G -basis**. In each particular case we need to prove the existence of a basis with certain properties. If such a basis does not exist we can choose an arbitrary basis.

DEFINITION 4.2.5. We call orbit $G\bar{e}$ of the selected basis \bar{e} the **basis manifold $\mathcal{B}(V)$ of vector space V** . \square

THEOREM 4.2.6. Representation of group G on basis manifold is single transitive representation.

PROOF. According to definition 4.2.5 at least one transformation of representation is defined for any two bases. To prove this theorem it is sufficient to show that this transformation is unique.

Consider elements g_1, g_2 of group G and a basis \bar{e} such that

$$(4.2.14) \quad g_1\bar{e} = g_2\bar{e}$$

From (4.2.14) it follows that

$$(4.2.15) \quad g_2^{-1}(g_1\bar{e}) = (g_2^{-1}g_1)\bar{e} = \bar{e}$$

Because any vector has a unique expansion relative to basis \bar{e} it follows from (4.2.15) that $g_2^{-1}g_1$ is an identical transformation of vector space V . $g_1 = g_2$ because representation of group G is effective on vector space V . Statement of the theorem follows from this. \square

Theorem 4.2.6 means that the basis manifold $\mathcal{B}(V)$ is a homogenous space of group G . We constructed left-side single transitive linear representation of group G on the basis manifold. Such representation is called **active representation**. A corresponding transformation on the basis manifold is called **active transformation** ([27]) because the linear transformation of the vector space induced the transformation of basis manifold.

According to theorem 3.2.6 because basis manifold $\mathcal{B}(V)$ is a homogenous space of group G we can introduce on $\mathcal{B}(V)$ two types of coordinates defined on group G . In both cases coordinates of basis \bar{e} are coordinates of the homomorphism mapping a fixed basis \bar{e}_0 to the basis \bar{e} . Coordinates of representation are called **standard coordinates of basis**. We can show that standard coordinates e_k^i of basis \bar{e} for certain value of k are coordinates of vectors $\bar{e}_k \in \bar{e}$ relative to a fixed basis \bar{e}_0 .

Basis \bar{e} creates coordinates in V . In different types of space it may be done in different ways. In affine space if node of basis is point A then point B has the same coordinates as vector \overrightarrow{AB} relative basis \bar{e} . In a general case we introduce coordinates of a vector as coordinates relative to the selected basis. Using only bases of type G means using of specific coordinates on \mathcal{A}_n . To distinguish them we call this **G -coordinates**. We also call the space V with such coordinates **G -space**.

According to theorem 3.2.8 another representation, commuting with active, exists on the basis manifold. As we see from remark 3.2.9 transformation of this representation is different from a active transformation and cannot be reduced to transformation of space V . To emphasize the difference this transformation is called

a **passive transformation** of vector space V and the representation is called **passive representation**. We write the passive transformation of basis \bar{e} , defined by element $g \in G$, as $\bar{e}g$.

4.3. Basis in Affine Space

We identify vectors of the affine space \mathcal{A}_n with pair of points \overrightarrow{AB} . All vectors that have a common beginning A create a vector space that we call a tangent vector space $T_A\mathcal{A}_n$.

A topology that \mathcal{A}_n inherits from the map $\mathcal{A}_n \rightarrow R^n$ allows us to study smooth transformations of \mathcal{A}_n and their derivatives. More particularly, the derivative of transformation f maps the vector space $T_A\mathcal{A}_n$ into $T_{f(A)}\mathcal{A}_n$. If f is linear then its derivative is the same at every point. Introducing coordinates A^1, \dots, A^n of a point $A \in \mathcal{A}_n$ we can write a linear transformation as

$$(4.3.1) \quad A'^i = P_j^i A^j + R^i \quad \det P \neq 0$$

Derivative of this transformation is defined by matrix $\|P_j^i\|$, and does not depend on point A . Vector (R^1, \dots, R^n) expresses displacement in affine space. Set of transformations (4.3.1) is the group Lie which we denote as $GL(\mathcal{A}_n)$ and call **affine transformation group**.

DEFINITION 4.3.1. **Affine basis** $\bar{e} = \langle O, \bar{e}_i \rangle$ is set of linear independent vectors $\bar{e}_i = \overrightarrow{OA_i} = (e_i^1, \dots, e_i^n)$ with common start point $O = (O^1, \dots, O^n)$. \square

DEFINITION 4.3.2. **Basis manifold** $\mathcal{B}(\mathcal{A}_n)$ of affine space is set of bases of this space. \square

An active transformation is called **affine transformation**. A passive transformation is called **quasi affine transformation**.

If we do not concern about starting point of a vector we see little different type of space which we call central affine space \mathcal{CA}_n . In the central affine space we can identify all tangent spaces and denote them $T\mathcal{CA}_n$. If we assume that the start point of vector is origin O of coordinate system in space, then we can identify any point $A \in \mathcal{CA}_n$ with the vector $a = \overrightarrow{OA}$. This leads to identification of \mathcal{CA}_n and $T\mathcal{CA}_n$. Now transformation is simply map

$$a'^i = P_j^i a^j \quad \det P \neq 0$$

and such transformations build up Lie group GL_n .

DEFINITION 4.3.3. **Central affine basis** $\bar{e} = \langle \bar{e}_i \rangle$ is set of linearly independent vectors $\bar{e}_i = (e_i^1, \dots, e_i^n)$. \square

DEFINITION 4.3.4. **Basis manifold** $\mathcal{B}(\mathcal{CA}_n)$ of central affine space is set of bases of this space. \square

4.4. Basis in Euclid Space

When we introduce a metric in a central affine space we get a new geometry because we can measure a distance and a length of vector. If a metric is positive defined we call the space Euclid \mathcal{E}_n , otherwise we call the space pseudo Euclid \mathcal{E}_{nm} .

Transformations that preserve length form Lie group $SO(n)$ for Euclid space and Lie group $SO(n, m)$ for pseudo Euclid space where n and m number of positive and negative terms in metrics.

DEFINITION 4.4.1. Orthonormal basis $\bar{e} = \langle \bar{e}_i \rangle$ is set of linearly independent vectors $\bar{e}_i = (e_i^1, \dots, e_i^n)$ such that length of each vector is 1 and different vectors are orthogonal. \square

We can prove existence of orthonormal basis using Gram-Schmidt orthogonalization procedure.

DEFINITION 4.4.2. Basis manifold $\mathcal{B}(\mathcal{E}_n)$ of Euclid space is set of orthonormal bases of this space. \square

An active transformation is called **movement**. A passive transformation is called **quasi movement**.

4.5. Geometric Object of Vector Space

An active transformation changes bases and vectors uniformly and coordinates of vector relative basis do not change. A passive transformation changes only the basis and it leads to change of coordinates of vector relative to basis.

Let passive transformation $a \in G$ defined by matrix (a_j^i) maps basis $\bar{e} = \langle e_i \rangle \in \mathcal{B}(V)$ into basis $\bar{e}' = \langle e'_i \rangle \in \mathcal{B}(V)$

$$(4.5.1) \quad e'_j = e_i a_j^i$$

Let vector $v \in V$ have expansion

$$(4.5.2) \quad v = e_i v^i$$

relative to basis \bar{e} and have expansion

$$(4.5.3) \quad v = e'_i v'^i$$

relative to basis \bar{e}' . From (4.5.1) and (4.5.3) it follows that

$$(4.5.4) \quad v = e_i a_j^i v'^j$$

Comparing (4.5.2) and (4.5.4) we get

$$(4.5.5) \quad v^i = a_j^i v'^j$$

Because a_j^i is nonsingular matrix we get from (4.5.5)

$$(4.5.6) \quad v'^i = a^{-1i}_j v^j$$

Coordinate transformation (4.5.6) does not depend on vector v or basis \bar{e} , but is defined only by coordinates of vector v relative basis \bar{e} .

Suppose we select basis \bar{e} . Then the set of coordinates (v^i) relative to this basis forms a vector space \tilde{V} , isomorphic to vector space V . This vector space is called **coordinate vector space**. This isomorphism is called **coordinate isomorphism**. Denote by $\bar{\delta}_k = (\delta_k^i)$ the image of vector $e_k \in \bar{e}$ under this.

THEOREM 4.5.1. Coordinate transformations (4.5.6) form left-side effective linear representation of group G which is called **contravariant representation**.

PROOF. Suppose we have two consecutive passive transformations $a \in G$ and $b \in G$. Coordinate transformation

$$(4.5.7) \quad v'^i = a^{-1i}{}_j v^j$$

corresponds to passive transformation a . Coordinate transformation

$$(4.5.8) \quad v''^i = b^{-1i}{}_j v'^j$$

corresponds to passive transformation b . Product of coordinate transformations (4.5.7) and (4.5.8) has form

$$(4.5.9) \quad v''^k = b^{-1k}{}_i a^{-1i}{}_j v^j = (ab)^{-1k}{}_j v^j$$

and is coordinate transformation corresponding to passive transformation ab . It proves that coordinate transformations form contravariant right-side linear representation of group G .

Suppose coordinate transformation does not change vectors δ_k . Then unit of group G corresponds to it because representation is single transitive. Therefore, coordinate representation is effective. \square

Let homomorphism of group G to the group of passive transformations of vector space W be coordinated with symmetry group of vector space V . This means that passive transformation $A(a)$ of vector space W corresponds to passive transformation $a \in G$ of vector space V

$$(4.5.10) \quad e'_{W\alpha} = e_{W\beta} A^\beta_\alpha(a)$$

Then coordinate transformation in W gets form

$$(4.5.11) \quad w'^\alpha = A^\alpha_\beta(a^{-1}) w^\beta = A^{-1\alpha}{}_\beta(a) w^\beta$$

DEFINITION 4.5.2. *Orbit*

$$\mathcal{O}(V, W, \bar{e}_V, \bar{w}) = A(G)^{-1} w = (w' = A(a)^{-1} w, e'_V = e_V a, a \in G)$$

is called **geometric object in coordinate representation** defined in vector space V . For any basis $\bar{e}'_V = \bar{e}_V a$ corresponding point (4.5.11) of orbit defines **coordinates of geometric object** relative basis \bar{e}'_V . \square

DEFINITION 4.5.3. *Orbit*

$$\mathcal{O}(V, W, \bar{w}) = (e'_W w', w' = A(a)^{-1} w, e'_W = e_W A(a), a \in G)$$

is called **geometric object** defined in vector space V . For any basis $\bar{e}'_V = \bar{e}_V a$ corresponding point (4.5.11) of orbit defines **coordinates of a geometric object** relative to basis \bar{e}'_V and the corresponding vector

$$\bar{w} = e'_{W\alpha} w'^\alpha$$

is called **representative of geometric object** in basis \bar{e}'_V . \square

We also say that w is a **geometric object of type A**

Since a geometric object is an orbit of representation, we see that according to theorem 3.1.11 the definition of the geometric object is a proper definition.

Definition 4.5.2 introduces a geometric object in coordinate space. We assume in definition 4.5.3 that we selected a basis in vector space W . This allows using a representative of the geometric object instead of its coordinates.

THEOREM 4.5.4. (**invariance principle**). *Representative of geometric object does not depend on selection of basis \bar{e}'_V .*

PROOF. To define representative of geometric object, we need to select basis \bar{e}_V , basis $\bar{e}_W = (e_{W\alpha})$ and coordinates of geometric object w^α . Corresponding representative of geometric object has form

$$\bar{w} = e'_{W\alpha} w'^\alpha$$

Suppose we map basis \bar{e}_V to basis \bar{e}'_V by passive transformation $a \in G$. According building this forms passive transformation (4.5.10) and coordinate transformation (4.5.11). Corresponding representative of geometric object has form

$$\bar{w}' = e'_{W\alpha} w'^\alpha = e_{W\gamma} A^\gamma_\alpha(a) A^{-1\alpha}_\beta(a) w^\beta = e_{W\beta} w^\beta = \bar{w}$$

Therefore representative of geometric object is invariant relative selection of basis. \square

DEFINITION 4.5.5. *Let*

$$\begin{aligned}\bar{w}_1 &= e'_{W\alpha} w'^\alpha_1 \\ \bar{w}_2 &= e'_{W\alpha} w'^\alpha_2\end{aligned}$$

be geometric objects of the same type defined in vector space V . Geometric object

$$\bar{w} = e_{W\alpha} (w_1^\alpha + w_2^\alpha)$$

*is called **sum***

$$\bar{w} = \bar{w}_1 + \bar{w}_2$$

of geometric objects \bar{w}_1 and \bar{w}_2 . \square

DEFINITION 4.5.6. *Let*

$$\bar{w}_1 = e'_{W\alpha} w'^\alpha_1$$

be geometric object defined in vector space V over field F . Geometric object

$$\bar{w}_2 = e_{W\alpha} (k w_1^\alpha)$$

*is called **product***

$$\bar{w}_2 = k \bar{w}_1$$

of geometric object w_1 and constant $k \in F$. \square

THEOREM 4.5.7. *Geometric objects of type A defined in vector space V over field F form vector space over field F .*

PROOF. The statement of the theorem follows from immediate verification of the properties of vector space. \square

Reference Frame in Event Space

5.1. Reference Frame on Manifold

As is shown in section 4.1 we can identify basis manifold of vector space and symmetry group of this space. The details of structure of basis did not interest us and this theory can be generalized. In this section, we generalize the definition of a basis and introduce a reference frame on a manifold. In case of an event space of general relativity it leads us to a natural definition of a reference frame and the Lorentz transformation. We assume that tangent space to the considered manifold is vector space V of finite dimension n .

DEFINITION 5.1.1. *The set of vector fields $e_{(i)}$, $i = 1, \dots, n$, generates G -reference frame $\bar{e} = \langle e_{(i)}, i = 1, \dots, n \rangle$ on manifold V , if for any $x \in V$ set $\bar{e}(x) = \langle e_{(i)}(x), i = 1, \dots, n \rangle$ is a G -basis^{5.1} in tangent space T_x .^{5.2} We use notation $e_{(i)} \in \bar{e}$ for vector fields which form G -reference frame \bar{e} . \square*

We use also a representation for reference frame on manifold as $\bar{e} = (e_{(k)}, e^{(k)})$ where we use the set of vector fields $e_{(k)}$ and dual forms $e^{(k)}$ such that at each point

$$(5.1.1) \quad e^{(k)}(e_{(l)}) = \delta_{(l)}^{(k)}$$

The equality (5.1.1) determines forms $e^{(k)}$ uniquely.

At each point of the manifold we also consider the **coordinate reference frame** $\bar{\partial} = \langle \partial_i \rangle$ based on vector fields tangent to lines $x^i = \text{const}$. We use also a representation for coordinate reference frame on manifold as (∂_i, dx^i) where we use the set of vector fields ∂_i and dual forms dx^i such that at each point

$$(5.1.2) \quad dx^k(\partial_l) = \delta_l^k$$

These reference frames are linked by the relationship

$$(5.1.3) \quad e_{(k)} = e_{(k)}^i \partial_i$$

$$(5.1.4) \quad e^{(k)} = e_i^{(k)} dx^i$$

From equalities (5.1.3), (5.1.4), (5.1.1) it follows

$$(5.1.5) \quad e_i^{(k)} e_{(l)}^i = \delta_{(l)}^{(k)}$$

^{5.1} According to section 4.1 we can identify basis $\bar{e}(x)$ with an element of group G .

^{5.2} In each particular case we need to prove existence of G -reference frame on manifold.

THEOREM 5.1.2. *There is the transformation between reference frames \bar{e} and $\bar{\partial}$*

$$(5.1.6) \quad e_{(i)} = e_{(i)}^k \partial_k \quad \partial_k = e_k^{(i)} e_{(i)}$$

$$(5.1.7) \quad e^{(k)} = e_i^{(k)} dx^i \quad dx^i = e_{(k)}^i e^{(k)}$$

where

$$(5.1.8) \quad e_{(i)}^k e_k^{(j)} = \delta_{(i)}^{(j)}$$

PROOF. Relative considered reference frames, vector field a has expansion

$$(5.1.9) \quad a = a^i \partial_i = a^{(i)} e_{(i)}$$

where a^i are **holonomic coordinates** relative coordinate reference frame $\bar{\partial}$ and $a^{(i)}$ are **anholonomic coordinates** relative reference frame \bar{e} .

We get the equality (5.1.6), when we consider coordinates of the vector field $e_{(i)}$ relative to the reference frame $\bar{\partial}$ and coordinates of the vector field ∂_k relative to the reference frame \bar{e} . Because vectors $e_{(i)}$ are linearly independent at each point matrix $\|e_{(i)}^k\|$ is non singular matrix. Because vectors ∂_k are linearly independent at each point matrix $\|e_k^{(i)}\|$ is non singular matrix. From equalities (5.1.6), it follows that

$$(5.1.10) \quad e_{(i)} = e_{(i)}^k \partial_k = e_{(i)}^k e_k^{(j)} e_{(j)}$$

The equality (5.1.8) follows from the equality (5.1.10). From equalities (5.1.6), (5.1.9), it follows that

$$(5.1.11) \quad a^k \partial_k = a^k e_k^{(i)} e_{(i)} = a^{(i)} e_{(i)}$$

The equality

$$(5.1.12) \quad a^{(i)} = a^k e_k^{(i)}$$

follows from the equality (5.1.11). The equality

$$(5.1.13) \quad e^{(k)}(a) = e^{(k)}(a^l e_{(l)}) = a^l e^{(k)}(e_{(l)}) = a^l \delta_{(l)}^{(k)} = a^{(k)}$$

follows from equalities (5.1.1), (5.1.9). The equality

$$(5.1.14) \quad dx^k(a) = dx^k(a^l \partial_l) = a^l dx^k(\partial_l) = a^l \delta_l^k = a^k$$

follows from equalities (5.1.2), (5.1.9). The equality (5.1.7) follows from equalities (5.1.12), (5.1.13), (5.1.14). \square

5.2. Reference Frame in Event Space

Starting from this section, we consider orthogonal reference frame $\bar{e} = (e_{(k)}, e^{(k)})$ in Riemann space with metric g_{ij} . According to definition, at each point of Riemann space vector fields of orthogonal reference frame satisfy to the equality

$$g_{ij} e_{(k)}^i e_{(l)}^j = g_{(k)(l)}$$

where $g_{(k)(l)} = 0$, if $(k) \neq (l)$, and $g_{(k)(k)} = 1$ or $g_{(k)(k)} = -1$ depending on signature of metric.

We can define the **reference frame in event space** V as $O(3,1)$ -reference frame. To enumerate vectors, we use index $k = 0, \dots, 3$. Index $k = 0$ corresponds to time like vector field.

REMARK 5.2.1. We can prove the existence of a reference frame using the orthogonalization procedure at every point of space time. From the same procedure we get that coordinates of basis smoothly depend on the point.

A smooth field of time like vectors of each basis defines congruence of lines that are tangent to this field. We say that each line is a world line of an observer or a **local reference frame**. Therefore a reference frame is set of local reference frames. \square

We define the **Lorentz transformation** as transformation of a reference frame

$$(5.2.1) \quad \begin{aligned} x'^i &= f^i(x^0, x^1, x^2, x^3) \\ e'^i_{(k)} &= a^i_j b^{(l)}_{(k)} e^j_{(l)} \end{aligned}$$

where

$$\begin{aligned} a^i_j &= \frac{\partial x'^i}{\partial x'^j} \\ \delta_{(i)(l)} b^{(i)}_{(j)} b^{(l)}_{(k)} &= \delta_{(j)(k)} \end{aligned}$$

We call the transformation a^i_j the holonomic part and transformation $b^{(l)}_{(k)}$ the anholonomic part.

5.3. Anholonomic Coordinates

Let $E(V, G, \pi)$ be the principal bundle, where V is the differential manifold of dimension n and class not less than 2. We also assume that G is symmetry group of tangent plain.

We define connection form on principal bundle

$$(5.3.1) \quad \omega^L = \lambda^L_N da^N + \Gamma^L_i dx^i \quad \omega = \lambda_N da^N + \Gamma dx$$

We call functions Γ_i connection components.

If fiber is group $GL(n)$, then connection has form

$$(5.3.2) \quad \begin{aligned} \omega^a_b &= \Gamma^a_{bc} dx^c \quad \omega = \Gamma dx \\ \Gamma^A_i &= \Gamma^a_{bi} \end{aligned}$$

A vector field a has two types of coordinates: **holonomic coordinates** a^i relative coordinate reference frame and **anholonomic coordinates** $a^{(i)}$ relative reference frame. These two forms of coordinates also hold the relation

$$(5.3.3) \quad a^i(x) = e^i_{(i)}(x) a^{(i)}(x)$$

at any point x .

We can study parallel transfer of vector fields using any form of coordinates. Because (5.2.1) is a linear transformation we expect that parallel transfer in anholonomic coordinates has the same representation as in holonomic coordinates. Hence we write

$$\begin{aligned} da^k &= -\Gamma^k_{ij} a^i dx^j \\ da^{(k)} &= -\Gamma^{(k)}_{(i)(j)} a^{(i)} dx^{(j)} \end{aligned}$$

It is required to establish link between **holonomic coordinate of connection** Γ_{ij}^k and **anholonomic coordinates of connection** $\Gamma_{(i)(j)}^{(k)}$

$$(5.3.4) \quad a^i(x+dx) = a^i(x) + da^i = a^i(x) - \Gamma_{kp}^i a^k(x) dx^p$$

$$(5.3.5) \quad a^{(i)}(x+dx) = a^{(i)}(x) + da^{(i)} = a^{(i)}(x) - \Gamma_{(k)(p)}^{(i)} a^{(k)}(x) dx^{(p)}$$

Considering (5.3.4), (5.3.5), and (5.3.3) we get

$$(5.3.6) \quad \begin{aligned} & a^i(x) - \Gamma_{kp}^i a^k(x) dx^p \\ & = e_{(i)}^i(x+dx) \left(a^{(i)}(x) - \Gamma_{(k)(p)}^{(i)} e_i^{(k)}(x) a^i(x) e_p^{(p)}(x) dx^{(p)} \right) \end{aligned}$$

It follows from (5.3.6) that

$$\begin{aligned} \Gamma_{(k)(p)}^{(i)} e_i^{(k)}(x) e_p^{(p)}(x) a^i(x) dx^p &= a^{(i)}(x) - e_i^{(i)}(x+dx) (a^i(x) - \Gamma_{kp}^i a^k(x) dx^p) \\ &= a^i(x) e_i^{(i)}(x) - e_i^{(i)}(x+dx) (a^i(x) - \Gamma_{kp}^i a^k(x) dx^p) \\ &= a^i(x) \left(e_i^{(i)}(x) - e_i^{(i)}(x+dx) \right) + e_j^{(i)}(x) \Gamma_{ip}^j a^i(x) dx^p \\ &= e_j^{(i)}(x) \Gamma_{ip}^j a^i(x) dx^p - a^i(x) \frac{\partial e_i^{(i)}(x)}{\partial x^p} dx^p \\ &= \left(e_j^{(i)}(x) \Gamma_{ip}^j - \frac{\partial e_i^{(i)}(x)}{\partial x^p} \right) a^i(x) dx^p \end{aligned}$$

Because $a^i(x)$ and dx^p are arbitrary we get

$$(5.3.7) \quad \begin{aligned} \Gamma_{(k)(p)}^{(i)} e_i^{(k)}(x) e_p^{(p)}(x) &= e_j^{(i)}(x) \Gamma_{ip}^j - \frac{\partial e_i^{(i)}(x)}{\partial x^p} \\ \Gamma_{(k)(p)}^{(i)} &= e_{(k)}^i e_{(p)}^p e_j^{(i)} \Gamma_{ip}^j - e_{(k)}^i e_{(p)}^p \frac{\partial e_i^{(i)}}{\partial x^p} \end{aligned}$$

We introduce symbolic operator

$$(5.3.8) \quad \frac{\partial}{\partial x^{(p)}} = e_{(p)}^p \frac{\partial}{\partial x^p}$$

From (5.1.5) it follows

$$(5.3.9) \quad e_{(l)}^i \frac{\partial e_i^{(k)}}{\partial x^p} + e_i^{(k)} \frac{\partial e_{(l)}^i}{\partial x^p} = 0$$

Equalities

$$(5.3.10) \quad \frac{\partial e_i^{(k)}}{\partial x^p} = -e_j^{(k)} e_i^{(l)} \frac{\partial e_{(l)}^j}{\partial x^p}$$

$$(5.3.11) \quad \frac{\partial e_{(l)}^j}{\partial x^p} = -e_{(k)}^j e_{(l)}^i \frac{\partial e_i^{(k)}}{\partial x^p}$$

follow from the equality (5.3.9). We substitute (5.3.8) and (5.3.10) into (5.3.7)

$$(5.3.12) \quad \Gamma_{(k)(p)}^{(i)} = e_{(k)}^i e_{(p)}^p e_j^{(i)} \Gamma_{ip}^j - e_i^{(i)} \frac{\partial e_{(k)}^i}{\partial x^{(p)}}$$

Equation (5.3.12) shows some similarity between holonomic and anholonomic coordinates. We introduce symbol $\partial_{(k)}$ for the derivative along vector field $e_{(k)}$

$$\partial_{(k)} = e_{(k)}^i \partial_i$$

Then (5.3.12) takes the form

$$\Gamma_{(l)(p)}^{(k)} = e_{(l)}^i e_{(p)}^r e_j^{(k)} \Gamma_{ir}^j - e_{(l)}^i \partial_{(p)} e_i^{(k)}$$

Therefore when we move from holonomic coordinates to anholonomic, the connection transforms the way similarly to when we move from one coordinate system to another. This leads us to the model of anholonomic coordinates.

The vector field $e_{(k)}$ generates lines defined by the differential equations

$$e_{(l)}^j \frac{\partial t}{\partial x^j} = \delta_{(l)}^{(k)}$$

or the symbolic system

$$(5.3.13) \quad \frac{\partial t}{\partial x^{(l)}} = \delta_{(l)}^{(k)}$$

Keeping in mind the symbolic system (5.3.13) we denote the functional t as $x^{(k)}$ and call it the **anholonomic coordinate**. We call the regular coordinate holonomic.

From here we can find derivatives and get

$$(5.3.14) \quad \frac{\partial x^{(i)}}{\partial x^k} = e_k^{(i)}$$

The necessary and sufficient condition of complete integrability of system (5.3.14) are

$$c_{kl}^{(i)} = 0$$

where we introduced **anholonomy object**

$$(5.3.15) \quad c_{kl}^{(i)} = \frac{\partial e_k^{(i)}}{\partial x^l} - \frac{\partial e_l^{(i)}}{\partial x^k}$$

$$(5.3.16) \quad c_{(k)(l)}^{(i)} = e_{(k)}^k e_{(l)}^l c_{kl}^{(i)}$$

THEOREM 5.3.1. *Each reference frame has n vector fields*

$$(5.3.17) \quad \partial_{(k)} = \frac{\partial}{\partial x^{(k)}} = e_{(k)}^i \partial_i$$

which have commutator

$$(5.3.18) \quad [\partial_{(i)}, \partial_{(j)}] = -c_{(i)(j)}^{(m)} \partial_{(m)}$$

PROOF. The equality

$$(5.3.19) \quad \begin{aligned} [\partial_{(i)}, \partial_{(j)}] &= e_{(i)}^i \partial_i (e_{(j)}^j \partial_j) - e_{(j)}^j \partial_j (e_{(i)}^i \partial_i) \\ &= e_{(i)}^i \partial_i e_{(j)}^j \partial_j - e_{(j)}^j \partial_j e_{(i)}^i \partial_i + e_{(i)}^i e_{(j)}^j \partial_i \partial_j - e_{(j)}^j e_{(i)}^i \partial_j \partial_i \end{aligned}$$

follows from the equality (5.3.17). Since

$$\partial_i \partial_j - \partial_j \partial_i = 0$$

then the equality

$$\begin{aligned}
(5.3.20) \quad [\partial_{(i)}, \partial_{(j)}] &= e_{(i)}^i \partial_i e_{(j)}^k \partial_k - e_{(j)}^j \partial_j e_{(i)}^k \partial_k \\
&= (e_{(i)}^i \partial_i e_{(j)}^k - e_{(j)}^j \partial_j e_{(i)}^k) \partial_k \\
&= (-e_{(i)}^i e_{(k)}^k e_{(j)}^j \partial_i e_j^{(k)} + e_{(j)}^j e_{(k)}^k e_{(i)}^i \partial_j e_i^{(k)}) \partial_k \\
&= e_{(j)}^j e_{(i)}^i (\partial_j e_i^{(k)} - \partial_i e_j^{(k)}) \partial_{(k)}
\end{aligned}$$

follows from equalities (5.3.11), (5.3.17), (5.3.19). The equality (5.3.18) follows from equalities (5.3.15), (5.3.16), (5.3.20). \square

For the same reason we introduce forms

$$dx^{(k)} = e^{(k)} = e_i^{(k)} dx^i$$

and an exterior differential of this form is

$$\begin{aligned}
(5.3.21) \quad d^2 x^{(k)} &= d(e_i^{(k)} dx^i) \\
&= (\partial_j e_i^{(k)} - \partial_i e_j^{(k)}) dx^i \wedge dx^j \\
&= c_{ij}^{(k)} dx^i \wedge dx^j = c_{(m)(l)}^{(k)} dx^{(m)} \wedge dx^{(l)}
\end{aligned}$$

Therefore when $c_{(k)(l)}^{(i)} \neq 0$, the differential $dx^{(k)}$ is not an exact differential and the system of differential equations (5.3.14), in general, cannot be integrated. However we can create a meaningful object that models the solution. We can study how function $x^{(i)}$ changes along different lines. We call such coordinates **anholonomic coordinates on manifold**.

REMARK 5.3.2. *Function $x^{(i)}$ is a natural parameter along a flow line of vector field $\bar{e}_{(i)}$. We study an instance of such function in section 6.1. The proper time is defined along world line of local reference frame. As we see in remark 5.2.1 world lines of local reference frames cover spacetime. To make proper time of local reference frames as time of reference frame we expect that proper time smoothly changes from point to point. To synchronize clocks of local reference frames we use classical procedure of exchange light signals.*

Somebody may have impression that we cannot synchronize clock, however this conflicts with our observation. We accept that synchronization is possible until we introduce time along non closed lines. Synchronization breaks when we try synchronize clocks along closed line.

From mathematical point of view this is problem to integrate differential form. Namely, a change of function along a loop is

$$\begin{aligned}
(5.3.22) \quad \Delta x^{(i)} &= \oint dx^{(i)} \\
&= \int \int c_{(k)(l)}^{(i)} dx^{(k)} \wedge dx^{(l)} \\
&= \int \int c_{(k)(l)}^{(i)} e_k^{(k)} e_l^{(l)} dx^k \wedge dx^l
\end{aligned}$$

This means ambiguity in definition of anholonomic coordinates. \square

From now on we will not make a difference between holonomic and anholonomic coordinates. Also, we will denote $b_{(k)}^{(l)}$ as $a^{-1}_{(k)}^{(l)}$ in the Lorentz transformation (5.2.1).

Even form $dx^{(k)}$ is not exact differential, we can see that form $d^2x^{(k)}$ is exterior differential of form $dx^{(k)}$. Therefore

$$(5.3.23) \quad d^3x^{(k)} = 0$$

We can represent exterior differential of form, written in anholonomic coordinates, as

$$\begin{aligned} & d(a_{(i_1)\dots(i_n)}dx^{(i_1)} \wedge \dots \wedge dx^{(i_n)}) \\ &= a_{(i_1)\dots(i_n),p}dx^p \wedge dx^{(i_1)} \wedge \dots \wedge dx^{(i_n)} \\ & - a_{(i_1)\dots(i_n)}ddx^{(i_1)} \wedge \dots \wedge dx^{(i_n)} - \dots - (-1)^{n-1}a_{(i_1)\dots(i_n)}dx^{(i_1)} \wedge \dots \wedge ddx^{(i_n)} \\ &= a_{(i_1)\dots(i_n),p}e_p^{(p)}e_r^{(r)}dx^{(r)} \wedge dx^{(i_1)} \wedge \dots \wedge dx^{(i_n)} \\ & - a_{(i_1)\dots(i_n)}c_{(p)(r)}^{(i_1)}dx^{(p)} \wedge dx^{(r)} \wedge \dots \wedge dx^{(i_n)} - \dots \\ & - (-1)^{n-1}a_{(i_1)\dots(i_n)}dx^{(i_1)} \wedge \dots \wedge c_{(p)(r)}^{(i_n)}dx^{(p)} \wedge dx^{(r)} \\ &= (a_{(i_1)\dots(i_n),p} - a_{(r)\dots(i_n)}c_{(p)(i_1)}^{(r)} - \dots - a_{(i_1)\dots(r)}c_{(p)(i_n)}^{(r)})dx^{(p)} \wedge dx^{(i_1)} \wedge \dots \wedge dx^{(i_n)} \end{aligned}$$

In case of form $d^3x^{(k)}$ we get equality

$$(5.3.24) \quad \begin{aligned} & d(c_{(i)(j)}^{(k)}dx^{(i)} \wedge dx^{(j)}) \\ &= (c_{(i)(j),p}^{(k)} - c_{(r)(j)}^{(k)}c_{(p)(i)}^{(r)} - c_{(i)(r)}^{(k)}c_{(p)(j)}^{(r)})dx^{(p)} \wedge dx^{(i)} \wedge dx^{(j)} \end{aligned}$$

From equalities (5.3.23) and (5.3.24) it follows

$$(5.3.25) \quad (c_{(i)(j),p}^{(k)} - c_{(r)(j)}^{(k)}c_{(p)(i)}^{(r)} - c_{(i)(r)}^{(k)}c_{(p)(j)}^{(r)})dx^{(p)} \wedge dx^{(i)} \wedge dx^{(j)} = 0$$

It is easy to see that

$$(5.3.26) \quad \begin{aligned} & (-c_{(r)(j)}^{(k)}c_{(p)(i)}^{(r)} - c_{(i)(r)}^{(k)}c_{(p)(j)}^{(r)})dx^{(i)} \wedge dx^{(j)} \\ &= (-c_{(r)(j)}^{(k)}c_{(p)(i)}^{(r)} + c_{(r)(i)}^{(k)}c_{(p)(j)}^{(r)})dx^{(i)} \wedge dx^{(j)} \\ &= -2c_{(r)(j)}^{(k)}c_{(p)(i)}^{(r)}dx^{(i)} \wedge dx^{(j)} \end{aligned}$$

Substituting from (5.3.26) into (5.3.25) gives

$$(5.3.27) \quad (c_{(i)(j),p}^{(k)} - 2c_{(r)(j)}^{(k)}c_{(p)(i)}^{(r)})dx^{(p)} \wedge dx^{(i)} \wedge dx^{(j)} = 0$$

From (5.3.27), it follows

$$(5.3.28) \quad \begin{aligned} & c_{(i)(j),p}^{(k)} + c_{(j)(p),i}^{(k)} + c_{(p)(i),j}^{(k)} \\ &= 2c_{(r)(j)}^{(k)}c_{(p)(i)}^{(r)} + 2c_{(r)(p)}^{(k)}c_{(i)(j)}^{(r)} + 2c_{(r)(i)}^{(k)}c_{(j)(p)}^{(r)} \end{aligned}$$

5.4. Metric-affine Manifold

In deriving the equations of the gravitational field ([20], §93, [22], §21.2), we assume that metric tensor g^{ij} and connection Γ_{ij}^k are independent. However, we assume symmetry of metric tensor and connection. In deriving the equations of the gravitational field, we get relation

$$(5.4.1) \quad g_{,k}^{ij} + \Gamma_{pk}^i g^{pj} + \Gamma_{pk}^j g^{ip} = 0$$

In quantum mechanics, measurement of components of metric tensor and connection contains an error. If we assume that connection is not symmetric, then the equality (5.4.1) may be not true.

Since covariant derivative of the metric tensor may be different from 0, we introduce the **nonmetricity**

$$\begin{aligned} -Q_{kij} &= g_{ij;k} = g_{ij,k} - \Gamma_{ik}^p g_{pj} - \Gamma_{jk}^p g_{pi} \\ &= g_{ij,k} - \Gamma_{ik}^p g_{pj} - \Gamma_{kj}^p g_{pi} - S_{jk}^p g_{pi} \end{aligned}$$

We move derivative of g and torsion to the left-hand side.

$$(5.4.2) \quad g_{ij,k} + Q_{kij} - S_{jk}^p g_{pi} = \Gamma_{ik}^p g_{pj} + \Gamma_{kj}^p g_{pi}$$

Changing order of indexes we write two more equalities

$$(5.4.3) \quad g_{jk,i} + Q_{ijk} - S_{ki}^p g_{pj} = \Gamma_{ji}^p g_{pk} + \Gamma_{ik}^p g_{pj}$$

$$(5.4.4) \quad g_{ki,j} + Q_{jki} - S_{ij}^p g_{pk} = \Gamma_{kj}^p g_{pi} + \Gamma_{ji}^p g_{pk}$$

If we subtract equality (5.4.2) from sum of equalities (5.4.3) and (5.4.4) we get

$$g_{ki,j} + g_{jk,i} - g_{ij,k} + Q_{ijk} + Q_{jki} - Q_{kij} - S_{ij}^p g_{pk} - S_{ki}^p g_{pj} + S_{jk}^p g_{pi} = 2\Gamma_{ji}^p g_{pk}$$

Finally we get

$$\Gamma_{ji}^p = \frac{1}{2} g^{pk} (g_{ki,j} + g_{jk,i} - g_{ij,k} + Q_{ijk} + Q_{jki} - Q_{kij} - S_{ij}^r g_{rk} - S_{ki}^r g_{rj} + S_{jk}^r g_{ri})$$

For connection (5.3.2) we defined the **torsion form**

$$(5.4.5) \quad T^a = d^2 x^a + \omega_b^a \wedge dx^b$$

From (5.3.2) it follows

$$(5.4.6) \quad \omega_b^a \wedge dx^b = (\Gamma_{bc}^a - \Gamma_{cb}^a) dx^c \wedge dx^b$$

Putting (5.4.6) and (5.3.21) into (5.4.5) we get

$$(5.4.7) \quad T^a = T_{cb}^a dx^c \wedge dx^b = -c_{cb}^a dx^c \wedge dx^b + (\Gamma_{bc}^a - \Gamma_{cb}^a) dx^c \wedge dx^b$$

where we defined **torsion tensor**

$$(5.4.8) \quad T_{cb}^a = \Gamma_{bc}^a - \Gamma_{cb}^a - c_{cb}^a$$

The curvature form for the connection (5.3.2) is

$$(5.4.9) \quad \Omega_c^a = d\omega_c^a + \omega_b^a \wedge \omega_c^b$$

where we defined a curvature object

$$(5.4.10) \quad R_{bij}^a = \partial_i \Gamma_{bj}^a - \partial_j \Gamma_{bi}^a + \Gamma_{ci}^a \Gamma_{bj}^c - \Gamma_{cj}^a \Gamma_{bi}^c + \Gamma_{bk}^a c_{ij}^k$$

We introduce Ricci tensor

$$R_{bj} = R_{ba j}^a = \partial_a \Gamma_{bj}^a - \partial_j \Gamma_{ba}^a + \Gamma_{ca}^a \Gamma_{bj}^c - \Gamma_{cj}^a \Gamma_{ba}^c + \Gamma_{bk}^a c_{aj}^k$$

Commutator of second derivatives has form

$$(5.4.11) \quad \xi_{;cb}^a - \xi_{;bc}^a = R_{dbc}^a \xi^d - T_{bc}^p \xi_{;p}^a$$

Due to the fact that derivative of the metric tensor is not 0, we cannot raise or lower index of a tensor under derivative as we do it in regular Riemann space. Now this operation changes to next

$$a_{;k}^i = g^{jj} a_{j;k} + g_{;k}^{ij} a_j$$

This equality for the metric tensor gets the following form

$$g_{;k}^{ab} = -g^{ai} g^{bj} g_{ij;k}$$

DEFINITION 5.4.1. *Riemannian space with a torsion and a nonmetricity is called the **metric-affine manifold** [12].* \square

If we study a submanifold V_n of a manifold V_{n+m} , we see that the immersion creates the connection $\Gamma_{\beta\gamma}^\alpha$ that relates to the connection in manifold as

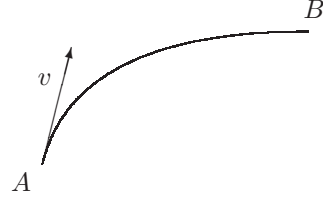
$$\Gamma_{\beta\gamma}^\alpha e_\alpha^l = \Gamma_{mk}^l e_\beta^m e_\gamma^k + \frac{\partial e_\beta^l}{\partial u^\gamma}$$

Therefore there is no smooth immersion of a space with torsion into the Riemann space.

5.5. Geometric Meaning of Torsion

Below we consider a model of affine space in a metric-affine manifold.

In Riemann space, we use geodesics instead of straight lines. So we can represent the vector v using segment AB of geodesic L_v such that vector v is tangent to geodesic L_v at the point A and the length of segment AB equals to the length of the vector v .



This definition allows us to identify the vector v and the segment AB of geodesic L_v .

For given vectors v and w in tangent plane at the point A , let $\rho > 0$ be the length of the vector v and $\sigma > 0$ be the length of the vector w . Let V be unit vector collinear to the vector v

$$(5.5.1) \quad V^k \rho = v^k$$

Let W be unit vector collinear to the vector w

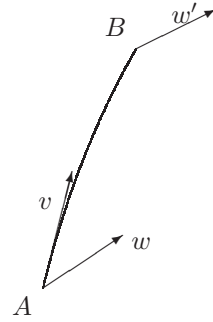
$$(5.5.2) \quad W^k \sigma = w^k$$



We draw geodesic L_v through the point A using the vector v as a tangent vector to L_v in the point A . Let τ be the canonical parameter on L_v and

$$\frac{dx^k}{d\tau} = V^k$$

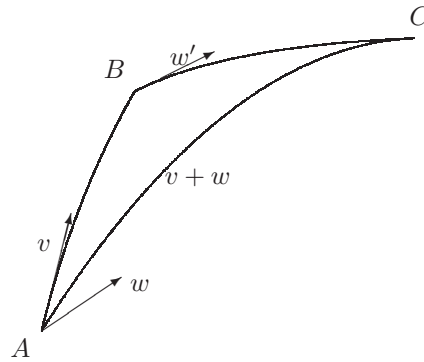
We transfer the vector w along the geodesic L_v from the point A into point B that defined by value of the parameter $\tau = \rho$. We mark the result as w' .



We draw geodesic $L_{w'}$ through the point B using the vector W' as a tangent vector to $L_{w'}$ in the point B . Let φ' be the canonical parameter on $L_{w'}$ and

$$\frac{dx^k}{d\varphi'} = W'^k$$

We define point C on the geodesic $L_{w'}$ by parameter value $\varphi' = \sigma$



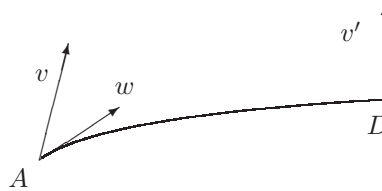
I assume that length of vectors v and w is small. Then there exists unique geodesic L_u from point A to point C . I will identify segment AC of geodesic L_u and vector $v + w$.

The same way, I draw triangle ADE to find vector $w + v$.

We draw geodesic L_w through the point A using the vector w as a tangent vector to L_w in the point A . Let φ be the canonical parameter on L_w and

$$\frac{dx^k}{d\varphi} = W^k$$

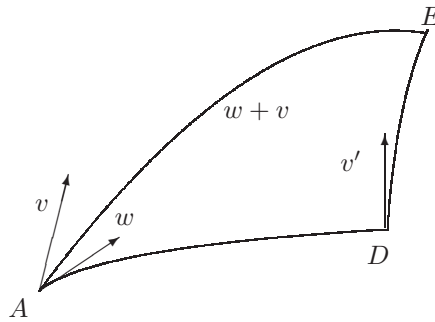
We transfer the vector v along the geodesic L_w from the point A into point D that defined by value of the parameter $\varphi = \sigma$. We mark the result as v' .



We draw geodesic $L_{v'}$ through the point D using the vector v' as a tangent vector to $L_{v'}$ in the point D . Let τ' be the canonical parameter on $L_{v'}$ and

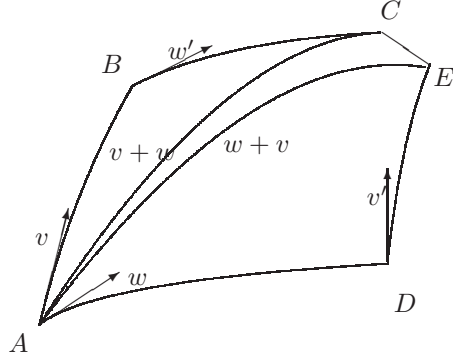
$$\frac{dx^k}{d\tau'} = V'^k$$

We define point E on the geodesic $L_{v'}$ by parameter value $\tau' = \rho$



There exists unique geodesic L_u from point A to point E . I will identify segment AE of geodesic L_u and vector $w + v$.

Formally the lines AB and DE as well as the lines AD and BC are parallel lines. The lengths of AB and DE are the same, and the lengths of AD and BC are the same as well. We call this figure a **parallelogram** based on vectors v and w with the origin in the point A .



LEMMA 5.5.1. Let L_v be a geodesic through the point A and the vector v be a tangent vector to L_v in the point A . An increase of coordinate x^k along geodesic L_v is

$$(5.5.3) \quad \Delta x^k = \frac{dx^k}{d\tau} \tau - \frac{1}{2} \Gamma_{mn}^k \frac{dx^m}{d\tau} \frac{dx^n}{d\tau} \tau^2 + O(\tau^2)$$

where τ is canonical parameter and we take values of derivatives and components Γ_{mn}^k in the initial point.

PROOF. The system of differential equations of geodesic L_v has the following form

$$(5.5.4) \quad \frac{d^2 x^i}{d\tau^2} = -\Gamma_{kl}^i \frac{dx^k}{d\tau} \frac{dx^l}{d\tau}$$

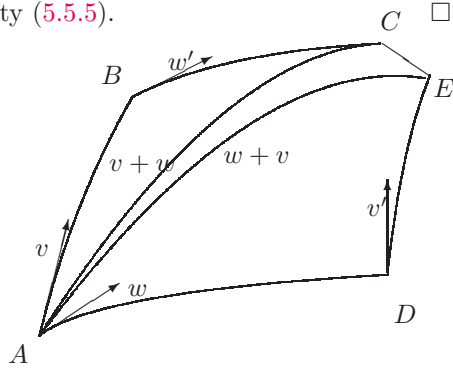
We write Taylor expansion of solution of the system of differential equations (5.5.4) in the following form

$$(5.5.5) \quad \begin{aligned} \Delta x^k &= \frac{dx^k}{d\tau} \tau + \frac{1}{2} \frac{d^2 x^k}{d\tau^2} \tau^2 + O(\tau^2) = \\ &= \frac{dx^k}{d\tau} \tau - \frac{1}{2} \Gamma_{mn}^k \frac{dx^m}{d\tau} \frac{dx^n}{d\tau} \tau^2 + O(\tau^2) \end{aligned}$$

The equality (5.5.3) follows from the equality (5.5.5). \square

THEOREM 5.5.2. Suppose $CBADE$ is a parallelogram with an origin in the point A ; then the resulting figure will not be closed [17]. The value of the difference of coordinates of points C and E is equal to surface integral of the torsion over this parallelogram

$$\Delta_{CE} x^k = \iint T_{mn}^k dx^m \wedge dx^n$$



PROOF. According to the lemma 5.5.1, an increase of coordinate x^k along the geodesic L_v has the following form ^{5.3}

$$\Delta_{CE}x^k = \iint T_{mn}^k dx^m \wedge dx^n$$

$$\Delta_{AB}x^k = V^k \rho - \frac{1}{2} \Gamma_{mn}^k(A) V^m V^n \rho^2 + O(\rho^2)$$

and an increase of coordinate x^k along the geodesic $L_{v'}$ has the following form

$$(5.5.6) \quad \Delta_{BC}x^k = W'^k \sigma - \frac{1}{2} \Gamma_{mn}^k(B) W'^m W'^n \sigma^2 + O(\sigma^2)$$

Here

$$(5.5.7) \quad \begin{aligned} W'^k &= W^k - \Gamma_{mn}^k(A) W^m \Delta_{AB}x^n + O(dx) \\ &= W^k - \Gamma_{mn}^k(A) W^m V^n \rho + O(\rho) \end{aligned}$$

is the result of parallel transport of the vector w from A to B and

$$(5.5.8) \quad \begin{aligned} \Gamma_{mn}^k(B) &= \Gamma_{mn}^k(A) + \partial_p \Gamma_{mn}^k(B) \Delta_{AB}x^p \\ &= \Gamma_{mn}^k(A) + \partial_p \Gamma_{mn}^k(B) V^p \rho \end{aligned}$$

with precision of small value of first level. Putting (5.5.7), (5.5.8) into (5.5.6) we will receive

$$\Delta_{BC}x^k = W^k \sigma - \Gamma_{mn}^k(A) W^m V^n \sigma \rho - \frac{1}{2} \Gamma_{mn}^k(A) W^m W^n \sigma^2 + O(\rho^2)$$

Total increase of coordinate x^K along the way ABC has form

$$(5.5.9) \quad \begin{aligned} \Delta_{ABC}x^k &= \Delta_{AB}x^k + \Delta_{BC}x^k \\ &= V^k \rho + W^k \sigma - \Gamma_{mn}^k(A) W^m V^n \sigma \rho - \\ &\quad - \frac{1}{2} \Gamma_{mn}^k(A) W^m W^n \sigma^2 - \frac{1}{2} \Gamma_{mn}^k(A) V^m V^n \rho^2 + O(dx^2) \end{aligned}$$

In a similar way, total increase of coordinate x^K along the way ADE has form

$$(5.5.10) \quad \begin{aligned} \Delta_{ADE}x^k &= \Delta_{AD}x^k + \Delta_{DE}x^k = \\ &= W^k \sigma + V^k \rho - \Gamma_{mn}^k(A) V^m W^n \rho \sigma - \\ &\quad - \frac{1}{2} \Gamma_{mn}^k(A) V^m V^n \rho^2 - \frac{1}{2} \Gamma_{mn}^k(A) W^m W^n \sigma^2 + O(dx^2) \end{aligned}$$

From (5.5.9) and (5.5.10), it follows that

$$\begin{aligned} \Delta_{ADE}x^k - \Delta_{ABC}x^k &= -\Gamma_{mn}^k(A) V^m W^n \rho \sigma \\ &\quad - \frac{1}{2} \Gamma_{mn}^k(A) V^m V^n \rho^2 - \frac{1}{2} \Gamma_{mn}^k(A) W^m W^n \sigma^2 \\ &\quad + \Gamma_{mn}^k(A) W^m V^n \sigma \rho \\ &\quad + \frac{1}{2} \Gamma_{mn}^k(A) W^m W^n \sigma^2 + \frac{1}{2} \Gamma_{mn}^k(A) V^m V^n \rho^2 \end{aligned}$$

and we get integral sum for expression

$$\Delta_{ADE}x^k - \Delta_{ABC}x^k = \iint_{\Sigma} (\Gamma_{nm}^k - \Gamma_{mn}^k) dx^m \wedge dx^n$$

^{5.3} Proof of this statement I found in [25]

However it is not enough to find the difference

$$\Delta_{ADE}x^k - \Delta_{ABC}x^k$$

to find the difference of coordinates of points C and E . Coordinates may be anholonomic and we have to consider that coordinates along closed loop change (5.3.22)

$$\Delta x^k = \oint_{ECBADE} dx^k = - \iint_{\Sigma} c_{mn}^k dx^m \wedge dx^n$$

where c is anholonomy object.

Finally the difference of coordinates of points C and E is

$$\Delta_{CE}x^k = \Delta_{ADE}x^k - \Delta_{ABC}x^k + \Delta x^k = \iint_{\Sigma} (\Gamma_{nm}^k - \Gamma_{mn}^k - c_{mn}^k) dx^m \wedge dx^n$$

Using (5.4.8) we prove the statement. □

Application in General Relativity

6.1. Synchronization of Reference Frame

Because an observer uses an orthogonal basis for measurement at each point we can expect that he uses anholonomic coordinates as well. We also see that the time coordinate along a local reference frame is the observer's proper time. Because the reference frame consists of local reference frames, we expect that their proper times are synchronized.

We introduce the **synchronization of reference frame** as the anholonomic time coordinate.

Because synchronization is the anholonomic coordinate, it introduces new physical phenomena that we should keep in mind when working with strong gravitational fields or making precise measurements. I describe one of these phenomena below.

6.2. Anholonomic Coordinates in Central Body Gravitational Field

We will study an observer orbiting around a central body. The results are only estimation and are good when eccentricity is near 0 because we study circular orbits. However, the main goal of this estimation is to show that we have a measurable effect of anholonomy.

We use the Schwarzschild metric of a central body

$$(6.2.1) \quad ds^2 = \frac{r - r_g}{r} c^2 dt^2 - \frac{r}{r - r_g} dr^2 - r^2 d\phi^2 - r^2 \sin^2 \phi d\theta^2$$

$$r_g = \frac{2Gm}{c^2}$$

G is the gravitational constant, m is the mass of the central body, c is the speed of light.

Connection in this metric is

$$(6.2.2) \quad \left\{ \begin{array}{ll} \Gamma_{10}^0 = \frac{r_g}{2r(r - r_g)} & \\ \Gamma_{00}^1 = \frac{r_g(r - r_g)}{2r^3} & \Gamma_{11}^1 = -\frac{r_g}{2r(r - r_g)} \\ \Gamma_{22}^1 = -(r - r_g) & \Gamma_{33}^1 = -(r - r_g) \sin^2 \phi \\ \Gamma_{12}^2 = -\frac{1}{r} & \Gamma_{33}^2 = -\sin \phi \cos \phi \\ \Gamma_{13}^3 = -\frac{1}{r} & \Gamma_{23}^3 = \cot \phi \end{array} \right.$$

The anholonomic basis has form

$$\begin{aligned} e_0^{(0)} &= c\sqrt{\frac{x^1 - r_g}{x^1}} \\ e_1^{(1)} &= \sqrt{\frac{x^1}{x^1 - r_g}} \\ e_2^{(2)} &= x^1 \\ e_3^{(3)} &= x^1 \sin x^2 \end{aligned}$$

Anholonomy object has form

$$(6.2.3) \quad \begin{aligned} c_{01}^{(0)} &= c\frac{\sqrt{r_g}}{x^1} \\ c_{21}^{(2)} &= 1 \\ c_{31}^{(3)} &= \sin x^2 \\ c_{32}^{(3)} &= x^1 \cos x^2 \end{aligned}$$

From the equality (6.2.3), it follows that we should consider radial movement in order to study the impact of the anholonomy on synchronization of reference frame.

Let John travel in radial direction. The initial point of his trajectory is at a distance R_1 from the center of gravity (the point A). When John is at a distance R_2 from the center of gravity (the point B), he makes a stop and returns into the point A . His friend James remains at the point A and waits when John will return.

We assume that all clocks in reference frame of James synchronized. John knows that his clock readings is different from clock readings in reference frame of James. So John periodically checks clock readings in reference frame of James. When John meets James again, they verify their time measurement results.

Let v be speed of John's movement in reference frame of James. Let

$$(6.2.4) \quad x^0 = t \quad x^1 = R_1 + vt \quad 0 \leq t \leq t_1 \quad R_1 + vt_1 = R_2$$

be initial John's movement. The equality

$$(6.2.5) \quad t_1 = \frac{R_2 - R_1}{v}$$

follows from (6.2.4). The equality

$$\Delta_1 x^{(0)} = \int_0^{t_1} \sqrt{\frac{x^1 - r_g}{x^1}} dx^0 = \int_0^{t_1} \sqrt{\frac{R_1 + vx^0 - r_g}{R_1 + vx^0}} dx^0$$

follows from the equality

$$(6.2.6) \quad \Delta t_0 = \int dx^{(0)} = \int e_0^{(0)} dx^0$$

and from equalities (6.2.4), (6.2.5).

I need to get indefinite integral (I changed variable $r = R_1 + vx^0$, $dr = v dx^0$)

$$(6.2.7) \quad \int \sqrt{\frac{R_1 + vx^0 - r_g}{R_1 + vx^0}} dx^0 = \frac{1}{v} \int \sqrt{\frac{r - r_g}{r}} dr$$

Let

$$u^2 = \frac{r - r_g}{r}$$

Then

$$(6.2.8) \quad r = \frac{r_g}{1 - u^2}$$

$$(6.2.9) \quad dr = \frac{2r_g u}{(1 - u^2)^2} du$$

The equality

$$(6.2.10) \quad \int \sqrt{\frac{R_1 + vx^0 - r_g}{R_1 + vx^0}} dx^0 = \frac{2r_g}{v} \int \frac{u^2}{(1 - u^2)^2} du$$

follows from equalities (6.2.7), (6.2.8), (6.2.9). Let

$$(6.2.11) \quad \begin{aligned} \frac{u^2}{(1 - u^2)^2} &= \frac{a}{u - 1} + \frac{b}{(u - 1)^2} + \frac{c}{u + 1} + \frac{d}{(u + 1)^2} \\ &= \frac{(a + c)u + a - c}{u^2 - 1} + \frac{(b + d)u^2 + 2(b - d)u + b + d}{(u^2 - 1)^2} \\ &= \frac{(a + c)u(u^2 - 1)}{(u^2 - 1)^2} \\ &\quad + \frac{(a - c + b + d)u^2 + 2(b - d)u + b + d - a + c}{(u^2 - 1)^2} \end{aligned}$$

The system of equations

$$(6.2.12) \quad \begin{aligned} a + c &= 0 \\ a - c + b + d &= 1 \\ b - d &= 0 \\ b + d - a + c &= 0 \end{aligned}$$

follows from the equality (6.2.11). The system of equations

$$(6.2.13) \quad \begin{aligned} c &= -a \\ b &= d \\ 2a + 2b &= 1 \\ 2b - 2a &= 0 \end{aligned}$$

follows from the system of equations (6.2.12). The equality

$$(6.2.14) \quad a = \frac{1}{4} \quad b = \frac{1}{4} \quad c = -\frac{1}{4} \quad d = \frac{1}{4}$$

follows from the system of equations (6.2.13). The equality

$$(6.2.15) \quad \begin{aligned} \int \sqrt{\frac{R_1 + vx^0 - r_g}{R_1 + vx^0}} dx^0 &= \frac{r_g}{2v} \int \frac{1}{u - 1} du + \frac{r_g}{2v} \int \frac{1}{(u - 1)^2} du \\ &\quad - \frac{r_g}{2v} \int \frac{1}{u + 1} du + \frac{r_g}{2v} \int \frac{1}{(u + 1)^2} du \\ &= \frac{r_g}{2v} \left(\ln \frac{u - 1}{u + 1} - \frac{1}{u - 1} - \frac{1}{u + 1} \right) \end{aligned}$$

follows from equalities (6.2.10), (6.2.11), (6.2.14).

If x^0 changes from 0 to t_1 , then r changes from R_1 to R_2 and u changes from

$$u_1 = \sqrt{\frac{R_1 - r_g}{R_1}} = \sqrt{1 - \frac{r_g}{R_1}}$$

to

$$u_2 = \sqrt{\frac{R_2 - r_g}{R_2}} = \sqrt{1 - \frac{r_g}{R_2}}$$

Because time of movement in both directions is the same, then we get

$$(6.2.16) \quad \Delta_1 x^{(0)} + \Delta_2 x^{(0)} = \frac{r_g}{v} \left(\ln \frac{u-1}{u+1} - \frac{1}{u-1} - \frac{1}{u+1} \right)_{u=u_1}^{u=u_2}$$

It remains to calculate the time, how long James waits return of John. The equality

$$(6.2.17) \quad \Delta_3 x^{(0)} = \int_0^{2t_1} \sqrt{\frac{R_1 - r_g}{R_1}} dx^0 = 2t_1 \sqrt{\frac{R_1 - r_g}{R_1}}$$

follows from the equality (6.2.6).

To analyze the results of the experiment, I assume that, instead of John roundtrip traveling from the point A into the point B , James will send a beam of light ($v = c - 2.998e10$ sm/sec) into the point B , where the mirror will reflect beam of light back into the point A . Let the point A be on the surface of the Earth ($R_1 = 6.371e8$ santimeters, the distance from the center of the Earth) and the point B be on the surface of the Moon ($R_2 = 3.84e10$ santimeters).^{6.1} Time measured by James is 2.5192061357 seconds. Time measured by the beam of light is 2.5192002762 seconds. Since wave phase of light beam depends on local time in the reference frame of James, then James can use interference of the original beam of light and the returned beam of light in order to observe interference deviation from expected picture.

6.3. Doppler Shift in Central Body Gravitational Field

I want to show one more way to calculate the Doppler shift. The Doppler shift in gravitational field is well known issue, however the method that I show is useful to better understand physics of gravitational field.

We can describe the movement of photon in gravitational field using its wave vector k^i . The length of this vector is 0; $\frac{k^i}{dx^i} = const$; a trajectory is geodesic and therefore coordinates of this vector satisfy to differential equation

$$(6.3.1) \quad dk^i = -\Gamma_{kl}^i k^k dx^l$$

We looking for the frequency ω of light and k^0 is proportional ω . Let us consider the radial movement of a photon. In this case wave vector has form $k = (k^0, k^1, 0, 0)$. In the central field with metric (6.2.1) we can choose

$$k^0 = \frac{\omega}{c} \sqrt{\frac{r}{r - r_g}}$$

$$k^1 = \omega \sqrt{\frac{r - r_g}{r}}$$

^{6.1} Results of the calculation are an estimate, because, in the calculation, I do not take into account the gravitational field of the Moon.

$$dt = \frac{k^0}{k^1} dr = \frac{1}{c} \frac{r}{r - r_g} dr$$

Then the equation (6.3.1) gets form

$$\begin{aligned} dk^0 &= -\Gamma_{10}^0(k^1 dt + k^0 dr) \\ d\left(\frac{\omega}{c} \sqrt{\frac{r}{r - r_g}}\right) &= -\frac{r_g \omega}{2r(r - r_g)} \left(\sqrt{\frac{r - r_g}{r}} \frac{r}{r - r_g} + \sqrt{\frac{r}{r - r_g}} \right) \frac{dr}{c} \\ d\omega \sqrt{\frac{r}{r - r_g}} - \omega \frac{1}{2} \sqrt{\frac{r - r_g}{r}} \frac{r_g dr}{(r - r_g)^2} &= -\frac{r_g \omega dr}{r(r - r_g)} \sqrt{\frac{r}{r - r_g}} \\ \frac{d\omega}{\omega} &= -\frac{r_g}{2r(r - r_g)} dr \\ \ln \omega &= \frac{1}{2} \ln \frac{r}{r - r_g} + \ln C \end{aligned}$$

If we define $\omega = \omega_0$ when $r = \infty$, we get finally

$$\omega = \omega_0 \sqrt{\frac{r}{r - r_g}}$$

6.4. Lorentz Transformation in Orbital Direction

The reason for the time delay that we estimated above is in Lorentz transformation between stationary and orbiting observers. This means that we have rotation in plain $(e_{(0)}, e_{(2)})$. The basis vectors for stationary observer are

$$\begin{aligned} e_{(0)} &= \left(\frac{1}{c} \sqrt{\frac{r}{r - a}}, 0, 0, 0 \right) \\ e_{(2)} &= \left(0, 0, \frac{1}{r}, 0 \right) \end{aligned}$$

We assume that for orbiting observer changes of ϕ and t are proportional and

$$d\phi = \omega dt$$

Unit vector of speed in this case should be proportional to vector

$$(6.4.1) \quad (1, 0, \omega, 0)$$

The length of this vector is

$$(6.4.2) \quad L^2 = \frac{r - a}{r} c^2 - r^2 \omega^2$$

We see in this expression very familiar pattern and expect that linear speed of orbiting observer is $V = \omega r$.

However we have to remember that we make measurement in gravitational field and coordinates are just tags to label points in spacetime. This means that we need a legal method to measure speed.

If an object moves from point (t, ϕ) to point $(t + dt, \phi + d\phi)$ we need to measure spatial and time intervals between these points. We assume that in both points there are observers A and B . Observer A sends the same time light signal to B and ball that has angular speed ω . Whatever observer B receives, he sends light signal back to A .

When A receives first signal he can estimate distance to B . When A receives second signal he can estimate how long ball moved to B .

The time of travel of light in both directions is the same. Trajectory of light is determined by equation $ds^2 = 0$. In our case we have

$$\frac{r-r_g}{r}c^2dt^2 - r^2d\phi^2 = 0$$

When light returns back to observer A the change of t is

$$dt = 2\sqrt{\frac{r}{r-r_g}}c^{-1}rd\phi$$

The proper time of first observer is

$$ds^2 = \frac{r-r_g}{r}c^2d\left(2\sqrt{\frac{r}{r-r_g}}c^{-1}rd\phi\right)^2$$

Therefore spatial distance is

$$L = rd\phi$$

When object moving with angular speed ω gets to B change of t is $\frac{d\phi}{\omega}$. The proper time at this point is

$$ds^2 = \frac{r-r_g}{r}c^2d\phi^2\omega^{-2}$$

$$T = \sqrt{\frac{r-r_g}{r}}c\omega^{-1}d\phi$$

Therefore the observer A measures speed

$$V = \frac{L}{T} = \sqrt{\frac{r}{r-r_g}}r\omega$$

We can use speed V as parameter of Lorentz transformation. Then length (6.4.2) of vector (6.4.1) is

$$L = \sqrt{\frac{r-r_g}{r}\left(c^2 - \frac{r}{r-r_g}r^2\omega^2\right)} = \sqrt{\frac{r-r_g}{r}}c\sqrt{\left(1 - \frac{V^2}{c^2}\right)}$$

Therefore time ort of moving observer is

$$e'_{(0)} = \left(\frac{1}{L}, 0, \frac{\omega}{L}, 0\right)$$

$$e'_{(0)} = \left(\sqrt{\frac{r}{r-r_g}}c^{-1}\frac{1}{\sqrt{\left(1 - \frac{V^2}{c^2}\right)}}, 0, \omega\sqrt{\frac{r}{r-r_g}}c^{-1}\frac{1}{\sqrt{\left(1 - \frac{V^2}{c^2}\right)}}, 0\right)$$

Spatial ort $e'_{(2)} = (A, 0, B, 0)$ is orthogonal $e'_{(0)}$ and has length -1 . Therefore

$$(6.4.3) \quad \frac{r-r_g}{r}c^2\frac{1}{L}A - r^2\frac{\omega}{L}B = 0$$

$$(6.4.4) \quad \frac{r-r_g}{r}c^2A^2 - r^2B^2 = -1$$

We can express A from (6.4.3)

$$A = c^{-2}\frac{r}{r-r_g}r^2\omega B$$

and substitute into (6.4.4)

$$c^{-2}\frac{r}{r-r_g}r^4\omega^2B^2 - r^2B^2 = -1$$

$$\frac{V^2}{c^2}r^2B^2 - r^2B^2 = -1$$

Finally spatial ort in direction of movement is

$$e'_{(2)} = \left(c^{-2} \frac{r}{r-r_g} r\omega \frac{1}{\sqrt{1-\frac{V^2}{c^2}}}, 0, \frac{1}{r} \frac{1}{\sqrt{1-\frac{V^2}{c^2}}}, 0 \right)$$

$$e'_{(2)} = \left(c^{-2} \sqrt{\frac{r}{r-r_g}} \frac{V}{\sqrt{1-\frac{V^2}{c^2}}}, 0, \frac{1}{r} \frac{1}{\sqrt{1-\frac{V^2}{c^2}}}, 0 \right)$$

Therefore we get transformation

$$(6.4.5) \quad \begin{aligned} e'_{(0)} &= \frac{1}{\sqrt{1-\frac{V^2}{c^2}}} e_{(0)} + \frac{V}{c} \frac{1}{\sqrt{1-\frac{V^2}{c^2}}} e_{(2)} \\ e'_{(2)} &= \frac{V}{c} \frac{1}{\sqrt{1-\frac{V^2}{c^2}}} e_{(0)} + \frac{1}{\sqrt{1-\frac{V^2}{c^2}}} e_{(2)} \end{aligned}$$

If a stationary observer sends light in a radial direction, the orbiting observer observes Doppler shift

$$\omega' = \frac{\omega}{\sqrt{1-\frac{V^2}{c^2}}}$$

We need to add Doppler shift for gravitational field if the moving observer receives a radial wave that came from infinity. In this case the Doppler shift will take the form

$$\omega' = \sqrt{\frac{r}{r-r_g}} \frac{\omega}{\sqrt{1-\frac{V^2}{c^2}}}$$

We see the estimation for dynamics of star S2 that orbits Sgr A in tables 6.4.1 and 6.4.2. The tables are based on two different estimations for mass of Sgr A.

If we get mass Sgr $4.1_{10}6M_{\odot}$ [10] then in pericentre (distance $1.868_{10}15$ cm) S2 has speed 738767495.4 cm/s and Doppler shift is $\omega'/\omega = 1.000628$. In this case we measure length $2.16474\mu m$ for emitted wave with length $2.1661\mu m$ (Br γ). In apocentre (distance $2.769_{10}16$ cm) S2 has speed 49839993.28 cm/s and Doppler shift is $\omega'/\omega = 1.0000232$. We measure length $2.166049\mu m$ for the same wave. Difference between two measurements of wave length is 13.098\AA .

If we get mass Sgr $3.7_{10}6M_{\odot}$ [11] then in pericentre (distance $1.805_{10}15$ cm) S2 has speed 713915922.3 cm/s and Doppler shift is $\omega'/\omega = 1.000587$. In this case we measure length $2.16483\mu m$ for emitted wave with length $2.1661\mu m$ (Br γ). In apocentre (distance $2.676_{10}16$ cm) S2 has speed 48163414.05 cm/s and Doppler shift is $\omega'/\omega = 1.00002171$. We measure length $2.1666052\mu m$ for the same wave. Difference between two measurements of wave length is 12.232\AA .

Difference between two measurements of wavelength in pericentre is 0.9\AA . Analyzing this data we can conclude that the use of Doppler shift can help improve estimation of the mass of Sgr A.

TABLE 6.4.1. Doppler shift on the Earth of a wave emitted from S2; mass of Sgr A is $4.1_{10}6M_{\odot}$ [10]

	pericentre	apocentre
distance cm	$1.868_{10}15$	$2.769_{10}16$
speed cm/s	738767495.4	49839993.28
ω'/ω	1.000628	1.0000232
emitted wave ($Br \gamma$) μm	2.1661	2.1661
observed wave μm	2.16474	2.166049

Difference between two measurements of wavelength is 13.098\AA .

TABLE 6.4.2. Doppler shift on the Earth of wave emitted from S2; mass of Sgr A is $3.7_{10}6M_{\odot}$ [11]

	pericentre	apocentre
distance cm	$1.805_{10}15$	$2.676_{10}16$
speed cm/s	713915922.3	48163414.05
ω'/ω	1.000587	1.00002171
emitted wave ($Br \gamma$) μm	2.1661	2.1661
observed wave μm	2.16483	2.1666052

Difference between two measurements of wavelength is 12.232\AA .

6.5. Lorentz Transformation in Radial Direction

We see that the Lorentz transformation in orbital direction has familiar form. It is very interesting to see what form this transformation has for radial direction. We start from procedure of measurement speed and use coordinate speed v

$$(6.5.1) \quad dr = v dt$$

The time of travel of light in both directions is the same. Trajectory of light is determined by equation $ds^2 = 0$.

$$\frac{r - r_g}{r} c^2 dt^2 - \frac{r}{r - r_g} dr^2 = 0$$

When light returns back to observer A the change of t is

$$dt = 2 \frac{r}{r - r_g} c^{-1} dr$$

The proper time of observer A is

$$\begin{aligned} ds^2 &= \frac{r - r_g}{r} c^2 4 \frac{r^2}{(r - r_g)^2} c^{-2} dr^2 = \\ &= 4 \frac{r}{r - r_g} dr^2 \end{aligned}$$

Therefore spatial distance is

$$L = \sqrt{\frac{r}{r-r_g}} dr$$

When object moving with speed (6.5.1) gets to B change of t is $\frac{dr}{v}$. The proper time of observer A at this point is

$$ds^2 = \frac{r-r_g}{r} c^2 dr^2 v^{-2}$$

$$T = \sqrt{\frac{r-r_g}{r}} v^{-1} dr$$

Therefore the observer A measures speed

$$V = \frac{L}{T} = \frac{\sqrt{\frac{r}{r-r_g}} dr}{\sqrt{\frac{r-r_g}{r}} v^{-1} dr} =$$

$$= \frac{r}{r-r_g} v$$

Now we are ready to find out Lorentz transformation. The basis vectors for stationary observer are

$$e_{(0)} = \left(\frac{1}{c} \sqrt{\frac{r}{r-r_g}}, 0, 0, 0 \right)$$

$$e_{(1)} = \left(0, \sqrt{\frac{r-r_g}{r}}, 0, 0 \right)$$

Unit vector of speed should be proportional to vector

$$(6.5.2) \quad (1, v, 0, 0)$$

The length of this vector is

$$(6.5.3) \quad L^2 = \frac{r-r_g}{r} c^2 - \frac{r}{r-r_g} v^2 =$$

$$= \frac{r-r_g}{r} c^2 \left(1 - \frac{V^2}{c^2} \right)$$

Therefore time ort of moving observer is

$$e'_{(0)} = \left(\frac{1}{L}, \frac{v}{L}, 0, 0 \right) =$$

$$= \left(\sqrt{\frac{r}{r-r_g}} c^{-1} \frac{1}{\sqrt{1-\frac{V^2}{c^2}}}, v \sqrt{\frac{r}{r-r_g}} c^{-1} \frac{1}{\sqrt{1-\frac{V^2}{c^2}}}, 0, 0 \right)$$

$$= \left(\sqrt{\frac{r}{r-r_g}} c^{-1} \frac{1}{\sqrt{1-\frac{V^2}{c^2}}}, \frac{V}{c} \sqrt{\frac{r-r_g}{r}} \frac{1}{\sqrt{1-\frac{V^2}{c^2}}}, 0, 0 \right)$$

Spatial ort $e'_{(1)} = (A, B, 0, 0)$ is orthogonal $e'_{(0)}$ and has length -1 . Therefore

$$(6.5.4) \quad \frac{r-r_g}{r} c^2 \frac{1}{L} A - \frac{r}{r-r_g} \frac{v}{L} B = 0$$

$$(6.5.5) \quad \frac{r-r_g}{r}c^2A^2 - \frac{r}{r-r_g}B^2 = -1$$

We can express A from (6.5.4)

$$A = c^{-2} \frac{r^2}{(r-r_g)^2} v B = c^{-2} \frac{r}{r-r_g} V B$$

and substitute into (6.5.5)

$$\begin{aligned} \frac{r-r_g}{r}c^2c^{-4} \frac{r^2}{(r-r_g)^2} V^2 B^2 - \frac{r}{r-r_g} B^2 &= -1 \\ \frac{r}{r-r_g} B^2 \left(1 - \frac{V^2}{c^2}\right) &= 1 \\ B^2 &= \frac{r-r_g}{r} \frac{1}{1 - \frac{V^2}{c^2}} \\ B &= \sqrt{\frac{r-r_g}{r}} \frac{1}{\sqrt{1 - \frac{V^2}{c^2}}} \\ A &= c^{-2} \frac{r}{r-r_g} V \sqrt{\frac{r-r_g}{r}} \frac{1}{\sqrt{1 - \frac{V^2}{c^2}}} \\ &= c^{-2} V \sqrt{\frac{r}{r-r_g}} \frac{1}{\sqrt{1 - \frac{V^2}{c^2}}} \end{aligned}$$

Finally spatial ort in direction of movement is

$$e'_{(1)} = \left(c^{-2} V \sqrt{\frac{r}{r-r_g}} \frac{1}{\sqrt{1 - \frac{V^2}{c^2}}}, \sqrt{\frac{r-r_g}{r}} \frac{1}{\sqrt{1 - \frac{V^2}{c^2}}}, 0, 0 \right)$$

Therefore we get transformation in familiar form

$$(6.5.6) \quad \begin{aligned} e'_{(0)} &= \frac{1}{\sqrt{1 - \frac{V^2}{c^2}}} e_{(0)} + \frac{V}{c} \frac{1}{\sqrt{1 - \frac{V^2}{c^2}}} e_{(1)} \\ e'_{(1)} &= \frac{V}{c} \frac{1}{\sqrt{1 - \frac{V^2}{c^2}}} e_{(0)} + \frac{1}{\sqrt{1 - \frac{V^2}{c^2}}} e_{(1)} \end{aligned}$$

6.6. Doppler Shift in Friedman Space

We consider another example in Friedman space. Metric of the space is

$$ds^2 = a^2(dt^2 - d\chi^2 - \sin^2 \chi (d\theta^2 - \sin^2 \theta d\phi^2))$$

for closed model and

$$ds^2 = a^2(dt^2 - d\chi^2 - \sinh^2 \chi (d\theta^2 - \sin^2 \theta d\phi^2))$$

for open one. Connection in this space is (α, β get values 1, 2, 3)

$$\begin{aligned} \Gamma_{00}^0 &= \frac{\dot{a}}{a} \\ \Gamma_{\alpha\alpha}^0 &= -\frac{\dot{a}}{a^2} g_{\alpha\alpha} \end{aligned}$$

$$\Gamma_{0\beta}^{\alpha} = \frac{\dot{a}}{a} \delta_{\beta}^{\alpha}$$

Because space is homogenous we do not care about direction of light. In this case

$$dk^0 = -\Gamma_{ij}^0 k^i k^j$$

Because k is isotropic vector tangent to its trajectory we have

$$dx^{\alpha} = \frac{k^{\alpha}}{k^0} dt$$

Because $k^0 = \frac{\omega}{a}$, then

$$\begin{aligned} d\frac{\omega}{a} &= -\frac{da}{a^2}\omega + \frac{da}{\omega a} g_{\alpha\alpha} k^{\alpha} k^{\alpha} = -2\frac{da}{a^2}\omega \\ ad\omega + \omega da &= 0 \\ a\omega &= \text{const} \end{aligned}$$

Therefore when a grows ω becomes smaller and length of waves grows as well.

a grows during light travel through spacetime and this leads to red shift. We observe red shift because geometry changes, but not because galaxies run away one from other.

Now we want to see how red shift changes with time if initial and final points do not move. For simplicity I will change only χ . Initial value is χ_1 and final value is χ_2 . Because $dt = d\chi$ on light trajectory we have

$$\chi = \chi_1 + t - t_1 \quad t_2 = \chi_2 - \chi_1 + t_1$$

Therefore $a(t_1)\omega_1 = a(t_2)\omega_2$. Doppler shift is

$$K(t_1) = \frac{\omega_2}{\omega_1} = \frac{a(t_1)}{a(t_2)}$$

If initial time changes

$$t'_1 = t_1 + dt$$

then

$$K(t_1 + dt) = \frac{a(t_1 + dt)}{a(t_2 + dt)}$$

Time derivative of K is

$$\dot{K} = \frac{\dot{a}_1 a_2 - a_1 \dot{a}_2}{a_2^2}$$

For closed space $a = \cosh t$. Then $\dot{a} = \sinh t$.

$$\dot{K} = \frac{\sinh t_1 \cosh t_2 - \sinh t_2 \cosh t_1}{\cosh^2 t_2} = \frac{\sinh(t_1 - t_2)}{\cosh^2 t_2}$$

K decreases when t_1 increases.

6.7. Lorentz Transformation in Friedman Space

To learn Lorentz transformation in Friedman space I want to use metric in form

$$ds^2 = c^2 dt^2 - a^2(d\chi^2 + b^2(d\theta^2 - \sin^2 \theta d\phi^2))$$

Now I have 2 observers. One does not move and has speed $(1, 0, 0, 0)$, and another moves along χ and his speed is $C = (1, v, 0, 0)$ and we assume $V = av$.

Metric is diagonal and coordinates θ, ϕ do not change. We have transformation in plane t, χ .

Unit speed of first observer is

$$e_0 = \left(\frac{1}{c}, 0, 0, 0\right)$$

and vector orthonormal this one is

$$e_1 = \left(0, \frac{1}{a}, 0, 0\right)$$

The length of vector C is

$$L = \sqrt{c^2 - a^2 v^2} = c \sqrt{1 - \frac{V^2}{c^2}}$$

Therefore unit vector of speed of second observer is

$$e'_0 = \left(\frac{1}{L}, \frac{v}{L}, 0, 0\right)$$

We look for vector

$$e'_1 = (A, B, 0, 0)$$

that is orthogonal to vector e'_0 . For this we have

$$(6.7.1) \quad c^2 A^2 - a^2 B^2 = -1$$

$$(6.7.2) \quad c^2 A \frac{1}{L} - a^2 B \frac{v}{L} = 0$$

We get from the equation (6.7.2)

$$(6.7.3) \quad A = \frac{a^2}{c^2} v B$$

We substitute (6.7.3) into (6.7.1) and get

$$B^2 \left(\frac{a^4}{c^2} v^2 - a^2 \right) = -1$$

$$B = \frac{1}{a \sqrt{1 - \frac{V^2}{c^2}}}$$

Therefore basis of second observer is

$$e'_0 = \left(\frac{1}{c \sqrt{1 - \frac{V^2}{c^2}}}, \frac{V}{ca \sqrt{1 - \frac{V^2}{c^2}}}, 0, 0 \right)$$

$$e'_1 = \left(\frac{V}{c^2 \sqrt{1 - \frac{V^2}{c^2}}}, \frac{1}{a \sqrt{1 - \frac{V^2}{c^2}}}, 0, 0 \right)$$

Now we can express e' through e

$$e'_0 = \frac{1}{\sqrt{1 - \frac{V^2}{c^2}}} e_0 + \frac{V}{c} \frac{1}{\sqrt{1 - \frac{V^2}{c^2}}} e_1$$
$$e'_1 = \frac{V}{c} \frac{1}{\sqrt{1 - \frac{V^2}{c^2}}} e_0 + \frac{1}{\sqrt{1 - \frac{V^2}{c^2}}} e_1$$

Geometry of Metric-Affine Manifold

7.1. Line with Extreme Length

There are two different definitions of a geodesic curve in the Riemann manifold. One of them relies on the parallel transport. We call an appropriate **line auto parallel**. Another definition depends on the length of trajectory. We call an appropriate **line extreme**. In a metric-affine manifold these lines have different equations [17]. Equation of auto parallel line does not change. However, the equation of extreme line changes.^{7.1}

THEOREM 7.1.1. *Let $x^i = x^i(t, \alpha)$ be a line depending on a parameter α with fixed points at $t = t_1$ and $t = t_2$ and we define its length as*

$$(7.1.1) \quad s = \int_{t_1}^{t_2} \sqrt{g_{ij} \frac{dx^i}{dt} \frac{dx^j}{dt}} dt$$

Then

$$(7.1.2) \quad \delta s = \int_{t_1}^{t_2} \left(\frac{1}{2} (g_{kj;i} - g_{ik;j} - g_{ij;k}) \frac{dx^k}{ds} \frac{dx^j}{ds} ds - g_{ij} D \frac{dx^j}{ds} \right) \delta x^i$$

where δx^k is the change of a line when α changes.

PROOF. We have

$$\frac{ds}{dt} = \sqrt{g_{ij} \frac{dx^i}{dt} \frac{dx^j}{dt}}$$

and

$$(7.1.3) \quad \delta s = \int_{t_1}^{t_2} \frac{\delta \left(g_{ij} \frac{dx^i}{dt} \frac{dx^j}{dt} \right)}{2 \frac{ds}{dt}} dt$$

We can estimate the numerator of fraction in the equation (7.1.3)

$$(7.1.4) \quad \begin{aligned} & g_{ij,k} \delta x^k \frac{dx^i}{dt} \frac{dx^j}{dt} + 2g_{ij} \delta \frac{dx^i}{dt} \frac{dx^j}{dt} \\ &= g_{ij;k} \delta x^k \frac{dx^i}{dt} \frac{dx^j}{dt} + 2g_{ij} \Gamma_{lk}^i \delta x^k \frac{dx^l}{dt} \frac{dx^j}{dt} + 2g_{ij} d \frac{dx^i}{dt} \frac{dx^j}{dt} = \\ &= g_{ij;k} \delta x^k \frac{dx^i}{dt} \frac{dx^j}{dt} + 2g_{ij} \frac{D \delta x^i}{dt} \frac{dx^j}{dt} \end{aligned}$$

^{7.1}To derive the equation (7.1.5), I follow the ideas that Rashevsky [26] implemented for the Riemann manifold.

From equations (7.1.3), (7.1.4), it follows that

$$\begin{aligned}
\delta s &= \int_{t_1}^{t_2} \frac{g_{ij;k} \delta x^k dx^i \frac{dx^j}{dt} + 2g_{ij} D \delta x^i \frac{dx^j}{dt}}{2 \frac{ds}{dt}} \\
&= \int_{t_1}^{t_2} \left(\frac{1}{2} g_{ij;k} \delta x^k dx^i \frac{dx^j}{ds} + g_{ij} D \delta x^i \frac{dx^j}{ds} \right) \\
&= \int_{t_1}^{t_2} \left(\frac{1}{2} g_{kj;i} \delta x^i \frac{dx^k}{ds} ds \frac{dx^j}{ds} + d \left(g_{ij} \delta x^i \frac{dx^j}{ds} \right) - g_{ij;k} \frac{dx^k}{ds} ds \frac{dx^j}{ds} \delta x^i - g_{ij} D \frac{dx^j}{ds} \delta x^i \right) \\
&= \left(g_{ij} \delta x^i \frac{dx^j}{ds} \right) \Big|_{t_1}^{t_2} + \int_{t_1}^{t_2} \left(\frac{1}{2} (g_{kj;i} - g_{ij;k} - g_{ik;j}) \frac{dx^k}{ds} \frac{dx^j}{ds} ds - g_{ij} D \frac{dx^j}{ds} \right) \delta x^i
\end{aligned}$$

First term is 0 because points, when $t = t_1$ and $t = t_2$, are fixed. Therefore, we have got the statement of the theorem. \square

THEOREM 7.1.2. *An extreme line satisfies equation*

$$(7.1.5) \quad \frac{D \frac{dx^l}{ds}}{ds} = \frac{1}{2} g^{il} (g_{kj;i} - g_{ik;j} - g_{ij;k}) \frac{dx^k}{ds} \frac{dx^j}{ds}$$

PROOF. To find a line with extreme length, we use the functional (7.1.1). Since $\delta s = 0$,

$$\frac{1}{2} (g_{kj;i} - g_{ij;k} - g_{ik;j}) \frac{dx^k}{ds} \frac{dx^j}{ds} ds - g_{ij} D \frac{dx^j}{ds} = 0$$

follows from (7.1.2). \square

THEOREM 7.1.3. *Parallel transport along an extreme line holds length of tangent vector.*

PROOF. Let

$$v^i = \frac{dx^i}{ds}$$

be the tangent vector to extreme curve. From theorem 7.1.2 it follows that

$$\frac{Dv^l}{ds} = g^{il} \frac{1}{2} (g_{kj;i} - g_{ik;j} - g_{ij;k}) v^k v^j$$

and

$$\begin{aligned}
\frac{Dg_{kl} v^k v^l}{ds} &= \frac{Dg_{kl}}{ds} v^k v^l + g_{kl} \frac{Dv^k}{ds} v^l + g_{kl} v^k \frac{Dv^l}{ds} \\
&= g_{kl;p} v^p v^k v^l + g_{kl} g^{ik} \frac{1}{2} (g_{rj;i} - g_{ir;j} - g_{ij;r}) v^r v^j v^l \\
&\quad + g_{kl} v^k g^{il} \frac{1}{2} (g_{rj;i} - g_{ir;j} - g_{ij;r}) v^r v^j \\
&= g_{kl;p} v^p v^k v^l + (g_{rj;l} - g_{lr;j} - g_{lj;r}) v^r v^j v^l = 0
\end{aligned}$$

Therefore length of the vector v^i does not change along extreme curve. \square

7.2. Frenet Transport

All equations that we derived before are different, however they have something common in their structure. All these equations express movement along a line and in the right side of them we can see the curvature of this line.

By definition curvature of a line is

$$\xi(s) = \left| \frac{D \frac{dx^l}{ds}}{ds} \right|$$

Therefore we can introduce unit vector e_1 such that

$$\frac{D \frac{dx^l}{ds}}{ds} = \xi e_1^l$$

Knowledge of the transport of a basis along a line is very important, because it allows us to study how spacetime changes when an observer moves through it. Our task is to discover equations similar to the Frenet transport in the Riemann space. We design the accompaniment basis ν_k^i the same way we do it in the Riemann space.

Vectors

$$\xi^i(t) = \frac{dx^i(t)}{dt}, \quad \frac{D\xi^i}{dt}, \quad \dots \quad \frac{D^{n-1}\xi^i}{dt^{n-1}}$$

in general are linearly independent. We call plane that we create on the base of first p vectors as p -th osculating plane R_p . This plane does not depend on choice of parametr t .

Our next task is to create orthogonal basis which shows us how line changes. We get vector $\nu_1^i \in R_1$ so it is tangent to line. We get vector $\nu_p^i \in R_p$, $p > 1$ such that ν_p^i is orthogonal to R_{p-1} . If original line is not isotropic then each ν_p^i also is not isotropic and we can get unit vector in the same direction. We call this basis accompaniment.

THEOREM 7.2.1. *The Frenet transport in the metric-affine manifold gets the form*

$$(7.2.1) \quad \begin{aligned} \frac{D\nu_p^i}{dt} &= \frac{1}{2}g^{im}(g_{kl;m} - g_{km;l} - g_{ml;k})\nu_1^k\nu_p^l - \\ &\quad - \epsilon_p\epsilon_{p-1}\xi_{p-1}\nu_{p-1}^i + \xi_p\nu_{p+1}^i \\ \epsilon_k &= \text{sign}(g_{pq}\nu_k^p\nu_k^q) \end{aligned}$$

Here ν_k^a is vector of basis, moving along line,

$$\epsilon_k = \text{sign}(g_{pq}\nu_k^p\nu_k^q)$$

PROOF. We introduce vectors ν_k^a in this way that

$$(7.2.2) \quad \frac{D\nu_p^i}{dt} = \frac{1}{2}g^{im}(g_{kl;m} - g_{km;l} - g_{ml;k})\nu_1^k\nu_p^l + a_p^q\nu_q^i$$

where $a_p^q = 0$ when $q > p + 1$. Now we can determine coefficients a_p^q . If we get derivative of the equation

$$g_{ij}\nu_p^i\nu_q^j = \text{const}$$

and substitute (7.2.2) we get the equation

$$\begin{aligned}
\frac{dg_{ij}\nu_a^i\nu_b^j}{ds} &= \frac{Dg_{ij}}{ds}\nu_a^i\nu_b^j + g_{ij}\frac{D\nu_a^i}{ds}\nu_b^j + g_{ij}\nu_a^i\frac{D\nu_b^j}{ds} \\
&= g_{ij;k}\nu_1^k\nu_a^i\nu_b^j + g_{ij}\left(\frac{1}{2}g^{im}(g_{kl;m} - g_{km;l} - g_{ml;k})\nu_1^k\nu_a^l + a_a^q\nu_q^i\right)\nu_b^j \\
&\quad + g_{ij}\nu_a^i\left(\frac{1}{2}g^{jm}(g_{kl;m} - g_{km;l} - g_{ml;k})\nu_1^k\nu_b^l + a_b^q\nu_q^j\right) \\
&= g_{ij;k}\nu_1^k\nu_a^i\nu_b^j + g_{ij}\frac{1}{2}g^{im}(g_{kl;m} - g_{km;l} - g_{ml;k})\nu_1^k\nu_a^l\nu_b^j + g_{ij}a_a^q\nu_q^i\nu_b^j \\
&\quad + g_{ij}\nu_a^i\frac{1}{2}g^{jm}(g_{kl;m} - g_{km;l} - g_{ml;k})\nu_1^k\nu_b^l + g_{ij}\nu_a^i a_b^q\nu_q^j \\
&= \frac{1}{2}\nu_1^k\nu_a^i\nu_b^j(2g_{ij;k} + g_{ki;j} - g_{kj;i} - g_{ji;k} + g_{kj;i} - g_{ki;j} - g_{ij;k}) + \\
&\quad + \epsilon_b a_a^b + \epsilon_a a_b^a = 0
\end{aligned}$$

$a_p^q = 0$ when $q > p + 1$ by definition. Therefore $a_p^q = 0$ when $q < p - 1$. Introducing $\xi_p = a_p^{p+1}$ we get

$$a_{p+1}^p = -\epsilon_p \epsilon_{p+1} \xi_p$$

When $q = p$ we get

$$a_p^p = 0$$

We get (7.2.1) when substitute a_p^q in (7.2.2). \square

7.3. Cartan Connection

Theorems 7.1.2 and 7.2.1 state that the movement along a line causes a transformation additional to the parallel transport of a vector. This transformation is very important and we call it the **Cartan transport**. We introduce the **Cartan symbol**

$$\Gamma(C)_{kl}^i = \frac{1}{2}g^{im}(g_{kl;m} - g_{km;l} - g_{ml;k})$$

and the **Cartan connection**

$$\widehat{\Gamma}_{kl}^i = \Gamma_{kl}^i - \Gamma(C)_{kl}^i = \Gamma_{kl}^i - \frac{1}{2}g^{im}(g_{kl;m} - g_{km;l} - g_{ml;k})$$

Using the Cartan connection we can write the connection form as

$$\omega = dx^i - \widehat{\Gamma}_{kl}^i a^k dx^l$$

Respectively we define the **Cartan derivative** overbrace

$$\widehat{\nabla}_l a^i = a_{;\{l\}}^i = \partial_l a^i + \widehat{\Gamma}_{kl}^i a^k$$

$$\widehat{D} a^i = da^i + \widehat{\Gamma}_{kl}^i a^k dx^l$$

THEOREM 7.3.1. *The Cartan transport along an extreme line holds length of the tangent vector.*

PROOF. Let

$$v^i = \frac{dx^i}{ds}$$

be the tangent vector to an extreme curve. From theorem 7.1.2 it follows that

$$\frac{Dv^l}{ds} = \frac{1}{2}g^{il}(g_{kj;i} - g_{ik;j} - g_{ij;k})v^k v^j$$

and

$$\begin{aligned} \frac{Dg_{kl}v^k v^l}{ds} &= \frac{Dg_{kl}}{ds}v^k v^l + g_{kl}\frac{Dv^k}{ds}v^l + g_{kl}v^k\frac{Dv^l}{ds} \\ &= g_{kl;p}v^p v^k v^l + \\ &\quad + g_{kl}g^{ik}\frac{1}{2}(g_{rj;i} - g_{ir;j} - g_{ij;r})v^r v^j v^l \\ &\quad + g_{kl}v^k g^{il}\frac{1}{2}(g_{rj;i} - g_{ir;j} - g_{ij;r})v^r v^j \\ &= g_{kl;p}v^p v^k v^l + (g_{rj;l} - g_{lr;j} - g_{lj;r})v^r v^j v^l = 0 \end{aligned}$$

Therefore the length of the vector v^i does not change along the extreme curve. \square

We extend the Cartan transport to any geometric object like we do for the parallel transport.

THEOREM 7.3.2.

$$g_{ij;\{l\}} = 0$$

PROOF.

$$\begin{aligned} \overbrace{\nabla_l} g_{ij} &= \partial_l g_{ij} - \overbrace{\Gamma_{il}^k} g_{kj} - \overbrace{\Gamma_{jl}^k} g_{ik} = \\ &= g_{ij;l} + \frac{1}{2}g^{km}(g_{il;m} - g_{im;l} - g_{ml;i})g_{kj} + \frac{1}{2}g^{km}(g_{jl;m} - g_{jm;l} - g_{ml;j})g_{ik} = 0 \end{aligned}$$

\square

The Cartan connection $\overbrace{\Gamma_{kl}^i}$ differs from the connection Γ_{kl}^i by additional term which is symmetric tensor. For any connection we introduce standard way derivative and curvature. Statements of geometry and physics have the same form independently of whether I use the connection Γ_{kl}^i or the Cartan connection. To show this we can generalize the idea of the Cartan connection and consider connection defined by equation

$$(7.3.1) \quad \overline{\Gamma_{kl}^i} = \Gamma_{kl}^i + A_{kl}^i$$

where A is 0, or the Cartan symbol or any other symmetric tensor. Respectively we define the derivative

$$\overline{\nabla_l} a^i = a_{;\langle l \rangle}^i = \partial_l a^i + \overline{\Gamma_{kl}^i} a^k$$

$$\overline{D}a^i = da^i + \overline{\Gamma_{kl}^i} a^k dx^l$$

and curvature

$$\overline{R_{bij}^a} = \partial_i \overline{\Gamma_{bj}^a} - \partial_j \overline{\Gamma_{bi}^a} + \overline{\Gamma_{ci}^a} \overline{\Gamma_{bj}^c} - \overline{\Gamma_{cj}^a} \overline{\Gamma_{bi}^c}$$

This connection has the same torsion

$$(7.3.2) \quad T_{cb}^a = \overline{\Gamma_{bc}^a} - \overline{\Gamma_{cb}^a}$$

In this context theorem 7.3.1 means that extreme line is geodesic line for the Cartan connection.

THEOREM 7.3.3. *Curvature of connection (7.3.1) has form*

$$(7.3.3) \quad \overline{R_{bde}^a} = R_{bde}^a + A_{be;d}^a - A_{bd;e}^a + A_{cd}^a A_{be}^c - A_{ce}^a A_{bd}^c + S_{de}^p A_{bp}^a$$

where R_{bde}^a is curvature of connection Γ_{kl}^i

PROOF.

$$\begin{aligned} \overline{R_{bde}^a} &= \overline{\Gamma_{be,d}^a} - \overline{\Gamma_{bd,e}^a} + \overline{\Gamma_{cd}^a} \overline{\Gamma_{be}^c} - \overline{\Gamma_{ce}^a} \overline{\Gamma_{bd}^c} \\ &= \Gamma_{be,d}^a + A_{be,d}^a - \Gamma_{bd,e}^a - A_{bd,e}^a \\ &\quad + (\Gamma_{cd}^a + A_{cd}^a)(\Gamma_{be}^c + A_{be}^c) - (\Gamma_{ce}^a + A_{ce}^a)(\Gamma_{bd}^c + A_{bd}^c) \\ &= \Gamma_{be,d}^a + A_{be,d}^a - \Gamma_{bd,e}^a - A_{bd,e}^a \\ &\quad + \Gamma_{cd}^a \Gamma_{be}^c + \Gamma_{cd}^a A_{be}^c + A_{cd}^a \Gamma_{be}^c + A_{cd}^a A_{be}^c \\ &\quad - \Gamma_{ce}^a \Gamma_{bd}^c - A_{ce}^a \Gamma_{bd}^c - \Gamma_{ce}^a A_{bd}^c - A_{ce}^a A_{bd}^c \\ &= R_{bde}^a + A_{be,d}^a - A_{bd,e}^a \\ &\quad + \Gamma_{cd}^a A_{be}^c + A_{cd}^a \Gamma_{be}^c + A_{cd}^a A_{be}^c \\ &\quad - A_{ce}^a \Gamma_{bd}^c - \Gamma_{ce}^a A_{bd}^c - A_{ce}^a A_{bd}^c \\ &= R_{bde}^a \\ &\quad + A_{be;d}^a - \frac{\Gamma_{pd}^a A_{be_2}^p}{\Gamma_{pd}^a A_{be_2}^p} + \frac{\Gamma_{bd}^p A_{pe_4}^a}{\Gamma_{bd}^p A_{pe_4}^a} + \frac{\Gamma_{ed}^p A_{bp_1}^a}{\Gamma_{ed}^p A_{bp_1}^a} \\ &\quad - A_{bd;e}^a + \frac{\Gamma_{pe}^a A_{bd_3}^p}{\Gamma_{pe}^a A_{bd_3}^p} - \frac{\Gamma_{be}^p A_{pd_5}^a}{\Gamma_{be}^p A_{pd_5}^a} - \frac{\Gamma_{de}^p A_{bp_1}^a}{\Gamma_{de}^p A_{bp_1}^a} \\ &\quad + \frac{\Gamma_{cd}^a A_{be_2}^c}{\Gamma_{cd}^a A_{be_2}^c} + \frac{\Gamma_{be}^c A_{cd_5}^a}{\Gamma_{be}^c A_{cd_5}^a} + A_{cd}^a A_{be}^c \\ &\quad - \frac{\Gamma_{bd}^c A_{ce_4}^a}{\Gamma_{bd}^c A_{ce_4}^a} - \frac{\Gamma_{ce}^a A_{bd_3}^c}{\Gamma_{ce}^a A_{bd_3}^c} - A_{ce}^a A_{bd}^c \end{aligned}$$

□

COROLLARY 7.3.4. **Cartan curvature** has next form

$$\begin{aligned} \widehat{R_{bde}^a} &= R_{bde}^a - \Gamma(C)_{be;d}^a + \Gamma(C)_{bd;e}^a \\ &\quad + \Gamma(C)_{cd}^a \Gamma(C)_{be}^c - \Gamma(C)_{ce}^a \Gamma(C)_{bd}^c - T_{de}^p \Gamma(C)_{bp}^a \end{aligned}$$

7.4. Lie Derivative

Vector field ξ^k on manifold generates infinitesimal transformation

$$(7.4.1) \quad x'^k = x^k + \epsilon \xi^k$$

which leads to the **Lie derivative**. Lie derivative tells us how the object changes when we move along the vector field.

From the equation (7.4.1), it follows that

$$(7.4.2) \quad \frac{\partial x^l}{\partial x'^k} = \delta_k^l + \epsilon \xi_{,k}^l$$

From the equation (7.4.1), it follows as well that

$$(7.4.3) \quad x^k = x'^k - \epsilon \xi^k$$

$$(7.4.4) \quad \frac{\partial x^l}{\partial x'^k} = \delta_k^l - \epsilon \xi_{,k}^l$$

THEOREM 7.4.1. **Lie derivative of metric** has form

$$(7.4.5) \quad \mathcal{L}_\xi g_{ab} = \xi_{;a}^k g_{kb} + \xi_{;b}^k g_{ka} + T_{ka}^l g_{lb} \xi^k + T_{kb}^l g_{la} \xi^k + g_{ab;k} \xi^k$$

PROOF. We start from transformation (7.4.1). Then

$$g_{ab}(x') = g_{ab}(x) + g_{ab,c} \epsilon \xi^c$$

The equation

$$\begin{aligned} g'_{ab}(x') &= \frac{\partial x^c}{\partial x'^a} \frac{\partial x^d}{\partial x'^b} g_{cd}(x) \\ &= g_{ab} - \epsilon \xi_{;a}^c g_{cb} - \epsilon \xi_{;b}^c g_{ac} \end{aligned}$$

follows from the equation (7.4.4). According to definition of Lie derivative we have

$$\begin{aligned} \mathcal{L}_\xi g_{ab} &= g_{ab}(x') - g'_{ab}(x') \\ &= g_{ab,c} \epsilon \xi^c + \epsilon \xi_{;a}^c g_{cb} + \epsilon \xi_{;b}^c g_{ac} \\ &= (g_{ab;c} + \Gamma_{ac}^d g_{db} + \Gamma_{bc}^d g_{ad}) \epsilon \xi^c \\ &\quad + \epsilon (\xi_{;a}^c - \Gamma_{da}^c \xi^d) g_{cb} + \epsilon (\xi_{;b}^c - \Gamma_{db}^c \xi^d) g_{ac} \\ (7.4.6) \quad \mathcal{L}_\xi g_{ab} &= g_{ab;c} \epsilon \xi^c + \Gamma_{ac}^d g_{db} \epsilon \xi^c + \Gamma_{bc}^d g_{ad} \epsilon \xi^c \\ &\quad + \xi_{;a}^c g_{cb} - \Gamma_{da}^c \xi^d g_{cb} + \xi_{;b}^c g_{ac} - \Gamma_{db}^c \xi^d g_{ac} \end{aligned}$$

(7.4.5) follows from (7.4.6) and (5.4.8). \square

THEOREM 7.4.2. **Lie derivative of connection** has form

$$(7.4.7) \quad \mathcal{L}_\xi \Gamma_{bc}^a = -R_{bcp}^a \xi^p - T_{bp;c}^a \xi^p - T_{be}^a \xi_{;c}^e + \xi_{;bc}^a$$

PROOF. We start from transformation (7.4.1). Then

$$(7.4.8) \quad \Gamma_{bc}^a(x') = \Gamma_{bc}^a(x) + \Gamma_{bc,p}^a \epsilon \xi^p$$

The equation

$$\begin{aligned} (7.4.9) \quad \Gamma_{bc}^a(x') &= \frac{\partial x'^a}{\partial x^e} \frac{\partial x^f}{\partial x'^b} \frac{\partial x^g}{\partial x'^c} \Gamma_{fg}^e(x) + \frac{\partial x'^a}{\partial x^e} \frac{\partial^2 x^e}{\partial x'^b \partial x'^c} \\ &= \Gamma_{bc}^a + \epsilon \xi_{;e}^a \Gamma_{bc}^e - \epsilon \xi_{;b}^e \Gamma_{ec}^a - \epsilon \xi_{;c}^e \Gamma_{be}^a + (\delta_e^a + \epsilon \xi_{;e}^a) (-\epsilon \xi_{;cb}^e) \\ &= \Gamma_{bc}^a + \epsilon \xi_{;e}^a \Gamma_{bc}^e - \epsilon \xi_{;b}^e \Gamma_{ec}^a - \epsilon \xi_{;c}^e \Gamma_{be}^a - \epsilon \xi_{;cb}^a \end{aligned}$$

follows from equations (7.4.2), (7.4.4). By definition

$$\begin{aligned} (7.4.10) \quad \xi_{;e}^a &= \xi_{;e}^a + \Gamma_{pe}^a \xi^p \\ \xi_{;e}^a &= \xi_{;e}^a - \Gamma_{pe}^a \xi^p \end{aligned}$$

Since $\xi_{;ef}^a$ is tensor, then

$$\begin{aligned} (7.4.11) \quad \xi_{;ef}^a &= \xi_{;e,f}^a + \Gamma_{pf}^a \xi_{;e}^p - \Gamma_{ef}^p \xi_{;p}^a \\ &= \xi_{;e,f}^a + \Gamma_{pe,f}^a \xi^p + \Gamma_{pe}^a \xi_{;f}^p + \Gamma_{pf}^a \xi_{;e}^p - \Gamma_{ef}^p \xi_{;p}^a \\ &= \xi_{;e,f}^a + \Gamma_{pe,f}^a \xi^p + \Gamma_{pe}^a \xi_{;f}^p - \Gamma_{pe}^a \Gamma_{rf}^p \xi^r + \Gamma_{pf}^a \xi_{;e}^p - \Gamma_{ef}^p \xi_{;p}^a \end{aligned}$$

The equation

$$(7.4.12) \quad \xi_{;ef}^a = \xi_{;e,f}^a - \Gamma_{pe,f}^a \xi^p - \Gamma_{pe}^a \xi_{;f}^p + \Gamma_{pe}^a \Gamma_{rf}^p \xi^r - \Gamma_{pf}^a \xi_{;e}^p + \Gamma_{ef}^p \xi_{;p}^a$$

follows from the equation (7.4.11). We substitute (7.4.12) and (7.4.10) into (7.4.9) and get

$$\begin{aligned}
(7.4.13) \quad \Gamma'_{bc}(x') &= \Gamma_{bc}^a + \epsilon(\underline{\xi}_{;e4:T}^a - \Gamma_{pe}^a \xi^p) \Gamma_{bc}^e - \epsilon(\underline{\xi}_{;b2}^e - \underline{\Gamma}_{pb}^e \xi^p) \Gamma_{ec}^a - \epsilon(\underline{\xi}_{;c3:T}^e - \Gamma_{pc}^e \xi^p) \Gamma_{be}^a \\
&\quad - \epsilon(\underline{\xi}_{;cb}^a - \Gamma_{pc,b}^a \xi^p - \underline{\Gamma}_{pc}^a \xi^p_{;b_2} + \underline{\Gamma}_{pc}^a \Gamma_{rb}^p \xi^r - \underline{\Gamma}_{pb}^a \xi^p_{;c_3} + \underline{\Gamma}_{cb}^p \xi^a_{;p_4}) \\
&= \Gamma_{bc}^a + \epsilon(\xi_{;e}^a T_{cb}^e - \Gamma_{pe}^a \xi^p \Gamma_{bc}^e + \xi_{;c}^e T_{be}^a + \Gamma_{pc}^e \xi^p \Gamma_{be}^a - \xi_{;cb}^a + \Gamma_{pc,b}^a \xi^p)
\end{aligned}$$

According definition of Lie derivative we have using (7.4.8) and (7.4.13)

$$\begin{aligned}
(7.4.14) \quad \mathcal{L}_\xi \Gamma_{bc}^a &= (\Gamma_{bc}^a(x') - \Gamma'_{bc}(x')) \epsilon^{-1} \\
&= (\Gamma_{bc}^a + \Gamma_{bc,p}^a \epsilon \xi^p \\
&\quad - \Gamma_{bc}^a - \epsilon(\xi_{;e}^a T_{cb}^e - \Gamma_{pe}^a \xi^p \Gamma_{bc}^e + \xi_{;c}^e T_{be}^a + \Gamma_{pc}^e \xi^p \Gamma_{be}^a - \xi_{;cb}^a + \Gamma_{pc,b}^a \xi^p)) \epsilon^{-1} \\
&= \Gamma_{bc,p}^a \xi^p - \xi_{;e}^a T_{cb}^e + \Gamma_{pe}^a \xi^p \Gamma_{bc}^e - \xi_{;c}^e T_{be}^a - \Gamma_{pc}^e \xi^p \Gamma_{be}^a + \xi_{;cb}^a - \Gamma_{pc,b}^a \xi^p
\end{aligned}$$

From (7.4.14) and (5.4.8) it follows

$$\begin{aligned}
(7.4.15) \quad \mathcal{L}_\xi \Gamma_{bc}^a &= \Gamma_{cb,p}^a \xi^p - \Gamma_{cp,b}^a \xi^p \\
&\quad + \underline{\Gamma}_{pe}^a \Gamma_{bc}^e \xi^p_{;3:T} - \underline{\Gamma}_{ep}^a \Gamma_{bc}^e \xi^p_3 + \underline{\Gamma}_{ep}^a \Gamma_{bc}^e \xi^p_{;4:T} - \underline{\Gamma}_{ep}^a \Gamma_{cb}^e \xi^p_4 + \underline{\Gamma}_{ep}^a \Gamma_{cb}^e \xi^p \\
&\quad - \underline{\Gamma}_{pc}^e \Gamma_{be}^a \xi^p_{;1:T} + \underline{\Gamma}_{pc}^e \Gamma_{eb}^a \xi^p_1 - \underline{\Gamma}_{eb}^e \Gamma_{pe}^a \xi^p_{;2:T} + \underline{\Gamma}_{eb}^e \Gamma_{cp}^a \xi^p_2 - \underline{\Gamma}_{eb}^e \Gamma_{cp}^a \xi^p \\
&\quad - \xi_{;e}^a T_{cb}^e - \xi_{;c}^e T_{be}^a + \xi_{;cb}^a - T_{cp,b}^a \xi^p - T_{bc,p}^a \xi^p \\
&= \Gamma_{cb,p}^a \xi^p - \Gamma_{cp,b}^a \xi^p + \Gamma_{ep}^e \Gamma_{cb}^a \xi^p - \Gamma_{eb}^e \Gamma_{cp}^a \xi^p \\
&\quad - \underline{T}_{pe}^a \Gamma_{bc}^e \xi^p_{;4:T} - \underline{\Gamma}_{ep}^a T_{bc}^e \xi^p_1 - \underline{\Gamma}_{pc}^e T_{eb}^a \xi^p_{;3:T} - \underline{\Gamma}_{eb}^a T_{cp}^e \xi^p_2 \\
&\quad - \xi_{;e}^a T_{cb}^e - \xi_{;c}^e T_{be}^a + \xi_{;cb}^a \\
&\quad - T_{cp;b}^a \xi^p + \underline{\Gamma}_{eb}^a T_{cp}^e \xi^p_2 - \underline{\Gamma}_{cb}^e T_{ep}^a \xi^p_4 - \underline{\Gamma}_{pb}^e T_{ce}^a \xi^p_{;5:T} \\
&\quad - T_{bc;p}^a \xi^p + \underline{\Gamma}_{ep}^a T_{bc}^e \xi^p_1 - \underline{\Gamma}_{bp}^e T_{ec}^a \xi^p_5 - \underline{\Gamma}_{cp}^e T_{be}^a \xi^p_3
\end{aligned}$$

From (7.4.15) and (5.4.10) it follows

$$\begin{aligned}
(7.4.16) \quad \mathcal{L}_\xi \Gamma_{bc}^a &= R_{cpb}^a \xi^p \\
&\quad - T_{cp}^e T_{eb}^a \xi^p - T_{pe}^a T_{cb}^e \xi^p - T_{bp}^e T_{ce}^a \xi^p \\
&\quad - \xi_{;e}^a T_{cb}^e - \xi_{;c}^e T_{be}^a + \xi_{;cb}^a - T_{cp;b}^a \xi^p - T_{bc;p}^a \xi^p \\
&= -R_{cbp}^a \xi^p \\
&\quad - (T_{eb}^a T_{cp}^e + T_{ep}^a T_{bc}^e + T_{ec}^a T_{pb}^e) \xi^p \\
&\quad - \xi_{;e}^a T_{cb}^e - \xi_{;c}^e T_{be}^a + \xi_{;cb}^a - T_{cp;b}^a \xi^p - T_{bc;p}^a \xi^p
\end{aligned}$$

From (7.4.16) and (7.5.1) it follows

$$\begin{aligned}
(7.4.17) \quad \mathcal{L}_\xi \Gamma_{bc}^a &= \underline{R}_{cpb}^a \xi^p_1 \\
&\quad - R_{bcp}^a \xi^p - R_{pbc}^a \xi^p - \underline{R}_{cpb}^a \xi^p_1 \\
&\quad + \underline{T}_{bc;p}^a \xi^p_3 + T_{pb;c}^a \xi^p + \underline{T}_{cp;b}^a \xi^p_2 \\
&\quad - \xi_{;e}^a T_{cb}^e - \xi_{;c}^e T_{be}^a + \xi_{;cb}^a - \underline{T}_{cp;b}^a \xi^p_2 - \underline{T}_{bc;p}^a \xi^p_3 \\
&= -R_{bcp}^a \xi^p - R_{pbc}^a \xi^p - T_{bp;c}^a \xi^p - \xi_{;e}^a T_{cb}^e - \xi_{;c}^e T_{be}^a + \xi_{;cb}^a
\end{aligned}$$

We substitute (5.4.11) into (7.4.17)

$$(7.4.18) \quad \mathcal{L}_\xi \Gamma_{bc}^a = -R_{bcp}^a \xi^p - T_{bp;c}^a \xi^p - \frac{T_{cb}^e \xi_e^a}{\xi_{;e_1}^a} - T_{be}^a \xi_{;c}^e - \frac{T_{bc}^p \xi_p^a}{\xi_{;p_1}^a} + \xi_{;bc}^a$$

(7.4.7) follows from (7.4.18). \square

COROLLARY 7.4.3. *Lie derivative of connection in Riemann space has form*

$$(7.4.19) \quad \mathcal{L}_\xi \Gamma_{bc}^a = -R_{cbp}^a \xi^p + \xi_{;cb}^a$$

PROOF. (7.4.19) follows from (7.4.7) when $T_{bc}^a = 0$ \square

7.5. Bianchi Identity

THEOREM 7.5.1. *The first Bianchi identity for the space with torsion has form*

$$(7.5.1) \quad \begin{aligned} & T_{ij;m}^k + T_{mi;j}^k + T_{jm;i}^k + T_{pi}^k T_{jm}^p + T_{pm}^k T_{ij}^p + T_{pj}^k T_{mi}^p \\ &= R_{jmi}^k + R_{ijm}^k + R_{mij}^k \end{aligned}$$

PROOF. Differential of equation (5.4.7) has form

$$(7.5.2) \quad T_{ij,m}^k \theta^m \wedge \theta^i \wedge \theta^j = (\Gamma_{ji,m}^k - \Gamma_{ij,m}^k) \theta^m \wedge \theta^i \wedge \theta^j$$

Two forms are equal when their coefficients are equal. Therefore, from (7.5.2), it follows that

$$T_{ij,m}^k + T_{mi,j}^k + T_{jm,i}^k = \Gamma_{ji,m}^k - \Gamma_{ij,m}^k + \Gamma_{im,j}^k - \Gamma_{mi,j}^k + \Gamma_{mj,i}^k - \Gamma_{jm,i}^k$$

We express derivatives using covariant derivatives and change order of terms

$$(7.5.3) \quad \begin{aligned} & T_{ij;m}^k - \frac{\Gamma_{pm}^k T_{ij}^p}{\xi_{;m_4}^p} + \frac{\Gamma_{im}^p T_{pj_2}^k}{\xi_{;2:T}^p} - \frac{\Gamma_{jm}^p T_{pi_3}^k}{\xi_{;3:T}^p} \\ & + T_{mi;j}^k - \frac{\Gamma_{pj}^k T_{mi_5}^p}{\xi_{;5}^p} + \frac{\Gamma_{mj}^p T_{pi_3}^k}{\xi_{;3}^p} - \frac{\Gamma_{ij}^p T_{pm_1}^k}{\xi_{;1:T}^p} \\ & + T_{jm;i}^k - \frac{\Gamma_{pi}^k T_{jm_6}^p}{\xi_{;6}^p} + \frac{\Gamma_{ji}^p T_{pm_1}^k}{\xi_{;1}^p} - \frac{\Gamma_{mi}^p T_{pj_2}^k}{\xi_{;2}^p} \\ & = \Gamma_{ji,m}^k - \Gamma_{jm,i}^k + \Gamma_{pm}^k \Gamma_{ji}^p - \Gamma_{pi}^k \Gamma_{jm}^p - \frac{\Gamma_{pm}^k \Gamma_{ji_4}^p}{\xi_{;4}^p} + \frac{\Gamma_{pi}^k \Gamma_{jm_6}^p}{\xi_{;6}^p} \\ & + \Gamma_{im,j}^k - \Gamma_{ij,m}^k + \Gamma_{pj}^k \Gamma_{im}^p - \Gamma_{pm}^k \Gamma_{ij}^p - \frac{\Gamma_{pj}^k \Gamma_{im_5}^p}{\xi_{;5}^p} + \frac{\Gamma_{pm}^k \Gamma_{ij_4}^p}{\xi_{;4}^p} \\ & + \Gamma_{mj,i}^k - \Gamma_{mi,j}^k + \Gamma_{pi}^k \Gamma_{mj}^p - \Gamma_{pj}^k \Gamma_{mi}^p - \frac{\Gamma_{pi}^k \Gamma_{mj_6}^p}{\xi_{;6}^p} + \frac{\Gamma_{pj}^k \Gamma_{mi_5}^p}{\xi_{;5}^p} \end{aligned}$$

The equation

$$(7.5.4) \quad \begin{aligned} & T_{ij;m}^k + T_{mi}^p T_{pj}^k + T_{jm}^p T_{pi}^k + T_{mi;j}^k + T_{ij}^p T_{pm}^k + T_{jm;i}^k \\ & = R_{jmi}^k + R_{ijm}^k + R_{mij}^k \end{aligned}$$

follows from the equation (7.5.3). (7.5.1) follows from (7.5.4). \square

If we get a derivative of form (5.4.9) we will see that the second Bianchi identity does not depend on the torsion.

7.6. Killing Vector

Invariance of the metric tensor g under the infinitesimal coordinate transformation (7.4.1) leads to the **Killing equation**.

THEOREM 7.6.1. *Killing equation in the metric-affine manifold has form*

$$(7.6.1) \quad \xi_{;a}^k g_{kb} + \xi_{;b}^k g_{ka} + T_{ka}^l g_{lb} \xi^k + T_{kb}^l g_{la} \xi^k + g_{ab;k} \xi^k = 0$$

PROOF. Invariance of the metric tensor g means that its Lie derivative equal 0

$$(7.6.2) \quad \mathcal{L}_\xi g_{ab} = 0$$

(7.6.1) follows from (7.6.2) and (7.4.5). \square

THEOREM 7.6.2. *The condition of invariance of the connection in the metric-affine manifold has form*

$$(7.6.3) \quad \xi_{;bc}^a = R_{bcp}^a \xi^p + T_{bp;c}^a \xi^p + T_{bpS;c}^a \xi^p$$

PROOF. Because connection is invariant under the infinitesimal transformation we have

$$(7.6.4) \quad \mathcal{L}_\xi \Gamma_{bc}^a = 0$$

(7.6.3) follows from (7.6.4) and (7.4.7). \square

We call equation (7.6.3) the **Killing equation of second type** and vector ξ^a **Killing vector of second type**.

THEOREM 7.6.3. *Killing vector of second type satisfies equation*

$$(7.6.5) \quad \begin{aligned} 0 = & R_{bcp}^a \xi^p + R_{cbp}^a \xi^p + R_{pbc}^a \xi^p \\ & + T_{bp;c}^a \xi^p + T_{pc;b}^a \xi^p + T_{cb}^p \xi_{;p}^a + T_{bp}^a \xi_{;c}^p + T_{pc}^a \xi_{;b}^p \end{aligned}$$

PROOF. From (7.6.3) and (5.4.11) it follows that

$$(7.6.6) \quad \begin{aligned} R_{pbc}^a \xi^p - T_{bc}^p \xi_{;p}^a = & R_{cbp}^a \xi^p + T_{cp;b}^a \xi^p + T_{cp}^a \xi_{;b}^p \\ & - R_{bcp}^a \xi^p - T_{bp;c}^a \xi^p - T_{bp}^a \xi_{;c}^p \end{aligned}$$

(7.6.5) follows from (7.6.6). \square

COROLLARY 7.6.4. *The Killing equation of second type in the Riemann space is the identity. The connection in the Riemann space is invariant under any infinitesimal transformation (7.4.1).*

PROOF. First of all the torsion is 0. The rest is the consequence of the first Bianchi identity. \square

Metric Affine Gravity

8.1. Newton's Laws: Scalar Potential

The knowledge of dynamics of a point particle is important for us because we can study how the particle interacts with external fields as well as the properties of the particle itself.

To study the movement of a point particle we can use a potential of a certain field. The potential may be scalar or vector.

In case of scalar potential we assume that a point particle has rest mass m and we use lagrangian function in the following form

$$L = -mc ds - U dx^0$$

where U is **scalar potential** or **potential energy**.

THEOREM 8.1.1. (First Newton law) *If $U = 0$ (therefore we consider free movement) a body chooses trajectory with extreme length.*

THEOREM 8.1.2. (Second Newton law) *A trajectory of point particle satisfies the differential equation*

$$(8.1.1) \quad \begin{aligned} \widehat{D} u^l &= \frac{u^0}{mc} F^l \\ u^j &= \frac{dx^j}{ds} \end{aligned}$$

where we introduced force

$$(8.1.2) \quad F^l = g^{il} \frac{\partial U}{\partial x^i}$$

PROOF.

Using (7.1.2), we can write variation of the lagrangian as

$$\frac{1}{2} mc (g_{kl;i} - g_{ik;l} - g_{il;k}) u^k u^j ds - mc g_{ij} D u^j + \frac{\partial U}{\partial x^i} dx^0 = 0$$

The statement of the theorem follows from this. □

8.2. Newton's Laws: Vector Potential

In section 8.1 we learned dynamics when potential is scalar. However in electrodynamics we have **vector potential** A^k . In this case action is

$$\begin{aligned} S &= \int_{t_1}^{t_2} \left(-mc ds - \frac{e}{c} A_l dx^l \right) \\ A_c &= g_{cd} A^d \end{aligned}$$

THEOREM 8.2.1. *The trajectory of a particle moving in the vector field satisfies the differential equation*

$$\begin{aligned}\widehat{D} u^j &= \frac{e}{mc^2} g^{ij} F_{li} u^l \\ u^j &= \frac{dx^j}{ds}\end{aligned}$$

where we introduce a **field-strength tensor**

$$F_{dc} = A_{d;c} - A_{c;d} + S_{dc}^p A_p = \widehat{\nabla}_c A_d - \widehat{\nabla}_d A_c + S_{dc}^p A_p$$

PROOF.

Using (7.1.2), we can write the variation of the action as

$$\begin{aligned}\delta S &= \\ &= \int_{t_1}^{t_2} \left(-mc \left(\frac{1}{2} (g_{kj;i} - g_{ij;k} - g_{ik;j}) u^k u^j ds - g_{ij} D u^j \right) \delta x^i - \frac{e}{c} (\delta A_l dx^l + A_l d\delta x^l) \right)\end{aligned}$$

We can estimate the second term like

$$\begin{aligned}-\frac{e}{c} (A_{l;k} dx^l \delta x^k + A_l d\delta x^l) &= \\ &= -\frac{e}{c} (A_{l;k} dx^l \delta x^k + \Gamma_{lk}^p A_p dx^l \delta x^k + A_l d\delta x^l) = \\ &= -\frac{e}{c} (A_{k;l} dx^l \delta x^k + (A_{l;k} - A_{k;l}) dx^l \delta x^k + S_{lk}^p A_p dx^l \delta x^k + \Gamma_{kl}^p A_p dx^l \delta x^k + A_l d\delta x^l) = \\ &= -\frac{e}{c} (DA_k \delta x^k + A_k D\delta x^k + (A_{l;k} - A_{k;l}) dx^l \delta x^k + S_{lk}^p A_p dx^l \delta x^k) = \\ &= -\frac{e}{c} \left(\underline{d(A_k \delta x^k)} + (A_{l;k} - A_{k;l} + S_{lk}^p A_p) dx^l \delta x^k \right)\end{aligned}$$

The integral of the underlined term is 0 because points, when $t = t_1$ and $t = t_2$, are fixed. Therefore

$$-mc \left(\frac{1}{2} (g_{kj;i} - g_{ij;k} - g_{ik;j}) u^k u^j ds - g_{ij} D u^j \right) - \frac{e}{c} F_{li} dx^l = 0$$

The statement of the theorem follows from this. \square

The dependence of field-strength tensor on derivative of metric follows from this theorem. It changes form of Einstein equation and momentum of gravitational field appears in case of vector field.

THEOREM 8.2.2. *A field-strength tensor does not change when vector potential changes like*

$$A'_j = A_j + \partial_j \Lambda$$

where Λ is an arbitrary function of x .

PROOF. Change in a field-strength tensor is

$$\begin{aligned}(\partial_d \Lambda)_{;c} - (\partial_c \Lambda)_{;d} + S_{dc}^p \partial_p \Lambda &= \\ \partial_{cd} \Lambda - \Gamma_{dc}^p \partial_p \Lambda - \partial_{dc} \Lambda + \Gamma_{cd}^p \partial_p \Lambda + S_{dc}^p \partial_p \Lambda &= 0\end{aligned}$$

This proves the theorem. \square

8.3. Tidal Equation

Assume that considered bodies perform not geodesic but arbitrary movement.

We assume that both observers start their travel from the same point ^{8.1} and their speed satisfy to differential equations

$$(8.3.1) \quad \frac{Dv_I^i}{ds_I} = a_I^i$$

where $I = 1, 2$ is the number of the observer and ds_I is infinitesimal arc on geodesic I . Observer I follows the geodesic of connection (7.3.1) when $a_I = 0$. We assume also that $ds_1 = ds_2 = ds$.

Deviation of trajectories (8.3.1) δx^k is vector connecting observers. The lines are infinitesimally close in the neighborhood of the start point

$$\begin{aligned} x_2^i(s_2) &= x_1^i(s_1) + \delta x^i(s_1) \\ v_2^i(s_2) &= v_1^i(s_1) + \delta v^i(s_1) \end{aligned}$$

Derivative of vector δx^i has form

$$\frac{d\delta x^i}{ds} = \frac{d(x_2^i - x_1^i)}{ds} = v_2^i - v_1^i = \delta v^i$$

Speed of deviation δx^i is covariant derivative

$$(8.3.2) \quad \begin{aligned} \frac{D\delta x^i}{ds} &= \frac{d\delta x^i}{ds} + \Gamma_{kl}^i \delta x^k v_1^l \\ &= \delta v^i + \Gamma_{kl}^i \delta x^k v_1^l \end{aligned}$$

From (8.3.2) it follows that

$$(8.3.3) \quad \delta v^i = \frac{D\delta x^i}{ds} - \Gamma_{kl}^i \delta x^k v_1^l$$

Finally we are ready to estimate second covariant derivative of vector δx^i

$$(8.3.4) \quad \begin{aligned} \frac{D^2\delta x^i}{ds^2} &= \frac{d\frac{D\delta x^i}{ds}}{ds} + \Gamma_{kl}^i \frac{D\delta x^k}{ds} v_1^l \\ &= \frac{d(\delta v^i + \Gamma_{kl}^i \delta x^k v_1^l)}{ds} + \Gamma_{kl}^i \frac{D\delta x^k}{ds} v_1^l \\ &= \frac{d\delta v^i}{ds} + \frac{d\Gamma_{kl}^i}{ds} \delta x^k v_1^l + \Gamma_{kl}^i \frac{d\delta x^k}{ds} v_1^l + \Gamma_{kl}^i \delta x^k \frac{dv_1^l}{ds} + \Gamma_{kl}^i \frac{D\delta x^k}{ds} v_1^l \\ \frac{D^2\delta x^i}{ds^2} &= \frac{d\delta v^i}{ds} + \Gamma_{kl,n}^i v_1^n \delta x^k v_1^l + \Gamma_{kl}^i \delta v^k v_1^l + \Gamma_{kl}^i \delta x^k \frac{dv_1^l}{ds} + \Gamma_{kl}^i \frac{D\delta x^k}{ds} v_1^l \end{aligned}$$

THEOREM 8.3.1. *Tidal acceleration of connection (7.3.1) has form*

$$(8.3.5) \quad \begin{aligned} \frac{D^2\delta x^i}{ds^2} &= T_{ln}^i \frac{D\delta x^n}{ds} v_1^l + (R_{klm}^i + T_{km;l}^i) \delta x^m v_1^k v_1^l \\ &\quad + a_2^i - a_1^i + \Gamma_{ml}^i \delta x^m a_1^l \end{aligned}$$

^{8.1}I follow [21], page 33

PROOF. The trajectory of observer 1 satisfies equation

$$(8.3.6) \quad \frac{Dv_1^i}{ds} = \frac{dv_1^i}{ds} + \Gamma_{kl}^i(x_1)v_1^k v_1^l = a_1^i$$

$$(8.3.7) \quad \frac{dv_1^i}{ds} = a_1^i - \Gamma_{kl}^i v_1^k v_1^l$$

The same time the trajectory of observer 2 satisfies equation

$$\begin{aligned} \frac{Dv_2^i}{ds} &= \frac{dv_2^i}{ds} + \Gamma_{kl}^i(x_2)v_2^k v_2^l \\ &= \frac{d(v_1^i + \delta v^i)}{ds} + \Gamma_{kl}^i(x_1 + \delta x)(v_1^k + \delta v^k)(v_1^l + \delta v^l) \\ &= \frac{dv_1^i}{ds} + \frac{d\delta v^i}{ds} + (\Gamma_{kl}^i + \Gamma_{kl,m}^i \delta x^m)(v_1^k v_1^l + \delta v^k v_1^l + v_1^k \delta v^l + \delta v^k \delta v^l) \\ &= a_2^i \end{aligned}$$

We can rewrite this equation up to order 1

$$\frac{dv_1^i}{ds} + \frac{d\delta v^i}{ds} + \Gamma_{kl}^i v_1^k v_1^l + \Gamma_{kl}^i (\delta v^k v_1^l + v_1^k \delta v^l) + \Gamma_{kl,m}^i \delta x^m v_1^k v_1^l = a_2^i$$

Using (8.3.6) we get

$$(8.3.8) \quad \begin{aligned} a_1^i + \frac{d\delta v^i}{ds} + \Gamma_{kl}^i \delta v^k v_1^l + \Gamma_{kl}^i v_1^k \delta v^l + \Gamma_{kl,m}^i \delta x^m v_1^k v_1^l &= a_2^i \\ \frac{d\delta v^i}{ds} &= -\Gamma_{kl}^i \delta v^k v_1^l - \Gamma_{lk}^i \delta v^k v_1^l - \Gamma_{kl,m}^i \delta x^m v_1^k v_1^l + a_2^i - a_1^i \end{aligned}$$

We substitute (8.3.3), (8.3.7), and (8.3.8) into (8.3.4)

$$\begin{aligned} \frac{D^2 \delta x^i}{ds^2} &= -\Gamma_{kl}^i \delta v^k v_1^l - \Gamma_{ln}^i \left(\frac{D\delta x^n}{ds} - \Gamma_{mk}^n \delta x^m v_1^k \right) v_1^l - \Gamma_{kl,m}^i \delta x^m v_1^k v_1^l \\ &\quad + a_2^i - a_1^i \\ &\quad + \Gamma_{mk,l}^i v_1^k \delta x^m v_1^l + \Gamma_{kl}^i \delta v^k v_1^l \\ &\quad + \Gamma_{mn}^i \delta x^m (a_1^n - \Gamma_{kl}^n v_1^k v_1^l) + \Gamma_{nl}^i \frac{D\delta x^n}{ds} v_1^l \\ \frac{D^2 \delta x^i}{ds^2} &= (\Gamma_{mk,l}^i - \Gamma_{kl,m}^i + \Gamma_{ln}^i \Gamma_{mk}^n - \Gamma_{mn}^i \Gamma_{kl}^n) \delta x^m v_1^k v_1^l \\ &\quad + \Gamma_{nl}^i \frac{D\delta x^n}{ds} v_1^l - \Gamma_{ln}^i \frac{D\delta x^n}{ds} v_1^l \\ &\quad + a_2^i - a_1^i + \Gamma_{mn}^i \delta x^m a_1^n \\ \frac{D^2 \delta x^i}{ds^2} &= (\Gamma_{mk,l}^i - \Gamma_{km,l}^i + \Gamma_{km,l}^i - \Gamma_{kl,m}^i \\ &\quad + \Gamma_{ln}^i \Gamma_{mk}^n - \Gamma_{nl}^i \Gamma_{mk}^n + \Gamma_{nl}^i \Gamma_{mk}^n - \Gamma_{nl}^i \Gamma_{km}^n + \Gamma_{nl}^i \Gamma_{km}^n \\ &\quad - \Gamma_{mn}^i \Gamma_{kl}^n + \Gamma_{nm}^i \Gamma_{kl}^n - \Gamma_{nm}^i \Gamma_{kl}^n) \delta x^m v_1^k v_1^l \\ &\quad + \Gamma_{ln}^i \frac{D\delta x^n}{ds} v_1^l + a_2^i - a_1^i + \Gamma_{mn}^i \delta x^m a_1^n \end{aligned}$$

$$\begin{aligned}
(8.3.9) \quad \frac{D^2 \delta x^i}{ds^2} &= T_{ln}^i \frac{D \delta x^n}{ds} v_1^l \\
&+ \left(\underline{T}_{km,l_2}^i + \underline{\Gamma}_{km,l_1}^i - \underline{\Gamma}_{kl,m_1}^i \right) \\
&+ \underline{T}_{nl}^i \underline{\Gamma}_{mk_2}^n + \underline{\Gamma}_{nl}^i \underline{T}_{km_2}^n + \underline{\Gamma}_{nl}^i \underline{\Gamma}_{km_1}^n \\
&- \underline{T}_{nm}^i \underline{\Gamma}_{kl_2}^n - \underline{\Gamma}_{nm}^i \underline{\Gamma}_{kl_1}^n \delta x^m v_1^k v_1^l \\
&+ a_2^i - a_1^i + \underline{\Gamma}_{ml}^i \delta x^m a_1^l
\end{aligned}$$

Terms underscored with symbol 1 are curvature and terms underscored with symbol 2 are covariant derivative of torsion. (8.3.5) follows from (8.3.9). \square

REMARK 8.3.2. *The body 2 may be remote from body 1. In this case we can use procedure (like in [23]) based on parallel transfer. For this purpose we transport vector of speed of observer 2 to the start point of observer 1 and then estimate tidal acceleration. This procedure works in case of not strong gravitational field.* \square

REMARK 8.3.3. *If in central field observer 1 has orbital speed V_ϕ , observer 2 moves in radial direction and both observers follow geodesic then tidal acceleration has form*

$$\begin{aligned}
\frac{D^2 \delta x^1}{ds^2} &= R_{lnk}^1 \delta x^k v^n v^l \\
&= (R_{001}^1 v^0 v^0 + R_{221}^1 v^2 v^2) \delta x^1 \\
&= \left(\frac{r_g}{r^3 c^2} \frac{1}{1 - \frac{V_\phi^2}{c^2}} - \left(-1 + \frac{r_g}{2r} - \frac{r - r_g}{r} \right) V_\phi^2 \right) \delta x^1
\end{aligned}$$

\square

REMARK 8.3.4. *If observer 2 follows geodesic in central field, but observer 1 fixed his position at distance r then*

$$a^1 = \Gamma_{kl}^1 v^k v^l = \frac{r_g}{2r^2 c^2}$$

Acceleration follows inverse square law as follows from (8.3.5). \square

REMARK 8.3.5. *Theorem 8.3.1 has one specific case. If observer 1 moves along an extreme line, we can use Cartan connection. In this case $a_1^i = 0$. If observer 2 moves along geodesic then*

$$(8.3.10) \quad a_2^i = -\Gamma(C)_{kl}^i v_2^k v_2^l = -\Gamma(C)_{kl}^i (v_1^k v_1^l + 2v_1^l \delta v^k)$$

If we substitute (8.3.3) into (8.3.10) we get

$$a_2^i = -\Gamma(C)_{kl}^i v_1^k v_1^l - 2\Gamma(C)_{kl}^i v_1^l \frac{D \delta x^k}{ds} + 2\Gamma(C)_{ml}^i \Gamma(C)_{kn}^m v_1^n v_1^l \delta x^k$$

In this case (8.3.5) gets form

$$\begin{aligned}
(8.3.11) \quad \widehat{\frac{D^2}{ds^2}} \delta x^i &= \left(\widehat{R}_{lnk}^i + \widehat{\nabla}_n T_{lk}^i \right) v_1^l v_1^n \delta x^k + T_{lk}^i \widehat{\frac{D}{ds}} \delta x^k v_1^l \\
&- \Gamma(C)_{kl}^i v_1^k v_1^l - 2\Gamma(C)_{kl}^i v_1^l \widehat{\frac{D}{ds}} \delta x^k + 2\Gamma(C)_{ml}^i \Gamma(C)_{kn}^m v_1^n v_1^l \delta x^k
\end{aligned}$$

In case of initial conditions

$$\begin{aligned}\delta x^k &= 0 \\ \frac{D\delta x^k}{ds} &= 0\end{aligned}$$

(8.3.11) is estimation of acceleration (8.1.1). \square

8.4. Tidal Acceleration and Lie Derivative

(8.3.5) reminds expression of Lie derivative (7.4.7). To see this similarity we need to write equation (8.3.5) different way.

By definition

$$\begin{aligned}\frac{Da^k}{ds} &= \frac{da^k}{ds} + \Gamma_{lp}^k a^l \frac{dx^p}{ds} \\ &= a_{;p}^k v^p + \Gamma_{lp}^k a^l v^p \\ (8.4.1) \quad \frac{Da^k}{ds} &= a_{;p}^k v^p\end{aligned}$$

Because $\frac{Da^k}{ds}$ is vector, we can easy find second derivative

$$\begin{aligned}(8.4.2) \quad \frac{D^2 a^k}{ds^2} &= \frac{D \frac{Da^k}{ds}}{ds} = \frac{D(a_{;p}^k v^p)}{ds} \\ &= a_{;pr}^k v^p v^r + a_{;p}^k v_{;r}^p v^r\end{aligned}$$

On the last step we used (8.4.1) when $a^k = v^k$. When v^p is tangent vector of trajectory of observer 1 from (8.3.1) it follows that

$$(8.4.3) \quad \frac{Dv^i}{ds} = v_{;r}^i v^r = a_1^i$$

From (8.4.2) and (8.4.3) it follows that

$$(8.4.4) \quad \frac{D^2 a^k}{ds^2} = a_{;pr}^k v^p v^r + a_{;p}^k a_1^p$$

THEOREM 8.4.1. Speed of deviation of two trajectories (8.3.1) satisfies equation

$$(8.4.5) \quad \mathcal{L} \frac{D\delta x^n}{ds} \Gamma_{kl}^i v^k v^l = a_2^i - a_1^i + \Gamma_{ml}^i \delta x^m a_1^l$$

PROOF. We substitute (8.4.1) and (8.4.4) into (8.3.5).

$$\begin{aligned}\delta x_{;kl}^i v^k v^l + \delta x_{;p}^k a_1^p &= T_{ln}^i \delta x_{;k}^n v^k v_1^l + (R_{klm}^i + T_{km;l}^i) \delta x^m v_1^k v_1^l \\ &\quad + a_2^i - a_1^i + \Gamma_{ml}^i \delta x^m a_1^l \\ (8.4.6) \quad 0 &= (T_{ln}^i \delta x_{;k}^n - \delta x_{;kl}^i + R_{klm}^i \delta x^m + T_{km;l}^i \delta x^m) v_1^k v_1^l \\ &\quad + a_2^i - a_1^i - \delta x_{;p}^k a_1^p\end{aligned}$$

(8.4.5) follows from (8.4.6) and (7.4.7). \square

At a first glance one can tell that the speed of deviation of geodesics is the Killing vector of second type. This is an option, however equation

$$\mathcal{L} \frac{D\delta x^n}{ds} \Gamma_{kl}^i = 0$$

does not follow from equation

$$(8.4.7) \quad \mathcal{L}_{D\delta x^n} \Gamma_{kl}^i v^k v^l = 0$$

However equation (8.4.7) shows a close relationship between deep symmetry of spacetime and gravitational field.

References

- [1] Albert Einstein, On the Electrodynamics of Moving Bodies, 1905, The Principle of Relativity: A Collection of Original Memoirs on the Special and General Theory of Relativity , 37 - 65, Courier Dover Publications, 1952; ISBN-13: 978-0486600819
Zur Elektrodynamik der bewegter Körper. Ann. Phys., 1905, 17, 891-921.
- [2] Albert Einstein, Die Grundlage der allgemeinen Relativitätstheorie, Ann. Phys., 1916, **49**, 769 - 822,
Einstein's Annalen Papers: The Complete Collection 1901-1922, edited by Jürgen Renn, 517 - 571, Wiley-VCH Verlag GmbH & Co. KGaA, 2005
- [3] Albert Einstein, Geometry and Experience, (1921)
Albert Einstein, Sidelights on Relativity, 25 - 56, Courier Dover Publications, 1983
- [4] Albert Einstein, Grundgedanken und Probleme der Relativitätstheorie, (1923),
Nobelstiftelsen, Les Prix Nobel en 1921 - 1922, Imprimerie Royale, Stockholm, 1923
- [5] Albert Einstein, Nichtenklidische Geometrie in der Physik Neue Rundschau, (1925) Berlin, S. 16 - 20
- [6] Albert Einstein, Isaak Newton, 1927, Out of My Later Years, Citadel Press, 1995, 219 - 223
- [7] Albert Einstein, On Science, Cosmic Religion, with Other Opinions and Aphorisms, 142 - 146, New York, 1931, 97 - 103
- [8] Albert Einstein, Autobiographical Notes, 1949,
Paul A. Schilpp, editor, Albert Einstein: Philosopher-Scientist, Evanston, Illinois, The Library of Living Philosophers, 1949, 1 - 95
- [9] Cite 104, Source unknown
- [10] Ghez et al., The First Measurement of Spectral Lines in a Short-Period Star Bound to the Galaxy's Central Black Hole: A Paradox of Youth, *ApJL*, **586**, L127 (2003), eprint [arXiv:astro-ph/0302299](https://arxiv.org/abs/astro-ph/0302299) (2003)
- [11] R. Schödel et al., A star in a 15.2-year orbit around the supermassive black hole at the centre of the Milky Way, *Nature* **419**, 694 (2002)
- [12] Eckehard W. Mielke, Affine generalization of the Komar complex of general relativity, *Phys. Rev. D* **63**, 044018 (2001)
- [13] Yu. N. Obukhov and J. G. Pereira, Metric-affine approach to teleparallel gravity, *Phys. Rev. D* **67**, 044016 (2003), eprint [arXiv:gr-qc/0212080](https://arxiv.org/abs/gr-qc/0212080) (2002)
- [14] Giovanni Giachetta, Gennadi Sardanashevily, Dirac Equation in Gauge and Affine-Metric Gravitation Theories, eprint [arXiv:gr-qc/9511035](https://arxiv.org/abs/gr-qc/9511035) (1995)

- [15] Frank Gronwald and Friedrich W. Hehl, On the Gauge Aspects of Gravity, eprint [arXiv:gr-qc/9602013](#) (1996)
- [16] Yuval Neeman, Friedrich W. Hehl, Test Matter in a Spacetime with Non-metricity, eprint [arXiv:gr-qc/9604047](#) (1996)
- [17] F. W. Hehl, P. von der Heyde, G. D. Kerlick, and J. M. Nester, General relativity with spin and torsion: Foundations and prospects, *Rev. Mod. Phys.* **48**, 393 (1976)
- [18] O. Megged, Post-Riemannian Merger of Yang-Mills Interactions with Gravity, eprint [arXiv:hep-th/0008135](#) (2001)
- [19] Yu.N. Obukhov, E.J. Vlachynsky, W. Esser, R. Tresguerres and F.W. Hehl, An exact solution of the metric-affine gauge theory with dilation, shear, and spin charges, eprint [arXiv:gr-qc/9604027](#) (1996)
- [20] L. D. Landau, E. M. Lifshich, The classical theory of fields. Translated from the Russian by Morton Hamermesh. Pergamon Press, 1971
- [21] Ignazio Ciufolini, John Wheeler. Gravitation and Inertia. Princeton university press.
- [22] Charles W. Misner, Kip S. Thorne, John Archibald Wheeler. Gravitation. W. H. Freeman and Company, San Francisco, 1973.
- [23] J. D. Anderson, P. A. Laing, E. L. Lau, A. S. Liu, M. M. Nieto, and S. G. Turyshev, Study of the anomalous acceleration of Pioneer 10 and 11, *Phys. Rev. D* **65**, 082004, 50 pp., (2002), eprint [arXiv:gr-qc/0104064](#) (2001)
- [24] Serge Lang, Algebra, Springer, 2002
- [25] G. E. Shilov, Calculus, Multivariable Functions, Moscow, Nauka, 1972
- [26] P. K. Rashevsky, Riemann Geometry and Tensor Calculus, Moscow, Nauka, 1967
- [27] Granino A. Korn, Theresa M. Korn, Mathematical Handbook for Scientists and Engineer, McGraw-Hill Book Company, New York, San Francisco, Toronto, London, Sydney, 1968
- [28] Angelo Tartaglia and Matteo Luca Ruggiero, Angular Momentum Effects in Michelson-Morley Type Experiments, *Gen.Rel.Grav.* **34**, 1371-1382 (2002), eprint [arXiv:gr-qc/0110015](#) (2001)
- [29] Yukio Tomozawa, Speed of Light in Gravitational Fields, eprint [arXiv:astro-ph/0303047](#) (2004)
- [30] Joao Magueijo, Covariant and locally Lorentz-invariant varying speed of light theories, *Phys. Rev. D* **62**, 103521 (2000), eprint [arXiv:gr-qc/0007036](#) (2000)
- [31] Bruce A. Bassett, Stefano Liberati, Carmen Molina-Paris, and Matt Visser, Geometrodynamics of variable-speed-of-light cosmologies, *Phys. Rev. D* **62**, 103518 (2000), eprint [arXiv:astro-ph/0001441](#) (2000)
- [32] Lochlainn O’Raifeartaigh and Norbert Straumann, Gauge theory: Historical origins and some modern developments, *Rev. Mod. Phys.* **72**, 1 (2000)
- [33] Claus Lämmerzahl, Mark P. Haugan, On the interpretation of Michelson-Morley experiments, *Phys. Lett. A* **282** 223-229 (2001), eprint [arXiv:gr-qc/0103052](#) (2001)

- [34] Holger Mueller, Sven Herrmann, Claus Braxmaier, Stephan Schiller, Achim Peters. Modern Michelson-Morley Experiment using Cryogenic Optical Resonators. eprint [arXiv:physics/0305117](https://arxiv.org/abs/physics/0305117) (2003)
Phys. Rev. Lett. 91:020401, 2003
- [35] Antonio F. Ranada, Pioneer acceleration and variation of light speed: experimental situation, eprint [arXiv:gr-qc/0402120](https://arxiv.org/abs/gr-qc/0402120) (2004)
- [36] Aleks Kleyn, Diagram of Representations of Universal Algebras, eprint [arXiv:1908.04418](https://arxiv.org/abs/1908.04418) (2019)

Index

- active representation 35
- active transformation on basis manifold 35
- affine basis 36
- affine transformation 36
- affine transformation group 36
- affine transformation group 36
- affine transformation on basis manifold 36
- anholonomic coordinate 44
- anholonomic coordinates of connection 43
- anholonomic coordinates of vector 41, 42
- anholonomic coordinates on manifold 45
- anholonomy object 44
- associative law 27
- auto parallel line 66

- basis for vector space 30
- basis manifold of affine space 36
- basis manifold of central affine space 36
- basis manifold of Euclid space 37
- basis manifold of vector space 35

- Cartan connection 69
- Cartan curvature 71
- Cartan derivative 69
- Cartan symbol 69
- Cartan transport 69
- central affine basis 36
- contravariant representation 37
- coordinate isomorphism 37
- coordinate matrix of vector 30
- coordinate reference frame 40
- coordinate vector space 37
- coordinates 30
- coordinates of geometric object 38
- coordinates of representation 34

- deviation of trajectories 78
- direct product of representations of group 23
- distributive law 27

- effective representation of group 24
- extreme line 66

- field-strength tensor 77
- first Newton law 76
- Frenet transport 68

- G -reference frame 40
- G -basis of vector space 35
- G -coordinates of basis 35
- G -space 35
- generating set 29, 29
- geometric object in vector space 38
- geometric object of type A in vector space 38

- holonomic coordinates of connection 43
- holonomic coordinates of vector 41, 42
- homogeneous space 24

- invariance principle 38
- invariance principle in D_*^* -vector space 38

- kernel of inefficiency of representation of group 24
- Killing equation 74
- Killing equation of second type 75
- Killing vector of second type 75

- left shift on group 22
- left-side representation 21
- left-side transformation 21
- Lie derivative 71
- Lie derivative of connection 72
- Lie derivative of metric 72
- linear combination 29
- linearly dependent 29
- linearly dependent set 29
- linearly independent set 29
- local reference frame 42
- Lorentz transformation 42

- matrix of linear map 32
- metric-affine manifold 48
- movement on basis manifold 37

- nonmetricity 47
- nonsingular transformation 21

- orbit of representation of group 22, 23
- orthonormal basis 37

- parallelogram 50
- passive representation 36

passive transformation on basis manifold
36

potential energy 76

product of geometric object and constant
in vector space 39

quasi affine transformation on basis
manifold 36

quasi movement on basis manifold 37

reference frame in event space 41

representation of group 22

representative of geometric object in vector
space 38

right shift on group 22

right-side representation 22

right-side transformation 21

scalar potential 76

second Newton law 76

single transitive representation of group 24

speed of deviation 78

standard coordinates of basis 35

standard coordinates of basis 35

sum of geometric objects in vector space 39

symmetry group 33

synchronization of reference frame 53

torsion form 47

torsion tensor 47

transitive representation of group 24

unitarity law 27

vector potential 76

vector space 27

Special Symbols and Notations

- \mathcal{A}_n affine space 36
 $v_i w^i$ linear combination 29
 $v_*^* w$ linear combination 29
 $a_{\langle l \rangle}^i$ derivative 70
 $a^{(i)}$ anholonomic coordinates of vector 41, 42
 a^i holonomic coordinates of vector 41, 42
 $\mathcal{B}(V)$ basis manifold of vector space 35
 $\mathcal{B}(\mathcal{A}_n)$ basis manifold of affine space 36
 $\mathcal{B}(\mathcal{CA}_n)$ basis manifold of central affine space 36
 $\mathcal{B}(\mathcal{E}_n)$ basis manifold of Euclid space 37
 \mathcal{CA}_n central affine space 36
 (∂_i, dx^i) coordinate reference frame 40
 $\widehat{D} a^i$ Cartan derivative 69
 $\overline{D} a^i$ derivative 70
 $\partial_{(k)}$ derivative $e_{(k)}$ 44
 $\frac{D\delta x^i}{ds}$ speed of deviation 78
 $\overline{e} = \langle O, \overline{e}_i \rangle$ affine basis 36
 $\overline{e} = (e_i, i \in I)$ basis for module 29
 \overline{e}_V basis in vector space \overline{V} 30
 $\overline{e} = \langle \overline{e}_i \rangle$ central affine basis 36
 $e^{(k)}$ form of reference frame 40
 \mathcal{E}_n Euclid space 36
 $\overline{e} = \langle \overline{e}_i \rangle$ orthonormal basis 37
 \mathcal{E}_{nm} pseudo Euclid space 36
 e_k^i standard coordinates of basis 35
 $e_{(i)}$ vector field of reference frame 40
 \overline{e}_k vector of basis 35
 $f(G)v$ orbit of representation of the group 22
 $vf(G)$ orbit of representation of the group 23
 $\overline{e} = \langle e_{(i)}, i = 1, \dots, n \rangle$ reference frame 40
 $\overline{e} = (e_{(k)}, e^{(k)})$ reference frame, extensive definition 40
 $GL(\mathcal{A}_n)$ affine transformation group 36
 $GL(\mathcal{A}_n)$ affine transformation group 36
 $G(V)$ group of homomorphisms of vector space \overline{V} 33
 $L(a)b$ left shift 22
 $\mathcal{L}_\xi \Gamma_{bc}^a$ Lie derivative of connection 72
 $\mathcal{L}_\xi g_{ab}$ Lie derivative of metric 72
 $v_i w^i$ linear combination 29
 $v_*^* w$ linear combination 29
 $\overline{e}g$ passive transformation 36
 $l(M)$ set of left-side nonsingular transformations of universal algebra M 21
 $\mathcal{O}(V, W, \overline{e}_V, \overline{w})$ geometric object in coordinate representation 38
 $\overline{g}e$ active transformation 34
 \widehat{R}_{bde}^a Cartan curvature 71
 \overline{R}_{bij}^a curvature 70
 $R(a)b$ right shift 22
 $r(M)$ set of right-side nonsingular transformations of universal algebra M 21
 \tilde{V} coordinate vector space 37
 (v^i) coordinates in vector space 37
 V vector space 27
 $\mathcal{O}(V, W, \overline{w})$ geometric object in vector space 38
 $x^{(k)}$ anholonomic coordinate 44
 δx^k deviation of trajectories 78
 δ identical transformation 21
 $\overline{\delta}_k = (\delta_k^i)$ image of vector $\overline{e}_k \in \overline{e}$ under isomorphism to coordinate vector space 37
 $\Gamma_{(i)(j)}^{(k)}$ anholonomic coordinates of connection 43
 $\Gamma(C)_{kl}^i$ Cartan symbol 69
 $\overline{\Gamma}_{kl}^i$ connection 70
 Γ_{ij}^k holonomic coordinates of connection 43
 $\widehat{\Gamma}_{kl}^i$ Cartan connection 69

$c_{kl}^{(i)}$ anholonomy object 44

$\widehat{\nabla}_l a^i$ Cartan derivative 69

$\overline{\nabla}_l a^i$ derivative 70

Преобразование Лоренца и принцип общековариантности

Александр Клейн

Aleks_Kleyn@MailAPS.org
<http://AleksKleyn.dyndns-home.com:4080/>
<http://sites.google.com/site/AleksKleyn/>
http://arxiv.org/a/kleyn_a_1
<http://AleksKleyn.blogspot.com/>

Key words and phrases. Дифференциальная геометрия, общая теория относительности, квантовые поля, метрико-аффинное многообразие

Аннотация. Я рассказываю о различных математических инструментах, которые важны в общей теории относительности. Текст книги включает определение геометрического объекта, концепцию системы отсчёта, геометрию метрико-аффинного многообразия. Опираясь на эти понятия я изучаю несколько физических приложений: динамика и преобразование Лоренца в гравитационном поле, эффект Доплера.

Система отсчёта в пространстве событий - это непрерывное поле ортонормированных базисов. Каждая система отсчёта снабжена неголономными координатами. Использование неголономных координат позволяет найти относительную скорость двух наблюдателей и соответствующее преобразование Лоренца.

Синхронизация системы отсчёта - это неголономная координата времени. Простые расчёты показывают, как синхронизация влияет на измерение времени в окрестности Земли. Измерение эффекта Доплера от звезды, вращающейся вокруг чёрной дыры помогает определить массу чёрной дыры. Согласно наблюдениям Sgr A, если неподвижный наблюдатель оценивает возраст S2 порядка 10 Мут, то эта звезда моложе на 0.297 Мут.

Мы будем называть многообразие с кручением и неметричностью метрико-аффинным многообразием. Неметричность приводит к различию между автопараллельными и экстремальными кривыми и к изменению в выражении переноса Френе и подвижного базиса. Кручение приводит к изменению в уравнении Киллинга. Нам нужно также добавить аналогичное уравнение для связности.

Анализ переноса Френе ведёт к концепции переноса Картана и введению связности, совместимой с метрическим тензором. Динамика частицы приводит к переносу Картана. Необходимы дополнительные физические условия, чтобы сделать неметричность наблюдаемой.

Изучение, как кручение влияет на приливную силу обнаруживает сходство между приливным уравнением для геодезической и уравнением Киллинга второго типа. Связь между приливным ускорением, кривизной и кручением даёт возможность измерить кручение.

Оглавление

Глава 1. Введение	5
1.1. Об этой книге	5
1.2. Геометрический объект и принцип инвариантности	5
1.3. Тензор кручения в общей теории относительности	7
1.4. Приливное ускорение	9
Глава 2. Пространство и время в физике	11
2.1. Геометрия и физика	11
2.2. Пространство-время	14
2.3. Принцип ковариантности	17
2.4. Пространство-время и квантовая механика	21
Глава 3. Представление группы	24
3.1. Представление группы	24
3.2. Однотранзитивное представление	27
Глава 4. Многообразие базисов	30
4.1. Базис в векторном пространстве	30
4.2. Линейное преобразование векторного пространства	35
4.3. Базис в аффинном пространстве	39
4.4. Базис в евклидовом пространстве	40
4.5. Геометрический объект	41
Глава 5. Система отсчёта в пространстве событий	44
5.1. Система отсчёта на многообразии	44
5.2. Система отсчёта в пространстве событий	46
5.3. Неголономные координаты	46
5.4. Метрико-аффинное многообразие	51
5.5. Геометрический смысл кручения	52
Глава 6. Приложения в общей теории относительности	57
6.1. Синхронизация системы отсчёта	57
6.2. Неголономные координаты в гравитационном поле центрального тела	57
6.3. Эффект Доплера в гравитационном поле центрального тела	60
6.4. Преобразование Лоренца в орбитальном направлении	61
6.5. Преобразование Лоренца в радиальном направлении	64
6.6. Эффект Доплера в пространстве Фридмана	67
6.7. Преобразование Лоренца в пространстве Фридмана	68
Глава 7. Геометрия метрико-аффинного многообразия	70

7.1. Кривая экстремальной длины	70
7.2. Перенос Френе	72
7.3. Связность Картана	73
7.4. Производная Ли	75
7.5. Тождество Бианки	78
7.6. Вектор Киллинга	79
Глава 8. Метрико-аффинная гравитация	80
8.1. Закон Ньютона: скалярный потенциал	80
8.2. Закон Ньютона: векторный потенциал	80
8.3. Приливное уравнение	82
8.4. Приливное ускорение и производная Ли	85
Список литературы	87
Предметный указатель	89
Специальные символы и обозначения	91

Введение

1.1. Об этой книге

С тех пор, как Эйнштейн создал общую теорию относительности, тесная связь между геометрией и физикой стала реальностью ([3]). В то же время квантовая механика вводит новые концепции, которые противоречат традиции, установленной на протяжении столетий. Это означает, что нам нужны новые геометрические концепции, которые станут частью языка квантовой механики.

Когда я познакомился с общей теорией относительности и квантовой механикой, я почувствовал, что язык квантовой механики не адекватен явлениям, которые она наблюдает. Я имею в виду геометрию. Эта книга начинается с изучения геометрического объекта, переходит к системе отсчёта в физике, затем внезапно меняет направление к изучению метрико-аффинного многообразия.

Я посвятил главу 2 небольшому сочинению, написанному мной, когда я был молод.^{1.1} В этом сочинении я пытался проанализировать природу определений пространства и времени.

1.2. Геометрический объект и принцип инвариантности

Разделы 4.1 и 4.5 были написаны под большим влиянием книги [26]. Изучение однородного пространства группы симметрии векторного пространства ведёт нас к определению базиса этого пространства. Многообразие базисов - это множество базисов изучаемого векторного пространства и является примером однородного пространства. Как показано в [26], это даёт возможность определить концепцию инвариантности и геометрического объекта.

Мы определяем два типа преобразований многообразия базисов: активные и пассивные преобразования. Различие между ними состоит в том, что пассивное преобразование может быть выражено как преобразование исходного пространства.

Это определение может быть распространено на произвольное многообразие. Однако в этом случае мы обобщаем определение базиса и вводим систему отсчёта. В случае пространства событий общей теорией относительности это приводит нас к естественному определению системы отсчёта и преобразованию Лоренца. Система отсчёта в пространстве событий - это непрерывное поле ортонормированных базисов.

Принцип инвариантности, рассмотренный в теореме 4.5.4 ограничен векторными пространствами и применим только в рамках специальной теории относительности. Наша задача описать конструкции, которые позволяют распространить принцип инвариантности на общую теорию относительности.

^{1.1} К сожалению, некоторые ссылки потеряны. Я буду признателен, если кто-то узнает знакомый текст и даст мне знать точную ссылку.

Измерение пространственного интервала и временных отрезков является одной из важных задач общей теории относительности. Это физический процесс, который позволяет изучать геометрию в определённой области пространства-времени. С точки зрения геометрии, наблюдатель пользуется ортогональным базисом в касательной плоскости как своим измерительным инструментом, так как ортогональный базис приводит к простейшей локальной геометрии. Двигаясь от точки к точке, наблюдатель переносит с собой свой измерительный прибор.

Понятие геометрического объекта тесно связано с физическими величинами, измеряемыми в пространстве-времени. Принцип инвариантности позволяет выразить физические законы независимо от выбора базиса. С другой стороны, если мы хотим проверить полученное соотношение в опыте, мы должны зафиксировать измерительный прибор. В нашем случае - это базис. Выбрав базис, мы можем определить координаты геометрического объекта, соответствующего изучаемой физической величине. Следовательно мы можем определить измеряемое значение.

Каждая система отсчёта снабжена неголономными координатами. Например, синхронизация системы отсчёта - это неголономная координата времени. Простые расчёты показывают как синхронизация влияет на измерение времени в окрестности Земли. Измерение эффекта Доплера от звезды, вращающейся вокруг чёрной дыры, помогает определить массу чёрной дыры.

Раздел 6.4 показывает важность расчётов в ортогональном базисе. Координаты, которыми мы пользуемся в пространстве событий, - это просто метки и расчёты, которые мы выполняем в координатах могут оказаться не надёжными. Например, в статьях [28, 29] авторы определяют координатную скорость света. Это ведёт к неверному ответу и в результате этого к различию скорости света в разных направлениях.

Моё внимание привлекла статья [35]. Чтобы объяснить аномальное ускорение Pioneer 10 и Pioneer 11 ([23]), Антонио Ранада привлекает старую точку зрения Эйнштейна о природе гравитационного поля и используют идею Эйнштейна о переменной скорости света. Когда Эйнштейн начал изучать гравитационное поле, он старался сохранить геометрию Минковского и, следовательно, предполагал, что масштаб пространства и времени не меняются. В результате он был вынужден принять гипотезу, что скорость света может меняться в гравитационном поле. Когда Гроссман познакомил Эйнштейна с римановой геометрией, Эйнштейн понял, что начальная гипотеза была ошибочна и риманова геометрия лучше решит его задачу. Эйнштейн никогда не возвращался к идее о переменной скорости света.

Действительно, три значения: масштаб пространства и времени и скорость света являются связанными в современной теории и мы не можем изменить одну величину без изменения другой. Присутствие гравитационного поля меняет это соотношение. Мы имеем два выбора. Мы сохраняем исходно заданную геометрию (здесь, геометрию Минковского) и мы согласны, что скорость света меняется от точки к точке. Риманова геометрия предлагает нам другой выбор. Геометрия становится результатом измерения и измерительный инструмент может меняться от точки к точке. В этом случае мы можем сохранить скорость света постоянной. Геометрия становится фоном, который зависит от физических процессов. Физические законы становятся независимыми от фона.

Некоторые статьи посвящены теории переменной скорости света [30, 31]. Их теория основана на идее, что метрический тензор может быть инвариантен относительно преобразования подобия. Эта идея не нова. Как только Эйнштейн опубликовал общую теорию относительности, Вейль предложил свою идею сделать теорию инвариантной относительно конформного преобразования. Тем не менее, Эйнштейн возражал этой идее, так как она разрушала зависимость между расстоянием и собственным временем. Мы можем найти детальный анализ в [32].

Мы имеем тесную связь между скоростью света и единицами длины и времени в специальной и общей теории относительности. Когда мы развиваем новую теорию и обнаруживаем, что скорость света меняется, мы должны спросить себя о причине. Сделали ли мы аккуратное измерение? Имеем ли мы альтернативный путь для обмена информацией и синхронизации системы отсчёта? Меняются ли преобразования между системами отсчёта и образуют ли они группу?

В некоторых моделях фотон может иметь небольшую массу покоя [33]. В этом случае скорость света отлична от максимальной скорости и может зависеть от направления. Недавний эксперимент [34] наложил ограничения на параметры этих моделей.

1.3. Тензор кручения в общей теории относительности

Тесная связь между метрическим тензором и связностью является основой римановой геометрии. В то же время, связность и метрика, как любой геометрический объект, являются объектом измерения. Когда Гильберт выводил уравнение Эйнштейна, он определил лагранжиан, в котором метрический тензор и связность независимы. Позже Гильберт обнаружил, что связность симметрична, и нашёл зависимость между связностью и метрическим тензором. Одна из причин этого - простота лагранжиана.

Анализ квантовой теории поля показывает, что либо симметрия связности, либо зависимость связности и метрики могут быть нарушены, поскольку неизбежны ошибки измерения. Это допущение приводит к метрико-аффинному многообразию, которое является пространством с кручением и ненулевой ковариантной производной метрического тензора (раздел 5.4). Независимость метрического тензора и связности позволяет нам видеть, какие объекты ответственны за различные явления в геометрии и, следовательно, в физике. Даже несмотря на то, что мы не доказали эмпирически существование кручения и неметричности, мы видим здесь очень интересную геометрию.

Метрико-аффинное многообразие появляется в разных физических приложениях. Очень важно понять какова геометрия этого пространства, как кручение может влиять на физические процессы. Именно поэтому небольшая группа физиков продолжает изучать теорию гравитации с кручением [12, 13, 14, 15, 16].

В частности, мы имеем два различных определения геодезической в римановом многообразии. Мы можем рассматривать геодезическую либо как кривую экстремальной длины (соответствующую кривую мы называем экстремальной), либо как кривую, вдоль которой касательный вектор переносится параллельно, оставаясь касательным к кривой (соответствующую кривую мы

называем автопараллельной). Неметричность приводит к тому, что параллельный перенос не сохраняет длину вектора и угол между векторами. Это приводит к различию между определениями автопараллельной и экстремальной кривых ([17] и раздел 7.1) и к изменению в выражении переноса Френе. Изменение геометрии влияет на второй закон Ньютона, который мы изучаем в разделе 8.1. Я показываю в теоремах 7.3.1 и 8.1.1, что свободно падающая частица предпочитает экстремальную кривую, перенося свой импульс вдоль траектории без изменения.

Форма второго закона Ньютона зависит от выбора формы потенциала. В случае скалярного потенциала второй закон Ньютона сохраняет соотношение между силой, массой и ускорением. В случае векторного потенциала анализ движения в гравитационном поле показывает, что тензор напряжённости поля зависит от производной метрического тензора.

Неметричность значительно изменяет закон движения в пространстве времени ортогонального базиса. Однако изучение параллельного переноса в пространстве с неметричностью позволяет нам ввести перенос Картана и связность, совместимую с метрическим тензором (раздел 7.3). Перенос Картана сохраняет базис ортонормированным и это делает его важным инструментом в динамике (раздел 8.1), так как наблюдатель использует ортонормированный базис как инструмент измерения. Динамика частицы основана на переносе Картана. Тогда появляется вопрос.

Мы можем изменить связность как мы показали в разделе 7.3. Почему мы должны изучать многообразия с произвольной связностью и метрическим тензором? Изучение метрико-аффинного многообразия показывает, почему всё работает хорошо в римановом многообразии и что меняется в общем случае. К какого рода различные физические явления являются следствием различных связностей? Физические ограничения, которые появляются в модели, могут вести к появлению неметричности [15, 18, 19]. Так как перенос Картана - естественный механизм сохранения ортогональности, мы ожидаем, что мы будем интерпретировать отклонение пробной частицы от экстремальной кривой как результат силы, внешней по отношению к этой частице^{1.2}. В этом случае различие между двумя типами переноса становится измеримым и осмысленным. В противном случае другой тип переноса и неметричность не наблюдаемы и мы можем пользоваться только переносом, совместимым с метрикой.

Я вижу ещё одну возможность. Как следует из статьи [18], кручение может зависеть от квантовых свойств материи. Тем не менее, кручение является частью связности. Следовательно, связность может также зависеть от квантовых свойств материи. Это может привести к нарушению переноса Картана. Однако эта возможность требует дополнительного исследования.

^{1.2}Например, если мы распространим определение (8.1.2) силы на общий случай (8.1.1), мы можем интерпретировать отклонение заряженной частицы в электромагнитном поле как результат силы

$$F^j = \frac{e}{cu_0} g^{ij} F_{li} u^l$$

Аналогично, мы можем интерпретировать отклонение автопараллельной кривой как силу

$$F^i = -\frac{mc}{u_0} \Gamma(C)_{kl}^i u^k u^l$$

Я напоминаю, что символ Картана - тензор

Кручение и неметричность имеют интегральные эффекты. Они могут быть малыми, но измеримыми. Мы можем наблюдать эти эффекты не только в сильных полях, подобных чёрной дыре или большому взрыву, но также в обычных условиях. Изучение геометрии и динамики точечной частицы даёт нам возможность проверить эту точку зрения. Есть смысл проверить эту теорию в условиях, когда спин квантового поля накоплен. Мы можем проверить отклонение от второго закона Ньютона либо измерить кручение, наблюдая движение двух различных частиц.

Чтобы проверить, имеет ли пространство-время кручение, мы можем проверить возможность построить параллелограмм в пространстве-времени. Мы можем взять две частицы или два фотона, которые начинают своё движение из одной и той же точки и, пользуясь зеркалом, заставить их двигаться вдоль противоположных сторон параллелограмма. Мы можем начать этот эксперимент, когда квантового поля нет, и затем повторить эксперимент в присутствии квантового поля. Если частицы встретятся в одном и том же месте или мы имеем одинаковую интерференцию, то мы имеем кручение равное 0 в этой среде. В частности, кручение может действовать на поведение виртуальных частиц.

Чтобы проверить, имеет ли пространство-время неметричность, мы можем измерить отклонение экстремальной кривой от автопараллельной либо отклонение единичного вектора скорости от его параллельного переноса.

1.4. Приливное ускорение

Наблюдения в Солнечной системе и вне очень важны. Они дают нам возможность видеть, где общая теория относительности права и найти её ограничения. Очень важно быть осторожным с такими наблюдениями. NASA выполнило очень интересные наблюдения Pioneer 10 и Pioneer 11 и выполнило сложные расчёты их ускорения. Однако, возникает один интересный вопрос: какого типа ускорения мы меряли?

Pioneer 10 и Pioneer 11 совершают свободное движение в солнечной системе. Следовательно, они движутся вдоль своей траектории без ускорения. Однако, хорошо известно, что два тела, двигаясь вдоль близких геодезических, имеют относительное ускорение, которое называется приливным ускорением. Приливное ускорение в общей теории относительности имеет вид

$$(1.4.1) \quad \frac{D^2 \delta x^k}{ds^2} = R_{lnk}^k \delta x^k v^n v^l$$

где v^l - скорость тела 1 и δx^k - отклонение геодезической тела 2 от геодезической тела 1. Мы видим из этого выражения, что приливное ускорение зависит от движения тела 1 и как траектория тела 2 отклоняется от траектории тела 1. Но это значит, что даже для двух тел, которые находятся на одном и том же расстоянии от центрального тела, мы можем измерить разное ускорение относительно наблюдателя.

Раздел 8.3 посвящён решению задачи, какие изменения испытывает приливная сила на метрико-аффинном многообразии.

Возникает вопрос: можем ли мы использовать уравнение (8.3.5), чтобы измерить кручение? Мы получим приливное ускорение из прямых измерений. Существует метод измерять кривизну (см. например [21]). Однако, даже если мы знаем ускорение и кривизну, мы по-прежнему имеем дифференциальное

уравнение, чтобы найти кручение. Однако, этот путь может дать прямой ответ на вопрос существует ли кручение.

Отклонение от приливного ускорения (1.4.1), предсказанного общей теорией относительности может иметь различные причины. Однако мы можем найти ответ, комбинируя разные методы измерения. 5.4.1.

Пространство и время в физике

2.1. Геометрия и физика

Несомненно, что разум кажется нам слабым, когда мы думаем о стоящих перед ним задачах; особенно слабым он кажется, когда мы противопоставляем его безумству и страстям человечества, которые, надо признать, почти полностью руководят судьбами человеческими как в малом, так и в большом. Но творения интеллекта переживают шумную суету поколений и на протяжении веков озаряют мир светом и теплом.

[6], стр. 78

Геометрические представления не являются творениями свободного ума, а наоборот, представляют продукт практической деятельности человека. По мере развития познания менялись представления о пространстве и времени.^{1.1}

Закон не может быть точным хотя бы потому, что понятия, с помощью которых мы его формулируем, могут развиваться и в будущем оказаться недостаточными. На дне любого тезиса и любого доказательства остаются следы догмата непогрешимости.

[7], стр. 143

Возникнув из конкретных потребностей практики человека, математика развивалась по сложному и противоречивому пути познания. С одной стороны, это наиболее абстрактная область науки. Математик совершенно свободно оперирует с абстрактными понятиями, изучает их свойства, обобщает, создаёт новые понятия, ещё более удаляясь от реальной практики. И тем более удивительны успехи прикладной математики. Её успехи всегда потрясали человека, особенно в XX веке, когда такие абстрактные разделы математики как теория групп, функциональный анализ, дифференциальная геометрия стали языком современной физики. Соприкосновение математики с любой другой областью науки приводит к взаимному обогащению обеих.

Из всех наук математика пользуется особым уважением, потому что её теоремы абсолютно верны и неоспоримы, тогда как законы других наук в известной степени спорны и всегда существует опасность их опровержения новыми открытиями. Однако исследователю, работающему в какой-либо другой области науки, не приходится завидовать математику, так как положения математики покоятся

не на реальных объектах, а исключительно на объектах нашего воображения. В самом деле, нет ничего удивительного в том, что можно прийти к логически согласованным выводам, если сначала пришли к соглашению относительно основных положений (аксиом), а также относительно тех приёмов, при помощи которых из этих основных положений выводятся другие теоремы. В то же время это глубокое уважение к математике имеет и другое основание, а именно: математика является тем, что даёт точным наукам известную меру уверенности; без математики они её не могли бы достичь.

В связи с этим возникает вопрос, который волновал исследователей всех времён. Почему возникло такое превосходное соответствие математики с реальными предметами, если сама она является производением только человеческой мысли, не связанной ни с каким опытом? Может ли человеческий разум без всякого опыта, путём только одного размышления понять свойства реальных вещей.

[3]

Математика имеет эмпирические корни - алгебра связана с необходимостью расчётов, геометрия порождена необходимостью измерений на поверхности земли, логика является абстрактным выражением причинно-следственной связи, анализ изучает движение. Именно поэтому не случайно, что на определённых этапах развития познания становится возможным описать реальный процесс с помощью математических моделей разной степени сложности. Так шаг за шагом утверждения теоретической математики становятся аппаратом прикладной математики, математика становится эмпирической наукой.

Свидетельствами эмпирического происхождения геометрии остались в ее системе только основные понятия ... и так называемые аксиомы. Число этих логически неприводимых основных понятий и аксиом стремились свести к минимуму. Стремление извлечь всю геометрию из смутной области эмпирического незаметно привело к ошибочному заключению, которое можно уподобить превращению героев древности в богов. Мало-помалу привыкли к взгляду на основные понятия как на "очевидные", т.е. как на предметы и качества представления, присущие человеческому духу; согласно этому взгляду, основным понятиям геометрии соответствуют предметы интуиции, и отрицание той или иной аксиомы геометрии никоим образом не может быть осуществлено непротиворечиво. Но тогда самая возможность приложения этих основных понятий и аксиом к объектам действительности становится той самой задачей, из которой возникло кантовское понимание пространства.

Второй мотив для отказа геометрии от ее эмпирической основы дала физика. Согласно ставшему гораздо более утонченным взгляду физики на природу твердых тел и света, в природе не существует таких объектов, которые бы по своим свойствам точно соответствовали основным понятиям евклидовой геометрии. Твердое тело не может считаться абсолютно неизменяемым, а луч света точно не воспроизводит ни прямую линию, ни даже вообще какой либо образ одного

измерения. По возрению современной науки геометрия, взятая в отдельности, не соответствует ... никаким опытам; она должна быть приложена к объяснению их совместно с механикой, оптикой и т.д. Так как, сверх того, геометрия должна предшествовать физике, поскольку законы последней не могут быть выражены без помощи геометрии, то геометрия и должна казаться наукой, логически предшествующей всякому опыту и всякой опытной проверке.

[5], стр. 179

... Если теоремы математики прилагаются к отражению реального мира, они не точны; они точны до тех пор, пока они не ссылаются на действительность.

[3]

... С этой точки зрения вопрос о применимости или неприменимости евклидовой геометрии приобретает ясный смысл. Евклидова геометрия, как и геометрия вообще, сохраняет характер математической науки, так как вывод ее теорем из аксиом по-прежнему остается чисто логической задачей, но в то же время она становится и физической наукой, так как ее аксиомы содержат в себе утверждения относительно объектов природы, справедливость которых может быть доказана только опытом.

[5], стр. 181

Форма предмета не есть нечто внешнее по отношению к нему, она принадлежит ему и определяется им самим. Поэтому формы существования материального мира - это общая структура, определяемая его коренными свойствами, а не что-то такое, во что мир как бы вложен ... Рациональная теория пространства и времени необходимо выводит свойства последних как свойства такой общей структуры из самих свойств материи. Таков был источник геометрии - она отражала прежде всего общее свойство отношений твердых тел, определяемых в первую очередь возможностью их движения.

[9], p 117

... Математика вообще и геометрия в частности обязаны своим происхождением необходимостью узнать что-либо о поведении реально существующих предметов. На это указывает даже само слово "геометрия", означающее "измерение земли". Измерение же земли имеет дело с возможными расположениями тел в природе ... Из системы понятий аксиоматической геометрии нельзя получить никаких суждений о таких реально существующих предметах, которые мы называем практически твердыми телами. Чтобы такого рода суждения были возможны, мы должны лишить геометрию ее формально-логического характера, сопоставив пустой схеме понятий аксиоматической геометрии реальные объекты нашего опыта. Для этой цели достаточно прибавить только такое утверждение:

твердые тела ведут себя в смысле различных возможностей взаимного расположения, как тела евклидовой геометрии трех измерений;

таким образом, теоремы эвклидовой геометрии содержат в себе утверждения, определяющие поведение практически твердых тел.

Дополненная таким утверждением геометрия становится, очевидно, естественной наукой ... Ее утверждения покоятся существенным образом на выводах из опыта, а не только на логических заключениях. Будем в дальнейшем называть дополненную таким образом геометрию "практической геометрией" ... Вопрос о том, является ли практическая геометрия эвклидовой или нет, приобретает совершенно ясный смысл; ответ на него может дать только опыт. Всякие измерения длины в физике точно так же, как и геодезические или астрономические измерения, в этом смысле составляют предмет практической геометрии, если при этом исходить из того опытного закона, что свет распространяется по прямой линии, и именно по прямой в смысле практической геометрии.

[3]

Приведенные рассуждения показывают, что математика не является особой областью познания, развивающейся независимо от познавательно-преобразующей практики человека. На самом деле, исходными посылками для математики служит практика, и в конечном итоге математика является незаменимым аппаратом в практической деятельности человека.

2.2. Пространство-время

... Пространство и время - не простые формы явлений, а объективно-реальные формы бытия. В мире нет ничего, кроме движущейся материи, и движущаяся материя не может двигаться иначе, как в пространстве и во времени... Изменчивость человеческих представлений о пространстве и времени так же мало опровергают объективную реальность того и другого, как изменчивость научных знаний о строении и формах движения материи не опровергают объективной реальности внешнего мира.

Lenin, 110, с. 181, 182

... Не вещи предполагают существование пространства и времени, а наоборот, пространство и время предполагают наличность вещей, ибо пространство, или протяженность, предполагает наличность чего-то, что протяженно, и время - движение: ведь время - лишь понятие, производное от движения, - предполагает наличность чего-то, что движется. Всё - пространственно и временно.

Феербах, 111, с. 50

Прежде чем перейти к изучению взаимодействия геометрии и ОТО, необходимо дать чёткое определение основных понятий. Основное понятие геометрии - это пространство; пространство, наполненное физическим содержанием, называют пространством событий.

... Прежде понятий, относящихся к пространству, должно существовать понятие "материальный объект". Это логически первичное понятие. В этом легко убедиться, анализируя пространственные понятия, например, "рядом", "касание" и т. д., другими словами, отыскивая их эквиваленты в опыте.

109, с. 235

Физическое понятие времени отвечает понятию, присущему интуитивному мышлению. Но такое понятие восходит к порядку во времени ощущений индивидуума, и этот порядок мы должны принимать как нечто первично данное. Некто ощущает ... чувственное ощущение в данный момент, соединенное с воспоминанием о (прежних) чувственных ощущениях. Это и есть причина того, что чувственные ощущения, по-видимому, образуют временные ряды ощущений, основанные на оценках "раньше" и "позже". Эти ряды могут повторяться, и тогда они могут быть опознаны. Они могут также повторяться неточно, с заменой некоторого числа событий други ми, причем характер повторения для нас не утрачивается. Таким образом, мы приходим к представлению времени в виде некоего одномерного каркаса, который можно заполнить ощущениями разными способами. Одни и те же ряды ощущений отвечают тем же субъективным интервалам времени.

Переход от этого "субъективного" времени ... к понятию времени донаучного мышления связывается с возникновением идеи о существовании реального мира, независимого от субъекта. В этом смысле (объективное) событие ставится в соответствие с субъективным ощущением. В таком же смысле "субъективное" время ощущения сопоставляется с "временем" соответствующего "объективного" события. В противоположность ощущениям внешние события и их порядок во времени претендуют на справедливость для всех субъектов.

... При более подробном рассмотрении идеи объективного мира внешних событий оказалось необходимым установить более сложную зависимость между событиями и ощущениями. Впервые это было сделано с помощью инстинктивных правил мышления, в которых особенно важную роль играет понятие пространства. Процесс усложнения понятий ведет в конечном счете к естественным наукам.

109, с. 242, 243

Форма предмета есть ... не что иное, как совокупность отношений его частей. Поэтому речь должна идти о тех материальных связях элементов мира, которые в своей совокупности и определяют пространство-время.

Простейший элемент мира - это то, что называется событием. Оно представляет собой "точечное" явление вроде мгновенной вспышки

точечной лампы или, пользуясь наглядными понятиями о пространстве-времени, явление, протяжением которого в пространстве и во времени можно пренебречь... Событие аналогично точке в геометрии... Всякое явление, всякий процесс представляется как некоторая связная совокупность событий.

Отвлекаясь от всех свойств события, кроме того, что оно существует, мы представляем его как ... "мировую точку". Пространство-время и есть множество всех мировых точек.

[9], с. 133, 134

Однако подобное определение неполно, оно не учитывает, что каждое событие ... воздействует на некоторые другие события и само подвержено воздействиям других событий. Вообще воздействие и есть движение, связывающее одно событие с другим через ряд промежуточных событий... В понятиях физики воздействие можно определить как передачу импульса и энергии.

[9], с. 134

Таким образом, геометрия пространства-времени неотделима от физических процессов, протекающих в самом пространстве-времени.

Пространство-время есть множество всех событий в мире, отвлеченных от всех его свойств, кроме тех, которые определяются отношениями воздействия одних событий на другие.

Пространственно-временная структура мира есть не что иное как его причинно-следственная структура, взятая лишь в соответствующей абстракции.

[9], с. 135

Следующий вопрос, который необходимо рассмотреть, - это вопрос о физическом содержании понятия координат. Чтобы понять всю важность этого вопроса, вспомним как ввёл Эйнштейн единое время в теории относительности. Прежде всего, каждый наблюдатель снабжён собственными часами. Но для того, чтобы время, показываемое каждым наблюдателем, было координатой в пространстве событий, необходима синхронизация часов. Однако процесс синхронизации основан на физических явлениях.

Если в точке A пространства помещены часы, то наблюдатель, находящийся в A , может устанавливать время событий в непосредственной близости от A путем наблюдения одновременных с этими событиями показаний стрелок часов. Если в другой точке B пространства также имеются часы (мы добавим: "точно такие же часы, как в точке A "), то в непосредственной близости от B тоже возможна временная оценка событий находящимся в B наблюдателем. Однако невозможно без дальнейших предположений сравнивать во времени какое-либо событие в A с событием в B ; мы определили пока только " A -время" и " B -время", но не общее для A и B "время". Последнее можно установить, вводя определение, что "время", необходимое для прохождения света из A в B , равно "времени", требуемому для прохождения света из B в A . Пусть в момент t_A по " A -времени" луч света выходит из A в B , отражается в момент t_B по " B -времени" от B к A и возвращается

назад в A в момент t'_A по "А-времени". Часы в A и B будут идти, согласно определению, синхронно, если

$$t_B - t_A = t'_A - t_B$$

Мы сделаем допущение, что это определение синхронности можно дать непротиворечивым образом и притом для сколь угодно многих точек и что, таким образом, справедливы следующие утверждения:

1) если часы в B идут синхронно с часами в A , то часы в A идут синхронно с часами в B ;

2) если часы в A идут синхронно как с часами в B , так и с часами в C , то часы в B и C также идут синхронно относительно друг друга.

[1], стр. 9, 10

Аналогичные построения, основанные на измерении расстояний между наблюдателями (что также можно выполнить с помощью световых сигналов) приводят к понятию пространственных координат.

В ОТО проблема координат оказывается сложнее, но суть её остаётся следующей: координаты являются концентрированным выражением взаимодействия различных наблюдателей в пространстве событий.

2.3. Принцип ковариантности

Сущность времени и пространства есть движение, потому что оно всеобщее; понять его значит высказать его сущность в форме понятия.

Гегель, "Лекции по истории философии".

Движение есть сущность времени и пространства. Два основных понятия выражают эту сущность: (бесконечная) непрерывность и "пунктуальность" (= отрицание непрерывности, прерывность). Движение есть единство непрерывности (времени и пространства). Движение есть противоречие, есть единство противоречий.

111, с. 231, Lenin, Philosophic notebooks

Определив содержание понятия пространства, мы можем перейти к рассмотрению принципов, положенных в основу ОТО. Основным принципом ОТО является принцип общековариантности. Вторым, не менее важным принципом в современной формулировке ОТО, является принцип эквивалентности. Оба эти принципа тесно взаимосвязаны. Опираясь на принцип Маха, Эйнштейн формулирует основные принципы.

Пусть K - галилеева координатная система, т. е. такая, относительно которой (по крайней мере в рассматриваемой четырехмерной области) некоторая масса, достаточно удаленная от других, движется прямолинейно и равномерно. Пусть K' - вторая координатная система, которая относительно K движется равномерно ускоренно. Тогда достаточно изолированная от других масса совершает относительно

K' ускоренное движение, причем ни ускорение, ни направление этого ускорения не зависят от химического состава и физического состояния этой массы.

Может ли наблюдатель, покоящийся относительно координатной системы K' , отсюда заключить, что он находится в "действительно" ускоренной координатной системе? Ответ на этот вопрос должен быть отрицательным, ибо только что указанное поведение масс, свободно движущихся относительно K' , может быть столь же хорошо объяснено следующим образом. Координатная система K' не имеет ускорения, но в рассматриваемой пространственно-временной области имеется гравитационное поле, вызывающее ускоренное движение тел относительно системы K' .

[2], стр. 456

Однако Эйнштейн сделал в этой работе две методологические ошибки. Изложив основные принципы ОТО, он пишет

Из этих соображений видно, что построение общей теории относительности должно одновременно привести и к теории тяготения, ибо гравитационное поле можно "создать" простым изменением координатной системы.

[2], с. 457

Во-первых. Тесная связь основных принципов не означает их тождество. Принцип эквивалентности оказался исторически первым и самым простым принципом, сформулированным в общековариантной форме. В дальнейшем Эйнштейн понял, что теорию относительности нельзя свести к теории гравитационного поля. Всю свою оставшуюся жизнь он посвятил развитию принципа общековариантности.

Во-вторых. Как следствие отождествления системы отсчёта и системы координат, Эйнштейн ошибочно отождествлял преобразование Лоренца с общим координатным преобразованием. Самая грубая ошибка состояла в том, что Эйнштейн полагал, что с помощью преобразований Лоренца можно породить гравитационное поле в инерциальной системе отсчёта, если его там не было. Но это противоречит принципу общековариантности. На самом деле здесь имеет место переход к неинерциальной системе отсчёта, выраженный в появлении неголономности координат, используемых наблюдателем.

... Нельзя любое поле тяжести заменить состоянием движения системы без гравитационного поля, точно также как нельзя преобразовать все точки произвольно движущейся среды к покою посредством релятивистского преобразования.

107, с. 166

Однако изолированный наблюдатель не знает, какими координатами он пользуется. С другой стороны, и в неинерциальной системе отсчёта, и в гравитационном поле свободные тела движутся по траекториям, не зависящим от их массы.

Принцип эквивалентности - это утверждение о полной тождественности всех физических процессов и явлений в однородном поле тяготения и в соответствующей равномерно ускоренной системе отсчета,

причем в общем случае речь идет о достаточно малых пространственно-временных областях. Из принципа эквивалентности следует равенство инертной массы и тяжелой массы, так как в противном случае уже механические движения в ускоренной системе отсчета и в поле тяжести протекали бы неодинаково.

Ginzburg, 105, с. 339

Проведенный мною недавно анализ показывает, что принцип эквивалентности не является утверждением о равенстве двух разных типов массы. Основа принципа эквивалентности состоит в том, что ни одно явление не может отличить одну систему отсчета от другой и законы физики не зависят от того, какую систему отсчета мы используем. Изучение электромагнитных полей показывает, что масса менее важна в общей теории относительности, чем мы полагали раньше. Не масса, а тензор энергии импульса порождает гравитационное поле. Свет не имеет массы, но имеет импульс. Эйнштейн, исправив наиболее грубые ошибки, сформулировал основные принципы следующим образом: Пусть K - инерциальная система без поля тяготения, K' - система координат, равномерно ускоренная относительно K . Тогда поведение материальных точек по отношению к системе K' будет таким же, как если бы K' была инерциальной системой, в которой существует однородное поле тяготения. Таким образом, в свете известных из опыта свойств поля тяготения определение инерциальной системы оказывается несостоятельным. Напрашивается мысль о том, что каждая, любым образом движущаяся система отсчета, с точки зрения формулировки законов природы, равноценна любой другой и что, следовательно, для областей конечной протяженности вообще не существует физически выделенных (привилегированных) состояний движения (общий принцип относительности). Последовательное проведение этой идеи требует еще более глубокого видоизменения геометрико-кинематических основ теории, чем специальная теория относительности... Обобщая, приходим к следующему результату: поле тяготения и метрика представляют собой лишь различные формы проявления одного и того же физического поля.

[4], стр. 124

Современная формулировка принципа общековариантности не зависит от принципа эквивалентности. Суть состоит в том, что преобразования Лоренца образуют четко определённую группу, а физические величины являются инвариантными конструкциями относительно этой группы.

Необходимо отметить, что различные ошибочные толкования утверждений ОТО, высказываний Эйнштейна (особенно ранних) обедняют содержание ОТО. Так, отождествляя оба принципа, Фок утверждал, что ОТО правильнее было бы назвать теорией тяготения. Другие авторы считают, что тот или иной принцип, подобно принципу Маха, сыграл роль повивальной бабки и сейчас не является фундаментальным принципом теории. Нечёткость определения преобразований Лоренца у Эйнштейна породила различные поиски. Пытаясь систематизировать обширный материал, многие исследователи ошибочно

упрощали проблему, выделяя привилегированные системы отсчёта, что противоречит принципу общеквариантности.

Существенное достижение общей теории относительности заключается в том, что она избавила физику от необходимости вводить "инерциальную систему". Это понятие неудовлетворительно по той причине, что оно без какого-либо обоснования выделяет из всех мысленно возможных систем координат некоторые системы. Затем делается предположение, что законы физики выполняются только для таких инерциальных систем... Таким образом, в системе физики пространство как таковое наделяется ролью, выделяющей его из всех прочих элементов физического описания. Оно играет определяющую роль во всех процессах, не испытывая их обратного воздействия. Хотя подобная теория является логически возможной, но, с другой стороны, она выглядит не совсем удовлетворительной. Ньютон вполне сознавал этот недостаток, но он столь же ясно понимал, что иного пути для физики в то время не было. Среди физиков позднейшего времени особое внимание на это обстоятельство обратил Эрнст Мах.

106, с. 854, 855

Систематизируя ошибочные представления, Гинзбург пишет

... Название "общая теория относительности" вполне закономерно и нет оснований от него отказываться, не говоря уже о том, что замена этого названия представляется практически невозможной в силу установившейся традиции.

К сожалению, вопросы терминологии и словоупотребления столь тесно переплетаются с существенными проблемами, что нередко мешают обсуждению этих проблем, ... заставляют спорить о словах... Вопрос о названии теории ... столь явно терминологический, что не может породить расхождений по сути дела. Но этого нельзя сказать о проблеме существования в ОТО привилегированных систем отсчета... Для достаточно малых областей пространства-времени в ОТО, конечно, существует привилегированная система отсчета - ... имеется в виду свободно падающая локально инерциальная система отсчета ..., в которой нет сил тяготения и справедлива частная теория относительности. Но такие системы ... не совпадают с инерциальными системами классической механики...

Для областей конечной протяженности в общем случае мы не видим никакого аналога инерциальных систем, никаких систем, столь же "привилегированных". Но здесь то и возникает возможность терминологических разногласий. Исследование конкретных физических задач связано с каким-то упрощением, приближением, с идеализацией ситуации ... Но совершенно очевиден частный характер такой привилегированности, сугубо отличный от той привилегированности, которой наделяла инерциальные системы классическая механика.

105, p 343 - 345

2.4. Пространство-время и квантовая механика

Каждый человек заключён в темницу своих идей, и каждый в юности должен взорвать её, чтобы попытаться сравнить свои идеи с реальностью. Но через несколько веков другой человек, быть может, отвергнет его идеи. С художником в его неповторимости такого произойти не может. Так происходит только в поисках истины, и это вовсе не печально.

[7], стр. 144

Как уже отмечалось выше, геометрические представления тесно связаны с физическими. Поэтому в макрофизике, где все тела имеют чётко определённую форму и движутся по чётко определённым траекториям, геометрия (во всём многообразии представлений и теорий) описывает жёстко и однозначно определённые конструкции. Не составляет исключения и общая теория относительности.

В частности, элементарное событие - это явление длительности, которой можно пренебречь, в области пространства, размерами которой можно пренебречь. Точка в пространстве, траектория движения, форма тела становятся абстракциями, не имеющими реальных физических аналогов. В большинстве случаев длительностью или размером пренебрегать нельзя. Исчезновение существующей в макрофизике грани между частицами и волнами привело к размыванию чётких геометрических форм. Тем самым геометрические представления становятся в противоречие с физическими.

Совместный анализ уравнений квантовой механики и теории относительности приводит к парадоксальному результату: необходимо квантовать метрический тензор. Соответствующий геометрический аппарат ещё не разработан, однако несложные построения позволяют сказать кое-что определённое о геометрической структуре пространства общерелятивистской квантовой механики.

Для того, чтобы понять суть новых геометрических представлений рассмотрим наглядный геометрический пример. Предположим, что в результате решения задачи мы получили на многообразии размерности 2 две метрические формы, описывающие сферы радиусов R и r . Таким образом, в любой точке многообразия наблюдатель будет одновременно находиться на обеих сферах. Предположим, что мы находимся на северном полюсе. Тогда мы получим, что обе сферы касаются друг друга в северном полюсе. Будем двигаться теперь на юг. Но возникает вопрос: по какой из двух сфер мы будем двигаться? Предположим, что мы будем двигаться по большой сфере. Тогда мы перестанем касаться малой сферы. А это противоречит постановке задачи. Следовательно, при движении по большой сфере мы как бы увлекаем за собой малую сферу. Аналогично, двигаясь по малой сфере, мы увлекаем за собой большую сферу.

Эта картина, безусловно, не зависит ни от размерности многообразия, ни от числа и значения метрических форм. Мы теперь можем подвести некоторые итоги.

- Квантование метрического тензора приводит к расслоению основного многообразия (согласно значению метрического тензора).

- Квантование метрического тензора выталкивает движущийся объект из основного многообразия в многообразии касательных плоскостей. Этот процесс намечался ещё в ОТО: система измерительных приборов наблюдателя находится в касательных плоскостях. При движении наблюдателя основное многообразие движется без скольжения вдоль плоскостей, всё время касаясь их.

- Параллельный перенос вдоль заданной кривой неоднозначен и, по-видимому, операция необратима. Геодезическая перестаёт быть кривой в привычном понимании и распадается на множество кривых, движение по которым происходит с той или иной вероятностью. Это приводит к неоднозначному заданию измерительной системы, которой пользуется наблюдатель.

Далее следует terra incognita математических и физических результатов. Недалеко то время, когда мы станем свидетелями новых революционных преобразований в геометрии, физике, философии.

Прежде чем переходить к вопросу о завершении общей теории относительности, я должен высказаться о занимаемой мною позиции по отношению к той физической теории, которая из всех физических теорий нашего времени достигла наибольших успехов. Я имею в виду статистическую квантовую механику... Это единственная современная теория, дающая стройное объяснение тому, что мы знаем относительно квантового характера микромеханических процессов. Эта теория, с одной стороны, и теория относительности, с другой, обе в известном смысле считаются верными, хотя слияние этих теорий не удалось до сих пор, несмотря на все усилия. С этим, должно быть, и связано то, что среди современных физиков-теоретиков имеются совершенно различные мнения о том, как будет выглядеть теоретический фундамент будущей физики. Будет ли это теория поля?

[8], стр. 288, 289

Б. Теория поля еще не вполне определяется системой уравнений поля. Надо ли признавать наличие сингулярностей? Следует ли постулировать граничные условия?

В. Можно ли думать, что теория поля позволит понять атомистическую и квантовую структуру реальности?.. Я полагаю, что по этому поводу в настоящее время никому не известно ничего достоверного, поскольку мы не знаем, каким образом и в какой степени исключение сингулярностей сокращает множество решений. У нас вообще нет никакого метода для систематического получения решений, свободных от сингулярностей... В настоящее время преобладает мнение, что теорию поля сначала необходимо перевести "квантованием" в статистическую теорию вероятностей... Я вижу в этом лишь попытку описывать линейными методами соотношения существенно нелинейного характера.

Г. Можно убедительно доказать, что реальность вообще не может быть представлена непрерывным полем. Из квантовых явлений, по-видимому, следует, что конечная система с конечной энергией может полностью описываться конечным набором чисел (квантовых чисел). Это, кажется, нельзя совместить с теорией континуума и требует для

описания реальности чисто алгебраической теории. Однако сейчас никто не знает, как найти основу для такой теории.

106, p 872, 873

Прежде чем мы найдём новую геометрию, мы должны изучить, что может произойти, если мы объединим идеи общей теории относительности и квантовой механики.

Представление группы

3.1. Представление группы

ОПРЕДЕЛЕНИЕ 3.1.1. Мы будем называть отображение

$$t : M \rightarrow M$$

невыврожденным преобразованием, если существует обратное отображение. \square

ОПРЕДЕЛЕНИЕ 3.1.2. Пусть

$$ts = t \circ s$$

произведение преобразований k и l . Преобразование называется **левосторонним преобразованием** или оно действует слева

$$u' = tu$$

если

$$t(sv) = (ts)v$$

Мы будем обозначать $l(M)$ множество левосторонних невырожденных преобразований множества M . \square

ОПРЕДЕЛЕНИЕ 3.1.3. Пусть

$$ts = t \circ s$$

произведение преобразований k и l . Преобразование называется **правосторонним преобразованием** или оно действует справа

$$u' = ut$$

если

$$(vs)t = v(st)$$

Мы будем обозначать $r(M)$ множество правосторонних невырожденных преобразований множества M . \square

Мы будем обозначать δ тождественное преобразование.

ОПРЕДЕЛЕНИЕ 3.1.4. Пусть $l(M)$ - группа и δ - единица группы $l(M)$. Пусть G - группа. Мы будем называть гомоморфизм групп

$$f : G \rightarrow l(M)$$

левосторонним представлением группы^{3.1} G в множестве M , если отображение f удовлетворяет условиям

$$(3.1.1) \quad f(ab)u = f(a)(f(b)u)$$

^{3.1} Теория представления групп является частным случаем теории представления универсальной алгебры [36].

□

ОПРЕДЕЛЕНИЕ 3.1.5. Пусть $r(M)$ - группа и δ - единица группы $r(M)$. Пусть G - группа. Мы будем называть гомоморфизм групп

$$f : G \rightarrow r(M)$$

правосторонним представлением группы G в множестве M , если отображение f удовлетворяет условиям

$$(3.1.2) \quad uf(ab) = (uf(a))f(b)$$

□

Любое утверждение, справедливое для левостороннего представления группы, будет справедливо для правостороннего представления. Поэтому мы будем пользоваться общим термином **представление группы** и будем пользоваться обозначениями для левостороннего представления в тех случаях, когда это не вызывает недоразумения.

ТЕОРЕМА 3.1.6. Для любого $g \in G$

$$(3.1.3) \quad f(g^{-1}) = f(g)^{-1}$$

ДОКАЗАТЕЛЬСТВО. На основании (3.1.1) и

$$(3.1.4) \quad f(e) = \delta$$

мы можем записать

$$u = \delta u = f(gg^{-1})u = f(g)(f(g^{-1})u)$$

Это завершает доказательство. □

ПРИМЕР 3.1.7. Пусть G - группа. Групповая операция определяет два различных представления на множестве G : **левый сдвиг**, который мы определяем равенством

$$(3.1.5) \quad b' = L(a)b = ab$$

и **правый сдвиг**, который мы определяем равенством

$$(3.1.6) \quad b' = R(a)b = ba$$

□

ТЕОРЕМА 3.1.8. Пусть представление

$$u' = f(a)u$$

является левосторонним представлением. Тогда представление

$$u' = uh(a) = f(a^{-1})u$$

является правосторонним представлением.

ДОКАЗАТЕЛЬСТВО. Утверждение следует из цепочки равенств

$$\begin{aligned} uh(ab) &= f((ab)^{-1})u = f(b^{-1}a^{-1})u = f(b^{-1})(f(a^{-1})u) = f(b^{-1})(uh(a)) \\ &= (uh(a))h(b) \end{aligned}$$

□

ОПРЕДЕЛЕНИЕ 3.1.9. Пусть f - левостороннее представление группы G в множестве M . Для любого $v \in M$ мы определим **орбиту представления группы G как множество**

$$f(G)v = \{w = f(g)v : g \in G\}$$

□

ОПРЕДЕЛЕНИЕ 3.1.10. Пусть f - правостороннее представление группы G в множестве M . Для любого $v \in M$ мы определим **орбиту представления группы G как множество**

$$vf(G) = \{w = vf(g) : g \in G\}$$

□

Так как $f(e) = \delta$, то $v \in f(G)v$.

ТЕОРЕМА 3.1.11. Если

$$(3.1.7) \quad v \in f(G)u$$

то

$$(3.1.8) \quad f(G)u = f(G)v$$

ДОКАЗАТЕЛЬСТВО. Из (3.1.7) следует существование $a \in G$ такого, что

$$(3.1.9) \quad v = f(a)u$$

Если $w \in f(G)v$, то существует $b \in G$ такой, что

$$(3.1.10) \quad w = f(b)v$$

Подставив (3.1.9) в (3.1.10), мы получим

$$(3.1.11) \quad w = f(b)(f(a)u)$$

На основании (3.1.1) из (3.1.11) следует, что $w \in f(G)u$. Таким образом,

$$(3.1.12) \quad f(G)v \subseteq f(G)u$$

На основании (3.1.3) из (3.1.9) следует, что

$$(3.1.13) \quad u = f(a)^{-1}v = f(a^{-1})v$$

Равенство (3.1.13) означает, что $u \in f(G)v$ и, следовательно,

$$(3.1.14) \quad f(G)u \subseteq f(G)v$$

Утверждение (3.1.8) следует из утверждений (3.1.12), (3.1.14). □

ТЕОРЕМА 3.1.12. Если определены представление f_1 группы G в множестве M_1 и представление f_2 группы G в множестве M_2 , то мы можем определить **прямое произведение представлений f_1 и f_2 группы**

$$f = f_1 \otimes f_2 : G \rightarrow M_1 \otimes M_2$$

$$f(g) = (f_1(g), f_2(g))$$

ДОКАЗАТЕЛЬСТВО. Чтобы показать, что f является представлением, достаточно показать, что f удовлетворяет определению 3.1.4.

$$\begin{aligned} f(e) &= (f_1(e), f_2(e)) = (\delta_1, \delta_2) = \delta \\ f(ab)u &= (f_1(ab)u_1, f_2(ab)u_2) \\ &= (f_1(a)(f_1(b)u_1), f_2(a)(f_2(b)u_2)) \\ &= f(a)(f_1(b)u_1, f_2(b)u_2) \\ &= f(a)(f(b)u) \end{aligned}$$

□

3.2. Однотранзитивное представление

ОПРЕДЕЛЕНИЕ 3.2.1. Мы будем называть **ядром неэффективности представления группы G** множество

$$K_f = \{g \in G : f(g) = \delta\}$$

Если $K_f = \{e\}$, мы будем называть представление группы G **эффективным**.

□

ТЕОРЕМА 3.2.2. Ядро неэффективности - это подгруппа группы G .

ДОКАЗАТЕЛЬСТВО. Допустим $f(a_1) = \delta$ и $f(a_2) = \delta$. Тогда

$$\begin{aligned} f(a_1 a_2)u &= f(a_1)(f(a_2)u) = u \\ f(a^{-1}) &= f^{-1}(a) = \delta \end{aligned}$$

□

Если действие не эффективно, мы можем перейти к эффективному, заменив группой $G_1 = G/K_f$, пользуясь факторизацией по ядру неэффективности. Это означает, что мы можем изучать только эффективное действие.

ОПРЕДЕЛЕНИЕ 3.2.3. Мы будем называть представление группы **транзитивным**, если для любых $a, b \in V$ существует такое g , что

$$a = f(g)b$$

Мы будем называть представление группы **однотранзитивным**, если оно транзитивно и эффективно.

□

ТЕОРЕМА 3.2.4. Представление однотранзитивно тогда и только тогда, когда для любых $a, b \in V$ существует одно и только одно $g \in G$ такое, что $a = f(g)b$

ОПРЕДЕЛЕНИЕ 3.2.5. Мы будем называть пространство V **однородным пространством** группы G , если мы имеем однотранзитивное представление группы G на V .

□

ТЕОРЕМА 3.2.6. Если мы определим однотранзитивное представление f группы G на многообразии A , то мы можем однозначно определить координаты на A , пользуясь координатами на группе G .

Если f - ковариантное представление, то $f(a)$ эквивалентно левому сдвигу $L(a)$ на группе G . Если f - контрковариантное представление, то $f(a)$ эквивалентно правому сдвигу $R(a)$ на группе G .

ДОКАЗАТЕЛЬСТВО. Мы выберем точку $v \in A$ и определим координаты точки $w \in A$ как координаты преобразования a такого, что $w = f(a)v$. Координаты, определённые таким образом, однозначны с точностью до выбора начальной точки $v \in A$, так как действие эффективно.

Если f - ковариантное представление, мы будем пользоваться записью

$$f(a)v = av$$

Так как запись

$$f(a)(f(b)v) = a(bv) = (ab)v = f(ab)v$$

совместима с групповой структурой, мы видим, что ковариантное представление f эквивалентно левому сдвигу.

Если f - контравариантное представление, мы будем пользоваться записью

$$f(a)v = va$$

Так как запись

$$f(a)(f(b)v) = (vb)a = v(ba) = f(ba)v$$

совместима с групповой структурой, мы видим, что контравариантное представление f эквивалентно правому сдвигу. \square

ТЕОРЕМА 3.2.7. *Левый и правый сдвиги на группе G перестановочны.*

ДОКАЗАТЕЛЬСТВО. Это следствие ассоциативности группы G

$$(L(a)R(b))c = a(cb) = (ac)b = (R(b)L(a))c$$

\square

ТЕОРЕМА 3.2.8. *Если мы определили однотранзитивное представление f на многообразии A , то мы можем однозначно определить однотранзитивное представление h такое, что диаграмма*

$$\begin{array}{ccc} M & \xrightarrow{h(a)} & M \\ \downarrow f(b) & & \downarrow f(b) \\ M & \xrightarrow{h(a)} & M \end{array}$$

коммутативна для любых $a, b \in G$.^{3.2}

ДОКАЗАТЕЛЬСТВО. Мы будем пользоваться групповыми координатами для точек $v \in A$. Для простоты мы предположим, что f - ковариантное представление. Тогда согласно теореме 3.2.6 мы можем записать левый сдвиг $L(a)$ вместо преобразования $f(a)$.

Пусть точки $v_0, v \in A$. Тогда мы можем найти одно и только одно $a \in G$ такое, что

$$v = v_0a = R(a)v_0$$

Мы предположим

$$h(a) = R(a)$$

Существует $b \in G$ такое, что

$$w_0 = f(b)v_0 = L(b)v_0 \quad w = f(b)v = L(b)v$$

^{3.2}Теорема 3.2.8 на самом деле очень интересна. Тем не менее её смысл становится более ясным, когда мы приложим эту теорему к многообразию базисов, смотри раздел 4.1.

Согласно теореме 3.2.7 диаграмма

$$(3.2.1) \quad \begin{array}{ccc} v_0 & \xrightarrow{h(a)=R(a)} & v \\ \downarrow f(b)=L(b) & & \downarrow f(b)=L(b) \\ w_0 & \xrightarrow{h(a)=R(a)} & w \end{array}$$

коммутативна.

Изменяя b мы получим, что w_0 - это произвольная точка, принадлежащая A .

Мы видим из диаграммы, что, если $v_0 = v$, то $w_0 = w$ и следовательно $h(e) = \delta$. С другой стороны, если $v_0 \neq v$, то $w_0 \neq w$ потому, что представление f однотранзитивно. Следовательно представление h эффективно.

Таким же образом мы можем показать, что для данного w_0 мы можем найти a такое, что $w = h(a)w_0$. Следовательно представление однотранзитивно.

В общем случае, представление f не коммутативно и следовательно представление h отлично от представления f . Таким же образом мы можем создать представление f , пользуясь представлением h . \square

ЗАМЕЧАНИЕ 3.2.9. Очевидно, что преобразования $L(a)$ и $R(a)$ отличаются, если группа G неабелева. Тем не менее, они являются отображениями на. Теорема 3.2.8 утверждает, что, если оба представления правого и левого сдвига существуют на многообразии A , то мы можем определить два перестановочных представления на многообразии A . Только левый или правый сдвиг не может представлять оба типа представления. Чтобы понять почему это так, мы можем изменить диаграмму (3.2.1) и предположить $h(a)v_0 = L(a)v_0 = v$ вместо $h(a)v_0 = R(a)v_0 = v$ и проанализировать, какое выражение $h(a)$ имеет в точке w_0 . Диаграмма

$$\begin{array}{ccc} v_0 & \xrightarrow{h(a)=L(a)} & v \\ \downarrow f(b)=L(b) & & \downarrow f(b)=L(b) \\ w_0 & \xrightarrow{h(a)} & w \end{array}$$

эквивалентна диаграмме

$$\begin{array}{ccc} v_0 & \xrightarrow{h(a)=L(a)} & v \\ \uparrow f^{-1}(b)=L(b^{-1}) & & \downarrow f(b)=L(b) \\ w_0 & \xrightarrow{h(a)} & w \end{array}$$

и мы имеем $w = bv = bav_0 = bab^{-1}w_0$. Следовательно

$$h(a)w_0 = (bab^{-1})w_0$$

Мы видим, что представление h зависит от его аргумента. \square

Многообразие базисов

4.1. Базис в векторном пространстве

ОПРЕДЕЛЕНИЕ 4.1.1. Пусть D - поле. Абелева группа V называется **векторным пространством над полем D** , если определено произведение^{4.1}

$$* : V \times D \rightarrow V$$

$$* : D \times V \rightarrow V$$

которое удовлетворяет соотношениям

4.1.1.1: **закон коммутативности**

$$(4.1.1) \quad vp = pv$$

4.1.1.2: **закон ассоциативности**

$$(4.1.2) \quad v(pq) = (vp)q$$

4.1.1.3: **закон дистрибутивности**

$$(4.1.3) \quad (v + w)p = vp + wp$$

$$(4.1.4) \quad v(p + q) = vp + vq$$

4.1.1.4: **закон унитарности**

$$(4.1.5) \quad v1 = v$$

для любых $p, q \in D, v, w \in V$. □

ТЕОРЕМА 4.1.2. Пусть V - векторное пространство. Множество векторов, порождённое множеством векторов $v = (v_i \in V, i \in I)$, имеет вид^{4.2}

$$(4.1.6) \quad J(v) = \left\{ w : w = \sum_{i \in I} v_i c^i, c^i \in D, |\{i : c^i \neq 0\}| < \infty \right\}$$

ДОКАЗАТЕЛЬСТВО. Мы должны доказать следующие утверждения:

$$4.1.2.1: v_k \in J(v)$$

$$4.1.2.2: v_k c^k \in J(v), c^k \in D, k \in I$$

$$4.1.2.3: \sum_{k \in I} v_k c^k \in J(v), c^k \in D, |\{i : c^i \neq 0\}| < \infty$$

$$4.1.2.4: w_1, w_2 \in J(v) \Rightarrow w_1 + w_2 \in J(v)$$

$$4.1.2.5: a \in D, w \in J(v) \Rightarrow wa \in J(v)$$

^{4.1} Так как произведение в поле D коммутативно, для нас не имеет значения записываем мы произведение в виде av или va . Я выбрал запись va так как хочу пользоваться матричным представлением вектора.

^{4.2} Для множества A , мы обозначим $|A|$ мощность множества A . Запись $|A| < \infty$ означает, что множество A конечно.

- Для произвольного $v_k \in v$, положим $c^i = \delta_k^i \in D$. Тогда

$$(4.1.7) \quad v_k = \sum_{i \in I} v_i c^i$$

Утверждение 4.1.2.1 следует из (4.1.6), (4.1.7).

- Утверждение 4.1.2.2 являются следствием определения 4.1.1 и утверждения 4.1.2.1.
- Так как V является абелевой группой, то утверждение 4.1.2.3 следует из утверждения 4.1.2.2 и определения 4.1.1.
- Пусть $w_1, w_2 \in J(v)$. Так как V является абелевой группой, то вектор $w_1 + w_2$ порождён множеством векторов v . Согласно равенству (4.1.6), существуют D -числа $w_1^i, w_2^i, i \in I$, такие, что

$$(4.1.8) \quad w_1 = \sum_{i \in I} v_i w_1^i \quad w_2 = \sum_{i \in I} v_i w_2^i$$

где множества

$$(4.1.9) \quad H_1 = \{i \in I : w_1^i \neq 0\} \quad H_2 = \{i \in I : w_2^i \neq 0\}$$

конечны. Так как V является абелевой группой, то из равенства (4.1.8) следует, что

$$(4.1.10) \quad w_1 + w_2 = \sum_{i \in I} v_i w_1^i + \sum_{i \in I} v_i w_2^i = \sum_{i \in I} (v_i w_1^i + v_i w_2^i)$$

Равенство

$$(4.1.11) \quad w_1 + w_2 = \sum_{i \in I} v_i (w_1^i + w_2^i)$$

является следствием равенств (4.1.4), (4.1.10). Из равенства (4.1.9) следует, что множество

$$\{i \in I : w_1^i + w_2^i \neq 0\} \subseteq H_1 \cup H_2$$

конечно. Следовательно, утверждение 4.1.2.4 верно.

- Пусть $w \in J(v)$. Согласно определению 4.1.1, для любого D -числа a , вектор wa порождён множеством векторов v . Согласно равенству (4.1.6), существуют D -числа $w^i, i \in I$, такие, что

$$(4.1.12) \quad w = \sum_{i \in I} v_i w^i$$

где

$$(4.1.13) \quad |\{i \in I : w^i \neq 0\}| < \infty$$

Из равенства (4.1.12) следует, что

$$(4.1.14) \quad wa = \left(\sum_{i \in I} v_i w^i \right) a = \sum_{i \in I} (v_i w^i) a = \sum_{i \in I} (v_i w^i a)$$

Из утверждения (4.1.13) следует, что множество $\{i \in I : w^i a \neq 0\}$ конечно. Следовательно, утверждение 4.1.2.5 верно. \square

ОПРЕДЕЛЕНИЕ 4.1.3. Пусть $v = (v_i \in V, i \in I)$ - множество векторов. Выражение $v_i w^i$ называется **линейной комбинацией** векторов v_i . Вектор $\bar{w} = v_i w^i$ называется **линейно зависимым** от векторов v_i . \square

Представим множество D -чисел $w^i, i \in I$, в виде матрицы

$$w = \begin{pmatrix} w^1 \\ \dots \\ w^n \end{pmatrix}$$

Представим множество векторов $v_i, i \in I$, в виде матрицы

$$v = \begin{pmatrix} v_1 & \dots & v_n \end{pmatrix}$$

Тогда мы можем записать линейную комбинацию векторов $\bar{w} = v_i w^i$ в виде

$$\bar{w} = vw$$

ТЕОРЕМА 4.1.4. Если уравнение

$$v_i w^i = 0$$

предполагает существования индекса $i = j$ такого, что $w^j \neq 0$, то вектор v_j линейно зависит от остальных векторов v .

ДОКАЗАТЕЛЬСТВО. Теорема является следствием равенства

$$v_j = \sum_{i \in I \setminus \{j\}} v_i w^i (w^j)^{-1}$$

и определения 4.1.3. □

Очевидно, что для любого множества векторов v_i ,

$$w^i = 0 \Rightarrow vw = 0$$

ОПРЕДЕЛЕНИЕ 4.1.5. Множество векторов^{4.3} $v_i, i \in I$, векторного пространства V **линейно независимо**, если $w = 0$ следует из уравнения

$$v_i w^i = 0$$

В противном случае, множество векторов $v_i, i \in I$, **линейно зависимо**. □

Определения 4.1.6, 4.1.7 являются следствием теоремы 4.1.2.

ОПРЕДЕЛЕНИЕ 4.1.6. $J(v)$ называется векторным подпространством, порождённым множеством v , а v - множеством образующих векторного подпространства $J(v)$. В частности, множеством образующих векторного пространства V будет такое подмножество $X \subset V$, что $J(X) = V$. □

ОПРЕДЕЛЕНИЕ 4.1.7. Если множество $X \subset V$ является множеством образующих векторного пространства V , то любое множество $Y, X \subset Y \subset V$ также является множеством образующих векторного пространства V . Если существует минимальное множество X , порождающее векторное пространство V , то такое множество X называется **базисом** векторного пространства V . □

ТЕОРЕМА 4.1.8. Множество векторов $\bar{e} = (e_i, i \in I)$ является базисом векторного пространства V , если верны следующие утверждения.

^{4.3} Я следую определению в [24], страница 100.

4.1.8.1: Произвольный вектор $v \in V$ является линейной комбинацией векторов множества \bar{e} .

4.1.8.2: Вектор e_i нельзя представить в виде линейной комбинации остальных векторов множества \bar{e} .

ДОКАЗАТЕЛЬСТВО. Согласно утверждению 4.1.8.1, теореме 4.1.2 и определению 4.1.3, множество \bar{e} порождает векторное пространство V (определение 4.1.6). Согласно утверждению 4.1.8.2, множество \bar{e} является минимальным множеством, порождающим векторное пространство V . Согласно определению 4.1.7, множество \bar{e} является базисом векторного пространства V . \square

ТЕОРЕМА 4.1.9. Множество векторов $\bar{e} = (e_i, i \in I)$ является базисом векторного пространства V , если векторы e_i линейно независимы и любой вектор $v \in V$ линейно зависит от векторов e_i .

ДОКАЗАТЕЛЬСТВО. Пусть множество векторов $e_i, i \in I$, линейно зависимо. Тогда в равенстве

$$e_i w^i = 0$$

существует индекс $i = j$ такой, что $w^j \neq 0$. Согласно теореме 4.1.4, вектор e_j линейно зависит от остальных векторов множества \bar{e} . Согласно определению 4.1.7, множество векторов $e_i, i \in I$, не является базисом векторного пространства V .

Следовательно, если множество векторов $e_i, i \in I$, является базисом, то эти векторы линейно независимы. Так как произвольный вектор $v \in V$ является линейной комбинацией векторов $e_i, i \in I$, то множество векторов $v, e_i, i \in I$, не является линейно независимым. \square

Из теоремы 4.1.9 следует, что \bar{e} - это максимальное множество линейно независимых векторов. В том случае, когда мы хотим явно указать, что это базис векторного пространства V , мы будем пользоваться обозначением \bar{e}_V .

ОПРЕДЕЛЕНИЕ 4.1.10. Пусть \bar{e} - базис векторного пространства V , и вектор $\bar{v} \in V$ имеет разложение

$$\bar{v} = e_i v^i$$

относительно базиса \bar{e} . D -числа v^i называются **координатами** вектора \bar{v} относительно базиса \bar{e} . \square

Пусть \bar{e} - базис векторного пространства V . Представим множество векторов $e_i, e_i \in \bar{e}$, в виде матрицы

$$\bar{e} = \begin{pmatrix} e_1 & \dots & e_n \end{pmatrix}$$

Представим множество координат v^1, \dots, v^n вектора \bar{v} относительно базиса \bar{e} в виде матрицы

$$v = \begin{pmatrix} v^1 \\ \dots \\ v^n \end{pmatrix}$$

Матрица v называется **координатной матрицей вектора** \bar{v} в базисе \bar{e} . Тогда мы можем записать вектор \bar{v} в виде произведения матриц

$$\bar{v} = \bar{e}v = \begin{pmatrix} e_1 & \dots & e_n \end{pmatrix} \begin{pmatrix} v^1 \\ \dots \\ v^n \end{pmatrix}$$

ТЕОРЕМА 4.1.11. *Координаты вектора $v \in V$ относительно базиса \bar{e} векторного пространства V определены однозначно.*

ДОКАЗАТЕЛЬСТВО. Пусть вектор \bar{v} имеет разложения

$$(4.1.15) \quad \bar{v} = e_i v_1^i$$

$$(4.1.16) \quad \bar{v} = e_i v_2^i$$

относительно базиса \bar{e} . Равенство

$$(4.1.17) \quad e_i v_1^i = e_i v_2^i \quad e_i(v_1^i - v_2^i) = 0$$

является следствием равенств (4.1.15), (4.1.16). Утверждение $v_1^i = v_2^i$, $i = 1, \dots, n$, является следствием равенства (4.1.17) и теоремы 4.1.9. \square

ТЕОРЕМА 4.1.12. *Представим множество координат векторов*

$$v = \begin{pmatrix} v_1 & \dots & v_m \end{pmatrix}$$

в виде матрицы

$$(4.1.18) \quad \begin{pmatrix} v_1^1 & \dots & v_m^1 \\ \dots & \dots & \dots \\ v_1^n & \dots & v_m^n \end{pmatrix}$$

Тогда координаты линейной комбинации $v_i c^i$ векторов v можно представить в виде произведения матриц

$$(4.1.19) \quad \begin{pmatrix} v_i^1 c^i \\ \dots \\ v_i^n c^i \end{pmatrix} = \begin{pmatrix} v_1^1 & \dots & v_m^1 \\ \dots & \dots & \dots \\ v_1^n & \dots & v_m^n \end{pmatrix} \begin{pmatrix} c^1 \\ \dots \\ c^n \end{pmatrix}$$

ДОКАЗАТЕЛЬСТВО. Теорема является следствием теоремы 4.1.11. \square

ТЕОРЕМА 4.1.13. *Пусть \bar{e}, \bar{f} - базисы векторного пространства V . Координатная матрица*

$$e = \begin{pmatrix} e_1^1 & \dots & e_n^1 \\ \dots & \dots & \dots \\ e_1^n & \dots & e_n^n \end{pmatrix}$$

базиса \bar{e} относительно базиса \bar{f} является невырожденной матрицей.

ДОКАЗАТЕЛЬСТВО. Согласно определению 4.1.5 и теоремам 4.1.9, 4.1.12, система линейных уравнений

$$(4.1.20) \quad \begin{pmatrix} e_1^1 & \dots & e_n^1 \\ \dots & \dots & \dots \\ e_1^n & \dots & e_n^n \end{pmatrix} \begin{pmatrix} c^1 \\ \dots \\ c^n \end{pmatrix} = \begin{pmatrix} 0 \\ \dots \\ 0 \end{pmatrix}$$

имеет единственное решение. Следовательно, матрица e является невырожденной матрицей. \square

4.2. Линейное преобразование векторного пространства

ОПРЕДЕЛЕНИЕ 4.2.1. Пусть V - векторное пространство. отображение

$$f : V \rightarrow V$$

называется линейным преобразованием векторного пространства V , если

$$(4.2.1) \quad f(av + bw) = af(v) + bf(w)$$

для любых векторов $v, w \in V$. \square

ТЕОРЕМА 4.2.2. Пусть \bar{e} - базис векторного пространства V . Тогда линейное преобразование

$$\bar{f} : V \rightarrow V$$

имеет представление

$$(4.2.2) \quad w = fv$$

$$(4.2.3) \quad \begin{pmatrix} w^1 \\ \dots \\ w^n \end{pmatrix} = \begin{pmatrix} f_1^1 & \dots & f_n^1 \\ \dots & \dots & \dots \\ f_1^n & \dots & f_n^n \end{pmatrix} \begin{pmatrix} v^1 \\ \dots \\ v^n \end{pmatrix}$$

относительно базиса \bar{e} . Здесь

- v - координатная матрица вектора \bar{v} относительно базиса \bar{e}

$$(4.2.4) \quad \bar{v} = \bar{e}v = \begin{pmatrix} e_1 & \dots & e_n \end{pmatrix} \begin{pmatrix} v^1 \\ \dots \\ v^n \end{pmatrix}$$

- w - координатная матрица вектора

$$(4.2.5) \quad \bar{w} = \bar{f}(\bar{v})$$

относительно базиса \bar{e}

$$(4.2.6) \quad \bar{w} = \bar{e}w = \begin{pmatrix} e_1 & \dots & e_n \end{pmatrix} \begin{pmatrix} w^1 \\ \dots \\ w^n \end{pmatrix}$$

- f - координатная матрица множества векторов $(\bar{f}(e_i), e_i \in \bar{e})$ относительно базиса \bar{e} . Мы будем называть матрицу f **матрицей линейного отображения \bar{f} относительно базиса \bar{e}** .

ДОКАЗАТЕЛЬСТВО. Так как отображение \bar{f} является линейным отображением, то равенство

$$(4.2.7) \quad \bar{w} = \bar{f}(\bar{v}) = \bar{f}(\bar{e}v) = (\bar{f}(\bar{e}))v$$

является следствием равенств (4.2.1), (4.2.4), (4.2.5). Вектор $\bar{f}(e_i)$ имеет разложение

$$(4.2.8) \quad \bar{f}(e_i) = \bar{e}f_i = e_j f_i^j = \begin{pmatrix} e_1 & \dots & e_n \end{pmatrix} \begin{pmatrix} f_i^1 \\ \dots \\ f_i^n \end{pmatrix}$$

относительно базиса \bar{e} . Комбинируя (4.2.7) и (4.2.8), мы получаем

$$(4.2.9) \quad \bar{w} = \bar{e}fv = e_i f_j^i v^j$$

$$\begin{pmatrix} e_1 & \dots & e_n \end{pmatrix} \begin{pmatrix} w^1 \\ \dots \\ w^n \end{pmatrix} = \begin{pmatrix} e_1 & \dots & e_n \end{pmatrix} \begin{pmatrix} f_1^1 & \dots & f_n^1 \\ \dots & \dots & \dots \\ f_1^n & \dots & f_n^n \end{pmatrix} \begin{pmatrix} v^1 \\ \dots \\ v^n \end{pmatrix}$$

Равенство (4.2.3) следует из сравнения (4.2.6) и (4.2.9). \square

ТЕОРЕМА 4.2.3. Матрица f линейного преобразования \bar{f} невырождена тогда и только тогда, когда линейное преобразование \bar{f} отображает базис векторного пространства V в базис.

ДОКАЗАТЕЛЬСТВО. Пусть $\bar{e}, \bar{g}, \bar{h}$ - базисы векторного пространства V . Пусть линейное преобразование \bar{f} отображает базис \bar{e} в базис \bar{g} . Пусть

$$e = \begin{pmatrix} e_1^1 & \dots & e_n^1 \\ \dots & \dots & \dots \\ e_1^n & \dots & e_n^n \end{pmatrix}$$

координатная матрица базиса \bar{e} относительно базиса \bar{h} . Пусть

$$g = \begin{pmatrix} g_1^1 & \dots & g_n^1 \\ \dots & \dots & \dots \\ g_1^n & \dots & g_n^n \end{pmatrix}$$

координатная матрица базиса \bar{g} относительно базиса \bar{h} . Пусть

$$f = \begin{pmatrix} f_1^1 & \dots & f_n^1 \\ \dots & \dots & \dots \\ f_1^n & \dots & f_n^n \end{pmatrix}$$

координатная матрица отображения \bar{f} относительно базиса \bar{h} . Тогда равенство

$$(4.2.10) \quad \begin{pmatrix} g_1^1 & \dots & g_n^1 \\ \dots & \dots & \dots \\ g_1^n & \dots & g_n^n \end{pmatrix} = \begin{pmatrix} f_1^1 & \dots & f_n^1 \\ \dots & \dots & \dots \\ f_1^n & \dots & f_n^n \end{pmatrix} \begin{pmatrix} e_1^1 & \dots & e_n^1 \\ \dots & \dots & \dots \\ e_1^n & \dots & e_n^n \end{pmatrix}$$

является следствием теоремы 4.2.2. Согласно теореме 4.1.13 матрицы e и g не вырождены. Следовательно, матрица f тоже не вырождена.

С другой стороны, пусть координатная матрица f отображения \bar{f} является невырожденной матрицей. Так как координатная матрица e базиса \bar{e} - невырожденная матрица, то из равенства (4.2.10) следует, что матрица g также является невырожденной матрицей. Следовательно, матрица g является координатной матрицей базиса \bar{g} и отображение \bar{f} отображает базис в базис. \square

ТЕОРЕМА 4.2.4. *Множество невырожденных матриц $G(V)$ порождает группу. Мы обычно будем называть группу $G(V)$ группой симметрии. Группа $G(V)$ порождает левостороннее линейное представление в векторном пространстве V .*

ДОКАЗАТЕЛЬСТВО. Согласно теореме 4.2.2, линейные преобразования

$$\begin{aligned} \bar{f} : V &\rightarrow V \\ \bar{g} : V &\rightarrow V \end{aligned}$$

имеют вид

$$(4.2.11) \quad \begin{pmatrix} w^1 \\ \dots \\ w^n \end{pmatrix} = \begin{pmatrix} f_1^1 & \dots & f_n^1 \\ \dots & \dots & \dots \\ f_1^n & \dots & f_n^n \end{pmatrix} \begin{pmatrix} v^1 \\ \dots \\ v^n \end{pmatrix}$$

$$(4.2.12) \quad \begin{pmatrix} u^1 \\ \dots \\ u^n \end{pmatrix} = \begin{pmatrix} g_1^1 & \dots & g_n^1 \\ \dots & \dots & \dots \\ g_1^n & \dots & g_n^n \end{pmatrix} \begin{pmatrix} w^1 \\ \dots \\ w^n \end{pmatrix}$$

Равенство

$$(4.2.13) \quad \begin{aligned} \begin{pmatrix} u^1 \\ \dots \\ u^n \end{pmatrix} &= \begin{pmatrix} g_1^1 & \dots & g_n^1 \\ \dots & \dots & \dots \\ g_1^n & \dots & g_n^n \end{pmatrix} \left(\begin{pmatrix} f_1^1 & \dots & f_n^1 \\ \dots & \dots & \dots \\ f_1^n & \dots & f_n^n \end{pmatrix} \begin{pmatrix} v^1 \\ \dots \\ v^n \end{pmatrix} \right) \\ &= \left(\begin{pmatrix} g_1^1 & \dots & g_n^1 \\ \dots & \dots & \dots \\ g_1^n & \dots & g_n^n \end{pmatrix} \begin{pmatrix} f_1^1 & \dots & f_n^1 \\ \dots & \dots & \dots \\ f_1^n & \dots & f_n^n \end{pmatrix} \right) \begin{pmatrix} v^1 \\ \dots \\ v^n \end{pmatrix} \end{aligned}$$

является следствием равенств (4.2.11), (4.2.12). Теорема является следствием равенства (4.2.13). Представление является левосторонним согласно закону произведения матриц. \square

Согласно теореме 4.2.2, мы будем отождествлять элемент g группы $G(V)$ с соответствующим преобразованием представления и записывать его действие на вектор $v \in V$ в виде gv . Эта точка зрения позволяет определить два типа координат для элемента g группы $G(V)$. Мы можем либо пользоваться координатами, определёнными на группе, либо определить координаты как элементы матрицы соответствующего преобразования. Первая форма координат более эффективна, когда мы изучаем свойства группы $G(V)$. Вторая форма координат содержит избыточную информацию, но бывает более удобна, когда мы изучаем представление группы $G(V)$. Мы будем называть вторую форму координат **координатами представления**.

В зависимости от рассматриваемых свойств векторного пространства, мы можем рассматривать группу $G \subseteq G(V)$, преобразования которой сохраняют рассматриваемые свойства. Рассматриваемая группа G называется группой симметрии векторного пространства V .

Из теоремы 4.2.3 следует, что мы можем продлить линейное преобразование векторного пространства V на множество базисов. Таким образом, мы можем распространить левостороннее представление группы симметрии на множество базисов. Мы будем записывать действие элемента g группы G на базис \bar{e} в виде $g\bar{e}$. Тем не менее, не всякие два базиса могут быть связаны преобразованием группы симметрии потому, что не всякое невырожденное линейное преобразование принадлежит представлению группы G . Таким образом, множество базисов можно представить как объединение орбит группы G .

Свойства базиса зависят от группы симметрии. Мы можем выбрать базисы \bar{e} , векторы которых находятся в отношении, которое инвариантно относительно группы симметрии. В этом случае все базисы из орбиты

$$G\bar{e} = \{g\bar{e}, g \in G\}$$

имеют векторы, которые удовлетворяют одному и тому же отношению. Такой базис мы будем называть **G -базисом**. В каждом конкретном случае мы должны доказать существование базиса с искомыми свойствами. Если подобного типа базиса не существует, мы можем выбрать произвольный базис.

ОПРЕДЕЛЕНИЕ 4.2.5. Мы будем называть орбиту $G\bar{e}$ выбранного базиса \bar{e} **многообразием базисов $B(V)$ векторного пространства V** . \square

ТЕОРЕМА 4.2.6. Представление группы G на многообразии базисов однотранзитивно.

ДОКАЗАТЕЛЬСТВО. Согласно определению 4.2.5 любые два базиса связаны по крайней мере одним преобразованием представления. Для доказательства теоремы достаточно показать, что это преобразование определено однозначно.

Допустим элементы g_1, g_2 группы G и базис \bar{e} таковы, что

$$(4.2.14) \quad g_1\bar{e} = g_2\bar{e}$$

Из (4.2.14) следует

$$(4.2.15) \quad g_2^{-1}(g_1\bar{e}) = (g_2^{-1}g_1)\bar{e} = \bar{e}$$

Так как любой вектор имеет единственное разложение относительно базиса \bar{e} , то из (4.2.15) следует, что $g_2^{-1}g_1$ является тождественным преобразованием векторного пространства V . Так как представление группы G эффективно на

векторном пространстве V , то $g_1 = g_2$. Отсюда следует утверждение теоремы. \square

Из теоремы 4.2.6 следует, что многообразие базисов $\mathcal{B}(V)$ является однородным пространством группы G . Мы построили левостороннее одностранзитивное линейное представление группы G на многообразии базисов. Мы будем называть это представление **активным представлением**, а соответствующее преобразование на многообразии базисов **активным преобразованием** ([27]) потому, что линейное преобразование векторного пространства породило преобразование многообразия базисов.

Согласно теореме 3.2.6, так как многообразие базисов $\mathcal{B}(V)$ - однородное пространство группы G , мы можем определить на $\mathcal{B}(V)$ две формы координат, определённые на группе G . В обоих случаях координаты базиса \bar{e} - это координаты гомоморфизма, отображающего заданный базис \bar{e}_0 в базис \bar{e} . Координаты представления называются **стандартными координатами базиса**. Нетрудно показать, что стандартные координаты e_k^i базиса \bar{e} при заданном значении k являются координатами вектора $\bar{e}_k \in \bar{e}$ относительно заданного базиса \bar{e}_0 .

Базис \bar{e} порождает координаты на V . В различных типах пространства это может быть сделано различным образом. В аффинном пространстве, если вершина базиса является точкой A , то точка B имеет те же координаты, что и вектор \overrightarrow{AB} относительно базиса \bar{e} . В общем случае мы вводим координаты вектора как координаты относительно выбранного базиса. Использование только G -пространства означает использование специальных координат на \mathcal{A}_n . Для того, чтобы отличать их, мы будем называть их **G -координатами**. Мы также будем называть пространство V с такими координатами **G -пространством**.

Согласно теореме 3.2.8, на многообразии базисов существует другое представление, перестановочное с активным. Как мы видим из замечания 3.2.9 преобразование этого представления отличается от активного преобразования и не может быть сведено к преобразованию пространства V . Чтобы подчеркнуть различие, это преобразование называется **пассивным преобразованием** векторного пространства V , а представление называется **пассивным представлением**. Мы будем записывать пассивное преобразование базиса \bar{e} , порождённое элементом $g \in G$, в виде $\bar{e}g$.

4.3. Базис в аффинном пространстве

Мы отождествляем векторы аффинного пространства \mathcal{A}_n с парой точек \overrightarrow{AB} . Все векторы, которые имеют общее начало A порождают векторное пространство, которое мы будем называть касательным векторным пространством $T_A\mathcal{A}_n$.

Топология, которую \mathcal{A}_n наследует из отображения $\mathcal{A}_n \rightarrow R^n$, позволяет нам изучать непрерывные преобразования пространства \mathcal{A}_n и их производные. Более точно, производная преобразования f отображает векторное пространство $T_A\mathcal{A}_n$ в $T_{f(A)}\mathcal{A}_n$. Если f линейно, то его производная одна и та же в каждой точке. Вводя координаты A^1, \dots, A^n точки $A \in \mathcal{A}_n$, мы можем записать линейное преобразование как

$$(4.3.1) \quad A^i = P_j^i A^j + R^i \quad \det P \neq 0$$

Производная этого преобразования определена матрицей $\|P_j^i\|$ и не зависит от точки A . Вектор (R^1, \dots, R^n) выражает смещение в аффинном пространстве.

Множество преобразований (4.3.1) - это группа Ли, которую мы обозначим $GL(\mathcal{A}_n)$ и будем называть **группой аффинных преобразований**.

ОПРЕДЕЛЕНИЕ 4.3.1. Аффинный базис $\bar{e} = \langle O, \bar{e}_i \rangle$ - это множество линейно независимых векторов $\bar{e}_i = \overrightarrow{OA_i} = (e_i^1, \dots, e_i^n)$ с общей начальной точкой $O = (O^1, \dots, O^n)$. \square

ОПРЕДЕЛЕНИЕ 4.3.2. Многообразие базисов $B(\mathcal{A}_n)$ **аффинного пространства** - это множество базисов этого пространства. \square

Мы будем называть активное преобразование **аффинным преобразованием**. Мы будем называть пассивное преобразование **квазиаффинным преобразованием**.

Если мы не заботимся о начальной точке вектора, мы получим несколько отличный тип пространства, которое мы будем называть **центро-аффинным пространством** \mathcal{CA}_n . В центро-аффинном пространстве мы можем идентифицировать все касательные пространства и обозначить их $T\mathcal{CA}_n$. Если мы предположим, что начальная точка вектора - это начало O координатной системы в пространстве, то мы можем отождествить любую точку $A \in \mathcal{CA}_n$ с вектором $a = \overrightarrow{OA}$. Это ведёт к идентификации \mathcal{CA}_n и $T\mathcal{CA}_n$. Теперь преобразование - это просто отображение

$$a^i = P_j^i a^j \quad \det P \neq 0$$

и такие преобразования порождают группу Ли GL_n .

ОПРЕДЕЛЕНИЕ 4.3.3. Центро-аффинный базис $\bar{e} = \langle \bar{e}_i \rangle$ - это множество линейно независимых векторов $\bar{e}_i = (e_i^1, \dots, e_i^n)$. \square

ОПРЕДЕЛЕНИЕ 4.3.4. Многообразие базисов $B(\mathcal{CA}_n)$ **центро-аффинного пространства** - это множество базисов этого пространства. \square

4.4. Базис в евклидовом пространстве

Когда мы определяем метрику в центро-аффинном пространстве, мы получаем новую геометрию потому, что мы можем измерять расстояние и длину вектора. Если метрика положительно определена, мы будем называть пространство евклидовым \mathcal{E}_n , в противном случае мы будем называть пространство псевдоевклидовым \mathcal{E}_{nm} .

Преобразования, которые сохраняют длину, образуют группу Ли $SO(n)$ для евклидова пространства и группу Ли $SO(n, m)$ для псевдоевклидова пространства, где n и m числа положительных и отрицательных слагаемых в метрике.

ОПРЕДЕЛЕНИЕ 4.4.1. Ортонормированный базис $\bar{e} = \langle \bar{e}_i \rangle$ - это множество линейно независимых векторов $\bar{e}_i = (e_i^1, \dots, e_i^n)$ таких, что длина каждого вектора равна 1 и различные векторы ортогональны. \square

Существование ортогонального базиса доказывается с помощью процесса ортогонализации Грама-Шмидта.

ОПРЕДЕЛЕНИЕ 4.4.2. Многообразие базисов $B(\mathcal{E}_n)$ **евклидова пространства** - это множество ортонормированных базисов этого пространства. \square

Мы будем называть активное преобразование **движением**. Мы будем называть пассивное преобразование **квазидвижением**.

4.5. Геометрический объект

Активное преобразование изменяет базисы и векторы согласовано и координаты вектора относительно базиса не меняются. Пассивное преобразование меняет только базис, и это ведёт к изменению координат вектора относительно базиса.

Допустим пассивное преобразование $a \in G$, заданное матрицей (a_j^i) , отображает базис $\bar{e} = \langle e_i \rangle \in \mathcal{B}(V)$ в базис $\bar{e}' = \langle e'_i \rangle \in \mathcal{B}(V)$

$$(4.5.1) \quad e'_j = e_i a_j^i$$

Допустим вектор $v \in V$ имеет разложение

$$(4.5.2) \quad v = e_i v^i$$

относительно базиса \bar{e} и имеет разложение

$$(4.5.3) \quad v = e'_i v'^i$$

относительно базиса \bar{e}' . Из (4.5.1) и (4.5.3) следует, что

$$(4.5.4) \quad v = e_i a_j^i v'^j$$

Сравнивая (4.5.2) и (4.5.4) получаем, что

$$(4.5.5) \quad v^i = a_j^i v'^j$$

Так как a_j^i - невырожденная матрица, то из (4.5.5) следует

$$(4.5.6) \quad v'^i = a^{-1i}_j v^j$$

Преобразование координат (4.5.6) не зависит от вектора v или базиса \bar{e} , а определено исключительно координатами вектора v относительно базиса \bar{e} .

Если мы фиксируем базис \bar{e} , то множество координат (v^i) относительно этого базиса порождает векторное пространство \bar{V} , изоморфное векторному пространству V . Это векторное пространство называется **координатным векторным пространством**, а изоморфизм **координатным изоморфизмом**. Мы будем обозначать $\bar{\delta}_k = (\delta_k^i)$ образ вектора $e_k \in \bar{e}$ при этом изоморфизме.

ТЕОРЕМА 4.5.1. *Преобразования координат (4.5.6) порождают левостороннее эффективное линейное представление группы G , называемое **контравариантным представлением**.*

ДОКАЗАТЕЛЬСТВО. Допустим мы имеем два последовательных пассивных преобразования $a \in G$ и $b \in G$. Преобразование координат

$$(4.5.7) \quad v'^i = a^{-1i}_j v^j$$

соответствует пассивному преобразованию a . Преобразование координат

$$(4.5.8) \quad v''^i = b^{-1i}_j v'^j$$

соответствует пассивному преобразованию b . Произведение преобразований координат (4.5.7) и (4.5.8) имеет вид

$$(4.5.9) \quad v''^k = b^{-1k}_i a^{-1i}_j v^j = (ab)^{-1k}_j v^j$$

и является координатным преобразованием, соответствующим пассивному преобразованию ab . Это доказывает, что преобразования координат порождают контравариантное правостороннее линейное представление группы G .

Если координатное преобразование не изменяет векторы δ_k , то ему соответствует единица группы G , так как пассивное представление однотранзитивно. Следовательно, координатное представление эффективно. \square

Предположим, что гомоморфизм группы G в группу пассивных преобразований векторного пространства W согласован с группой симметрий векторного пространства V . Это означает, что пассивному преобразованию $a \in G$ векторного пространства V соответствует пассивное преобразование $A(a)$ векторного пространства W

$$(4.5.10) \quad e'_{W\alpha} = e_{W\beta} A_\alpha^\beta(a)$$

Тогда координатное преобразование в W принимает вид

$$(4.5.11) \quad w'^\alpha = A_\beta^\alpha(a^{-1})w^\beta = A^{-1\alpha}_\beta(a)w^\beta$$

ОПРЕДЕЛЕНИЕ 4.5.2. Мы будем называть орбиту

$$\mathcal{O}(V, W, \bar{e}_V, \bar{w}) = A(G)^{-1}w = (w' = A(a)^{-1}w, e'_V = e_V a, a \in G)$$

геометрическим объектом в координатном представлении, определённым в векторном пространстве V . Для любого базиса $\bar{e}'_V = \bar{e}_V a$ соответствующая точка (4.5.11) орбиты определяет **координаты геометрического объекта** относительно базиса \bar{e}'_V . \square

ОПРЕДЕЛЕНИЕ 4.5.3. Мы будем называть орбиту

$$\mathcal{O}(V, W, \bar{w}) = (e'_W w', w' = A(a)^{-1}w, e'_W = e_W A(a), a \in G)$$

геометрическим объектом, определённым в векторном пространстве V . Для любого базиса $\bar{e}'_V = \bar{e}_V a$ соответствующая точка (4.5.11) орбиты определяет **координаты геометрического объекта** относительно базиса \bar{e}'_V и соответствующий вектор

$$\bar{w} = e'_{W\alpha} w'^\alpha$$

называется **представителем геометрического объекта** в базисе \bar{e}'_V . \square

Мы будем также говорить, что w - это **геометрический объект типа A**

Так как геометрический объект - это орбита представления, то согласно теореме 3.1.11 определение геометрического объекта корректно.

Определение 4.5.2 строит геометрический объект в координатном пространстве. Определение 4.5.3 предполагает, что мы выбрали базис в векторном пространстве W . Это позволяет использовать представитель геометрического объекта вместо его координат.

ТЕОРЕМА 4.5.4. (принцип инвариантности). Представитель геометрического объекта не зависит от выбора базиса \bar{e}'_V .

ДОКАЗАТЕЛЬСТВО. Для того, чтобы представитель геометрического объекта был определён, мы должны выбрать базис \bar{e}'_V , базис $\bar{e}_W = (e_{W\alpha})$ и координаты геометрического объекта w^α . Соответствующий представитель геометрического объекта имеет вид

$$\bar{w} = e'_{W\alpha} w'^\alpha$$

Базис \bar{e}'_V связан с базисом \bar{e}_V пассивным преобразованием $a \in G$. Согласно построению это порождает пассивное преобразование (4.5.10) и координатное преобразование (4.5.11). Соответствующий представитель геометрического

объекта имеет вид

$$\bar{w}' = e'_{W\alpha} w'^\alpha = e_{W\gamma} A^\gamma_\alpha(a) A^{-1\alpha}_\beta(a) w^\beta = e_{W\beta} w^\beta = \bar{w}$$

Следовательно, представитель геометрического объекта инвариантен относительно выбора базиса. \square

ОПРЕДЕЛЕНИЕ 4.5.5. Пусть

$$\bar{w}_1 = e'_{W\alpha} w'^\alpha_1$$

$$\bar{w}_2 = e'_{W\alpha} w'^\alpha_2$$

геометрические объекты одного и того же типа, определённым в векторном пространстве V . Геометрический объект

$$\bar{w} = e_{W\alpha} (w^\alpha_1 + w^\alpha_2)$$

называется **суммой**

$$\bar{w} = \bar{w}_1 + \bar{w}_2$$

геометрических объектов \bar{w}_1 и \bar{w}_2 . \square

ОПРЕДЕЛЕНИЕ 4.5.6. Пусть

$$\bar{w}_1 = e'_{W\alpha} w'^\alpha_1$$

геометрический объект, определённый в векторном пространстве V над полем F . Геометрический объект

$$\bar{w}_2 = e_{W\alpha} (k w^\alpha_1)$$

называется **произведением**

$$\bar{w}_2 = k \bar{w}_1$$

геометрического объекта w_1 и константы $k \in F$. \square

ТЕОРЕМА 4.5.7. Геометрические объекты типа A , определённые в векторном пространстве V над полем F , образуют векторное пространство над полем F .

ДОКАЗАТЕЛЬСТВО. Утверждение теоремы следует из непосредственной проверки свойств векторного пространства. \square

Система отсчёта в пространстве событий

5.1. Система отсчёта на многообразии

Мы показали в разделе 4.1, что многообразие базисов векторного пространства можно отождествить с группой симметрий этого пространства. Нас не интересовали детали строения репера, и изложенная теория может быть обобщена и перенесена на произвольное многообразие. В этом разделе мы обобщаем определение базиса и определяем систему отсчёта на многообразии. В случае пространства событий общей теории относительности это ведёт нас к естественному определению системы отсчёта и преобразования Лоренца. Мы предполагаем, что касательное пространство к рассматриваемому многообразию является векторным пространством V конечной размерности n .

ОПРЕДЕЛЕНИЕ 5.1.1. *Множество векторных полей $e_{(i)}$, $i = 1, \dots, n$, порождает **G-систему отсчёта** $\bar{e} = \langle e_{(i)}, i = 1, \dots, n \rangle$ на многообразии V , если для любого $x \in V$ множество $\bar{e}(x) = \langle e_{(i)}(x), i = 1, \dots, n \rangle$ является G -базисом^{5.1} в касательном пространстве T_x .^{5.2} Мы будем пользоваться обозначением $e_{(i)} \in \bar{e}$ для векторных полей, порождающих G -систему отсчёта \bar{e} . \square*

Мы также пользуемся записью $\bar{e} = (e_{(k)}, e^{(k)})$ для представления системы отсчёта на многообразии, где мы задаём множество векторных полей $e_{(k)}$ и двойственных им форм $e^{(k)}$ таких, что в каждой точке

$$(5.1.1) \quad e^{(k)}(e_{(l)}) = \delta_{(l)}^{(k)}$$

Равенство (5.1.1) определяет формы $e^{(k)}$ однозначно.

В каждой точке многообразия мы также рассмотрим **координатную систему отсчёта** $\bar{\partial} = \langle \partial_i \rangle$, определённую векторными полями, касательными к линиям $x^i = \text{const}$. Мы также пользуемся представлением координатной системы отсчёта на многообразии в виде (∂_i, dx^i) где мы задаём множество векторных полей ∂_i и двойственных им форм dx^i таких, что в каждой точке

$$(5.1.2) \quad dx^k(\partial_l) = \delta_l^k$$

Эти системы отсчёта связаны отношением

$$(5.1.3) \quad e_{(k)} = e_{(k)}^i \partial_i$$

$$(5.1.4) \quad e^{(k)} = e_i^{(k)} dx^i$$

^{5.1} Согласно разделу 4.1 мы можем отождествить базис $\bar{e}(x)$ с элементом группы G .

^{5.2} Существование на многообразии G -системы отсчёта требует доказательства в каждом случае.

Из равенств (5.1.3), (5.1.4), (5.1.1) следует

$$(5.1.5) \quad e_i^{(k)} e_{(l)}^i = \delta_{(l)}^{(k)}$$

ТЕОРЕМА 5.1.2. Системы отсчёта \bar{e} и $\bar{\partial}$ связаны преобразованием

$$(5.1.6) \quad e_{(i)} = e_{(i)}^k \partial_k \quad \partial_k = e_k^{(i)} e_{(i)}$$

$$(5.1.7) \quad e^{(k)} = e_i^{(k)} dx^i \quad dx^i = e_{(k)}^i e^{(k)}$$

где

$$(5.1.8) \quad e_{(i)}^k e_k^{(j)} = \delta_{(i)}^{(j)}$$

ДОКАЗАТЕЛЬСТВО. Векторное поле a имеет разложение относительно рассматриваемых систем отсчёта

$$(5.1.9) \quad a = a^i \partial_i = a^{(i)} e_{(i)}$$

где a^i - **голономные координаты** относительно координатной системы отсчёта $\bar{\partial}$ и $a^{(i)}$ - **неголономные координаты** относительно системы отсчёта \bar{e} .

Мы получаем равенство (5.1.6), если рассматриваем координаты векторного поля $e_{(i)}$ относительно системы отсчёта $\bar{\partial}$ и координаты векторного поля ∂_k относительно системы отсчёта \bar{e} . Так как векторы $e_{(i)}$ линейно независимы в каждой точке, матрица $\|e_{(i)}^k\|$ невырождена. Так как векторы ∂_k линейно независимы в каждой точке, матрица $\|e_k^{(i)}\|$ невырождена. Из равенств (5.1.6) следует, что

$$(5.1.10) \quad e_{(i)} = e_{(i)}^k \partial_k = e_{(i)}^k e_k^{(j)} e_{(j)}$$

Равенство (5.1.8) следует из равенства (5.1.10). Из равенств (5.1.6), (5.1.9) следует, что

$$(5.1.11) \quad a^k \partial_k = a^k e_k^{(i)} e_{(i)} = a^{(i)} e_{(i)}$$

Равенство

$$(5.1.12) \quad a^{(i)} = a^k e_k^{(i)}$$

следует из равенства (5.1.11). Равенство

$$(5.1.13) \quad e^{(k)}(a) = e^{(k)}(a^{(l)} e_{(l)}) = a^{(l)} e^{(k)}(e_{(l)}) = a^{(l)} \delta_{(l)}^{(k)} = a^{(k)}$$

следует из равенств (5.1.1), (5.1.9). Равенство

$$(5.1.14) \quad dx^k(a) = dx^k(a^l \partial_l) = a^l dx^k(\partial_l) = a^l \delta_l^k = a^k$$

следует из равенств (5.1.2), (5.1.9). Равенство (5.1.7) следует из равенств (5.1.12), (5.1.13), (5.1.14). \square

5.2. Система отсчёта в пространстве событий

Начиная с этого раздела, мы будем рассматривать ортогональную систему отсчёта $\bar{e} = (e_{(k)}, e^{(k)})$ в римановом пространстве с метрическим тензором g_{ij} . Согласно определению, в каждой точке риманова пространства векторные поля ортогональной системы отсчёта удовлетворяют соотношению

$$g_{ij} e_{(k)}^i e_{(l)}^j = g_{(k)(l)}$$

где $g_{(k)(l)} = 0$, если $(k) \neq (l)$, и $g_{(k)(k)} = 1$ или $g_{(k)(k)} = -1$ в зависимости от сигнатуры метрики.

Мы можем определить **систему отсчёта в пространстве событий** V как $O(3, 1)$ -систему отсчёта. Для нумерации векторов мы пользуемся индексом $k = 0, \dots, 3$. Индекс $k = 0$ соответствует времени подобному векторному полю.

ЗАМЕЧАНИЕ 5.2.1. Мы можем доказать существование системы отсчёта, пользуясь процедурой ортогонализации в каждой точке пространства времени. Из той же процедуры мы видим, что координаты базиса непрерывно зависят от точки.

Непрерывное поле времениподобных векторов каждого базиса определяет конгруэнцию линий, касательных этому полю. Мы будем говорить, что каждая из этих линий является мировой линией наблюдателя или **локальной системой отсчёта**. Следовательно, система отсчёта - это множество локальных систем отсчёта. \square

Мы определяем **преобразование Лоренца** как преобразование системы отсчёта

$$(5.2.1) \quad \begin{aligned} x'^i &= f^i(x^0, x^1, x^2, x^3) \\ e'^i_{(k)} &= a_j^i b_{(k)}^{(l)} e^j_{(l)} \end{aligned}$$

где

$$\begin{aligned} a_j^i &= \frac{\partial x'^i}{\partial x'^j} \\ \delta_{(i)(l)} b_{(j)}^{(i)} b_{(k)}^{(l)} &= \delta_{(j)(k)} \end{aligned}$$

Мы будем называть преобразование a_j^i голономной частью и преобразование $b_{(k)}^{(l)}$ неголономной частью.

5.3. Неголономные координаты

Пусть $E(V, G, \pi)$ - главное расслоение, где V - дифференцируемое многообразие размерности n и класса не меньше, чем 2. Мы также положим, что G - группа симметрии касательной плоскости.

Мы определим форму связности на главном расслоении

$$(5.3.1) \quad \omega^L = \lambda_N^L da^N + \Gamma_i^L dx^i \quad \omega = \lambda_N da^N + \Gamma dx$$

Мы называем функции Γ_i компонентами связности.

Если слой является группой $GL(n)$, то связность имеет вид

$$(5.3.2) \quad \begin{aligned} \omega_b^a &= \Gamma_{bc}^a dx^c \quad \omega = \Gamma dx \\ \Gamma_i^A &= \Gamma_{bi}^a \end{aligned}$$

Векторное поле a имеет два вида координат: **голономные координаты** a^i относительно координатной системы отсчёта и **неголономные координаты** $a^{(i)}$ относительно системы отсчёта. Эти два вида координат так же следуют отношению

$$(5.3.3) \quad a^i(x) = e^i_{(i)}(x)a^{(i)}(x)$$

в любой точке x .

Мы можем изучать параллельный перенос векторных полей, пользуясь любой формой координат. Так как (5.2.1) - линейное преобразование, мы ожидаем, что параллельный перенос в неголономных координатах имеет такое же представление, как в голономных координатах. Таким образом мы запишем

$$\begin{aligned} da^k &= -\Gamma^k_{ij}a^i dx^j \\ da^{(k)} &= -\Gamma^{(k)}_{(i)(j)}a^{(i)} dx^{(j)} \end{aligned}$$

Необходимо установить связь между **голономными координатами связности** Γ^k_{ij} и **неголономными координатами связности** $\Gamma^{(k)}_{(i)(j)}$

$$(5.3.4) \quad a^i(x+dx) = a^i(x) + da^i = a^i(x) - \Gamma^i_{kp}a^k(x)dx^p$$

$$(5.3.5) \quad a^{(i)}(x+dx) = a^{(i)}(x) + da^{(i)} = a^{(i)}(x) - \Gamma^{(i)}_{(k)(p)}a^{(k)}(x)dx^{(p)}$$

Предполагая (5.3.4), (5.3.5) и (5.3.3), мы получим

$$(5.3.6) \quad \begin{aligned} &a^i(x) - \Gamma^i_{kp}a^k(x)dx^p \\ &= e^i_{(i)}(x+dx) \left(a^{(i)}(x) - \Gamma^{(i)}_{(k)(p)}e_i^{(k)}(x)a^i(x)e_p^{(p)}(x)dx^p \right) \end{aligned}$$

Из (5.3.6) следует, что

$$\begin{aligned} \Gamma^{(i)}_{(k)(p)}e_i^{(k)}(x)e_p^{(p)}(x)a^i(x)dx^p &= a^{(i)}(x) - e_i^{(i)}(x+dx) \left(a^i(x) - \Gamma^i_{kp}a^k(x)dx^p \right) \\ &= a^i(x)e_i^{(i)}(x) - e_i^{(i)}(x+dx) \left(a^i(x) - \Gamma^i_{kp}a^k(x)dx^p \right) \\ &= a^i(x) \left(e_i^{(i)}(x) - e_i^{(i)}(x+dx) \right) + e_j^{(i)}(x)\Gamma^j_{ip}a^i(x)dx^p \\ &= e_j^{(i)}(x)\Gamma^j_{ip}a^i(x)dx^p - a^i(x)\frac{\partial e_i^{(i)}(x)}{\partial x^p}dx^p \\ &= \left(e_j^{(i)}(x)\Gamma^j_{ip} - \frac{\partial e_i^{(i)}(x)}{\partial x^p} \right) a^i(x)dx^p \end{aligned}$$

Так как $a^i(x)$ и dx^p произвольны, мы имеем

$$(5.3.7) \quad \begin{aligned} \Gamma^{(i)}_{(k)(p)}e_i^{(k)}(x)e_p^{(p)}(x) &= e_j^{(i)}(x)\Gamma^j_{ip} - \frac{\partial e_i^{(i)}(x)}{\partial x^p} \\ \Gamma^{(i)}_{(k)(p)} &= e^i_{(k)}e^p_{(p)}e_j^{(i)}\Gamma^j_{ip} - e^i_{(k)}e^p_{(p)}\frac{\partial e_i^{(i)}}{\partial x^p} \end{aligned}$$

Мы определим символический оператор

$$(5.3.8) \quad \frac{\partial}{\partial x^{(p)}} = e^p_{(p)}\frac{\partial}{\partial x^p}$$

Из (5.1.5) следует

$$(5.3.9) \quad e_i^i \frac{\partial e_i^{(k)}}{\partial x^p} + e_i^{(k)} \frac{\partial e_i^i}{\partial x^p} = 0$$

Равенства

$$(5.3.10) \quad \frac{\partial e_i^{(k)}}{\partial x^p} = -e_j^{(k)} e_i^{(l)} \frac{\partial e_l^j}{\partial x^p}$$

$$(5.3.11) \quad \frac{\partial e_l^j}{\partial x^p} = -e_{(k)}^j e_{(l)}^i \frac{\partial e_i^{(k)}}{\partial x^p}$$

являются следствием равенства (5.3.9). Подставим (5.3.8) и (5.3.10) в (5.3.7)

$$(5.3.12) \quad \Gamma_{(k)(p)}^{(i)} = e_{(k)}^i e_{(p)}^r e_j^{(i)} \Gamma_{ir}^j - e_i^{(i)} \frac{\partial e_i^{(k)}}{\partial x^{(p)}}$$

Равенство (5.3.12) показывает некоторое сходство между голономными и неголономными координатами. Мы определим символ $\partial_{(k)}$ для производной вдоль векторных полей $e_{(k)}$

$$\partial_{(k)} = e_{(k)}^i \partial_i$$

Тогда (5.3.12) принимает форму

$$\Gamma_{(l)(p)}^{(k)} = e_{(l)}^i e_{(p)}^r e_j^{(k)} \Gamma_{ir}^j - e_i^{(k)} \partial_{(p)} e_i^{(k)}$$

Следовательно, когда мы переходим от голономных координат к неголономным, преобразование связности подобно преобразованию при переходе от одной координатной системы к другой. Это приводит нас к модели неголономных координат.

Векторные поля $e_{(k)}$ порождают кривые, определённые дифференциальными уравнениями

$$e_{(l)}^j \frac{\partial t}{\partial x^j} = \delta_{(l)}^{(k)}$$

или символической системой

$$(5.3.13) \quad \frac{\partial t}{\partial x^{(l)}} = \delta_{(l)}^{(k)}$$

Имея в виду символическую систему (5.3.13), мы обозначим функционал t посредством $x^{(k)}$ и будем называть его **неголономной координатой**. Мы будем называть обычные координаты голономными.

Отсюда мы можем найти производную и получить

$$(5.3.14) \quad \frac{\partial x^{(i)}}{\partial x^k} = e_k^{(i)}$$

Необходимое и достаточное условие полной интегрируемости системы дифференциальных уравнений (5.3.14) - это равенство

$$c_{kl}^{(i)} = 0$$

где мы вводим **объект неголономности**

$$(5.3.15) \quad c_{kl}^{(i)} = \frac{\partial e_k^{(i)}}{\partial x^l} - \frac{\partial e_l^{(i)}}{\partial x^k}$$

$$(5.3.16) \quad c_{(k)(l)}^{(i)} = e_{(k)}^k e_{(l)}^l c_{kl}^{(i)}$$

ТЕОРЕМА 5.3.1. *Любая система отсчёта имеет n векторных полей*

$$(5.3.17) \quad \partial_{(k)} = \frac{\partial}{\partial x^{(k)}} = e^i_{(k)} \partial_i$$

которые имеют коммутатор

$$(5.3.18) \quad [\partial_{(i)}, \partial_{(j)}] = -c_{(i)(j)}^{(m)} \partial_{(m)}$$

ДОКАЗАТЕЛЬСТВО. Равенство

$$(5.3.19) \quad \begin{aligned} [\partial_{(i)}, \partial_{(j)}] &= e^i_{(i)} \partial_i (e^j_{(j)} \partial_j) - e^j_{(j)} \partial_j (e^i_{(i)} \partial_i) \\ &= e^i_{(i)} \partial_i e^j_{(j)} \partial_j - e^j_{(j)} \partial_j e^i_{(i)} \partial_i + e^i_{(i)} e^j_{(j)} \partial_i \partial_j - e^j_{(j)} e^i_{(i)} \partial_j \partial_i \end{aligned}$$

является следствием равенства (5.3.17). Так как

$$\partial_i \partial_j - \partial_j \partial_i = 0$$

то равенство

$$(5.3.20) \quad \begin{aligned} [\partial_{(i)}, \partial_{(j)}] &= e^i_{(i)} \partial_i e^k_{(j)} \partial_k - e^j_{(j)} \partial_j e^k_{(i)} \partial_k \\ &= (e^i_{(i)} \partial_i e^k_{(j)} - e^j_{(j)} \partial_j e^k_{(i)}) \partial_k \\ &= (-e^i_{(i)} e^k_{(k)} e^j_{(j)} \partial_i e_j^{(k)} + e^j_{(j)} e^k_{(k)} e^i_{(i)} \partial_j e_i^{(k)}) \partial_k \\ &= e^j_{(j)} e^i_{(i)} (\partial_j e_i^{(k)} - \partial_i e_j^{(k)}) \partial_{(k)} \end{aligned}$$

является следствием равенств (5.3.11), (5.3.17), (5.3.19). Равенство (5.3.18) является следствием равенств (5.3.15), (5.3.16), (5.3.20). \square

По той же причине мы определяем форму

$$dx^{(k)} = e^{(k)} = e_i^{(k)} dx^i$$

и внешний дифференциал этой формы имеет вид

$$(5.3.21) \quad \begin{aligned} d^2 x^{(k)} &= d(e_i^{(k)} dx^i) \\ &= (\partial_j e_i^{(k)} - \partial_i e_j^{(k)}) dx^i \wedge dx^j \\ &= c_{ij}^{(k)} dx^i \wedge dx^j = c_{(m)(l)}^{(k)} dx^{(m)} \wedge dx^{(l)} \end{aligned}$$

Следовательно, когда $c_{(k)(l)}^{(i)} \neq 0$, дифференциал $dx^{(k)}$ не является точным дифференциалом и система дифференциальных уравнений (5.3.14) вообще говоря не может быть интегрируемой. Тем не менее, мы можем построить реальный объект, который моделирует решение. Мы можем изучать, как функция $x^{(i)}$ изменяется вдоль разных кривых. Мы будем называть такие координаты **неголономными координатами на многообразии**.

ЗАМЕЧАНИЕ 5.3.2. *Функция $x^{(i)}$ является натуральным параметром вдоль кривой потока векторных полей $\bar{e}_{(i)}$. Пример такой функции мы рассмотрим в разделе 6.1. Собственное время определено вдоль мировой линии локальной системы отсчёта. Как мы видели в замечании 5.2.1 всё пространство пронизано мировыми линиями локальных систем. Чтобы собственное время локальных систем могло быть временем системы отсчёта, мы ожидаем, что собственное время непрерывно изменяется от точки к точке. Для синхронизации часов локальных систем отсчёта мы пользуемся классической процедурой обмена световыми сигналами.*

На первый взгляд возникает ощущение, что нельзя синхронизировать часы, чего мы не наблюдаем на практике. Мы допускаем, что синхронизация возможна до тех пор, пока мы определяем время вдоль незамкнутых кривых. Синхронизация нарушается, когда мы пытаемся синхронизировать часы вдоль замкнутой кривой.

С точки зрения математики – это проблема интегрирования дифференциальной формы. А именно, изменение функции вдоль петли имеет вид

$$\begin{aligned}
 \Delta x^{(i)} &= \oint dx^{(i)} \\
 (5.3.22) \quad &= \int \int c_{(k)(l)}^{(i)} dx^{(k)} \wedge dx^{(l)} \\
 &= \int \int c_{(k)(l)}^{(i)} e_k^{(k)} e_l^{(l)} dx^k \wedge dx^l
 \end{aligned}$$

Это означает неоднозначность определения неголономной координаты. \square

Начиная с этого места, мы не будем делать различия между голономными и неголономными координатами. Мы так же будем обозначать $b_{(k)}^{(l)}$ как $a^{-1(l)}_{(k)}$ в преобразовании Лоренца (5.2.1).

Хотя форма $dx^{(k)}$ не является точным дифференциалом, нетрудно убедиться, что форма $d^2x^{(k)}$ является внешним дифференциалом формы $dx^{(k)}$. Следовательно,

$$(5.3.23) \quad d^3x^{(k)} = 0$$

Мы можем представить внешний дифференциал формы, записанной в неголономных координатах, в виде

$$\begin{aligned}
 &d(a_{(i_1)\dots(i_n)} dx^{(i_1)} \wedge \dots \wedge dx^{(i_n)}) \\
 &= a_{(i_1)\dots(i_n),p} dx^p \wedge dx^{(i_1)} \wedge \dots \wedge dx^{(i_n)} \\
 &\quad - a_{(i_1)\dots(i_n)} ddx^{(i_1)} \wedge \dots \wedge dx^{(i_n)} - \dots - (-1)^{n-1} a_{(i_1)\dots(i_n)} dx^{(i_1)} \wedge \dots \wedge ddx^{(i_n)} \\
 &= a_{(i_1)\dots(i_n),(p)} e_p^{(p)} e_r^{(r)} dx^{(r)} \wedge dx^{(i_1)} \wedge \dots \wedge dx^{(i_n)} \\
 &\quad - a_{(i_1)\dots(i_n)} c_{(p)(r)}^{(i_1)} dx^{(p)} \wedge dx^{(r)} \wedge \dots \wedge dx^{(i_n)} - \dots \\
 &\quad - (-1)^{n-1} a_{(i_1)\dots(i_n)} dx^{(i_1)} \wedge \dots \wedge c_{(p)(r)}^{(i_n)} dx^{(p)} \wedge dx^{(r)} \\
 &= (a_{(i_1)\dots(i_n),(p)} - a_{(r)\dots(i_n)} c_{(p)(i_1)}^{(r)} - \dots - a_{(i_1)\dots(r)} c_{(p)(i_n)}^{(r)}) dx^{(p)} \wedge dx^{(i_1)} \wedge \dots \wedge dx^{(i_n)}
 \end{aligned}$$

В случае формы $d^3x^{(k)}$ мы получим равенство

$$\begin{aligned}
 (5.3.24) \quad &d(c_{(i)(j)}^{(k)} dx^{(i)} \wedge dx^{(j)}) \\
 &= (c_{(i)(j),(p)}^{(k)} - c_{(r)(j)}^{(k)} c_{(p)(i)}^{(r)} - c_{(i)(r)}^{(k)} c_{(p)(j)}^{(r)}) dx^{(p)} \wedge dx^{(i)} \wedge dx^{(j)}
 \end{aligned}$$

Из равенств (5.3.23) и (5.3.24) следует

$$(5.3.25) \quad (c_{(i)(j),(p)}^{(k)} - c_{(r)(j)}^{(k)} c_{(p)(i)}^{(r)} - c_{(i)(r)}^{(k)} c_{(p)(j)}^{(r)}) dx^{(p)} \wedge dx^{(i)} \wedge dx^{(j)} = 0$$

Нетрудно убедиться, что

$$\begin{aligned}
 (5.3.26) \quad & (-c_{(r)(j)}^{(k)} c_{(p)(i)}^{(r)} - c_{(i)(r)}^{(k)} c_{(p)(j)}^{(r)}) dx^{(i)} \wedge dx^{(j)} \\
 & = (-c_{(r)(j)}^{(k)} c_{(p)(i)}^{(r)} + c_{(r)(i)}^{(k)} c_{(p)(j)}^{(r)}) dx^{(i)} \wedge dx^{(j)} \\
 & = -2c_{(r)(j)}^{(k)} c_{(p)(i)}^{(r)} dx^{(i)} \wedge dx^{(j)}
 \end{aligned}$$

Подставив (5.3.26) в (5.3.25), получим

$$(5.3.27) \quad (c_{(i)(j),(p)}^{(k)} - 2c_{(r)(j)}^{(k)} c_{(p)(i)}^{(r)}) dx^{(p)} \wedge dx^{(i)} \wedge dx^{(j)} = 0$$

Из (5.3.27) следует

$$\begin{aligned}
 (5.3.28) \quad & c_{(i)(j),(p)}^{(k)} + c_{(j)(p),(i)}^{(k)} + c_{(p)(i),(j)}^{(k)} \\
 & = 2c_{(r)(j)}^{(k)} c_{(p)(i)}^{(r)} + 2c_{(r)(p)}^{(k)} c_{(i)(j)}^{(r)} + 2c_{(r)(i)}^{(k)} c_{(j)(p)}^{(r)}
 \end{aligned}$$

5.4. Метрико-аффинное многообразие

При выводе уравнений гравитационного поля ([20], §93, [22], §21.2), предполагается, что метрический тензор g^{ij} и связность Γ_{ij}^k независимы. Однако мы предполагаем симметричность метрического тензора и связности. При выводе уравнений гравитационного поля мы получаем связь

$$(5.4.1) \quad g_{,k}^{ij} + \Gamma_{pk}^i g^{pj} + \Gamma_{pk}^j g^{ip} = 0$$

В квантовой механике измерение компонент метрического тензора и связности содержит ошибку. Если мы предположим, что связность не симметрична, то уравнение (5.4.1) может оказаться неверным.

Так как ковариантная производная метрического тензора может быть отлична от 0, мы вводим **неметричность**

$$\begin{aligned}
 -Q_{kij} & = g_{ij;k} = g_{ij,k} - \Gamma_{ik}^p g_{pj} - \Gamma_{jk}^p g_{pi} \\
 & = g_{ij,k} - \Gamma_{ik}^p g_{pj} - \Gamma_{kj}^p g_{pi} - S_{jk}^p g_{pi}
 \end{aligned}$$

Перенесём производную g и кручение в левую часть.

$$(5.4.2) \quad g_{ij,k} + Q_{kij} - S_{jk}^p g_{pi} = \Gamma_{ik}^p g_{pj} + \Gamma_{kj}^p g_{pi}$$

Меняя порядок индексов, мы запишем ещё два уравнения

$$(5.4.3) \quad g_{jk,i} + Q_{ijk} - S_{ki}^p g_{pj} = \Gamma_{ji}^p g_{pk} + \Gamma_{ik}^p g_{pj}$$

$$(5.4.4) \quad g_{ki,j} + Q_{jki} - S_{ij}^p g_{pk} = \Gamma_{kj}^p g_{pi} + \Gamma_{ji}^p g_{pk}$$

Если мы вычтем равенство (5.4.2) из суммы равенств (5.4.3) и (5.4.4), то мы получим

$$g_{ki,j} + g_{jk,i} - g_{ij,k} + Q_{ijk} + Q_{jki} - Q_{kij} - S_{ij}^p g_{pk} - S_{ki}^p g_{pj} + S_{jk}^p g_{pi} = 2\Gamma_{ji}^p g_{pk}$$

Окончательно мы получаем

$$\Gamma_{ji}^p = \frac{1}{2} g^{pk} (g_{ki,j} + g_{jk,i} - g_{ij,k} + Q_{ijk} + Q_{jki} - Q_{kij} - S_{ij}^r g_{rk} - S_{ki}^r g_{rj} + S_{jk}^r g_{ri})$$

В случае связности (5.3.2) мы определим **форму кручения**

$$(5.4.5) \quad T^a = d^2 x^a + \omega_b^a \wedge dx^b$$

Из (5.3.2) следует

$$(5.4.6) \quad \omega_b^a \wedge dx^b = (\Gamma_{bc}^a - \Gamma_{cb}^a) dx^c \wedge dx^b$$

Подставляя (5.4.6) и (5.3.21) в (5.4.5) мы получим

$$(5.4.7) \quad T^a = T_{cb}^a dx^c \wedge dx^b = -c_{cb}^a dx^c \wedge dx^b + (\Gamma_{bc}^a - \Gamma_{cb}^a) dx^c \wedge dx^b$$

где мы определили **тензор кручения**

$$(5.4.8) \quad T_{cb}^a = \Gamma_{bc}^a - \Gamma_{cb}^a - c_{cb}^a$$

Форма кривизны для связности (5.3.2) is

$$(5.4.9) \quad \Omega_c^a = d\omega_c^a + \omega_b^a \wedge \omega_c^b$$

где мы определим объект кривизны

$$(5.4.10) \quad R_{bij}^a = \partial_i \Gamma_{bj}^a - \partial_j \Gamma_{bi}^a + \Gamma_{ci}^a \Gamma_{bj}^c - \Gamma_{cj}^a \Gamma_{bi}^c + \Gamma_{bk}^a c_{ij}^k$$

Мы определим тензор Ричи

$$R_{bj} = R_{baj}^a = \partial_a \Gamma_{bj}^a - \partial_j \Gamma_{ba}^a + \Gamma_{ca}^a \Gamma_{bj}^c - \Gamma_{cj}^a \Gamma_{ba}^c + \Gamma_{bk}^a c_{aj}^k$$

Коммутатор вторых производных имеет вид

$$(5.4.11) \quad \xi_{;cb}^a - \xi_{;bc}^a = R_{dbc}^a \xi^d - T_{bc;p}^p \xi^a$$

Так как производная метрического тензора не равна 0, мы не можем поднимать или опускать индекс тензора внутри производной как мы это делаем в обычном римановом пространстве. Теперь эта операция принимает следующий вид

$$a_{;k}^i = g^{ij} a_{j;k} + g_{;k}^{ij} a_j$$

Это равенство для метрического тензора принимает следующий вид

$$g_{;k}^{ab} = -g^{ai} g^{bj} g_{ij;k}$$

ОПРЕДЕЛЕНИЕ 5.4.1. Мы будем называть риманово пространство с кручением и неметричностью метрико-аффинным многообразием [12]. \square

Если мы изучаем подмногообразие V_n многообразия V_{n+m} , мы видим, что имерсия порождает связность $\Gamma_{\beta\gamma}^\alpha$, которая связана со связностью в многообразии соотношением

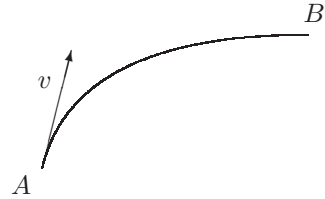
$$\Gamma_{\beta\gamma}^\alpha e_\alpha^l = \Gamma_{mk}^l e_\beta^m e_\gamma^k + \frac{\partial e_\beta^l}{\partial u^\gamma}$$

Следовательно, не существует непрерывного вложения пространства с кручением в риманово пространство.

5.5. Геометрический смысл кручения

Ниже мы рассмотрим модель аффинного пространства в метрико-аффинном многообразии.

В римановом пространстве, мы пользуемся геодезическими вместо прямых. Поэтому вектор v мы можем представить с помощью отрезка AB геодезической L_v при условии, что вектор v касается геодезической L_v в точке A и длина отрезка AB равна длине вектора v .



Это определение позволяет отождествить вектор v и отрезок AB геодезической L_v .

Для заданных векторов v и w в касательной плоскости к точке A , мы будем полагать $\rho > 0$ - длина вектора v и $\sigma > 0$ - длина вектора w . Пусть V - единичный вектор, коллинеарный вектору v

$$(5.5.1) \quad V^k \rho = v^k$$

Пусть W - единичный вектор, коллинеарный вектору w

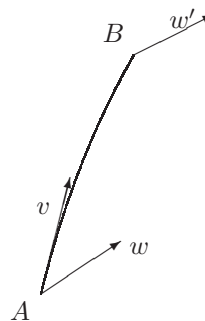
$$(5.5.2) \quad W^k \sigma = w^k$$



Мы проведём геодезическую L_v через точку A , используя вектор v как касательный вектор к L_v в точке A . Пусть τ - канонический параметр на L_v и

$$\frac{dx^k}{d\tau} = V^k$$

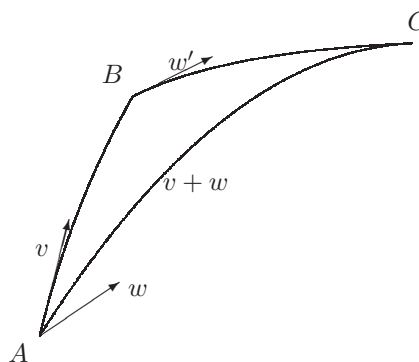
Мы перенесём вектор w вдоль геодезической L_v из точки A в точку B , определённую значением параметра $\tau = \rho$. Мы обозначим результат w' .



Мы проведём геодезическую $L_{w'}$ через точку B , используя вектор W' как касательный вектор к $L_{w'}$ в точке B . Пусть φ' - канонический параметр на $L_{w'}$ и

$$\frac{dx^k}{d\varphi'} = W'^k$$

Мы определим точку C на геодезической $L_{w'}$ значением параметра $\varphi' = \sigma$



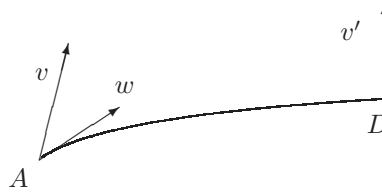
Я полагаю, что длина векторов v и w мала. Тогда существует единственная геодезическая L_u из точки A в точку C . Я буду отождествлять отрезок AC геодезической L_u и вектор $v + w$.

Аналогичным образом я строю треугольник ADE , чтобы определить вектор $w + v$.

Мы проведём геодезическую L_w через точку A , используя вектор w как касательный вектор к L_w в точке A . Пусть φ - канонический параметр на L_w и

$$\frac{dx^k}{d\varphi} = W^k$$

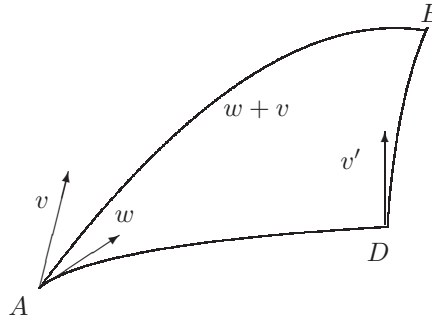
Мы перенесём вектор v вдоль геодезической L_w из точки A в точку D , определённую значением параметра $\varphi = \sigma$. Мы обозначим результат v' .



Мы проведём геодезическую $L_{v'}$ через точку D , используя вектор v' как касательный вектор к $L_{v'}$ в точке D . Пусть τ' - канонический параметр на $L_{v'}$ и

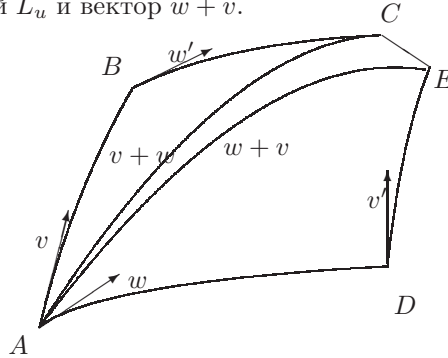
$$\frac{dx^k}{d\tau'} = V'^k$$

Мы определим точку E на геодезической $L_{v'}$ значением параметра $\tau' = \rho$



Существует единственная геодезическая L_u из точки A в точку E . Я буду отождествлять отрезок AE геодезической L_u и вектор $w + v$.

Формально линии AB и DE так же, как линии AD и BC , параллельны. Длины отрезков AB и DE равны так же, как длины отрезков AD и BC равны. Мы называем такую фигуру **параллелограммом**, построенным на векторах v и w с вершиной в точке A .



ЛЕММА 5.5.1. Пусть L_v - геодезическая через точку A и вектор v - касательный вектор к L_v в точке A . Приращение координаты x^k вдоль геодезической L_v имеет вид

$$(5.5.3) \quad \Delta x^k = \frac{dx^k}{d\tau} \tau - \frac{1}{2} \Gamma_{mn}^k \frac{dx^m}{d\tau} \frac{dx^n}{d\tau} \tau^2 + O(\tau^2)$$

где τ - канонический параметр и мы вычисляем производные и компоненты Γ_{mn}^k в начальной точке.

ДОКАЗАТЕЛЬСТВО. Система дифференциальных уравнений геодезической L_v имеет вид

$$(5.5.4) \quad \frac{d^2 x^i}{d\tau^2} = -\Gamma_{kl}^i \frac{dx^k}{d\tau} \frac{dx^l}{d\tau}$$

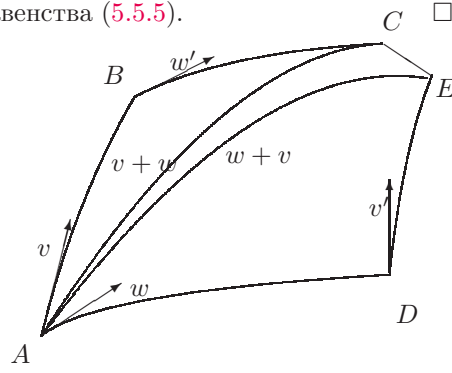
Мы можем записать решение системы дифференциальных уравнений (5.5.4) в виде ряда Тейлора

$$(5.5.5) \quad \begin{aligned} \Delta x^k &= \frac{dx^k}{d\tau} \tau + \frac{1}{2} \frac{d^2 x^k}{d\tau^2} \tau^2 + O(\tau^2) = \\ &= \frac{dx^k}{d\tau} \tau - \frac{1}{2} \Gamma_{mn}^k \frac{dx^m}{d\tau} \frac{dx^n}{d\tau} \tau^2 + O(\tau^2) \end{aligned}$$

Равенство (5.5.3) является следствием равенства (5.5.5). \square

ТЕОРЕМА 5.5.2. *Предположим $CBADE$ - параллелограм с вершиной в точке A ; тогда построенная фигура не будет замкнута [17]. Величина различия координат точек C и E равна поверхностному интегралу кручения над этим параллелограммом*

$$\Delta_{CE} x^k = \iint \Gamma_{mn}^k dx^m \wedge dx^n$$



ДОКАЗАТЕЛЬСТВО. Согласно лемме 5.5.1, приращение координаты x^k вдоль геодезической L_v имеет следующий вид ^{5.3}

$$\Delta_{AB} x^k = \iint \Gamma_{mn}^k dx^m \wedge dx^n$$

$$\Delta_{AB} x^k = V^k \rho - \frac{1}{2} \Gamma_{mn}^k(A) V^m V^n \rho^2 + O(\rho^2)$$

и приращение координаты x^k вдоль геодезической $L_{w'}$ имеет следующий вид

$$(5.5.6) \quad \Delta_{BC} x^k = W'^k \sigma - \frac{1}{2} \Gamma_{mn}^k(B) W'^m W'^n \sigma^2 + O(\sigma^2)$$

Здесь

$$(5.5.7) \quad \begin{aligned} W'^k &= W^k - \Gamma_{mn}^k(A) W^m \Delta_{AB} x^n + O(dx) \\ &= W^k - \Gamma_{mn}^k(A) W^m V^n \rho + O(\rho) \end{aligned}$$

результат параллельного переноса вектора w из A в B и

$$(5.5.8) \quad \begin{aligned} \Gamma_{mn}^k(B) &= \Gamma_{mn}^k(A) + \partial_p \Gamma_{mn}^k(B) \Delta_{AB} x^p \\ &= \Gamma_{mn}^k(A) + \partial_p \Gamma_{mn}^k(B) V^p \rho \end{aligned}$$

с точностью до малой первого порядка. Подставляя (5.5.7), (5.5.8) в (5.5.6), мы получим

$$\Delta_{BC} x^k = W^k \sigma - \Gamma_{mn}^k(A) W^m V^n \sigma \rho - \frac{1}{2} \Gamma_{mn}^k(A) W^m W^n \sigma^2 + O(\rho^2)$$

^{5.3} Доказательство этого утверждения я нашёл в [25]

Общее приращение координаты x^K вдоль пути ABC имеет вид

$$\begin{aligned}
 \Delta_{ABC}x^k &= \Delta_{AB}x^k + \Delta_{BC}x^k \\
 (5.5.9) \quad &= V^k\rho + W^k\sigma - \Gamma_{mn}^k(A)W^mV^n\sigma\rho - \\
 &\quad - \frac{1}{2}\Gamma_{mn}^k(A)W^mW^n\sigma^2 - \frac{1}{2}\Gamma_{mn}^k(A)V^mV^n\rho^2 + O(dx^2)
 \end{aligned}$$

Аналогично общее приращение координаты x^K вдоль пути ADE имеет вид

$$\begin{aligned}
 \Delta_{ADE}x^k &= \Delta_{AD}x^k + \Delta_{DE}x^k = \\
 (5.5.10) \quad &= W^k\sigma + V^k\rho - \Gamma_{mn}^k(A)V^mW^n\rho\sigma - \\
 &\quad - \frac{1}{2}\Gamma_{mn}^k(A)V^mV^n\rho^2 - \frac{1}{2}\Gamma_{mn}^k(A)W^mW^n\sigma^2 + O(dx^2)
 \end{aligned}$$

Из (5.5.9) и (5.5.10) следует, что

$$\begin{aligned}
 \Delta_{ADE}x^k - \Delta_{ABC}x^k &= -\Gamma_{mn}^k(A)V^mW^n\rho\sigma \\
 &\quad - \frac{1}{2}\Gamma_{mn}^k(A)V^mV^n\rho^2 - \frac{1}{2}\Gamma_{mn}^k(A)W^mW^n\sigma^2 \\
 &\quad + \Gamma_{mn}^k(A)W^mV^n\sigma\rho \\
 &\quad + \frac{1}{2}\Gamma_{mn}^k(A)W^mW^n\sigma^2 + \frac{1}{2}\Gamma_{mn}^k(A)V^mV^n\rho^2
 \end{aligned}$$

и мы получаем интегральную сумму для выражения

$$\Delta_{ADE}x^k - \Delta_{ABC}x^k = \iint_{\Sigma} (\Gamma_{nm}^k - \Gamma_{mn}^k) dx^m \wedge dx^n$$

Однако недостаточно найти разность

$$\Delta_{ADE}x^k - \Delta_{ABC}x^k$$

чтобы найти разность координат точек C и E . Координаты могут быть неголономными и мы должны учесть, что координаты вдоль замкнутого пути изменяются (5.3.22)

$$\Delta x^k = \oint_{ECBADE} dx^k = - \iint_{\Sigma} c_{mn}^k dx^m \wedge dx^n$$

где c - объект неголономности.

Окончательно разность координат точек C и E имеет вид

$$\Delta_{CE}x^k = \Delta_{ADE}x^k - \Delta_{ABC}x^k + \Delta x^k = \iint_{\Sigma} (\Gamma_{nm}^k - \Gamma_{mn}^k - c_{mn}^k) dx^m \wedge dx^n$$

Используя (5.4.8), мы доказали утверждение. \square

Приложения в общей теории относительности

6.1. Синхронизация системы отсчёта

Так как наблюдатель пользуется ортогональным базисом для измерения в каждой точке, мы можем ожидать, что он также пользуется неголономными координатами. Мы так же видим, что координата времени вдоль локальной системы отсчёта является собственным временем наблюдателя. Так как система отсчёта состоит из локальных систем отсчёта, мы ожидаем, что их собственные времена синхронизированы.

Мы определяем **синхронизацию системы отсчёта** как неголономную координату времени.

Так как синхронизация - это неголономная координата, это порождает новые физические явления, которые мы должны иметь в виду, когда работаем с сильными гравитационными полями или выполняем точные измерения. Ниже я опишу одно из этих явлений.

6.2. Неголономные координаты в гравитационном поле центрального тела

Мы будем изучать наблюдателя, вращающегося вокруг центрального тела. Результаты оценочны и хороши, когда эксцентриситет около 0, так как мы будем изучать круговую орбиту. Тем не менее, основная цель этой оценки - показать, что мы имеем измеримое действие неголономности.

Мы пользуемся метрикой Шварцшильда для центрального тела

$$(6.2.1) \quad ds^2 = \frac{r - r_g}{r} c^2 dt^2 - \frac{r}{r - r_g} dr^2 - r^2 d\phi^2 - r^2 \sin^2 \phi d\theta^2$$

$$r_g = \frac{2Gm}{c^2}$$

G - гравитационная константа, m - масса центрального тела, c - скорость света.

Эта метрика имеет связность

$$(6.2.2) \quad \left\{ \begin{array}{ll} \Gamma_{10}^0 = \frac{r_g}{2r(r - r_g)} & \\ \Gamma_{00}^1 = \frac{r_g(r - r_g)}{2r^3} & \Gamma_{11}^1 = -\frac{r_g}{2r(r - r_g)} \\ \Gamma_{22}^1 = -(r - r_g) & \Gamma_{33}^1 = -(r - r_g) \sin^2 \phi \\ \Gamma_{12}^2 = -\frac{1}{r} & \Gamma_{33}^2 = -\sin \phi \cos \phi \\ \Gamma_{13}^3 = -\frac{1}{r} & \Gamma_{23}^3 = \cot \phi \end{array} \right.$$

Неголономный базис имеет вид

$$\begin{aligned} e_0^{(0)} &= c\sqrt{\frac{x^1 - r_g}{x^1}} \\ e_1^{(1)} &= \sqrt{\frac{x^1}{x^1 - r_g}} \\ e_2^{(2)} &= x^1 \\ e_3^{(3)} &= x^1 \sin x^2 \end{aligned}$$

Объект неголономности имеет вид

$$(6.2.3) \quad \begin{aligned} c_{01}^{(0)} &= c\frac{\sqrt{r_g}}{x^1} \\ c_{21}^{(2)} &= 1 \\ c_{31}^{(3)} &= \sin x^2 \\ c_{32}^{(3)} &= x^1 \cos x^2 \end{aligned}$$

Из равенства (6.2.3) следует, что для изучения влияния неголономности на синхронизацию системы отсчёта мы должны рассмотреть радиальное движение.

Пусть Джон путешествует в радиальном направлении. Начальная точка траектории удалена от центра гравитации на расстоянии R_1 (точка A). Когда Джон удалится на расстояние R_2 от центра гравитации (точка B), он делает остановку и возвращается в исходное положение. Его друг Джеймс остаётся в точке A и ждёт возвращения Джона.

Мы предполагаем, что все часы в системе отсчёта Джеймса синхронизированы. Джон понимает, что показание его часов отличается от показаний часов в системе отсчёта Джеймса. Поэтому Джон периодически проверяет показание часов в системе отсчёта Джеймса. Когда Джон вновь встречает Джеймса, они сверяют свои результаты измерения времени.

Пусть v - скорость, с которой движется Джон в системе отсчёта Джеймса. Пусть

$$(6.2.4) \quad x^0 = t \quad x^1 = R_1 + vt \quad 0 \leq t \leq t_1 \quad R_1 + vt_1 = R_2$$

начальное движение мяча. Равенство

$$(6.2.5) \quad t_1 = \frac{R_2 - R_1}{v}$$

является следствием (6.2.4). Равенство

$$\Delta_1 x^{(0)} = \int_0^{t_1} \sqrt{\frac{x^1 - r_g}{x^1}} dx^0 = \int_0^{t_1} \sqrt{\frac{R_1 + vx^0 - r_g}{R_1 + vx^0}} dx^0$$

является следствием равенства

$$(6.2.6) \quad \Delta t_0 = \int dx^{(0)} = \int e_0^{(0)} dx^0$$

а так же равенств (6.2.4), (6.2.5).

Нужно сперва взять неопределённый интеграл (я пользуюсь заменой переменной $r = R_1 + vx^0$, $dr = v dx^0$)

$$(6.2.7) \quad \int \sqrt{\frac{R_1 + vx^0 - r_g}{R_1 + vx^0}} dx^0 = \frac{1}{v} \int \sqrt{\frac{r - r_g}{r}} dr$$

Пусть

$$u^2 = \frac{r - r_g}{r}$$

Тогда

$$(6.2.8) \quad r = \frac{r_g}{1 - u^2}$$

$$(6.2.9) \quad dr = \frac{2r_g u}{(1 - u^2)^2} du$$

Равенство

$$(6.2.10) \quad \int \sqrt{\frac{R_1 + vx^0 - r_g}{R_1 + vx^0}} dx^0 = \frac{2r_g}{v} \int \frac{u^2}{(1 - u^2)^2} du$$

является следствием равенств (6.2.7), (6.2.8), (6.2.9). Пусть

$$(6.2.11) \quad \begin{aligned} \frac{u^2}{(1 - u^2)^2} &= \frac{a}{u - 1} + \frac{b}{(u - 1)^2} + \frac{c}{u + 1} + \frac{d}{(u + 1)^2} \\ &= \frac{(a + c)u + a - c}{u^2 - 1} + \frac{(b + d)u^2 + 2(b - d)u + b + d}{(u^2 - 1)^2} \\ &= \frac{(a + c)u(u^2 - 1)}{(u^2 - 1)^2} \\ &\quad + \frac{(a - c + b + d)u^2 + 2(b - d)u + b + d - a + c}{(u^2 - 1)^2} \end{aligned}$$

Система уравнений

$$(6.2.12) \quad \begin{aligned} a + c &= 0 \\ a - c + b + d &= 1 \\ b - d &= 0 \\ b + d - a + c &= 0 \end{aligned}$$

являются следствием равенства (6.2.11). Система уравнений

$$(6.2.13) \quad \begin{aligned} c &= -a \\ b &= d \\ 2a + 2b &= 1 \\ 2b - 2a &= 0 \end{aligned}$$

является следствием системы уравнений (6.2.12). Равенство

$$(6.2.14) \quad a = \frac{1}{4} \quad b = \frac{1}{4} \quad c = -\frac{1}{4} \quad d = \frac{1}{4}$$

является следствием системы уравнений (6.2.13). Равенство

$$(6.2.15) \quad \int \sqrt{\frac{R_1 + vx^0 - r_g}{R_1 + vx^0}} dx^0 = \frac{r_g}{2v} \int \frac{1}{u-1} du + \frac{r_g}{2v} \int \frac{1}{(u-1)^2} du - \frac{r_g}{2v} \int \frac{1}{u+1} du + \frac{r_g}{2v} \int \frac{1}{(u+1)^2} du = \frac{r_g}{2v} \left(\ln \frac{u-1}{u+1} - \frac{1}{u-1} - \frac{1}{u+1} \right)$$

является следствием равенств (6.2.10), (6.2.11), (6.2.14).

Если x^0 меняется от 0 до t_1 , то r меняется от R_1 до R_2 и u меняется от

$$u_1 = \sqrt{\frac{R_1 - r_g}{R_1}} = \sqrt{1 - \frac{r_g}{R_1}}$$

до

$$u_2 = \sqrt{\frac{R_2 - r_g}{R_2}} = \sqrt{1 - \frac{r_g}{R_2}}$$

Так как время движения в обоих направлениях одно и тоже, то мы получим

$$(6.2.16) \quad \Delta_1 x^{(0)} + \Delta_2 x^{(0)} = \frac{r_g}{v} \left(\ln \frac{u-1}{u+1} - \frac{1}{u-1} - \frac{1}{u+1} \right)_{u=u_1}^{u=u_2}$$

Осталось посчитать время, как долго Джеймс ждал возвращение Джона. Равенство

$$(6.2.17) \quad \Delta_3 x^{(0)} = \int_0^{2t_1} \sqrt{\frac{R_1 - r_g}{R_1}} dx^0 = 2t_1 \sqrt{\frac{R_1 - r_g}{R_1}}$$

является следствием равенства (6.2.6).

Для анализа результатов эксперимента, я предположу, что вместо того, чтобы Джон путешествовал из точки A в точку B и обратно, Джеймс отправит пучок света ($v = c = 2.998e10$ см/сек) в точку B , где установлено зеркало, которое вернёт пучок света обратно в точку A . Пусть точка A находится на поверхности Земли ($R_1 = 6.371e8$ сантиметров, расстояние от центра Земли) и точка B находится на поверхности Луны ($R_2 = 3.84e10$ сантиметров).^{6.1} Время, которое измерил Джеймс, равно 2.5192061357 секунд. Время, которое измерил луч света, равно 2.5192002762 секунд. Так как фаза волны светового пучка зависит от локального времени в системе отсчёта Джеймса, то Джеймс может использовать интерференцию исходного луча света и вернувшегося луча света, чтобы наблюдать отклонение интерференции от ожидаемой картины.

6.3. Эффект Доплера в гравитационном поле центрального тела

Я хочу показать ещё один способ расчёта эффекта Доплера. Эффект Доплера в гравитационном поле является хорошо изученным явлением, однако метод, который я покажу полезен, чтобы лучше понять физику гравитационного поля.

Мы можем описать движение фотона в гравитационном поле, пользуясь его волновым вектором k^i . Длина этого вектора равна 0; $\frac{k^i}{dx^i} = const$; траектория

^{6.1} Результаты расчёта являются оценкой, так как в расчёте я не учитываю гравитационное поле Луны.

является геодезической, и следовательно, координаты этого вектора удовлетворяют дифференциальному уравнению

$$(6.3.1) \quad dk^i = -\Gamma_{kl}^i k^k dx^l$$

Мы ищем частоту ω света и k^0 пропорционально ω . Рассмотрим радиальное движение фотона. В этом случае волновой вектор имеет вид $k = (k^0, k^1, 0, 0)$. В центральном поле с метрикой (6.2.1) мы можем выбрать

$$\begin{aligned} k^0 &= \frac{\omega}{c} \sqrt{\frac{r}{r-r_g}} \\ k^1 &= \omega \sqrt{\frac{r-r_g}{r}} \\ dt &= \frac{k^0}{k^1} dr = \frac{1}{c} \frac{r}{r-r_g} dr \end{aligned}$$

Тогда уравнение (6.3.1) принимает вид

$$\begin{aligned} dk^0 &= -\Gamma_{10}^0 (k^1 dt + k^0 dr) \\ d\left(\frac{\omega}{c} \sqrt{\frac{r}{r-r_g}}\right) &= -\frac{r_g \omega}{2r(r-r_g)} \left(\sqrt{\frac{r-r_g}{r}} \frac{r}{r-r_g} + \sqrt{\frac{r}{r-r_g}} \right) \frac{dr}{c} \\ d\omega \sqrt{\frac{r}{r-r_g}} - \omega \frac{1}{2} \sqrt{\frac{r-r_g}{r}} \frac{r_g dr}{(r-r_g)^2} &= -\frac{r_g \omega dr}{r(r-r_g)} \sqrt{\frac{r}{r-r_g}} \\ \frac{d\omega}{\omega} &= -\frac{r_g}{2r(r-r_g)} dr \\ \ln \omega &= \frac{1}{2} \ln \frac{r}{r-r_g} + \ln C \end{aligned}$$

Если мы определим $\omega = \omega_0$, когда $r = \infty$, мы получим окончательно

$$\omega = \omega_0 \sqrt{\frac{r}{r-r_g}}$$

6.4. Преобразование Лоренца в орбитальном направлении

Причина задержки времени, которую мы оценили выше, находится в преобразовании Лоренца между стационарным и вращающимся наблюдателями. Это значит, что мы имеем вращение в плоскости $(e_{(0)}, e_{(2)})$. Базисные вектора для стационарного наблюдателя - это

$$\begin{aligned} e_{(0)} &= \left(\frac{1}{c} \sqrt{\frac{r}{r-r_g}}, 0, 0, 0 \right) \\ e_{(2)} &= \left(0, 0, \frac{1}{r}, 0 \right) \end{aligned}$$

Мы предположим, что для вращающегося наблюдателя изменение ϕ и t пропорциональны и

$$d\phi = \omega dt$$

Единичный вектор скорости в этом случае должен быть пропорционален вектору

$$(6.4.1) \quad (1, 0, \omega, 0)$$

Длина этого вектора

$$(6.4.2) \quad L^2 = \frac{r-r_g}{r}c^2 - r^2\omega^2$$

Мы видим в этом выражении очень знакомый узор и ожидаем, что линейная скорость вращающегося наблюдателя $V = \omega r$.

Тем не менее, мы должны помнить, что мы выполняем измерение в гравитационном поле и координаты являются лишь ярлыками для разметки точек в пространстве-времени. Это значит, что нам нужен корректный метод для измерения скорости.

Если объект движется от точки (t, ϕ) к точке $(t + dt, \phi + d\phi)$ мы должны измерить пространственные и временные интервалы между этими точками. Мы предположим, что в обеих точках имеются наблюдатели A и B . Наблюдатель A посылает одновременно световой сигнал B и мяч, который имеет угловую скорость ω . Каждый раз, когда наблюдатель B получает какую-то информацию, он посылает световой сигнал обратно A .

Когда A получает первый сигнал, он может оценить расстояние до B . Когда A получает второй сигнал, он может оценить, как долго двигался мяч до B .

Время путешествия света в обоих направлениях одно и тоже. Траектория света определена уравнением $ds^2 = 0$. В данном случае мы имеем

$$\frac{r-r_g}{r}c^2 dt^2 - r^2 d\phi^2 = 0$$

Когда свет возвращается к наблюдателю A , изменение t равно

$$dt = 2\sqrt{\frac{r}{r-r_g}}c^{-1}rd\phi$$

Собственное время первого наблюдателя равно

$$ds^2 = \frac{r-r_g}{r}c^2 4\frac{r}{r-r_g}c^{-2}r^2 d\phi^2$$

Следовательно, пространственное расстояние

$$L = rd\phi$$

Когда объект, движущийся с угловой скоростью ω , прибывает в B , изменение t равно $\frac{d\phi}{\omega}$. Собственное время в этой точке равно

$$ds^2 = \frac{r-r_g}{r}c^2 d\phi^2 \omega^{-2}$$

$$T = \sqrt{\frac{r-r_g}{r}}\omega^{-1}d\phi$$

Следовательно, наблюдатель A измеряет скорость

$$V = \frac{L}{T} = \sqrt{\frac{r}{r-r_g}}r\omega$$

Мы можем использовать скорость V как параметр преобразования Лоренца. Тогда длина (6.4.2) вектора (6.4.1) равна

$$L = \sqrt{\frac{r-r_g}{r} \left(c^2 - \frac{r}{r-r_g} r^2 \omega^2 \right)} = \sqrt{\frac{r-r_g}{r}} c \sqrt{\left(1 - \frac{V^2}{c^2} \right)}$$

Следовательно, временной орт движущегося наблюдателя

$$e'_{(0)} = \left(\frac{1}{L}, 0, \frac{\omega}{L}, 0 \right)$$

$$e'_{(0)} = \left(\sqrt{\frac{r}{r-r_g}} c^{-1} \frac{1}{\sqrt{1-\frac{V^2}{c^2}}}, 0, \omega \sqrt{\frac{r}{r-r_g}} c^{-1} \frac{1}{\sqrt{1-\frac{V^2}{c^2}}}, 0 \right)$$

Пространственный орт $e'_{(2)} = (A, 0, B, 0)$ ортогонален $e'_{(0)}$ и имеет длину -1 . Следовательно,

$$(6.4.3) \quad \frac{r-r_g}{r} c^2 \frac{1}{L} A - r^2 \frac{\omega}{L} B = 0$$

$$(6.4.4) \quad \frac{r-r_g}{r} c^2 A^2 - r^2 B^2 = -1$$

Мы можем выразить A из (6.4.3)

$$A = c^{-2} \frac{r}{r-r_g} r^2 \omega B$$

и подставить в (6.4.4)

$$c^{-2} \frac{r}{r-r_g} r^4 \omega^2 B^2 - r^2 B^2 = -1$$

$$\frac{V^2}{c^2} r^2 B^2 - r^2 B^2 = -1$$

Окончательно пространственный орт в направлении движения

$$e'_{(2)} = \left(c^{-2} \frac{r}{r-r_g} r \omega \frac{1}{\sqrt{1-\frac{V^2}{c^2}}}, 0, \frac{1}{r} \frac{1}{\sqrt{1-\frac{V^2}{c^2}}}, 0 \right)$$

$$e'_{(2)} = \left(c^{-2} \sqrt{\frac{r}{r-r_g}} \frac{V}{\sqrt{1-\frac{V^2}{c^2}}}, 0, \frac{1}{r} \frac{1}{\sqrt{1-\frac{V^2}{c^2}}}, 0 \right)$$

Следовательно, мы получим преобразование

$$(6.4.5) \quad \begin{aligned} e'_{(0)} &= \frac{1}{\sqrt{1-\frac{V^2}{c^2}}} e_{(0)} + \frac{V}{c} \frac{1}{\sqrt{1-\frac{V^2}{c^2}}} e_{(2)} \\ e'_{(2)} &= \frac{V}{c} \frac{1}{\sqrt{1-\frac{V^2}{c^2}}} e_{(0)} + \frac{1}{\sqrt{1-\frac{V^2}{c^2}}} e_{(2)} \end{aligned}$$

Если стационарный наблюдатель посылает свет в радиальном направлении, вращающийся наблюдатель наблюдает эффект Доплера

$$\omega' = \frac{\omega}{\sqrt{1-\frac{V^2}{c^2}}}$$

Мы должны добавить эффект Доплера для гравитационного поля, если движущийся наблюдатель получает радиальную волну, которая пришла из бесконечности. В этом случае эффект Доплера примет форму

$$\omega' = \sqrt{\frac{r}{r - r_g}} \frac{\omega}{\sqrt{1 - \frac{V^2}{c^2}}}$$

Мы приводим оценку для динамики звезды S2, которая вращается вокруг Sgr A в таблицах 6.4.1 и 6.4.2. Таблицы основаны на двух различных оценках для массы Sgr A.

Если мы возьмём массу Sgr $4.1_{10}6M_{\odot}$ [10], то в перигеуме (расстояние $1.868_{10}15$ см) S2 имеет скорость 738767495.4 см/сек и эффект Доплера равен $\omega'/\omega = 1.000628$. В этом случае мы измеряем длину $2.16474\mu m$ для волны, излучаемой с длиной $2.1661\mu m$ (Br γ). В апоцентре (расстояние $2.769_{10}16$ см) S2 имеет скорость 49839993.28 см/сек и эффект Доплера равен $\omega'/\omega = 1.0000232$. Мы измеряем длину $2.166049\mu m$ для той же самой волны. Разность между двумя измерениями длины волны равна 13.098\AA .

Если мы возьмём массу Sgr $3.7_{10}6M_{\odot}$ [11], то в перигеуме (расстояние $1.805_{10}15$ см) S2 имеет скорость 713915922.3 см/сек и эффект Доплера равен $\omega'/\omega = 1.000587$. В этом случае мы измеряем длину $2.16483\mu m$ для волны, излучаемой с длиной $2.1661\mu m$ (Br γ). В апоцентре (расстояние $2.676_{10}16$ см) S2 имеет скорость 48163414.05 см/сек и эффект Доплера равен $\omega'/\omega = 1.00002171$. Мы измеряем длину $2.1666052\mu m$ для той же самой волны. Разность между двумя измерениями длины волны равна 12.232\AA .

ТАБЛИЦА 6.4.1. эффект Доплера на Земле для волны, излучаемой с S2; масса Sgr A равна $4.1_{10}6M_{\odot}$ [10]

	перигеум	апоцентр
расстояние см	$1.868_{10}15$	$2.769_{10}16$
скорость см/с	738767495.4	49839993.28
ω'/ω	1.000628	1.0000232
излучаемая волна (Br γ) μm	2.1661	2.1661
наблюдаемая волна μm	2.16474	2.166049

Разность между двумя измерениями длины волны равна 13.098\AA .

Разность между двумя измерениями длины волны в перигеуме равна 0.9\AA . Анализируя эти данные, мы приходим к заключению, что использование эффекта Доплера может помочь улучшить оценку массы Sgr A.

6.5. Преобразование Лоренца в радиальном направлении

Мы видим, что преобразование Лоренца в орбитальном направлении имеет знакомый вид. Очень интересно увидеть, какой вид это преобразование имеет в радиальном направлении. Мы начнём с процедуры измерения скорости и будем пользоваться координатной скоростью v

$$(6.5.1) \quad dr = v dt$$

ТАБЛИЦА 6.4.2. эффект Доплера на Земле для волны, излучаемой с S2; масса Sgr A равна $3.7_{10}6M_{\odot}$ [11]

	перигей	апогей
расстояние см	$1.805_{10}15$	$2.676_{10}16$
скорость см/с	713915922.3	48163414.05
ω'/ω	1.000587	1.00002171
излучаемая волна ($Br \gamma$) μm	2.1661	2.1661
наблюдаемая волна μm	2.16483	2.1666052

Разность между двумя измерениями длины волны равна 12.232\AA .

Время путешествия света в обоих направлениях одно и то же. Траектория света определена уравнением $ds^2 = 0$.

$$\frac{r-r_g}{r}c^2dt^2 - \frac{r}{r-r_g}dr^2 = 0$$

Когда свет возвращается к наблюдателю A, изменение t равно

$$dt = 2\frac{r}{r-r_g}c^{-1}dr$$

Собственное время наблюдателя A равно

$$\begin{aligned} ds^2 &= \frac{r-r_g}{r}c^24\frac{r^2}{(r-r_g)^2}c^{-2}dr^2 = \\ &= 4\frac{r}{r-r_g}dr^2 \end{aligned}$$

Следовательно, пространственное расстояние равно

$$L = \sqrt{\frac{r}{r-r_g}}dr$$

Когда объект, движущийся со скоростью (6.5.1), прибывает в B изменение t равно $\frac{dr}{v}$. Собственное время наблюдателя A в этой точке

$$\begin{aligned} ds^2 &= \frac{r-r_g}{r}c^2dr^2v^{-2} \\ T &= \sqrt{\frac{r-r_g}{r}}v^{-1}dr \end{aligned}$$

Следовательно, наблюдатель A измеряет скорость

$$\begin{aligned} V &= \frac{L}{T} = \frac{\sqrt{\frac{r}{r-r_g}}dr}{\sqrt{\frac{r-r_g}{r}}v^{-1}dr} = \\ &= \frac{r}{r-r_g}v \end{aligned}$$

Теперь мы готовы найти преобразование Лоренца. Базисные вектора для стационарного наблюдателя - это

$$e_{(0)} = \left(\frac{1}{c} \sqrt{\frac{r}{r-r_g}}, 0, 0, 0 \right)$$

$$e_{(1)} = \left(0, \sqrt{\frac{r-r_g}{r}}, 0, 0 \right)$$

Единичный вектор скорости должен быть пропорционален вектору

$$(6.5.2) \quad (1, v, 0, 0)$$

Длина этого вектора

$$(6.5.3) \quad L^2 = \frac{r-r_g}{r} c^2 - \frac{r}{r-r_g} v^2 =$$

$$= \frac{r-r_g}{r} c^2 \left(1 - \frac{V^2}{c^2} \right)$$

Следовательно, временной орт движущегося наблюдателя

$$e'_{(0)} = \left(\frac{1}{L}, \frac{v}{L}, 0, 0 \right) =$$

$$= \left(\sqrt{\frac{r}{r-r_g}} c^{-1} \frac{1}{\sqrt{1-\frac{V^2}{c^2}}}, v \sqrt{\frac{r}{r-r_g}} c^{-1} \frac{1}{\sqrt{1-\frac{V^2}{c^2}}}, 0, 0 \right)$$

$$= \left(\sqrt{\frac{r}{r-r_g}} c^{-1} \frac{1}{\sqrt{1-\frac{V^2}{c^2}}}, \frac{V}{c} \sqrt{\frac{r-r_g}{r}} \frac{1}{\sqrt{1-\frac{V^2}{c^2}}}, 0, 0 \right)$$

Пространственный орт $e'_{(1)} = (A, B, 0, 0)$ ортогонален $e'_{(0)}$ и имеет длину -1 . Следовательно,

$$(6.5.4) \quad \frac{r-r_g}{r} c^2 \frac{1}{L} A - \frac{r}{r-r_g} \frac{v}{L} B = 0$$

$$(6.5.5) \quad \frac{r-r_g}{r} c^2 A^2 - \frac{r}{r-r_g} B^2 = -1$$

Мы можем выразить A из (6.5.4)

$$A = c^{-2} \frac{r^2}{(r-r_g)^2} v B = c^{-2} \frac{r}{r-r_g} V B$$

и подставить в (6.5.5)

$$\frac{r-r_g}{r} c^2 c^{-4} \frac{r^2}{(r-r_g)^2} V^2 B^2 - \frac{r}{r-r_g} B^2 = -1$$

$$\frac{r}{r-r_g} B^2 \left(1 - \frac{V^2}{c^2} \right) = 1$$

$$B^2 = \frac{r-r_g}{r} \frac{1}{1-\frac{V^2}{c^2}}$$

$$\begin{aligned}
B &= \sqrt{\frac{r-r_g}{r}} \frac{1}{\sqrt{1-\frac{V^2}{c^2}}} \\
A &= c^{-2} \frac{r}{r-r_g} V \sqrt{\frac{r-r_g}{r}} \frac{1}{\sqrt{1-\frac{V^2}{c^2}}} \\
&= c^{-2} V \sqrt{\frac{r}{r-r_g}} \frac{1}{\sqrt{1-\frac{V^2}{c^2}}}
\end{aligned}$$

Окончательно пространственный орт в направлении движения

$$e'_{(1)} = \left(c^{-2} V \sqrt{\frac{r}{r-r_g}} \frac{1}{\sqrt{1-\frac{V^2}{c^2}}}, \sqrt{\frac{r-r_g}{r}} \frac{1}{\sqrt{1-\frac{V^2}{c^2}}}, 0, 0 \right)$$

Следовательно, мы получаем преобразование в знакомой форме

$$\begin{aligned}
(6.5.6) \quad e'_{(0)} &= \frac{1}{\sqrt{1-\frac{V^2}{c^2}}} e_{(0)} + \frac{V}{c} \frac{1}{\sqrt{1-\frac{V^2}{c^2}}} e_{(1)} \\
e'_{(1)} &= \frac{V}{c} \frac{1}{\sqrt{1-\frac{V^2}{c^2}}} e_{(0)} + \frac{1}{\sqrt{1-\frac{V^2}{c^2}}} e_{(1)}
\end{aligned}$$

6.6. Эффект Доплера в пространстве Фридмана

Мы рассмотрим другой пример в пространстве Фридмана. Метрика пространства имеет вид

$$ds^2 = a^2(dt^2 - d\chi^2 - \sin^2 \chi(d\theta^2 - \sin^2 \theta d\phi^2))$$

для закрытой модели и

$$ds^2 = a^2(dt^2 - d\chi^2 - \sinh^2 \chi(d\theta^2 - \sin^2 \theta d\phi^2))$$

для открытой модели. Связность пространства (α, β принимают значения 1, 2, 3)

$$\begin{aligned}
\Gamma_{00}^0 &= \frac{\dot{a}}{a} \\
\Gamma_{\alpha\alpha}^0 &= -\frac{\dot{a}}{a^2} g_{\alpha\alpha} \\
\Gamma_{0\beta}^\alpha &= \frac{\dot{a}}{a} \delta_\beta^\alpha
\end{aligned}$$

Поскольку пространство однородно, для нас не имеет значение направление распространения света. В этом случае

$$dk^0 = -\Gamma_{ij}^0 k^i k^j$$

Так как k - изотропный вектор, касательный к его траектории, мы имеем

$$dx^\alpha = \frac{k^\alpha}{k^0} dt$$

Так как $k^0 = \frac{\omega}{a}$, то

$$\begin{aligned}
d\frac{\omega}{a} &= -\frac{da}{a^2} \omega + \frac{da}{\omega a} g_{\alpha\alpha} k^\alpha k^\alpha = -2\frac{da}{a^2} \omega \\
ad\omega + \omega da &= 0
\end{aligned}$$

$$a\omega = \text{const}$$

Следовательно, когда a растёт, ω становится меньше и длина волны растёт.

a растёт, когда свет путешествует сквозь пространство-время, и это приводит к красному смещению. Причиной наблюдаемого красного смещения является не разбегание галактик, а изменение геометрии.

Рассмотрим теперь как красное смещение меняется во времени, если начальная и конечная точки не движутся. Для простоты я буду изменять только χ . χ_1 - начальное значение и χ_2 - конечное значение. Так как на траектории света $dt = d\chi$, мы имеем

$$\chi = \chi_1 + t - t_1 \quad t_2 = \chi_2 - \chi_1 + t_1$$

Следовательно $a(t_1)\omega_1 = a(t_2)\omega_2$. Смещение Доплера имеет вид

$$K(t_1) = \frac{\omega_2}{\omega_1} = \frac{a(t_1)}{a(t_2)}$$

Если начальное время изменяется

$$t'_1 = t_1 + dt$$

$t'_1 = t_1 + dt$, то

$$K(t_1 + dt) = \frac{a(t_1 + dt)}{a(t_2 + dt)}$$

Производная K по времени имеет вид

$$\dot{K} = \frac{\dot{a}_1 a_2 - a_1 \dot{a}_2}{a_2^2}$$

Для замкнутого пространства $a = \cosh t$. Тогда $\dot{a} = \sinh t$.

$$\dot{K} = \frac{\sinh t_1 \cosh t_2 - \sinh t_2 \cosh t_1}{\cosh^2 t_2} = \frac{\sinh(t_1 - t_2)}{\cosh^2 t_2}$$

K уменьшается, когда t_1 увеличивается.

6.7. Преобразование Лоренца в пространстве Фридмана

Чтобы изучить преобразование Лоренца в пространстве Фридмана, я хочу воспользоваться метрикой в форме

$$ds^2 = c^2 dt^2 - a^2(d\chi^2 + b^2(d\theta^2 - \sin^2 \theta d\phi^2))$$

У меня есть два наблюдателя. Один не движется и имеет скорость $(1, 0, 0, 0)$, а другой движется вдоль χ и его скорость имеет вид $C = (1, v, 0, 0)$, и мы положим $V = av$.

Метрика диагональна и координаты θ, ϕ не меняются. У нас возникает преобразование в плоскости t, χ .

Единичная скорость первого наблюдателя имеет вид

$$e_0 = \left(\frac{1}{c}, 0, 0, 0\right)$$

и вектор, ортогональный ей, имеет вид

$$e_1 = \left(0, \frac{1}{a}, 0, 0\right)$$

Длина вектора C имеет вид

$$L = \sqrt{c^2 - a^2 v^2} = c \sqrt{1 - \frac{V^2}{c^2}}$$

Следовательно, единичный вектор скорости второго наблюдателя имеет вид

$$e'_0 = \left(\frac{1}{L}, \frac{v}{L}, 0, 0 \right)$$

Мы ищем вектор

$$e'_1 = (A, B, 0, 0)$$

который ортогонален вектору e'_0 . Для этого мы имеем

$$(6.7.1) \quad c^2 A^2 - a^2 B^2 = -1$$

$$(6.7.2) \quad c^2 A \frac{1}{L} - a^2 B \frac{v}{L} = 0$$

Мы получим из уравнения (6.7.2)

$$(6.7.3) \quad A = \frac{a^2}{c^2} v B$$

Мы подставим (6.7.3) в (6.7.1) и получим

$$B^2 \left(\frac{a^4}{c^2} v^2 - a^2 \right) = -1$$

$$B = \frac{1}{a \sqrt{1 - \frac{V^2}{c^2}}}$$

Следовательно базис второго наблюдателя имеет вид

$$e'_0 = \left(\frac{1}{c \sqrt{1 - \frac{V^2}{c^2}}}, \frac{V}{ca \sqrt{1 - \frac{V^2}{c^2}}}, 0, 0 \right)$$

$$e'_1 = \left(\frac{V}{c^2 \sqrt{1 - \frac{V^2}{c^2}}}, \frac{1}{a \sqrt{1 - \frac{V^2}{c^2}}}, 0, 0 \right)$$

Теперь мы можем выразить e' через e

$$e'_0 = \frac{1}{\sqrt{1 - \frac{V^2}{c^2}}} e_0 + \frac{V}{c} \frac{1}{\sqrt{1 - \frac{V^2}{c^2}}} e_1$$

$$e'_1 = \frac{V}{c} \frac{1}{\sqrt{1 - \frac{V^2}{c^2}}} e_0 + \frac{1}{\sqrt{1 - \frac{V^2}{c^2}}} e_1$$

Геометрия метрико-аффинного многообразия

7.1. Кривая экстремальной длины

Существует два разных определения геодезической в римановом многообразии. Одно из них опирается на параллельный перенос. Мы будем называть соответствующую **кривую автопараллельной**. Другое определение опирается на длину траектории. Мы будем называть соответствующую **кривую экстремальной**. В метрико-аффинном многообразии эти линии имеют различные уравнения [17]. Уравнение автопараллельной кривой не меняется. Однако, уравнение экстремальной кривой меняется. ^{7.1}

ТЕОРЕМА 7.1.1. Пусть $x^i = x^i(t, \alpha)$ - кривая, зависящая от параметра α , с фиксированными точками при $t = t_1$ и $t = t_2$, и мы определяем её длину как

$$(7.1.1) \quad s = \int_{t_1}^{t_2} \sqrt{g_{ij} \frac{dx^i}{dt} \frac{dx^j}{dt}} dt$$

Тогда

$$(7.1.2) \quad \delta s = \int_{t_1}^{t_2} \left(\frac{1}{2} (g_{kj;i} - g_{ik;j} - g_{ij;k}) \frac{dx^k}{ds} \frac{dx^j}{ds} ds - g_{ij} D \frac{dx^j}{ds} \right) \delta x^i$$

где δx^k - изменение длины, когда α меняется.

ДОКАЗАТЕЛЬСТВО. Имеем

$$\frac{ds}{dt} = \sqrt{g_{ij} \frac{dx^i}{dt} \frac{dx^j}{dt}}$$

и

$$(7.1.3) \quad \delta s = \int_{t_1}^{t_2} \frac{\delta \left(g_{ij} \frac{dx^i}{dt} \frac{dx^j}{dt} \right)}{2 \frac{ds}{dt}} dt$$

Мы можем оценить знаменатель дроби в равенстве (7.1.3)

$$(7.1.4) \quad \begin{aligned} & g_{ij,k} \delta x^k \frac{dx^i}{dt} \frac{dx^j}{dt} + 2g_{ij} \delta \frac{dx^i}{dt} \frac{dx^j}{dt} \\ &= g_{ij;k} \delta x^k \frac{dx^i}{dt} \frac{dx^j}{dt} + 2g_{ij} \Gamma_{lk}^i \delta x^k \frac{dx^l}{dt} \frac{dx^j}{dt} + 2g_{ij} d \frac{\delta x^i}{dt} \frac{dx^j}{dt} = \\ &= g_{ij;k} \delta x^k \frac{dx^i}{dt} \frac{dx^j}{dt} + 2g_{ij} \frac{D \delta x^i}{dt} \frac{dx^j}{dt} \end{aligned}$$

^{7.1}Чтобы вывести уравнение (7.1.5), я следую идеям, которые Рашевский [26] использовал для Риманова многообразия.

Из равенств (7.1.3), (7.1.4) следует, что

$$\begin{aligned}
\delta s &= \int_{t_1}^{t_2} \frac{g_{ij;k} \delta x^k dx^i \frac{dx^j}{dt} + 2g_{ij} D \delta x^i \frac{dx^j}{dt}}{2 \frac{ds}{dt}} \\
&= \int_{t_1}^{t_2} \left(\frac{1}{2} g_{ij;k} \delta x^k dx^i \frac{dx^j}{ds} + g_{ij} D \delta x^i \frac{dx^j}{ds} \right) \\
&= \int_{t_1}^{t_2} \left(\frac{1}{2} g_{kj;i} \delta x^i \frac{dx^k}{ds} ds \frac{dx^j}{ds} + d \left(g_{ij} \delta x^i \frac{dx^j}{ds} \right) - g_{ij;k} \frac{dx^k}{ds} ds \frac{dx^j}{ds} \delta x^i - g_{ij} D \frac{dx^j}{ds} \delta x^i \right) \\
&= \left(g_{ij} \delta x^i \frac{dx^j}{ds} \right) \Big|_{t_1}^{t_2} + \int_{t_1}^{t_2} \left(\frac{1}{2} (g_{kj;i} - g_{ij;k} - g_{ik;j}) \frac{dx^k}{ds} \frac{dx^j}{ds} ds - g_{ij} D \frac{dx^j}{ds} \right) \delta x^i
\end{aligned}$$

Первое слагаемое равно 0, так как точки, где $t = t_1$ и $t = t_2$, зафиксированы. Следовательно, мы доказали утверждение теоремы. \square

ТЕОРЕМА 7.1.2. *Экстремальная кривая удовлетворяет уравнению*

$$(7.1.5) \quad \frac{D \frac{dx^l}{ds}}{ds} = \frac{1}{2} g^{il} (g_{kj;i} - g_{ik;j} - g_{ij;k}) \frac{dx^k}{ds} \frac{dx^j}{ds}$$

ДОКАЗАТЕЛЬСТВО. Чтобы найти линию экстремальной длины, мы воспользуемся функционалом (7.1.1). Так как $\delta s = 0$, то

$$\frac{1}{2} (g_{kj;i} - g_{ij;k} - g_{ik;j}) \frac{dx^k}{ds} \frac{dx^j}{ds} ds - g_{ij} D \frac{dx^j}{ds} = 0$$

следует из (7.1.2). \square

ТЕОРЕМА 7.1.3. *Параллельный перенос вдоль экстремальной кривой сохраняет длину касательного вектора.*

ДОКАЗАТЕЛЬСТВО. Пусть

$$v^i = \frac{dx^i}{ds}$$

касательный вектор к экстремальной кривой. Из теоремы 7.1.2 следует, что

$$\frac{Dv^l}{ds} = g^{il} \frac{1}{2} (g_{kj;i} - g_{ik;j} - g_{ij;k}) v^k v^j$$

и

$$\begin{aligned}
\frac{Dg_{kl} v^k v^l}{ds} &= \frac{Dg_{kl}}{ds} v^k v^l + g_{kl} \frac{Dv^k}{ds} v^l + g_{kl} v^k \frac{Dv^l}{ds} \\
&= g_{kl;p} v^p v^k v^l + g_{kl} g^{ik} \frac{1}{2} (g_{rj;i} - g_{ir;j} - g_{ij;r}) v^r v^j v^l \\
&\quad + g_{kl} v^k g^{il} \frac{1}{2} (g_{rj;i} - g_{ir;j} - g_{ij;r}) v^r v^j \\
&= g_{kl;p} v^p v^k v^l + (g_{rj;l} - g_{lr;j} - g_{lj;r}) v^r v^j v^l = 0
\end{aligned}$$

Следовательно длина вектора v^i не меняется вдоль экстремальной кривой. \square

7.2. Перенос Френе

Все уравнения, которые мы выводили до сих пор, различны, однако они имеют нечто общее в своей структуре. Все эти уравнения выражают движение вдоль кривой и в их правой части мы можем видеть кривизну этой кривой.

По определению, кривизна кривой равна

$$\xi(s) = \left| \frac{D \frac{dx^l}{ds}}{ds} \right|$$

Следовательно, мы можем определить единичный вектор e_1 такой, что

$$\frac{D \frac{dx^l}{ds}}{ds} = \xi e_1^l$$

Знание переноса базиса вдоль кривой очень важно, так как это позволяет нам изучать как изменяется пространство-время, когда наблюдатель совершает движение. Наша задача - найти уравнения, подобные переносу Френе в римановом пространстве. Мы строим сопутствующий базис ν_k^i таким же образом, как мы это делаем в римановом пространстве.

Векторы

$$\xi^i(t) = \frac{dx^i(t)}{dt}, \quad \frac{D\xi^i}{dt}, \quad \dots \quad \frac{D^{n-1}\xi^i}{dt^{n-1}}$$

вообще говоря, линейно независимы. Мы называем плоскость, построенную на базе первых p векторов, p -ой соприкасающейся плоскостью R_p . Эта плоскость не зависит от выбора параметра t .

Наша следующая задача - построить ортогональный базис, который покажет нам, как кривая изменяется. Мы берём вектор $\nu_1^i \in R_1$ так, что он касателен к кривой. Мы берём вектор $\nu_p^i \in R_p$, $p > 1$ так, что ν_p^i ортогонален R_{p-1} . Если исходная кривая не изотропна, то каждый ν_p^i также не изотропен и мы можем взять единичный вектор в том же направлении. Мы называем этот базис сопутствующим.

ТЕОРЕМА 7.2.1. Перенос Френе в метрико-аффинном многообразии имеет вид

$$(7.2.1) \quad \begin{aligned} \frac{D\nu_p^i}{dt} &= \frac{1}{2}g^{im}(g_{kl;m} - g_{km;l} - g_{ml;k})\nu_1^k\nu_p^l - \\ &\quad - \epsilon_p\epsilon_{p-1}\xi_{p-1}\nu_{p-1}^i + \xi_p\nu_{p+1}^i \\ \epsilon_k &= \text{sign}(g_{pq}\nu_k^p\nu_k^q) \end{aligned}$$

Здесь ν_k^a - вектор базиса, движущегося вдоль кривой,

$$\epsilon_k = \text{sign}(g_{pq}\nu_k^p\nu_k^q)$$

ДОКАЗАТЕЛЬСТВО. Мы определяем векторы ν_k^a таким образом, что

$$(7.2.2) \quad \frac{D\nu_p^i}{dt} = \frac{1}{2}g^{im}(g_{kl;m} - g_{km;l} - g_{ml;k})\nu_1^k\nu_p^l + a_p^q\nu_q^i$$

где $a_p^q = 0$, когда $q > p + 1$. Теперь мы можем определить коэффициенты a_p^q . Если мы возьмём производную уравнения

$$g_{ij}\nu_p^i\nu_p^j = \text{const}$$

и подставим (7.2.2), мы получим уравнение

$$\begin{aligned}
\frac{dg_{ij}\nu_a^i\nu_b^j}{ds} &= \frac{Dg_{ij}}{ds}\nu_a^i\nu_b^j + g_{ij}\frac{D\nu_a^i}{ds}\nu_b^j + g_{ij}\nu_a^i\frac{D\nu_b^j}{ds} \\
&= g_{ij;k}\nu_1^k\nu_a^i\nu_b^j + g_{ij}\left(\frac{1}{2}g^{im}(g_{kl;m} - g_{km;l} - g_{ml;k})\nu_1^k\nu_a^l + a_a^q\nu_q^i\right)\nu_b^j \\
&\quad + g_{ij}\nu_a^i\left(\frac{1}{2}g^{jm}(g_{kl;m} - g_{km;l} - g_{ml;k})\nu_1^k\nu_b^l + a_b^q\nu_q^j\right) \\
&= g_{ij;k}\nu_1^k\nu_a^i\nu_b^j + g_{ij}\frac{1}{2}g^{im}(g_{kl;m} - g_{km;l} - g_{ml;k})\nu_1^k\nu_a^l\nu_b^j + g_{ij}a_a^q\nu_q^i\nu_b^j \\
&\quad + g_{ij}\nu_a^i\frac{1}{2}g^{jm}(g_{kl;m} - g_{km;l} - g_{ml;k})\nu_1^k\nu_b^l + g_{ij}\nu_a^i a_b^q\nu_q^j \\
&= \frac{1}{2}\nu_1^k\nu_a^i\nu_b^j(2g_{ij;k} + g_{ki;j} - g_{kj;i} - g_{ji;k} + g_{kj;i} - g_{ki;j} - g_{ij;k}) + \\
&\quad + \epsilon_b a_a^b + \epsilon_a a_b^a = 0
\end{aligned}$$

$a_p^q = 0$, когда $q > p + 1$ по определению. Следовательно $a_p^q = 0$, когда $q < p + 1$. Полагая $\xi_p = a_p^{p+1}$, мы получим

$$a_{p+1}^p = -\epsilon_p \epsilon_{p+1} \xi_p$$

Когда $q = p$, мы получим

$$a_{p,p} = 0$$

Мы получим (7.2.1), когда подставим a_p^q в (7.2.2). \square

7.3. Связность Картана

Теоремы 7.1.2 и 7.2.1 утверждают, что движение вдоль кривой порождает преобразование вектора, дополнительное к параллельному переносу. Это преобразование очень важно и мы будем называть его **переносом Картана**. Мы определим **символ Картана**

$$\Gamma(C)_{kl}^i = \frac{1}{2}g^{im}(g_{kl;m} - g_{km;l} - g_{ml;k})$$

и **связность Картана**

$$\widehat{\Gamma}_{kl}^i = \Gamma_{kl}^i - \Gamma(C)_{kl}^i = \Gamma_{kl}^i - \frac{1}{2}g^{im}(g_{kl;m} - g_{km;l} - g_{ml;k})$$

Пользуясь связностью Картана, мы можем записать форму связности в виде

$$\omega = dx^i - \widehat{\Gamma}_{kl}^i a^k dx^l$$

Соответственно, мы определим **производную Картана** overbrace

$$\widehat{\nabla}_l a^i = a^i_{;\{l\}} = \partial_l a^i + \widehat{\Gamma}_{kl}^i a^k$$

$$\widehat{D} a^i = da^i + \widehat{\Gamma}_{kl}^i a^k dx^l$$

ТЕОРЕМА 7.3.1. *Перенос Картана вдоль экстремальной кривой сохраняет длину касательного вектора.*

ДОКАЗАТЕЛЬСТВО. Пусть

$$v^i = \frac{dx^i}{ds}$$

- касательный вектор к экстремальной кривой. Из теоремы 7.1.2 следует, что

$$\frac{Dv^l}{ds} = \frac{1}{2}g^{il} (g_{kj;i} - g_{ik;j} - g_{ij;k}) v^k v^j$$

и

$$\begin{aligned} \frac{Dg_{kl}v^k v^l}{ds} &= \frac{Dg_{kl}}{ds} v^k v^l + g_{kl} \frac{Dv^k}{ds} v^l + g_{kl} v^k \frac{Dv^l}{ds} \\ &= g_{kl;p} v^p v^k v^l + \\ &\quad + g_{kl} g^{ik} \frac{1}{2} (g_{rj;i} - g_{ir;j} - g_{ij;r}) v^r v^j v^l \\ &\quad + g_{kl} v^k g^{il} \frac{1}{2} (g_{rj;i} - g_{ir;j} - g_{ij;r}) v^r v^j \\ &= g_{kl;p} v^p v^k v^l + (g_{rj;l} - g_{lr;j} - g_{lj;r}) v^r v^j v^l = 0 \end{aligned}$$

Следовательно длина вектора v^i не меняется вдоль экстремальной кривой. \square

Мы распространим перенос Картана на любой геометрический объект подобно тому, как мы это делаем для параллельного переноса.

ТЕОРЕМА 7.3.2.

$$g_{ij;\{l\}} = 0$$

ДОКАЗАТЕЛЬСТВО.

$$\begin{aligned} \widehat{\nabla}_l g_{ij} &= \partial_l g_{ij} - \widehat{\Gamma}_{il}^k g_{kj} - \widehat{\Gamma}_{jl}^k g_{ik} = \\ &= g_{ij;l} + \frac{1}{2}g^{km} (g_{il;m} - g_{im;l} - g_{ml;i}) g_{kj} + \frac{1}{2}g^{km} (g_{jl;m} - g_{jm;l} - g_{ml;j}) g_{ik} = 0 \end{aligned}$$

\square

Связность Картана $\widehat{\Gamma}_{kl}^i$ отличается от связности Γ_{kl}^i на дополнительное слагаемое, которое является симметричным тензором. Для любой связности мы определяем стандартным образом производную и кривизну. Утверждения геометрии и физики имеют одну и ту же форму, независимо от того используем ли я связность Γ_{kl}^i или связность Картана. Чтобы это показать, мы можем обобщить понятие связности Картана и изучать связность, определённую равенством

$$(7.3.1) \quad \overline{\Gamma}_{kl}^i = \Gamma_{kl}^i + A_{kl}^i$$

где A - это 0, или символ Картана или любой другой симметричный тензор. Соответственно мы определяем производную

$$\overline{\nabla}_l a^i = a^i_{;<l>} = \partial_l a^i + \overline{\Gamma}_{kl}^i a^k$$

$$\overline{D}a^i = da^i + \overline{\Gamma}_{kl}^i a^k dx^l$$

и кривизну

$$\overline{R}_{bij}^a = \partial_i \overline{\Gamma}_{bj}^a - \partial_j \overline{\Gamma}_{bi}^a + \overline{\Gamma}_{ci}^a \overline{\Gamma}_{bj}^c - \overline{\Gamma}_{cj}^a \overline{\Gamma}_{bi}^c$$

Эта связность имеет тоже кручение

$$(7.3.2) \quad T_{cb}^a = \overline{\Gamma}_{bc}^a - \overline{\Gamma}_{cb}^a$$

С этой точки зрения теорема 7.3.1 означает, что экстремальная кривая является геодезической для связности Картана.

ТЕОРЕМА 7.3.3. *Кривизна связности (7.3.1) имеет вид*

$$(7.3.3) \quad \overline{R_{bde}^a} = R_{bde}^a + A_{be;d}^a - A_{bd;e}^a + A_{cd}^a A_{be}^c - A_{ce}^a A_{bd}^c + S_{de}^p A_{bp}^a$$

где R_{bde}^a - кривизна связности Γ_{kl}^i

ДОКАЗАТЕЛЬСТВО.

$$\begin{aligned} \overline{R_{bde}^a} &= \overline{\Gamma_{be,d}^a} - \overline{\Gamma_{bd,e}^a} + \overline{\Gamma_{cd}^a} \overline{\Gamma_{be}^c} - \overline{\Gamma_{ce}^a} \overline{\Gamma_{bd}^c} \\ &= \Gamma_{be,d}^a + A_{be;d}^a - \Gamma_{bd,e}^a - A_{bd,e}^a \\ &\quad + (\Gamma_{cd}^a + A_{cd}^a)(\Gamma_{be}^c + A_{be}^c) - (\Gamma_{ce}^a + A_{ce}^a)(\Gamma_{bd}^c + A_{bd}^c) \\ &= \Gamma_{be,d}^a + A_{be;d}^a - \Gamma_{bd,e}^a - A_{bd,e}^a \\ &\quad + \Gamma_{cd}^a \Gamma_{be}^c + \Gamma_{cd}^a A_{be}^c + A_{cd}^a \Gamma_{be}^c + A_{cd}^a A_{be}^c \\ &\quad - \Gamma_{ce}^a \Gamma_{bd}^c - A_{ce}^a \Gamma_{bd}^c - \Gamma_{ce}^a A_{bd}^c - A_{ce}^a A_{bd}^c \\ &= R_{bde}^a + A_{be;d}^a - A_{bd,e}^a \\ &\quad + \Gamma_{cd}^a A_{be}^c + A_{cd}^a \Gamma_{be}^c + A_{cd}^a A_{be}^c \\ &\quad - A_{ce}^a \Gamma_{bd}^c - \Gamma_{ce}^a A_{bd}^c - A_{ce}^a A_{bd}^c \\ &= R_{bde}^a \\ &\quad + A_{be;d}^a - \frac{\Gamma_{pd}^a A_{be_2}^p}{\Gamma_{pd}^a A_{be_2}^p} + \frac{\Gamma_{bd}^p A_{pe_4}^a}{\Gamma_{bd}^p A_{pe_4}^a} + \frac{\Gamma_{ed}^p A_{bp_1}^a}{\Gamma_{ed}^p A_{bp_1}^a} \\ &\quad - A_{bd;e}^a + \frac{\Gamma_{pe}^a A_{bd_3}^p}{\Gamma_{pe}^a A_{bd_3}^p} - \frac{\Gamma_{be}^p A_{pd_5}^a}{\Gamma_{be}^p A_{pd_5}^a} - \frac{\Gamma_{de}^p A_{bp_1}^a}{\Gamma_{de}^p A_{bp_1}^a} \\ &\quad + \frac{\Gamma_{cd}^a A_{be_2}^c}{\Gamma_{cd}^a A_{be_2}^c} + \frac{\Gamma_{be}^c A_{cd_5}^a}{\Gamma_{be}^c A_{cd_5}^a} + A_{cd}^a A_{be}^c \\ &\quad - \frac{\Gamma_{bd}^c A_{ce_4}^a}{\Gamma_{bd}^c A_{ce_4}^a} - \frac{\Gamma_{ce}^a A_{bd_3}^c}{\Gamma_{ce}^a A_{bd_3}^c} - A_{ce}^a A_{bd}^c \end{aligned}$$

□

СЛЕДСТВИЕ 7.3.4. *Кривизна Картана имеет вид*

$$\begin{aligned} \widehat{R_{bde}^a} &= R_{bde}^a - \Gamma(C)_{be;d}^a + \Gamma(C)_{bd;e}^a \\ &\quad + \Gamma(C)_{cd}^a \Gamma(C)_{be}^c - \Gamma(C)_{ce}^a \Gamma(C)_{bd}^c - T_{de}^p \Gamma(C)_{bp}^a \end{aligned}$$

7.4. Производная Ли

Векторное поле ξ^k на многообразии порождает инфинитезимальное преобразование

$$(7.4.1) \quad x'^k = x^k + \epsilon \xi^k$$

которое ведёт к **производной Ли**. Производная Ли говорит нам, как объект изменяется, когда мы движемся вдоль векторного поля.

Из равенства (7.4.1) следует, что

$$(7.4.2) \quad \frac{\partial x'^l}{\partial x'^k} = \delta_k^l + \epsilon \xi_{,k}^l$$

Из равенства (7.4.1) следует также, что

$$(7.4.3) \quad x^k = x'^k - \epsilon \xi^k$$

$$(7.4.4) \quad \frac{\partial x^l}{\partial x'^k} = \delta_k^l - \epsilon \xi_{,k}^l$$

ТЕОРЕМА 7.4.1. **Производная Ли метрики** имеет вид

$$(7.4.5) \quad \mathcal{L}_\xi g_{ab} = \xi_{;a}^k g_{kb} + \xi_{;b}^k g_{ka} + T_{ka}^l g_{lb} \xi^k + T_{kb}^l g_{la} \xi^k + g_{ab;k} \xi^k$$

ДОКАЗАТЕЛЬСТВО. Мы начнём с преобразования (7.4.1). Тогда

$$g_{ab}(x') = g_{ab}(x) + g_{ab,c} \epsilon \xi^c$$

Равенство

$$\begin{aligned} g'_{ab}(x') &= \frac{\partial x^c}{\partial x'^a} \frac{\partial x^d}{\partial x'^b} g_{cd}(x) \\ &= g_{ab} - \epsilon \xi_{;a}^c g_{cb} - \epsilon \xi_{;b}^c g_{ac} \end{aligned}$$

следует из равенства (7.4.4). Согласно определению производной Ли, мы имеем

$$\begin{aligned} \mathcal{L}_\xi g_{ab} &= g_{ab}(x') - g'_{ab}(x') \\ &= g_{ab,c} \epsilon \xi^c + \epsilon \xi_{;a}^c g_{cb} + \epsilon \xi_{;b}^c g_{ac} \\ &= (g_{ab;c} + \Gamma_{ac}^d g_{db} + \Gamma_{bc}^d g_{ad}) \epsilon \xi^c \\ &\quad + \epsilon (\xi_{;a}^c - \Gamma_{da}^c \xi^d) g_{cb} + \epsilon (\xi_{;b}^c - \Gamma_{db}^c \xi^d) g_{ac} \\ (7.4.6) \quad \mathcal{L}_\xi g_{ab} &= g_{ab;c} \epsilon \xi^c + \Gamma_{ac}^d g_{db} \epsilon \xi^c + \Gamma_{bc}^d g_{ad} \epsilon \xi^c \\ &\quad + \xi_{;a}^c g_{cb} - \Gamma_{da}^c \xi^d g_{cb} + \xi_{;b}^c g_{ac} - \Gamma_{db}^c \xi^d g_{ac} \end{aligned}$$

(7.4.5) следует из (7.4.6) и (5.4.8). \square

ТЕОРЕМА 7.4.2. **Производная Ли связности** имеет вид

$$(7.4.7) \quad \mathcal{L}_\xi \Gamma_{bc}^a = -R_{bcp}^a \xi^p - T_{bp;c}^a \xi^p - T_{be}^a \xi_{;c}^e + \xi_{;bc}^a$$

ДОКАЗАТЕЛЬСТВО. Мы начнём с преобразования (7.4.1). Тогда

$$(7.4.8) \quad \Gamma_{bc}^a(x') = \Gamma_{bc}^a(x) + \Gamma_{bc,p}^a \epsilon \xi^p$$

Равенство

$$\begin{aligned} (7.4.9) \quad \Gamma_{bc}^a(x') &= \frac{\partial x'^a}{\partial x^e} \frac{\partial x^f}{\partial x'^b} \frac{\partial x^g}{\partial x'^c} \Gamma_{fg}^e(x) + \frac{\partial x'^a}{\partial x^e} \frac{\partial^2 x^e}{\partial x'^b \partial x'^c} \\ &= \Gamma_{bc}^a + \epsilon \xi_{;e}^a \Gamma_{bc}^e - \epsilon \xi_{;b}^e \Gamma_{ec}^a - \epsilon \xi_{;c}^e \Gamma_{be}^a + (\delta_e^a + \epsilon \xi_{;e}^a) (-\epsilon \xi_{;cb}^e) \\ &= \Gamma_{bc}^a + \epsilon \xi_{;e}^a \Gamma_{bc}^e - \epsilon \xi_{;b}^e \Gamma_{ec}^a - \epsilon \xi_{;c}^e \Gamma_{be}^a - \epsilon \xi_{;cb}^a \end{aligned}$$

следует из равенств (7.4.2), (7.4.4). По определению

$$(7.4.10) \quad \begin{aligned} \xi_{;e}^a &= \xi_{;e}^a + \Gamma_{pe}^a \xi^p \\ \xi_{;e}^a &= \xi_{;e}^a - \Gamma_{pe}^a \xi^p \end{aligned}$$

Так как $\xi_{;ef}^a$ является тензором, то

$$(7.4.11) \quad \begin{aligned} \xi_{;ef}^a &= \xi_{;e,f}^a + \Gamma_{pf}^a \xi_{;e}^p - \Gamma_{ef}^p \xi_{;p}^a \\ &= \xi_{;e,f}^a + \Gamma_{pe,f}^a \xi^p + \Gamma_{pe}^a \xi_{;f}^p + \Gamma_{pf}^a \xi_{;e}^p - \Gamma_{ef}^p \xi_{;p}^a \\ &= \xi_{;e,f}^a + \Gamma_{pe,f}^a \xi^p + \Gamma_{pe}^a \xi_{;f}^p - \Gamma_{pe}^a \Gamma_{rf}^p \xi^r + \Gamma_{pf}^a \xi_{;e}^p - \Gamma_{ef}^p \xi_{;p}^a \end{aligned}$$

Равенство

$$(7.4.12) \quad \xi_{;ef}^a = \xi_{;e,f}^a - \Gamma_{pe,f}^a \xi^p - \Gamma_{pe}^a \xi_{;f}^p + \Gamma_{pe}^a \Gamma_{rf}^p \xi^r - \Gamma_{pf}^a \xi_{;e}^p + \Gamma_{ef}^p \xi_{;p}^a$$

следует из равенства (7.4.11). Мы подставим (7.4.12) и (7.4.10) в (7.4.9) и получим

$$\begin{aligned}
(7.4.13) \quad \Gamma'_{bc}(x') &= \Gamma_{bc}^a + \epsilon(\xi_{;e}^a \xi_{4:T}^e - \Gamma_{pe}^a \xi^p) \Gamma_{bc}^e - \epsilon(\xi_{;b_2}^e - \frac{\Gamma_{pb}^e \xi^p}{\xi_{;c_3:T}^e}) \Gamma_{ec}^a - \epsilon(\xi_{;c_3:T}^e - \Gamma_{pc}^e \xi^p) \Gamma_{be}^a \\
&\quad - \epsilon(\xi_{;cb}^a - \Gamma_{pc,b}^a \xi^p - \frac{\Gamma_{pc}^a \xi^p}{\xi_{;b_2}^e} + \frac{\Gamma_{pc}^a \Gamma_{rb}^p \xi^r}{\xi_{;c_3:T}^e} - \frac{\Gamma_{pb}^a \xi^p}{\xi_{;c_3:T}^e} + \frac{\Gamma_{cb}^p \xi^a}{\xi_{;p_4}^e}) \\
&= \Gamma_{bc}^a + \epsilon(\xi_{;e}^a T_{cb}^e - \Gamma_{pe}^a \xi^p \Gamma_{bc}^e + \xi_{;c}^e T_{be}^a + \Gamma_{pc}^e \xi^p \Gamma_{be}^a - \xi_{;cb}^a + \Gamma_{pc,b}^a \xi^p)
\end{aligned}$$

Согласно определению производной Ли, мы имеем, пользуясь (7.4.8) и (7.4.13),

$$\begin{aligned}
(7.4.14) \quad \mathcal{L}_\xi \Gamma_{bc}^a &= (\Gamma_{bc}^a(x') - \Gamma'_{bc}(x')) \epsilon^{-1} \\
&= (\Gamma_{bc}^a + \Gamma_{bc,p}^a \epsilon \xi^p \\
&\quad - \Gamma_{bc}^a - \epsilon(\xi_{;e}^a T_{cb}^e - \Gamma_{pe}^a \xi^p \Gamma_{bc}^e + \xi_{;c}^e T_{be}^a + \Gamma_{pc}^e \xi^p \Gamma_{be}^a - \xi_{;cb}^a + \Gamma_{pc,b}^a \xi^p)) \epsilon^{-1} \\
&= \Gamma_{bc,p}^a \xi^p - \xi_{;e}^a T_{cb}^e + \Gamma_{pe}^a \xi^p \Gamma_{bc}^e - \xi_{;c}^e T_{be}^a - \Gamma_{pc}^e \xi^p \Gamma_{be}^a + \xi_{;cb}^a - \Gamma_{pc,b}^a \xi^p
\end{aligned}$$

Из (7.4.14) и (5.4.8) следует, что

$$\begin{aligned}
(7.4.15) \quad \mathcal{L}_\xi \Gamma_{bc}^a &= \Gamma_{cb,p}^a \xi^p - \Gamma_{cp,b}^a \xi^p \\
&\quad + \frac{\Gamma_{pe}^a \Gamma_{bc}^e \xi^p}{\xi_{;3:T}^e} - \frac{\Gamma_{ep}^a \Gamma_{bc}^e \xi^p}{\xi_{;3}^e} + \frac{\Gamma_{ep}^a \Gamma_{bc}^e \xi^p}{\xi_{;4:T}^e} - \frac{\Gamma_{ep}^a \Gamma_{cb}^e \xi^p}{\xi_{;4}^e} + \frac{\Gamma_{ep}^a \Gamma_{cb}^e \xi^p}{\xi_{;4}^e} \\
&\quad - \frac{\Gamma_{pc}^e \Gamma_{be}^a \xi^p}{\xi_{;1:T}^e} + \frac{\Gamma_{pc}^e \Gamma_{eb}^a \xi^p}{\xi_{;1}^e} - \frac{\Gamma_{eb}^e \Gamma_{pe}^a \xi^p}{\xi_{;2:T}^e} + \frac{\Gamma_{eb}^e \Gamma_{cp}^a \xi^p}{\xi_{;2}^e} - \Gamma_{eb}^a \Gamma_{cp}^e \xi^p \\
&\quad - \xi_{;e}^a T_{cb}^e - \xi_{;c}^e T_{be}^a + \xi_{;cb}^a - T_{cp,b}^a \xi^p - T_{bc,p}^a \xi^p \\
&= \Gamma_{cb,p}^a \xi^p - \Gamma_{cp,b}^a \xi^p + \Gamma_{ep}^a \Gamma_{cb}^e \xi^p - \Gamma_{eb}^a \Gamma_{cp}^e \xi^p \\
&\quad - \frac{T_{pe}^a \Gamma_{bc}^e \xi^p}{\xi_{;4:T}^e} - \frac{\Gamma_{ep}^a T_{bc}^e \xi^p}{\xi_{;1}^e} - \frac{\Gamma_{pc}^e T_{eb}^a \xi^p}{\xi_{;3:T}^e} - \frac{\Gamma_{eb}^e T_{cp}^a \xi^p}{\xi_{;5}^e} \\
&\quad - \xi_{;e}^a T_{cb}^e - \xi_{;c}^e T_{be}^a + \xi_{;cb}^a \\
&\quad - T_{cp;b}^a \xi^p + \frac{\Gamma_{eb}^a T_{cp}^e \xi^p}{\xi_{;2}^e} - \frac{\Gamma_{cb}^e T_{ep}^a \xi^p}{\xi_{;4}^e} - \frac{\Gamma_{pb}^e T_{ce}^a \xi^p}{\xi_{;5:T}^e} \\
&\quad - T_{bc;p}^a \xi^p + \frac{\Gamma_{ep}^a T_{bc}^e \xi^p}{\xi_{;1}^e} - \frac{\Gamma_{bp}^e T_{ec}^a \xi^p}{\xi_{;5}^e} - \frac{\Gamma_{cp}^e T_{be}^a \xi^p}{\xi_{;3}^e}
\end{aligned}$$

Из (7.4.15) и (5.4.10) следует, что

$$\begin{aligned}
(7.4.16) \quad \mathcal{L}_\xi \Gamma_{bc}^a &= R_{cpb}^a \xi^p \\
&\quad - T_{cp}^e T_{eb}^a \xi^p - T_{pe}^a T_{cb}^e \xi^p - T_{bp}^e T_{ce}^a \xi^p \\
&\quad - \xi_{;e}^a T_{cb}^e - \xi_{;c}^e T_{be}^a + \xi_{;cb}^a - T_{cp;b}^a \xi^p - T_{bc;p}^a \xi^p \\
&= -R_{cbp}^a \xi^p \\
&\quad - (T_{eb}^a T_{cp}^e + T_{ep}^a T_{bc}^e + T_{ec}^a T_{pb}^e) \xi^p \\
&\quad - \xi_{;e}^a T_{cb}^e - \xi_{;c}^e T_{be}^a + \xi_{;cb}^a - T_{cp;b}^a \xi^p - T_{bc;p}^a \xi^p
\end{aligned}$$

Из (7.4.16) и (7.5.1) следует, что

$$\begin{aligned}
(7.4.17) \quad \mathcal{L}_\xi \Gamma_{bc}^a &= \frac{R_{cpb}^a \xi^p}{\xi_{;1}^e} \\
&\quad - R_{bcp}^a \xi^p - R_{pbc}^a \xi^p - \frac{R_{cpb}^a \xi^p}{\xi_{;1}^e} \\
&\quad + \frac{T_{bc;p}^a \xi^p}{\xi_{;3}^e} + T_{pb;c}^a \xi^p + \frac{T_{cp;b}^a \xi^p}{\xi_{;2}^e} \\
&\quad - \xi_{;e}^a T_{cb}^e - \xi_{;c}^e T_{be}^a + \xi_{;cb}^a - \frac{T_{cp;b}^a \xi^p}{\xi_{;2}^e} - \frac{T_{bc;p}^a \xi^p}{\xi_{;3}^e} \\
&= -R_{bcp}^a \xi^p - R_{pbc}^a \xi^p - T_{bp;c}^a \xi^p - \xi_{;e}^a T_{cb}^e - \xi_{;c}^e T_{be}^a + \xi_{;cb}^a
\end{aligned}$$

Мы подставим (5.4.11) в (7.4.17)

$$(7.4.18) \quad \mathcal{L}_\xi \Gamma_{bc}^a = -R_{bcp}^a \xi^p - T_{bp;c}^a \xi^p - \frac{T_{cb}^e \xi^a}{\xi_{;e1}} - T_{be}^a \xi_{;c}^e - \frac{T_{bc}^p \xi^a}{\xi_{;p1}} + \xi_{;bc}^a$$

(7.4.7) следует из (7.4.18). \square

СЛЕДСТВИЕ 7.4.3. Производная Ли связности в римановом пространстве имеет вид

$$(7.4.19) \quad \mathcal{L}_\xi \Gamma_{bc}^a = -R_{cbp}^a \xi^p + \xi_{;cb}^a$$

ДОКАЗАТЕЛЬСТВО. (7.4.19) следует из (7.4.7), когда $T_{bc}^a = 0$ \square

7.5. Тожество Бианки

ТЕОРЕМА 7.5.1. Первое тождество Бианки для пространства с кручением имеет вид

$$(7.5.1) \quad \begin{aligned} & T_{ij;m}^k + T_{mi;j}^k + T_{jm;i}^k + T_{pi}^k T_{jm}^p + T_{pm}^k T_{ij}^p + T_{pj}^k T_{mi}^p \\ &= R_{jmi}^k + R_{ijm}^k + R_{mij}^k \end{aligned}$$

ДОКАЗАТЕЛЬСТВО. Дифференциал равенства (5.4.7) имеет вид

$$(7.5.2) \quad T_{ij,m}^k \theta^m \wedge \theta^i \wedge \theta^j = (\Gamma_{ji,m}^k - \Gamma_{ij,m}^k) \theta^m \wedge \theta^i \wedge \theta^j$$

Две формы равны, когда их коэффициенты равны. Следовательно, из (7.5.2) следует, что

$$T_{ij,m}^k + T_{mi,j}^k + T_{jm,i}^k = \Gamma_{ji,m}^k - \Gamma_{ij,m}^k + \Gamma_{im,j}^k - \Gamma_{mi,j}^k + \Gamma_{mj,i}^k - \Gamma_{jm,i}^k$$

Мы выразим производные, пользуясь ковариантными производными, и изменим порядок слагаемых

$$(7.5.3) \quad \begin{aligned} & T_{ij;m}^k - \frac{\Gamma_{pm}^k T_{ij}^p}{\xi_{;p4}} + \frac{\Gamma_{im}^p T_{pj}^k}{\xi_{;2:T}} - \frac{\Gamma_{jm}^p T_{pi}^k}{\xi_{;3:T}} \\ & + T_{mi;j}^k - \frac{\Gamma_{pj}^k T_{mi}^p}{\xi_{;5}} + \frac{\Gamma_{mj}^p T_{pi}^k}{\xi_{;3}} - \frac{\Gamma_{ij}^p T_{pm}^k}{\xi_{;1:T}} \\ & + T_{jm;i}^k - \frac{\Gamma_{pi}^k T_{jm}^p}{\xi_{;6}} + \frac{\Gamma_{ji}^p T_{pm}^k}{\xi_{;1}} - \frac{\Gamma_{mi}^p T_{pj}^k}{\xi_{;2}} \\ & = \Gamma_{ji,m}^k - \Gamma_{jm,i}^k + \Gamma_{pm}^k \Gamma_{ji}^p - \Gamma_{pi}^k \Gamma_{jm}^p - \frac{\Gamma_{pm}^k \Gamma_{ji}^p}{\xi_{;4}} + \frac{\Gamma_{pi}^k \Gamma_{jm}^p}{\xi_{;6}} \\ & + \Gamma_{im,j}^k - \Gamma_{ij,m}^k + \Gamma_{pj}^k \Gamma_{im}^p - \Gamma_{pm}^k \Gamma_{ij}^p - \frac{\Gamma_{pj}^k \Gamma_{im}^p}{\xi_{;5}} + \frac{\Gamma_{pm}^k \Gamma_{ij}^p}{\xi_{;4}} \\ & + \Gamma_{mj,i}^k - \Gamma_{mi,j}^k + \Gamma_{pi}^k \Gamma_{mj}^p - \Gamma_{pj}^k \Gamma_{mi}^p - \frac{\Gamma_{pi}^k \Gamma_{mj}^p}{\xi_{;6}} + \frac{\Gamma_{pj}^k \Gamma_{mi}^p}{\xi_{;5}} \end{aligned}$$

Равенство

$$(7.5.4) \quad \begin{aligned} & T_{ij;m}^k + T_{mi}^p T_{pj}^k + T_{jm}^p T_{pi}^k + T_{mi;j}^k + T_{ij}^p T_{pm}^k + T_{jm;i}^k \\ & = R_{jmi}^k + R_{ijm}^k + R_{mij}^k \end{aligned}$$

следует из равенства (7.5.3). (7.5.1) следует из (7.5.4). \square

Если мы возьмём производную формы (5.4.9), мы увидим, что второе тождество Бианки не зависит от кручения.

7.6. Вектор Киллинга

Инвариантность метрического тензора g при инфинитезимальном координатном преобразовании (7.4.1) приводит к **уравнению Киллинга**.

ТЕОРЕМА 7.6.1. *Уравнение Киллинга в метрико-аффинном многообразии имеет вид*

$$(7.6.1) \quad \xi^k_{;a} g_{kb} + \xi^k_{;b} g_{ka} + T^l_{ka} g_{lb} \xi^k + T^l_{kb} g_{la} \xi^k + g_{ab;k} \xi^k = 0$$

ДОКАЗАТЕЛЬСТВО. Инвариантность метрического тензора g означает, что его производная Ли равна 0

$$(7.6.2) \quad \mathcal{L}_\xi g_{ab} = 0$$

(7.6.1) follows из (7.6.2) и (7.4.5). \square

ТЕОРЕМА 7.6.2. *Условие инвариантности связности в метрико-аффинном многообразии имеет вид*

$$(7.6.3) \quad \xi^a_{;bc} = R^a_{bcp} \xi^p + T^a_{bp;c} \xi^p + T^a_{bp} \xi^p_{;c}$$

ДОКАЗАТЕЛЬСТВО. Так как связность инвариантна при инфинитезимальном преобразовании, мы имеем

$$(7.6.4) \quad \mathcal{L}_\xi \Gamma^a_{bc} = 0$$

(7.6.3) следует из (7.6.4) и (7.4.7). \square

Мы называем уравнение (7.6.3) **уравнением Киллинга второго рода** и вектор ξ^a **вектором Киллинга второго рода**.

ТЕОРЕМА 7.6.3. *Вектором Киллинга второго рода удовлетворяет уравнению*

$$(7.6.5) \quad 0 = R^a_{bcp} \xi^p + R^a_{cpb} \xi^p + R^a_{pbc} \xi^p + T^a_{bp;c} \xi^p + T^a_{pc;b} \xi^p + T^p_{cb} \xi^a_{;p} + T^a_{bp} \xi^p_{;c} + T^a_{pc} \xi^p_{;b}$$

ДОКАЗАТЕЛЬСТВО. Из (7.6.3) и (5.4.11) следует, что

$$(7.6.6) \quad \begin{aligned} R^a_{pbc} \xi^p - T^p_{bc} \xi^a_{;p} &= R^a_{cbp} \xi^p + T^a_{cp;b} \xi^p + T^a_{cp} \xi^p_{;b} \\ &\quad - R^a_{bcp} \xi^p - T^a_{bp;c} \xi^p - T^a_{bp} \xi^p_{;c} \end{aligned}$$

(7.6.5) следует из (7.6.6). \square

СЛЕДСТВИЕ 7.6.4. *Уравнением Киллинга второго рода в римановом пространстве является тождеством. Связность в римановом пространстве инвариантна при любом инфинитезимальном преобразовании (7.4.1).*

ДОКАЗАТЕЛЬСТВО. Прежде всего, кручение равно 0. Остальное является следствием первого тождества Бианки. \square

Метрико-аффинная гравитация

8.1. Закон Ньютона: скалярный потенциал

Знание динамики точечной частицы важно для нас, так как мы можем изучать как частица взаимодействует с внешними полями, так же как свойства самой частицы.

Чтобы изучить движение точечной частицы, мы можем использовать потенциал определённых полей. Потенциал может быть скалярным или векторным.

В случае скалярного потенциала мы положим, что точечная частица имеет массу покоя m и мы пользуемся функцией Лагранжа в следующем виде

$$L = -mcds - Udx^0$$

о где U - **скалярный потенциал** или **потенциальная энергия**.

ТЕОРЕМА 8.1.1. (Первый закон Ньютона) Если $U = 0$ (следовательно, мы рассматриваем свободное движение), то тело выбирает траекторию с экстремальной длиной.

ТЕОРЕМА 8.1.2. (Второй закон Ньютона) Траекторию точечной частицы удовлетворяет дифференциальному уравнению

$$(8.1.1) \quad \begin{aligned} \widehat{D} u^l &= \frac{u^0}{mc} F^l \\ u^j &= \frac{dx^j}{ds} \end{aligned}$$

где мы определяем силу

$$(8.1.2) \quad F^l = g^{il} \frac{\partial U}{\partial x^i}$$

ДОКАЗАТЕЛЬСТВО.

Пользуясь (7.1.2), мы можем записать вариацию лагранжиана в виде

$$\frac{1}{2} mc (g_{kl;i} - g_{ik;l} - g_{il;k}) u^k u^j ds - mc g_{ij} Du^j + \frac{\partial U}{\partial x^i} dx^i = 0$$

Отсюда следует утверждение теоремы. □

8.2. Закон Ньютона: векторный потенциал

В разделе 8.1 мы изучили динамику скалярного потенциала. Однако в электродинамике мы рассматриваем **векторный потенциал** A^k . В этом случае действие имеет вид

$$\begin{aligned} S &= \int_{t_1}^{t_2} \left(-mcds - \frac{e}{c} A_l dx^l \right) \\ A_c &= g_{cd} A^d \end{aligned}$$

ТЕОРЕМА 8.2.1. *Траектория частицы, движущейся в векторном поле, удовлетворяет дифференциальному уравнению*

$$\begin{aligned}\widehat{D} u^j &= \frac{e}{mc^2} g^{ij} F_{li} u^l \\ u^j &= \frac{dx^j}{ds}\end{aligned}$$

где мы определяем **тензор напряжённости поля**

$$F_{dc} = A_{d;c} - A_{c;d} + S_{dc}^p A_p = \widehat{\nabla}_c A_d - \widehat{\nabla}_d A_c + S_{dc}^p A_p$$

ДОКАЗАТЕЛЬСТВО.

Пользуясь (7.1.2), мы можем записать вариацию действия в виде

$$\begin{aligned}\delta S &= \\ &= \int_{t_1}^{t_2} \left(-mc \left(\frac{1}{2} (g_{kj;i} - g_{ij;k} - g_{ik;j}) u^k u^j ds - g_{ij} D u^j \right) \delta x^i - \frac{e}{c} (\delta A_l dx^l + A_l d\delta x^l) \right)\end{aligned}$$

Мы можем оценить второе слагаемое

$$\begin{aligned}& -\frac{e}{c} (A_{l,k} dx^l \delta x^k + A_l d\delta x^l) = \\ &= -\frac{e}{c} (A_{l;k} dx^l \delta x^k + \Gamma_{lk}^p A_p dx^l \delta x^k + A_l d\delta x^l) = \\ &= -\frac{e}{c} (A_{k;l} dx^l \delta x^k + (A_{l;k} - A_{k;l}) dx^l \delta x^k + S_{lk}^p A_p dx^l \delta x^k + \Gamma_{kl}^p A_p dx^l \delta x^k + A_l d\delta x^l) = \\ &= -\frac{e}{c} (DA_k \delta x^k + A_k D\delta x^k + (A_{l;k} - A_{k;l}) dx^l \delta x^k + S_{lk}^p A_p dx^l \delta x^k) = \\ &= -\frac{e}{c} \left(d(A_k \delta x^k) + (A_{l;k} - A_{k;l} + S_{lk}^p A_p) dx^l \delta x^k \right)\end{aligned}$$

Интеграл подчёркнутого слагаемого равен 0, так как точки, когда $t = t_1$ и $t = t_2$, фиксированы. Следовательно,

$$-mc \left(\frac{1}{2} (g_{kj;i} - g_{ij;k} - g_{ik;j}) u^k u^j ds - g_{ij} D u^j \right) - \frac{e}{c} F_{li} dx^l = 0$$

Отсюда следует утверждение теоремы. \square

Из этой теоремы следует зависимость тензора напряжённости поля от производной метрики. Это изменяет форму уравнения Эйнштейна и импульс гравитационного поля появляется в случае векторного поля.

ТЕОРЕМА 8.2.2. *Тензор напряжённости поля не изменяется, когда векторный потенциал изменяется согласно правилу*

$$A'_j = A_j + \partial_j \Lambda$$

где Λ - произвольная функция x .

ДОКАЗАТЕЛЬСТВО. Изменение в тензоре напряжённости поля имеет вид

$$\begin{aligned}(\partial_d \Lambda)_{;c} - (\partial_c \Lambda)_{;d} + S_{dc}^p \partial_p \Lambda &= \\ \partial_{cd} \Lambda - \Gamma_{dc}^p \partial_p \Lambda - \partial_{dc} \Lambda + \Gamma_{cd}^p \partial_p \Lambda + S_{dc}^p \partial_p \Lambda &= 0\end{aligned}$$

Это доказывает теорему. \square

8.3. Приливное уравнение

Положим, что рассматриваемые тела совершают произвольное, а не геодезическое движение.

Мы предположим, что оба наблюдателя начинают своё путешествие из одной и той же точки ^{8.1} и их скорость удовлетворяет дифференциальным уравнениям

$$(8.3.1) \quad \frac{Dv_I^i}{ds_I} = a_I^i$$

где $I = 1, 2$ - номер наблюдателя и ds_I - инфинитезимальная дуга на геодезической I . Наблюдатель I следует геодезической связности (7.3.1), когда $a_I = 0$. Мы положим так же, что $ds_1 = ds_2 = ds$.

Отклонение траекторий (8.3.1) δx^k - это вектор, соединяющий наблюдателей. Кривые бесконечно мало близки в окрестности начальной точки

$$\begin{aligned} x_2^i(s_2) &= x_1^i(s_1) + \delta x^i(s_1) \\ v_2^i(s_2) &= v_1^i(s_1) + \delta v^i(s_1) \end{aligned}$$

Производная вектора δx^i имеет вид

$$\frac{d\delta x^i}{ds} = \frac{d(x_2^i - x_1^i)}{ds} = v_2^i - v_1^i = \delta v^i$$

Скорость отклонения δx^i - это ковариантная производная

$$(8.3.2) \quad \begin{aligned} \frac{D\delta x^i}{ds} &= \frac{d\delta x^i}{ds} + \Gamma_{kl}^i \delta x^k v_1^l \\ &= \delta v^i + \Gamma_{kl}^i \delta x^k v_1^l \end{aligned}$$

Из (8.3.2) следует, что

$$(8.3.3) \quad \delta v^i = \frac{D\delta x^i}{ds} - \Gamma_{kl}^i \delta x^k v_1^l$$

Наконец мы готовы оценить вторую ковариантную производную вектора δx^i

$$(8.3.4) \quad \begin{aligned} \frac{D^2\delta x^i}{ds^2} &= \frac{d\frac{D\delta x^i}{ds}}{ds} + \Gamma_{kl}^i \frac{D\delta x^k}{ds} v_1^l \\ &= \frac{d(\delta v^i + \Gamma_{kl}^i \delta x^k v_1^l)}{ds} + \Gamma_{kl}^i \frac{D\delta x^k}{ds} v_1^l \\ &= \frac{d\delta v^i}{ds} + \frac{d\Gamma_{kl}^i}{ds} \delta x^k v_1^l + \Gamma_{kl}^i \frac{d\delta x^k}{ds} v_1^l + \Gamma_{kl}^i \delta x^k \frac{dv_1^l}{ds} + \Gamma_{kl}^i \frac{D\delta x^k}{ds} v_1^l \\ \frac{D^2\delta x^i}{ds^2} &= \frac{d\delta v^i}{ds} + \Gamma_{kl,n}^i v_1^n \delta x^k v_1^l + \Gamma_{kl}^i \delta v^k v_1^l + \Gamma_{kl}^i \delta x^k \frac{dv_1^l}{ds} + \Gamma_{kl}^i \frac{D\delta x^k}{ds} v_1^l \end{aligned}$$

ТЕОРЕМА 8.3.1. Приливное ускорение связности (7.3.1) имеет вид

$$(8.3.5) \quad \begin{aligned} \frac{D^2\delta x^i}{ds^2} &= T_{ln}^i \frac{D\delta x^n}{ds} v_1^l + (R_{klm}^i + T_{km;l}^i) \delta x^m v_1^k v_1^l \\ &\quad + a_2^i - a_1^i + \Gamma_{ml}^i \delta x^m a_1^l \end{aligned}$$

^{8.1}Я следую [21], страница 33

ДОКАЗАТЕЛЬСТВО. Траектория наблюдателя 1 удовлетворяет уравнению

$$(8.3.6) \quad \frac{Dv_1^i}{ds} = \frac{dv_1^i}{ds} + \Gamma_{kl}^i(x_1)v_1^k v_1^l = a_1^i$$

$$(8.3.7) \quad \frac{dv_1^i}{ds} = a_1^i - \Gamma_{kl}^i v_1^k v_1^l$$

В тоже время траектория наблюдателя 2 удовлетворяет уравнению

$$\begin{aligned} \frac{Dv_2^i}{ds} &= \frac{dv_2^i}{ds} + \Gamma_{kl}^i(x_2)v_2^k v_2^l \\ &= \frac{d(v_1^i + \delta v^i)}{ds} + \Gamma_{kl}^i(x_1 + \delta x)(v_1^k + \delta v^k)(v_1^l + \delta v^l) \\ &= \frac{dv_1^i}{ds} + \frac{d\delta v^i}{ds} + (\Gamma_{kl}^i + \Gamma_{kl,m}^i \delta x^m)(v_1^k v_1^l + \delta v^k v_1^l + v_1^k \delta v^l + \delta v^k \delta v^l) \\ &= a_2^i \end{aligned}$$

Мы можем переписать это уравнение с точностью до порядка 1

$$\frac{dv_1^i}{ds} + \frac{d\delta v^i}{ds} + \Gamma_{kl}^i v_1^k v_1^l + \Gamma_{kl}^i (\delta v^k v_1^l + v_1^k \delta v^l) + \Gamma_{kl,m}^i \delta x^m v_1^k v_1^l = a_2^i$$

Используя (8.3.6), мы получим

$$(8.3.8) \quad \begin{aligned} a_1^i + \frac{d\delta v^i}{ds} + \Gamma_{kl}^i \delta v^k v_1^l + \Gamma_{kl}^i v_1^k \delta v^l + \Gamma_{kl,m}^i \delta x^m v_1^k v_1^l &= a_2^i \\ \frac{d\delta v^i}{ds} &= -\Gamma_{kl}^i \delta v^k v_1^l - \Gamma_{lk}^i \delta v^k v_1^l - \Gamma_{kl,m}^i \delta x^m v_1^k v_1^l + a_2^i - a_1^i \end{aligned}$$

Мы подставим (8.3.3), (8.3.7), и (8.3.8) в (8.3.4)

$$\begin{aligned} \frac{D^2 \delta x^i}{ds^2} &= -\Gamma_{kl}^i \delta v^k v_1^l - \Gamma_{ln}^i \left(\frac{D\delta x^n}{ds} - \Gamma_{mk}^n \delta x^m v_1^k \right) v_1^l - \Gamma_{kl,m}^i \delta x^m v_1^k v_1^l \\ &\quad + a_2^i - a_1^i \\ &\quad + \Gamma_{mk,l}^i v_1^k \delta x^m v_1^l + \Gamma_{kl}^i \delta v^k v_1^l \\ &\quad + \Gamma_{mn}^i \delta x^m (a_1^n - \Gamma_{kl}^n v_1^k v_1^l) + \Gamma_{nl}^i \frac{D\delta x^n}{ds} v_1^l \\ \frac{D^2 \delta x^i}{ds^2} &= (\Gamma_{mk,l}^i - \Gamma_{kl,m}^i + \Gamma_{ln}^i \Gamma_{mk}^n - \Gamma_{mn}^i \Gamma_{kl}^n) \delta x^m v_1^k v_1^l \\ &\quad + \Gamma_{nl}^i \frac{D\delta x^n}{ds} v_1^l - \Gamma_{ln}^i \frac{D\delta x^n}{ds} v_1^l \\ &\quad + a_2^i - a_1^i + \Gamma_{mn}^i \delta x^m a_1^n \\ \frac{D^2 \delta x^i}{ds^2} &= (\Gamma_{mk,l}^i - \Gamma_{km,l}^i + \Gamma_{km,l}^i - \Gamma_{kl,m}^i \\ &\quad + \Gamma_{ln}^i \Gamma_{mk}^n - \Gamma_{nl}^i \Gamma_{mk}^n + \Gamma_{nl}^i \Gamma_{mk}^n - \Gamma_{nl}^i \Gamma_{km}^n + \Gamma_{nl}^i \Gamma_{km}^n \\ &\quad - \Gamma_{mn}^i \Gamma_{kl}^n + \Gamma_{nm}^i \Gamma_{kl}^n - \Gamma_{nm}^i \Gamma_{kl}^n) \delta x^m v_1^k v_1^l \\ &\quad + \Gamma_{ln}^i \frac{D\delta x^n}{ds} v_1^l + a_2^i - a_1^i + \Gamma_{mn}^i \delta x^m a_1^n \end{aligned}$$

$$\begin{aligned}
(8.3.9) \quad \frac{D^2 \delta x^i}{ds^2} &= T_{ln}^i \frac{D \delta x^n}{ds} v_1^l \\
&+ \left(\underline{T_{km,l_2}^i} + \underline{\Gamma_{km,l_1}^i} - \underline{\Gamma_{kl,m_1}^i} \right. \\
&+ \underline{T_{nl}^i \Gamma_{mk_2}^n} + \underline{\Gamma_{nl}^i T_{km_2}^n} + \underline{\Gamma_{nl}^i \Gamma_{km_1}^n} \\
&- \underline{T_{nm}^i \Gamma_{kl_2}^n} - \underline{\Gamma_{nm}^i \Gamma_{kl_1}^n} \left. \right) \delta x^m v_1^k v_1^l \\
&+ a_2^i - a_1^i + \Gamma_{ml}^i \delta x^m a_1^l
\end{aligned}$$

Слагаемые, подчеркнутые символом 1, представляют кривизну, и слагаемые, подчеркнутые символом 2 представляют ковариантную производную кручения. (8.3.5) следует из (8.3.9). \square

ЗАМЕЧАНИЕ 8.3.2. Тело 2 может быть удалено от тела 1. Тогда мы можем воспользоваться процедурой (так же как в [23]), основанной на параллельном переносе. С этой целью мы перенесём вектор скорости наблюдателя 2 в начальную точку наблюдателя 1 и затем оценим приливное ускорение. Эта процедура работает в случае не сильного гравитационного поля. \square

ЗАМЕЧАНИЕ 8.3.3. Если в центральном поле наблюдатель 1 имеет орбитальную скорость V_ϕ , наблюдатель 2 движется в радиальном направлении, и оба наблюдателя следуют геодезической, то приливное ускорение имеет вид

$$\begin{aligned}
\frac{D^2 \delta x^1}{ds^2} &= R_{lnk}^1 \delta x^k v^n v^l \\
&= (R_{001}^1 v^0 v^0 + R_{221}^1 v^2 v^2) \delta x^1 \\
&= \left(\frac{r_g}{r^3 c^2} \frac{1}{1 - \frac{V_\phi^2}{c^2}} - \left(-1 + \frac{r_g}{2r} - \frac{r - r_g}{r} \right) V_\phi^2 \right) \delta x^1
\end{aligned}$$

\square

ЗАМЕЧАНИЕ 8.3.4. Если наблюдатель 2 следует геодезической в центральном поле, но наблюдатель 1 зафиксировал свою позицию на расстоянии r , то

$$a^1 = \Gamma_{kl}^1 v^k v^l = \frac{r_g}{2r^2 c^2}$$

Ускорение следует закону обратных квадратов, как следует из (8.3.5). \square

ЗАМЕЧАНИЕ 8.3.5. У теоремы 8.3.1 есть один особый случай. Если наблюдатель 1 движется вдоль экстремальной кривой, мы можем пользоваться связностью Картана. В этом случае $a_1^i = 0$. Если наблюдатель 2 движется вдоль геодезической, то

$$(8.3.10) \quad a_2^i = -\Gamma(C)_{kl}^i v_2^k v_2^l = -\Gamma(C)_{kl}^i (v_1^k v_1^l + 2v_1^l \delta v^k)$$

Если мы подставим (8.3.3) в (8.3.10), то мы получим

$$a_2^i = -\Gamma(C)_{kl}^i v_1^k v_1^l - 2\Gamma(C)_{kl}^i v_1^l \frac{D \delta x^k}{ds} + 2\Gamma(C)_{ml}^i \Gamma(C)_{kn}^m v_1^n v_1^l \delta x^k$$

В этом случае (8.3.5) принимает вид

$$\begin{aligned}
(8.3.11) \quad \frac{\widehat{D^2} \delta x^i}{ds^2} &= \left(\widehat{R_{lnk}^i} + \widehat{\nabla_n} T_{lk}^i \right) v_1^l v_1^n \delta x^k + T_{lk}^i \frac{\widehat{D} \delta x^k}{ds} v_1^l \\
&- \Gamma(C)_{kl}^i v_1^k v_1^l - 2\Gamma(C)_{kl}^i v_1^l \frac{\widehat{D} \delta x^k}{ds} + 2\Gamma(C)_{ml}^i \Gamma(C)_{kn}^m v_1^n v_1^l \delta x^k
\end{aligned}$$

В случае начальных условий

$$\begin{aligned}\delta x^k &= 0 \\ \frac{D\delta x^k}{ds} &= 0\end{aligned}$$

(8.3.11) является оценкой ускорения (8.1.1). \square

8.4. Приливное ускорение и производная Ли

(8.3.5) напоминает выражение производной Ли (7.4.7). Чтобы увидеть это сходство, мы должны записать уравнение (8.3.5) другим способом.

По определению

$$\begin{aligned}\frac{Da^k}{ds} &= \frac{da^k}{ds} + \Gamma_{lp}^k a^l \frac{dx^p}{ds} \\ &= a_{;p}^k v^p + \Gamma_{lp}^k a^l v^p \\ (8.4.1) \quad \frac{Da^k}{ds} &= a_{;p}^k v^p\end{aligned}$$

Так как $\frac{Da^k}{ds}$ - вектор, мы можем легко найти вторую производную

$$\begin{aligned}(8.4.2) \quad \frac{D^2 a^k}{ds^2} &= \frac{D \frac{Da^k}{ds}}{ds} = \frac{D(a_{;p}^k v^p)}{ds} \\ &= a_{;pr}^k v^p v^r + a_{;p}^k v_{;r}^p v^r\end{aligned}$$

На последнем шаге мы используем (8.4.1), когда $a^k = v^k$. Когда v^p - касательный вектор траектории наблюдателя 1, из (8.3.1) следует, что

$$(8.4.3) \quad \frac{Dv^i}{ds} = v_{;r}^i v^r = a_1^i$$

и из (8.4.2) и (8.4.3) следует, что

$$(8.4.4) \quad \frac{D^2 a^k}{ds^2} = a_{;pr}^k v^p v^r + a_{;p}^k a_1^p$$

ТЕОРЕМА 8.4.1. *Скорость отклонения двух траекторий (8.3.1) удовлетворяет уравнению*

$$(8.4.5) \quad \mathcal{L} \frac{D\delta x^n}{ds} \Gamma_{kl}^i v^k v^l = a_2^i - a_1^i + \Gamma_{ml}^i \delta x^m a_1^l$$

ДОКАЗАТЕЛЬСТВО. Мы подставим (8.4.1) и (8.4.4) в (8.3.5).

$$\begin{aligned}\delta x_{;kl}^i v^k v^l + \delta x_{;p}^k a_1^p &= T_{ln}^i \delta x_{;k}^n v^k v_1^l + (R_{klm}^i + T_{km;l}^i) \delta x^m v_1^k v_1^l \\ &\quad + a_2^i - a_1^i + \Gamma_{ml}^i \delta x^m a_1^l \\ (8.4.6) \quad 0 &= (T_{ln}^i \delta x_{;k}^n - \delta x_{;kl}^i + R_{klm}^i \delta x^m + T_{km;l}^i \delta x^m) v_1^k v_1^l \\ &\quad + a_2^i - a_1^i - \delta x_{;p}^k a_1^p\end{aligned}$$

(8.4.5) следует из (8.4.6) и (7.4.7). \square

На первый взгляд можно предположить, что скорость отклонения геодезической является вектором Киллинга второго типа. Это возможно, хотя уравнение

$$\mathcal{L} \frac{D\delta x^n \Gamma_{kl}^i}{ds} = 0$$

не следует из уравнения

$$(8.4.7) \quad \mathcal{L} \frac{D\delta x^n \Gamma_{kl}^i v^k v^l}{ds} = 0$$

Однако уравнение (8.4.7) показывает тесную связь между глубокой симметрией пространства-времени и гравитационным полем.

Список литературы

- [1] Альберт Эйнштейн, К электродинамике движущихся тел, 1905, Собрание научных трудов, I, 7 - 35, М., Наука, 1965
Zur Elektrodynamik der bewegter Körper. Ann. Phys., 1905, 17, 891-921.
- [2] Альберт Эйнштейн, Основы общей теории относительности, 1916, Собрание научных трудов, I, 452 - 504, М., Наука, 1965
- [3] Альберт Эйнштейн, Геометрия и опыт, (1921) Собрание научных трудов, II, 83 - 94, М., Наука, 1966
- [4] Альберт Эйнштейн, Основные идеи и проблемы теории относительности, (1923) Собрание научных трудов, II, 120 - 129, М., Наука, 1966
- [5] Альберт Эйнштейн, Неэвклидова геометрия и физика, (1926) Собрание научных трудов, II, 178 - 182, М., Наука, 1966
- [6] Альберт Эйнштейн, Исаак Ньютон, 1927, Собрание научных трудов, IV, 78 - 81, М., Наука, 1967
- [7] Альберт Эйнштейн, О науке, 1931, Собрание научных трудов, IV, 142 - 146, М., Наука, 1967
- [8] Альберт Эйнштейн, Автобиографические заметки, 1949, Собрание научных трудов, IV, 259 - 293, М., Наука, 1967
- [9] Ссылка 104, Источник неизвестен
- [10] Ghez et al., The First Measurement of Spectral Lines in a Short-Period Star Bound to the Galaxy's Central Black Hole: A Paradox of Youth, *ApJL*, **586**, L127 (2003), eprint [arXiv:astro-ph/0302299](#) (2003)
- [11] R. Schödel et al., A star in a 15.2-year orbit around the supermassive black hole at the centre of the Milky Way, *Nature* **419**, 694 (2002)
- [12] Eckehard W. Mielke, Affine generalization of the Komar complex of general relativity, *Phys. Rev. D* **63**, 044018 (2001)
- [13] Yu. N. Obukhov and J. G. Pereira, Metric-affine approach to teleparallel gravity, *Phys. Rev. D* **67**, 044016 (2003), eprint [arXiv:gr-qc/0212080](#) (2002)
- [14] Giovanni Giachetta, Gennadi Sardanashvily, Dirac Equation in Gauge and Affine-Metric Gravitation Theories, eprint [arXiv:gr-qc/9511035](#) (1995)
- [15] Frank Gronwald and Friedrich W. Hehl, On the Gauge Aspects of Gravity, eprint [arXiv:gr-qc/9602013](#) (1996)
- [16] Yuval Neeman, Friedrich W. Hehl, Test Matter in a Spacetime with Non-metricity, eprint [arXiv:gr-qc/9604047](#) (1996)
- [17] F. W. Hehl, P. von der Heyde, G. D. Kerlick, and J. M. Nester, General relativity with spin and torsion: Foundations and prospects, *Rev. Mod. Phys.* **48**, 393 (1976)
- [18] O. Megged, Post-Riemannian Merger of Yang-Mills Interactions with Gravity, eprint [arXiv:hep-th/0008135](#) (2001)

- [19] Yu.N. Obukhov, E.J. Vlachynsky, W. Esser, R. Tresguerres and F.W. Hehl, An exact solution of the metric-affine gauge theory with dilation, shear, and spin charges, eprint [arXiv:gr-qc/9604027](https://arxiv.org/abs/gr-qc/9604027) (1996)
- [20] Л. Д. Ландау, Е. М. Лифшич, Теоретическая физика, теория поля, М., Наука, 1988
- [21] Ignazio Ciufolini, John Wheeler. Gravitation and Inertia. Princeton university press.
- [22] Ч. Мизнер, К. Торн, Дж. Уилер. Гравитация, том 2. Перевод с английского А. А. Рuzмайкина под редакцией В. Б. Брагинского и И. Д. Новикова. М. Мир, 1977.
- [23] J. D. Anderson, P. A. Laing, E. L. Lau, A. S. Liu, M. M. Nieto, and S. G. Turyshev, Study of the anomalous acceleration of Pioneer 10 and 11, *Phys. Rev. D* **65**, 082004, 50 pp., (2002), eprint [arXiv:gr-qc/0104064](https://arxiv.org/abs/gr-qc/0104064) (2001)
- [24] Серж Ленг, Алгебра, М. Мир, 1968
- [25] Г. Е. Шилов. Математический анализ, Функции нескольких вещественных переменных, части 1 - 2, М., Наука, 1972
- [26] П. К. Рашевский, Риманова геометрия и тензорный анализ, М., Наука, 1967
- [27] Г. Корн, Т. Корн, Справочник по математике для научных работников и инженеров, М., Наука, 1974
- [28] Angelo Tartaglia and Matteo Luca Ruggiero, Angular Momentum Effects in Michelson-Morley Type Experiments, *Gen.Rel.Grav.* **34**, 1371-1382 (2002), eprint [arXiv:gr-qc/0110015](https://arxiv.org/abs/gr-qc/0110015) (2001)
- [29] Yukio Tomozawa, Speed of Light in Gravitational Fields, eprint [arXiv:astro-ph/0303047](https://arxiv.org/abs/astro-ph/0303047) (2004)
- [30] Joao Magueijo, Covariant and locally Lorentz-invariant varying speed of light theories, *Phys. Rev. D* **62**, 103521 (2000), eprint [arXiv:gr-qc/0007036](https://arxiv.org/abs/gr-qc/0007036) (2000)
- [31] Bruce A. Bassett, Stefano Liberati, Carmen Molina-Paris, and Matt Visser, Geometrodynamics of variable-speed-of-light cosmologies, *Phys. Rev. D* **62**, 103518 (2000), eprint [arXiv:astro-ph/0001441](https://arxiv.org/abs/astro-ph/0001441) (2000)
- [32] Lochlainn O’Raifeartaigh and Norbert Straumann, Gauge theory: Historical origins and some modern developments, *Rev. Mod. Phys.* **72**, 1 (2000)
- [33] Claus Lämmerzahl, Mark P. Haugan, On the interpretation of Michelson-Morley experiments, *Phys. Lett. A* **282** 223-229 (2001), eprint [arXiv:gr-qc/0103052](https://arxiv.org/abs/gr-qc/0103052) (2001)
- [34] Holger Mueller, Sven Herrmann, Claus Braxmaier, Stephan Schiller, Achim Peters. Modern Michelson-Morley Experiment using Cryogenic Optical Resonators. eprint [arXiv:physics/0305117](https://arxiv.org/abs/physics/0305117) (2003) *Phys. Rev. Lett.* **91**:020401, 2003
- [35] Antonio F. Ranada, Pioneer acceleration and variation of light speed: experimental situation, eprint [arXiv:gr-qc/0402120](https://arxiv.org/abs/gr-qc/0402120) (2004)
- [36] Александр Клейн, Диаграмма представлений универсальных алгебр, eprint [arXiv:1908.04418](https://arxiv.org/abs/1908.04418) (2019)

Предметный указатель

- G -пространство 39
- G -система отсчёта 44
- G -базис векторного пространства 38
- G -координаты базиса 39

- автопараллельная кривая 70
- активное представление 39
- активное преобразование на
 - многообразии базисов 39
- аффинное преобразование 40
- аффинное преобразование на
 - многообразии базисов 40
- аффинный базис 40

- базис векторного пространства 33

- вектор Киллинга второго рода 79
- векторное пространство 30
- векторный потенциал 80
- второй закон Ньютона 80

- геометрический объект в векторном пространстве 42
- геометрический объект типа A в векторном пространстве 42
- голономные координаты вектора 45, 47
- голономные координаты связности 47
- группа аффинных преобразований 40
- группа аффинных преобразований 40
- группа симметрии 37

- движение на многообразии базисов 40

- закон ассоциативности 30
- закон дистрибутивности 30
- закон унитарности 30

- квазиаффинное преобразование на
 - многообразии базисов 40
- квазидвижение на многообразии базисов 40

- контравариантное представление 41
- координатная матрица вектора 34
- координатная система отсчёта 44
- координатное векторное пространство 41
- координатный изоморфизм 41
- координаты 33
- координаты геометрического объекта 42

- координаты представления 38
- кривизна Картана 75

- левостороннее представление 24
- левостороннее преобразование 24
- левый сдвиг на группе 25
- линейная комбинация 31
- линейно зависимое множество 32
- линейно зависимый 31
- линейно независимое множество 32
- локальная система отсчёта 46

- матрица линейного отображения 35
- метрико-аффинное многообразии 52
- многообразии базисов аффинного пространства 40
- многообразии базисов векторного пространства 38
- многообразии базисов евклидова пространства 40
- многообразии базисов центрo-аффинного пространства 40
- множество образующих 32, 32

- невырожденное преобразование 24
- неголономная координата 48
- неголономные координаты вектора 45, 47
- неголономные координаты на
 - многообразии 49
- неголономные координаты связности 47
- неметричность 51

- объект неголономности 48
- однородное пространство 27
- однотранзитивное представление группы 27
- орбита представления группы 26, 26
- ортонормированный базис 40
- отклонение траекторий 82

- параллелограмм 54
- пассивное представление 39
- пассивное преобразование на
 - многообразии базисов 39
- первый закон Ньютона 80
- перенос Картана 73

- перенос Френе 72
- потенциальная энергия 80
- правостороннее представление 25
- правостороннее преобразование 24
- правый сдвиг на группе 25
- представитель геометрического объекта
в векторном пространстве 42
- представление группы 25
- преобразование Лоренца 46
- принцип инвариантности 42
- принцип инвариантности в D_*^* -
векторном пространстве 42
- произведение геометрического объекта и
константы в векторном пространстве
43
- производная Картана 73
- производная Ли 75
- производная Ли метрики 76
- производная Ли связности 76
- прямое произведение представлений
группы 26
- связность Картана 73
- символ Картана 73
- синхронизация системы отсчёта 57
- система отсчёта в пространстве событий
46
- скалярный потенциал 80
- скорость отклонения 82
- стандартные координаты базиса 39
- стандартные координаты базиса 39
- сумма геометрических объектов в
векторном пространстве 43
- тензор кручения 52
- тензор напряжённости поля 81
- транзитивное представление группы 27
- уравнение Киллинга 79
- уравнение Киллинга второго рода 79
- форма кручение 51
- центро-аффинный базис 40
- экстремальная кривая 70
- эффективное представление группы 27
- ядро неэффективности представления
группы 27

Специальные символы и обозначения

\mathcal{A}_n аффинное пространство 39
 $v_i w^i$ линейная комбинация 31
 $v_*^* w$ линейная комбинация 31
 $a_{i < l}^i$ производная 74
 $a^{(i)}$ неголономные координаты вектора 45, 47
 a^i голономные координаты вектора 45, 47
 $\mathcal{B}(V)$ многообразие базисов векторного пространства 38
 $\mathcal{B}(\mathcal{A}_n)$ многообразие базисов аффинного пространства 40
 $\mathcal{B}(\mathcal{C}\mathcal{A}_n)$ многообразие базисов центр-аффинного пространства 40
 $\mathcal{B}(\mathcal{E}_n)$ многообразие базисов евклидова пространства 40
 $\mathcal{C}\mathcal{A}_n$ центр-аффинное пространство 40
 (∂_i, dx^i) координатная система отсчёта 44
 $\widehat{D} a^i$ производная Картана 73
 $\overline{D} a^i$ производная 74
 $\partial_{(k)}$ производная вдоль векторного поля $e_{(k)}$ 48
 $\frac{D\delta x^i}{ds}$ скорость отклонения 82
 $\overline{\mathbf{e}} = \langle O, \overline{e}_i \rangle$ аффинный базис 40
 $\overline{\mathbf{e}} = (e_i, i \in I)$ базис модуля 32
 $\overline{\mathbf{e}}_V$ базис в векторном пространстве \overline{V} 33
 $\overline{\mathbf{e}} = \langle \overline{e}_i \rangle$ центр-аффинный базис 40
 $e^{(k)}$ форма системы отсчёта 44
 \mathcal{E}_n евклидово пространство 40
 $\overline{\mathbf{e}} = \langle \overline{e}_i \rangle$ ортонормированный базис 40
 \mathcal{E}_{nm} псевдоевклидово пространство 40
 e_k^i стандартные координаты базиса 39
 $e_{(i)}$ векторное поле системы отсчёта 44
 \overline{e}_k вектор базиса 39
 $f(G)v$ орбита представления группы 26
 $vf(G)$ орбита представления группы 26
 $\overline{\mathbf{e}} = \langle e_{(i)}, i = 1, \dots, n \rangle$ система отсчёта 44

$\overline{\mathbf{e}} = (e_{(k)}, e^{(k)})$ система отсчёта, расширенное определение 44

$GL(\mathcal{A}_n)$ группа аффинных преобразований 40
 $GL(\mathcal{A}_n)$ группа аффинных преобразований 40
 $G(V)$ группа гомоморфизмов векторного пространства \overline{V} 37

$L(a)b$ левый сдвиг 25
 $\mathcal{L}_\xi \Gamma_{bc}^a$ производная Ли связности 76
 $\mathcal{L}_\xi g_{ab}$ производная Ли метрики 76
 $v_i w^i$ линейная комбинация 31
 $v_*^* w$ линейная комбинация 31
 $\overline{\mathbf{e}}g$ пассивное преобразование 39
 $l(M)$ множество левосторонних невырожденных преобразований универсальной алгебры M 24

$\mathcal{O}(V, W, \overline{\mathbf{e}}_V, \overline{\mathbf{w}})$ геометрический объект в координатном представлении 42

$g\overline{\mathbf{e}}$ активное преобразование 38

\widehat{R}_{bde}^a кривизна Картана 75
 \overline{R}_{bij}^a кривизна 74

$R(a)b$ правый сдвиг 25
 $r(M)$ множество правосторонних невырожденных преобразований универсальной алгебры M 24

\tilde{V} координатное векторное пространство 41

(v^i) координаты в векторном пространстве 41

V векторное пространство 30

$\mathcal{O}(V, W, \overline{\mathbf{w}})$ геометрический объект в векторном пространстве 42

$x^{(k)}$ неголономная координата 48

δx^k отклонение траекторий 82

δ тождественное преобразование 24

$\overline{\delta}_k = (\delta_k^i)$ образ вектора $\overline{e}_k \in \overline{\mathbf{e}}$ при изоморфизме в координатное векторное пространство 41

$\Gamma_{(i)(j)}^{(k)}$	неголономные координаты
	связности 47
$\Gamma(C)_{kl}^i$	символ Картана 73
Γ_{kl}^i	связность 74
Γ_{ij}^k	голономные координаты связности
	47
$\widehat{\Gamma}_{kl}^i$	связность Картана 73
$c_{kl}^{(i)}$	объект неголономности 48
$\widehat{\nabla}_l a^i$	производная Картана 73
$\overline{\nabla}_l a^i$	производная 74